

FIG. 1

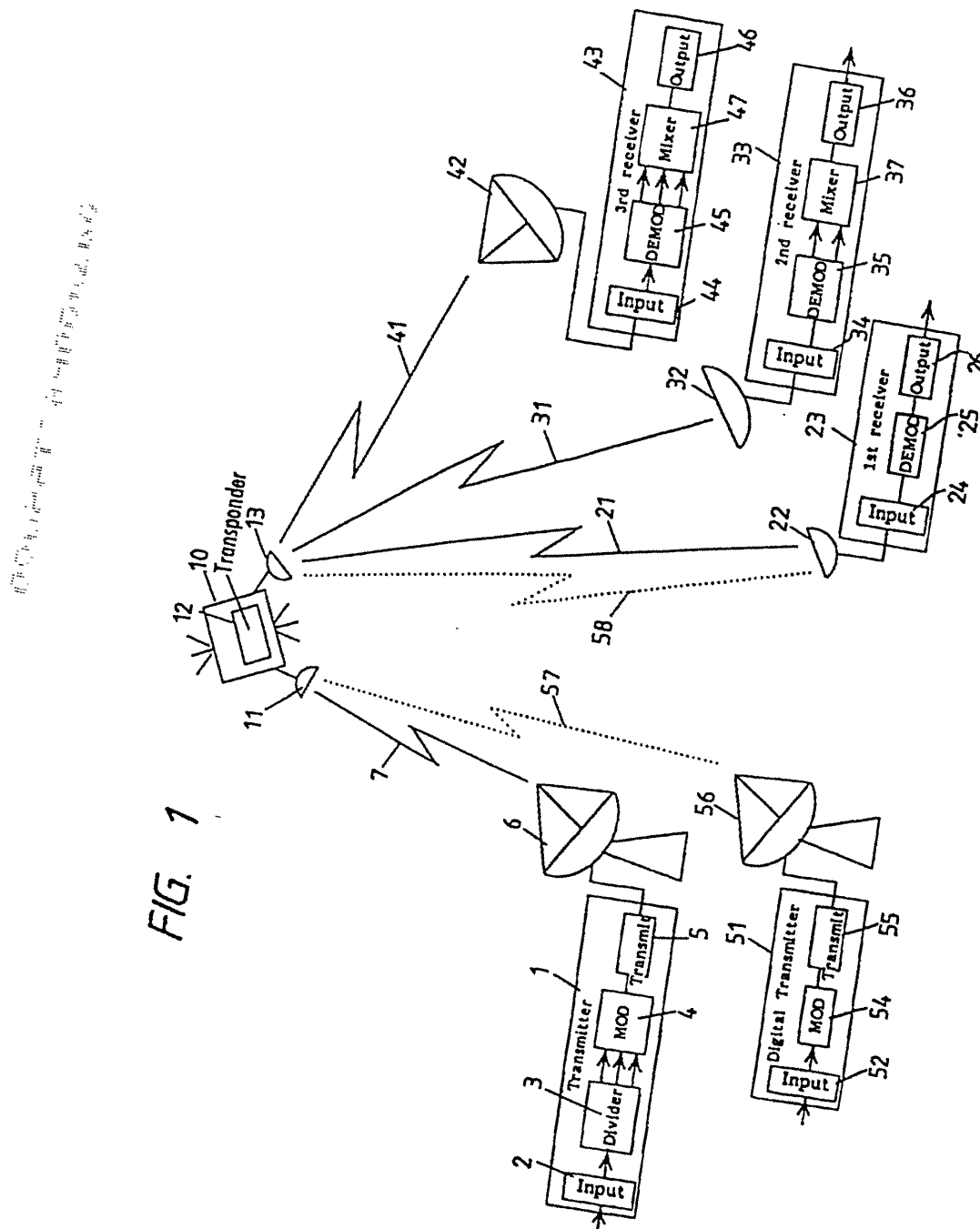
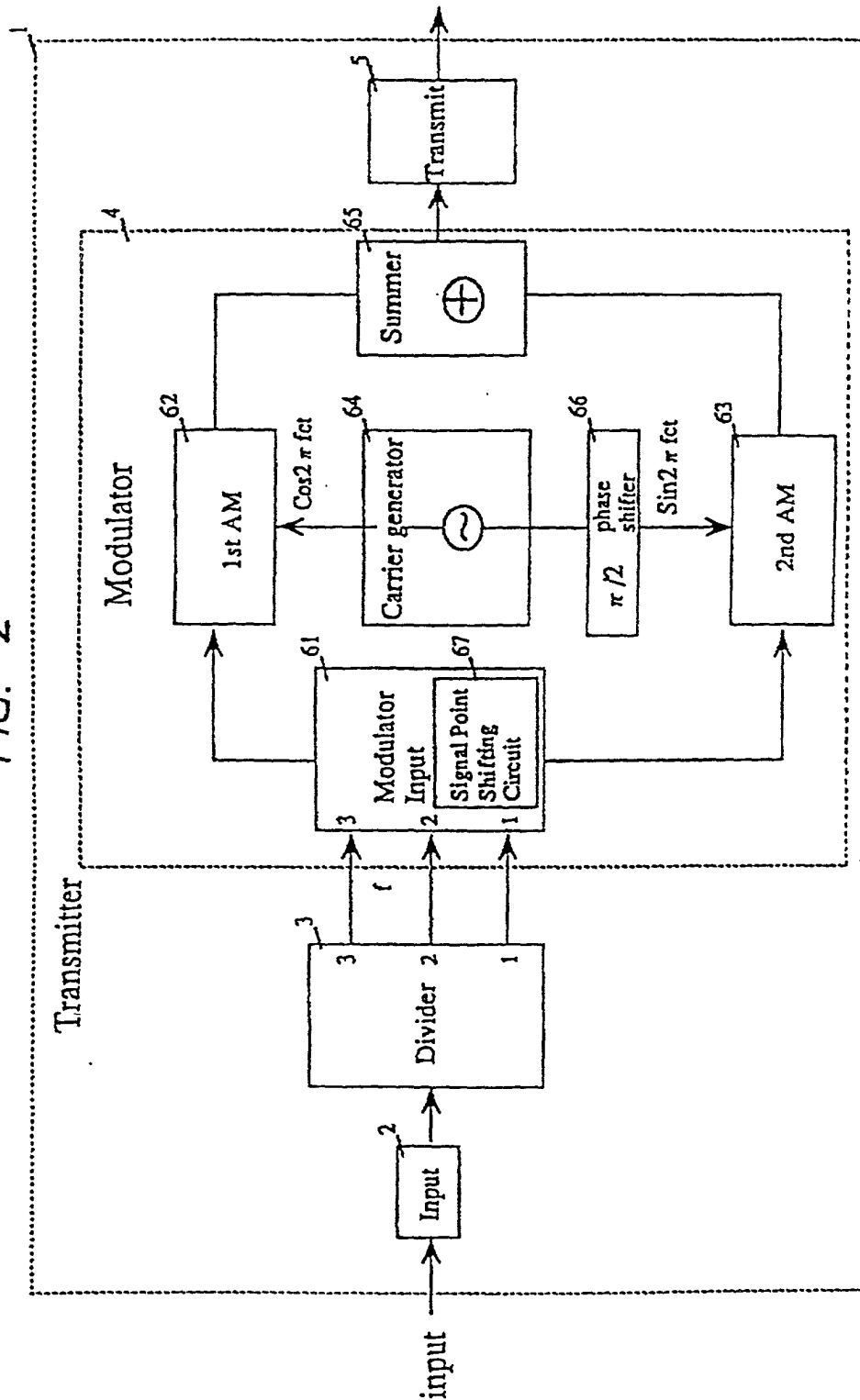
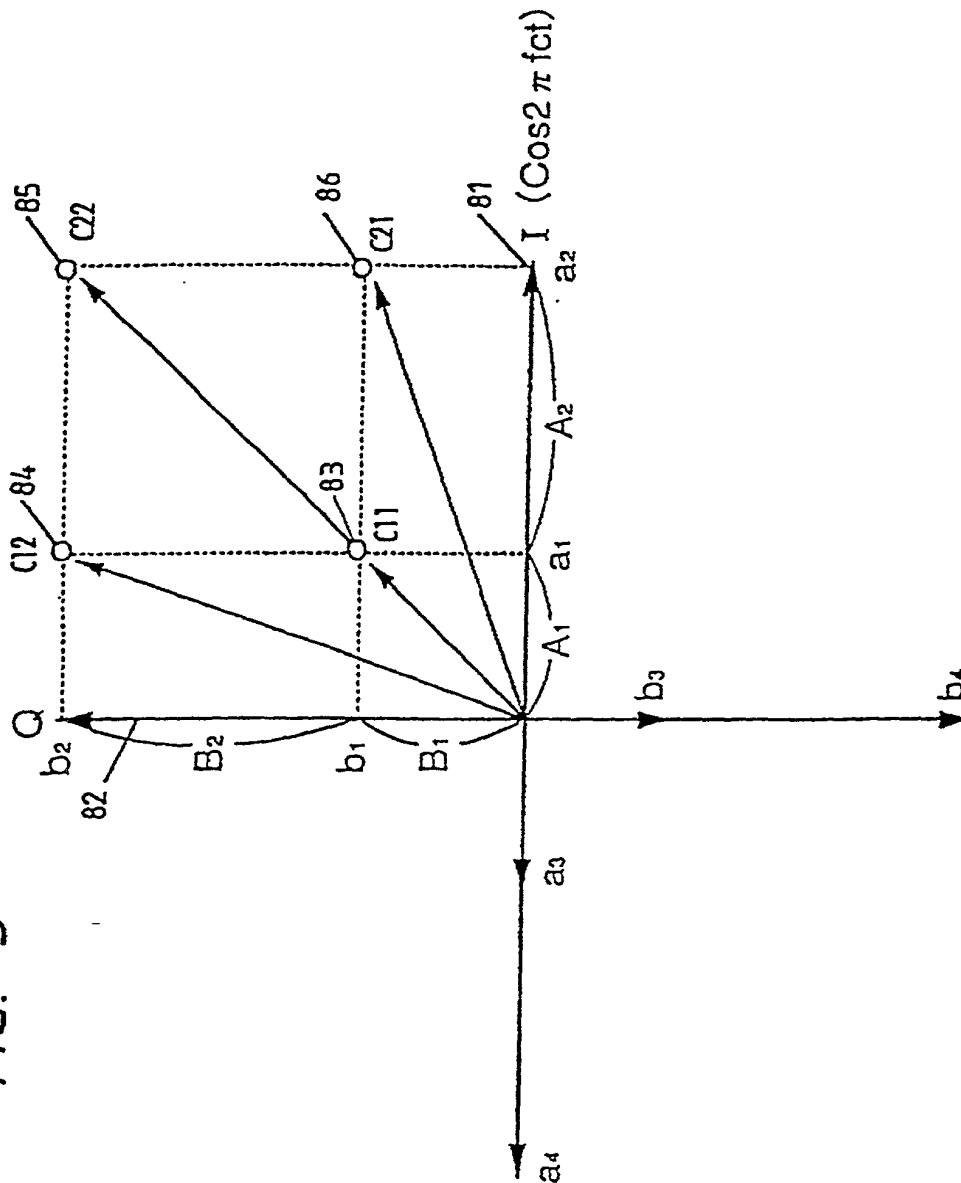


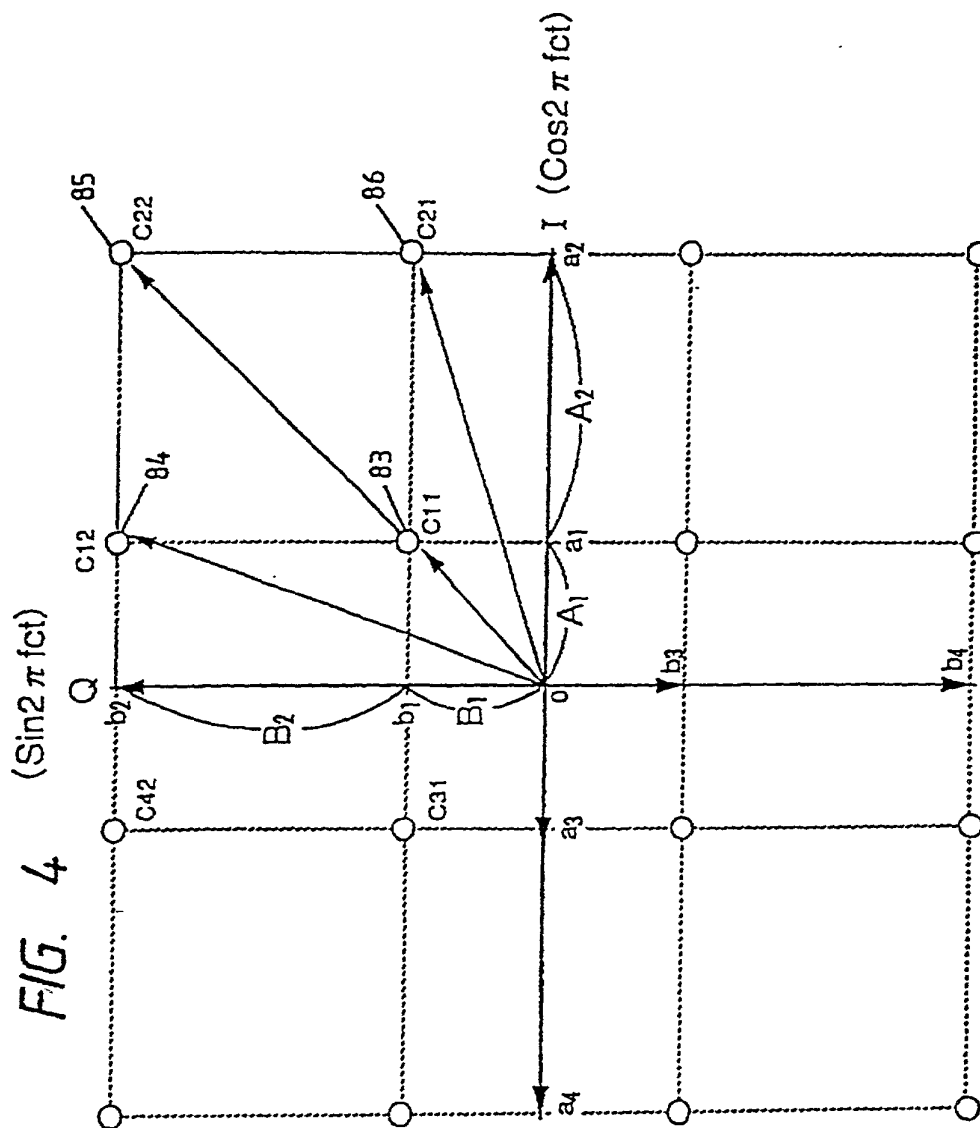
FIG. 2

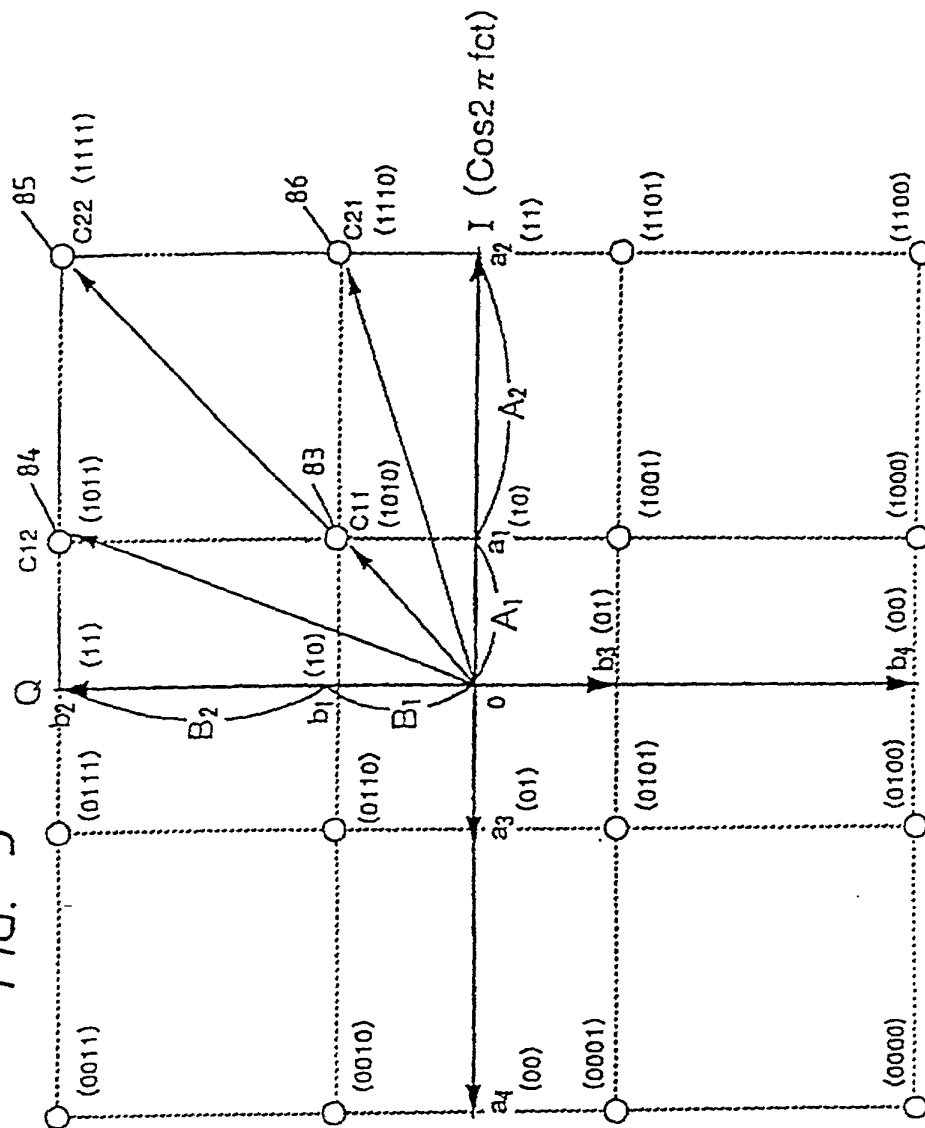


[illegible]

FIG. 3

 $(\sin^2 \pi fct)$ 





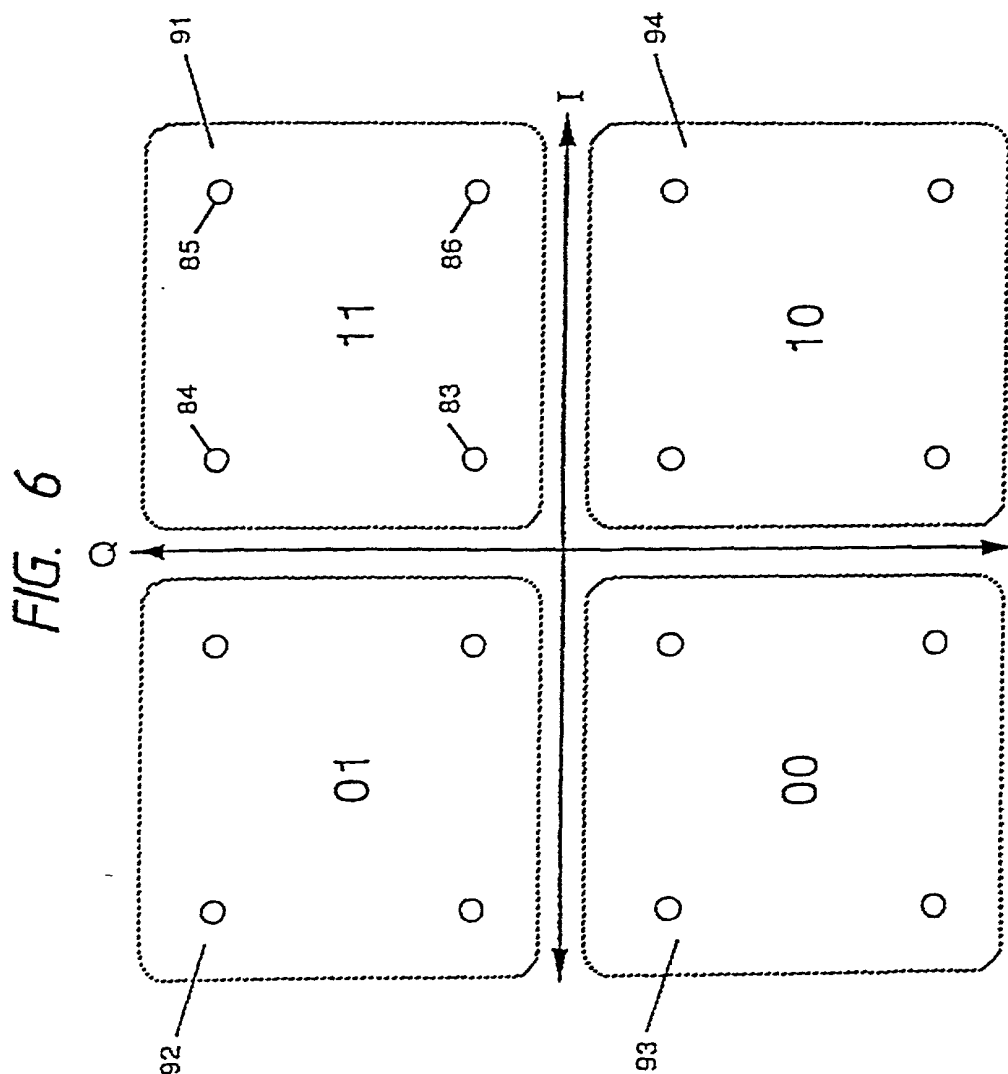
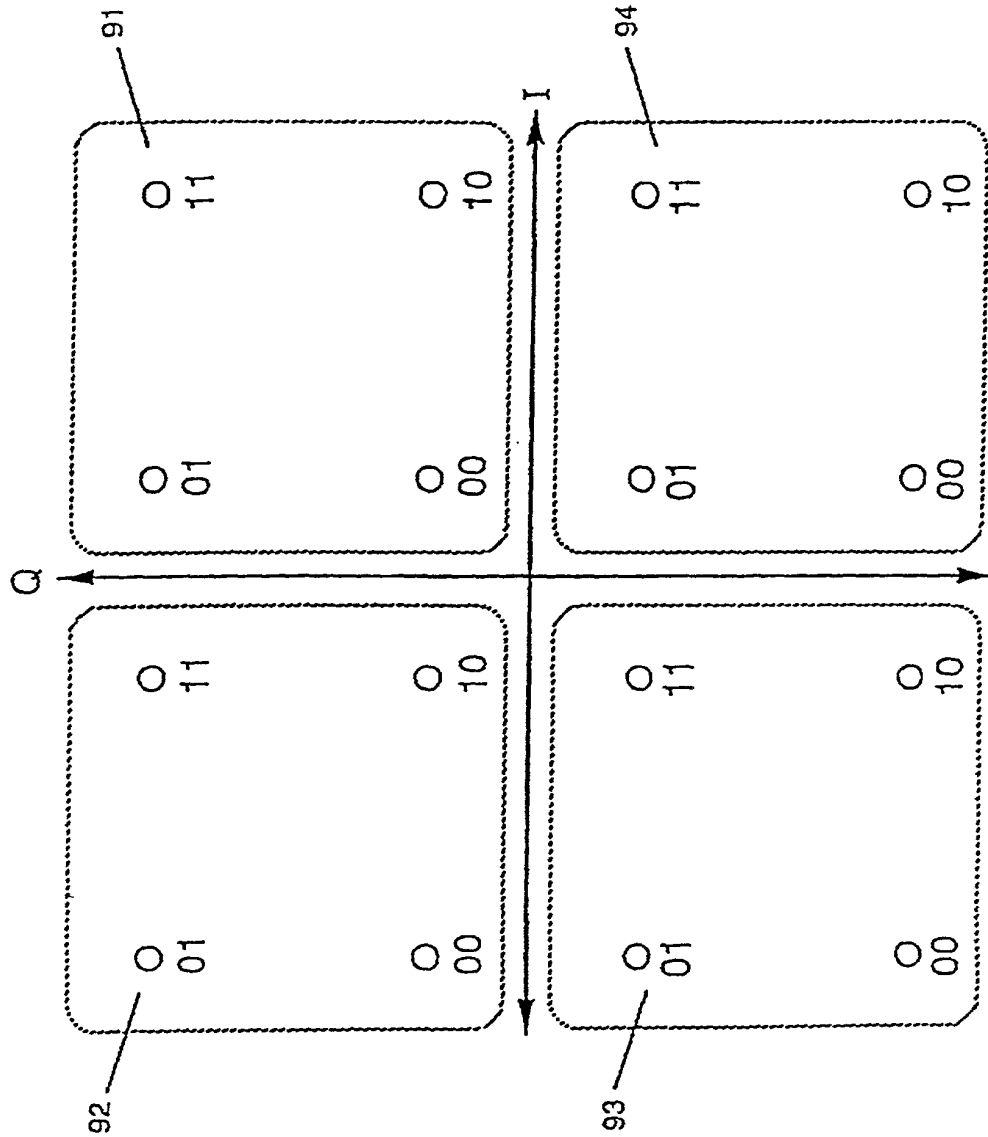


FIG. 7



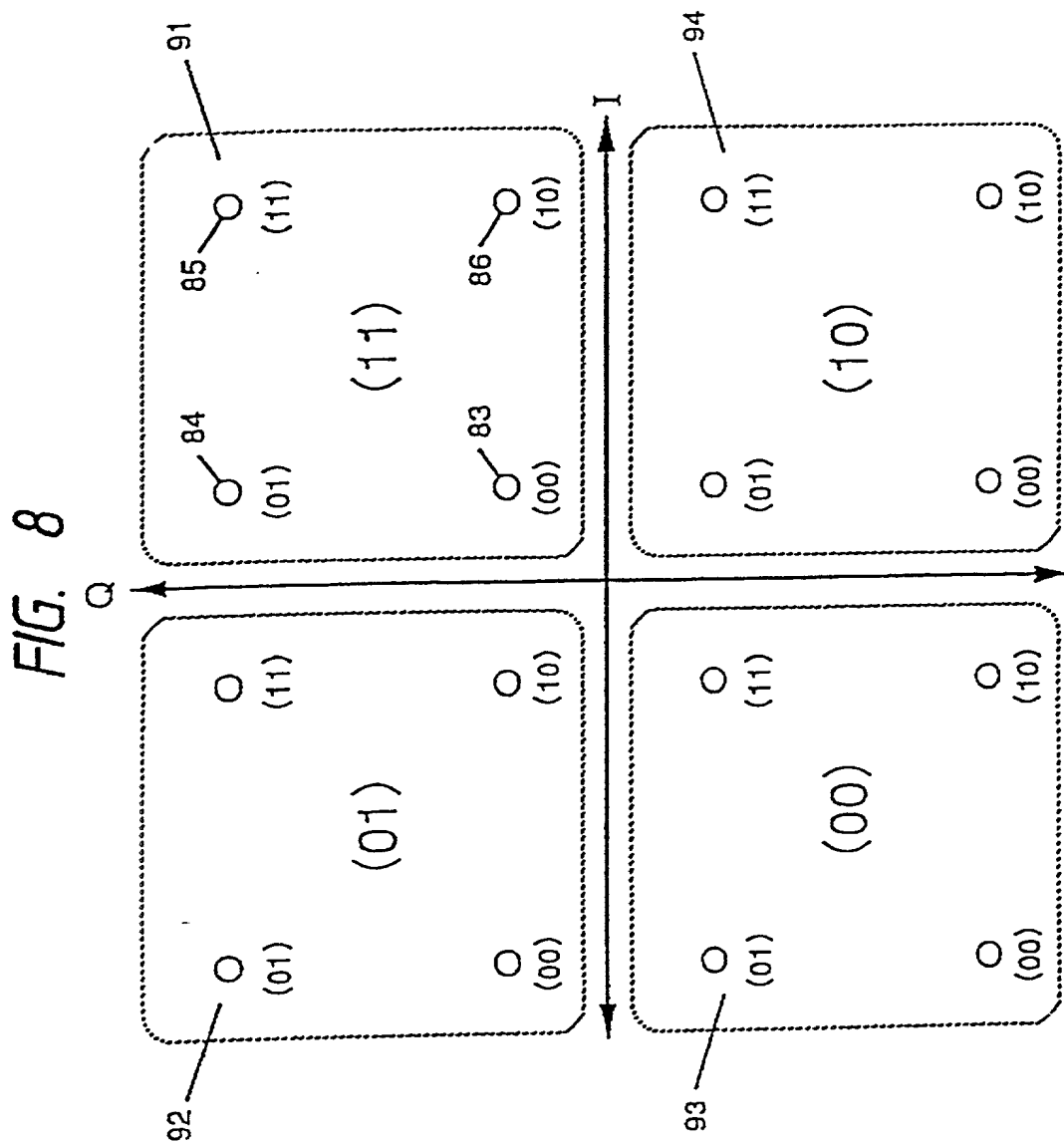




FIG. 9

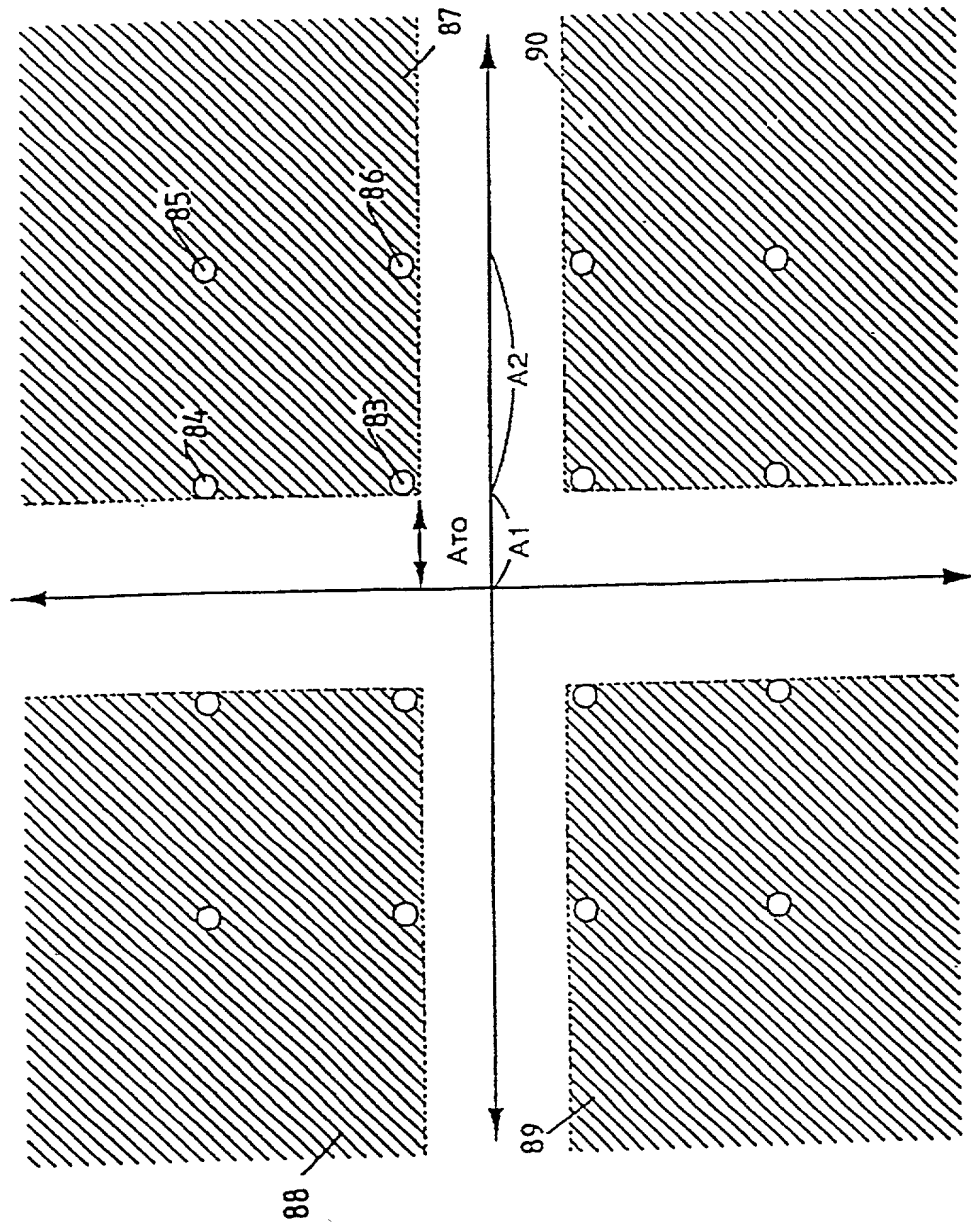


FIG. 10

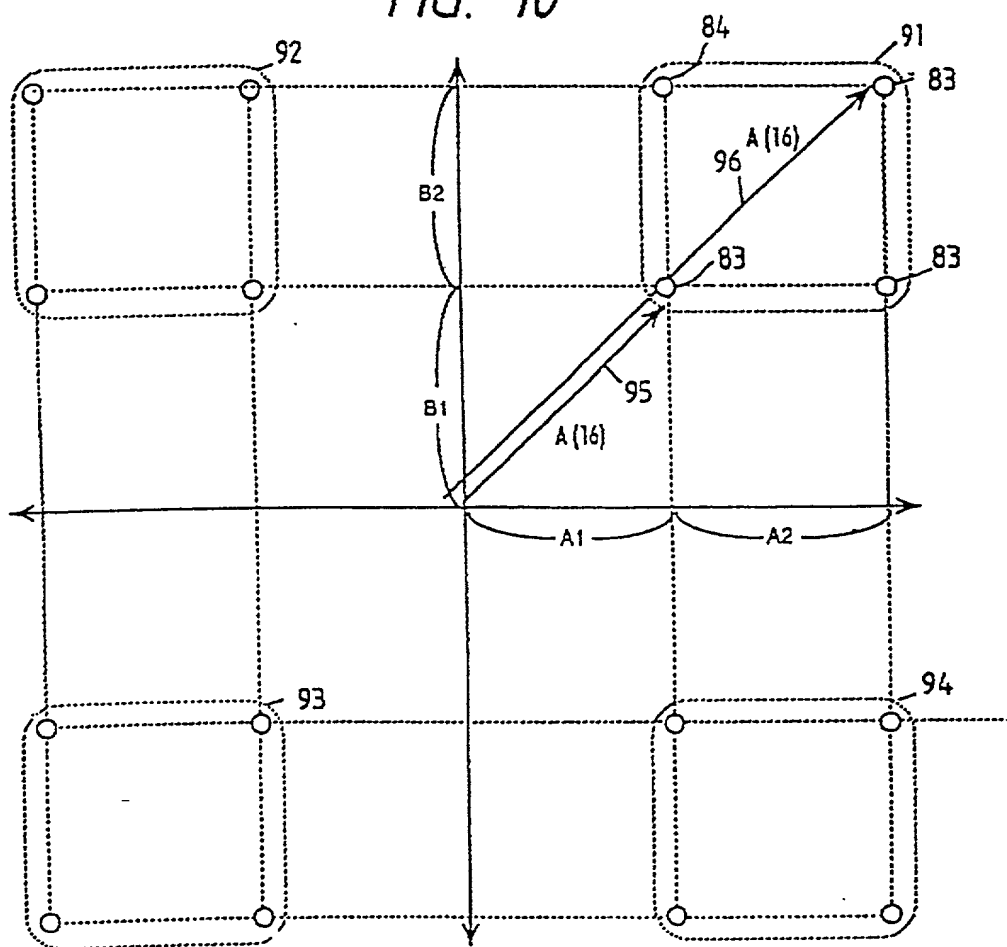
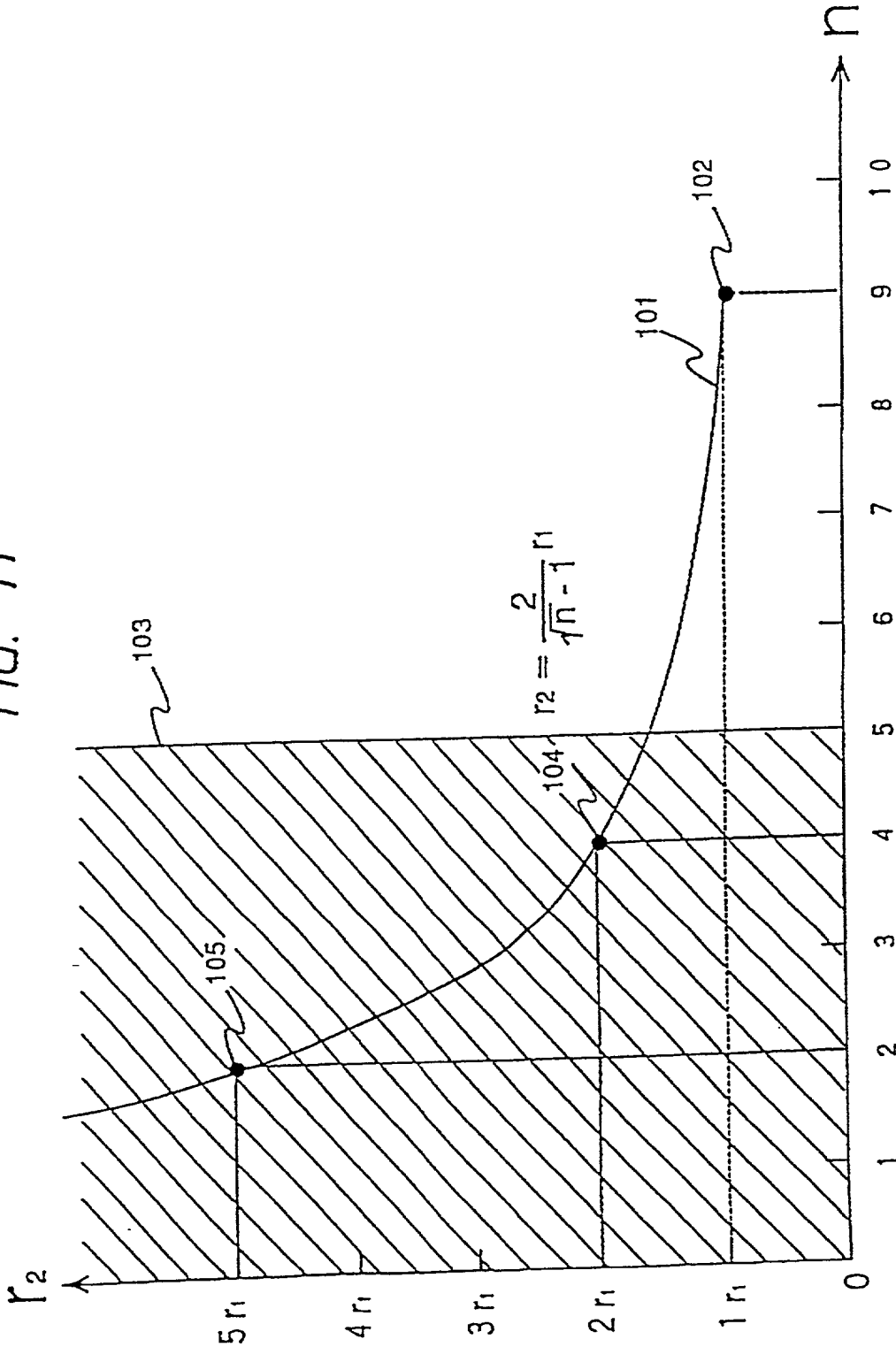
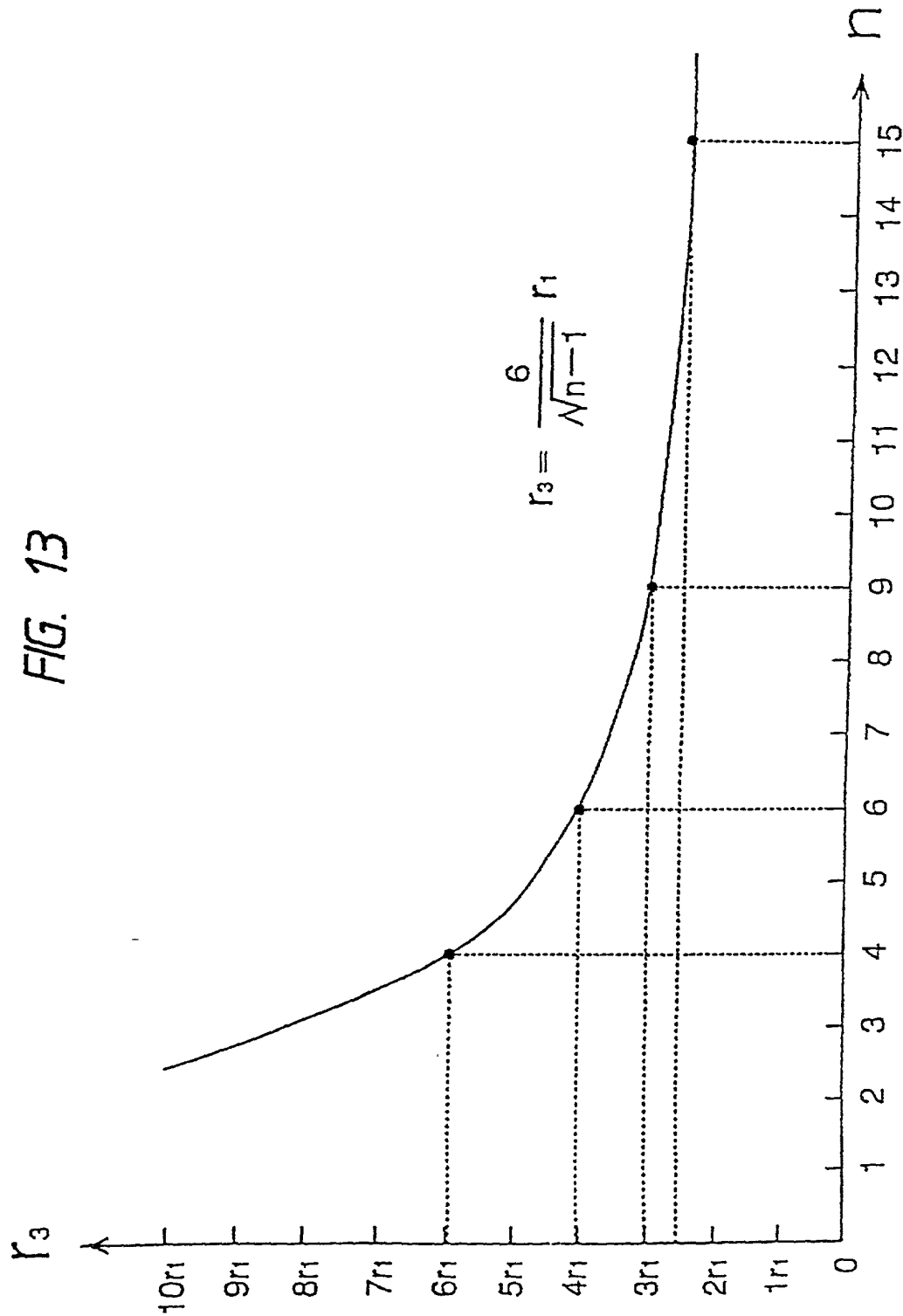


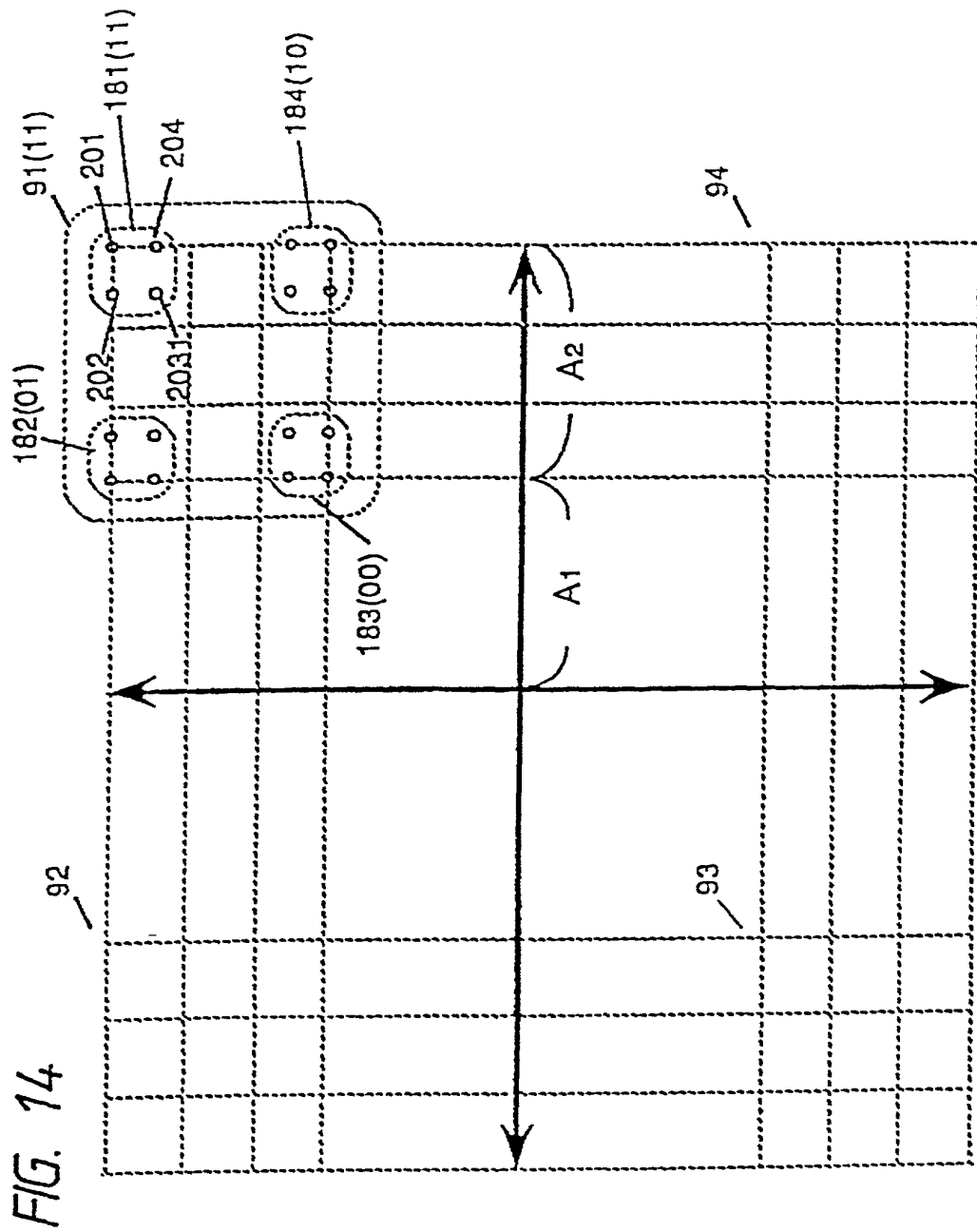
FIG. 11



[illegible]

FIG. 13





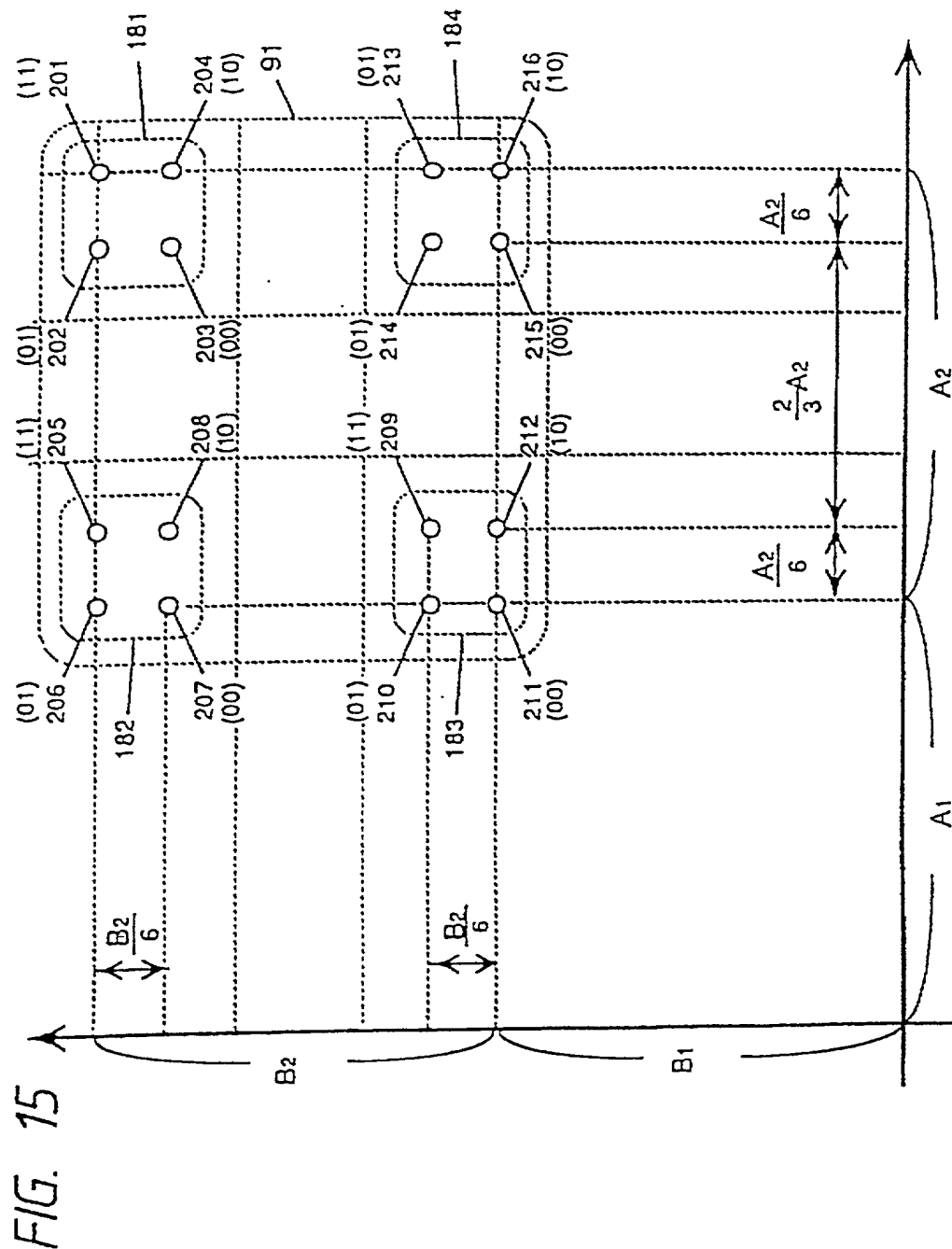


FIG. 16

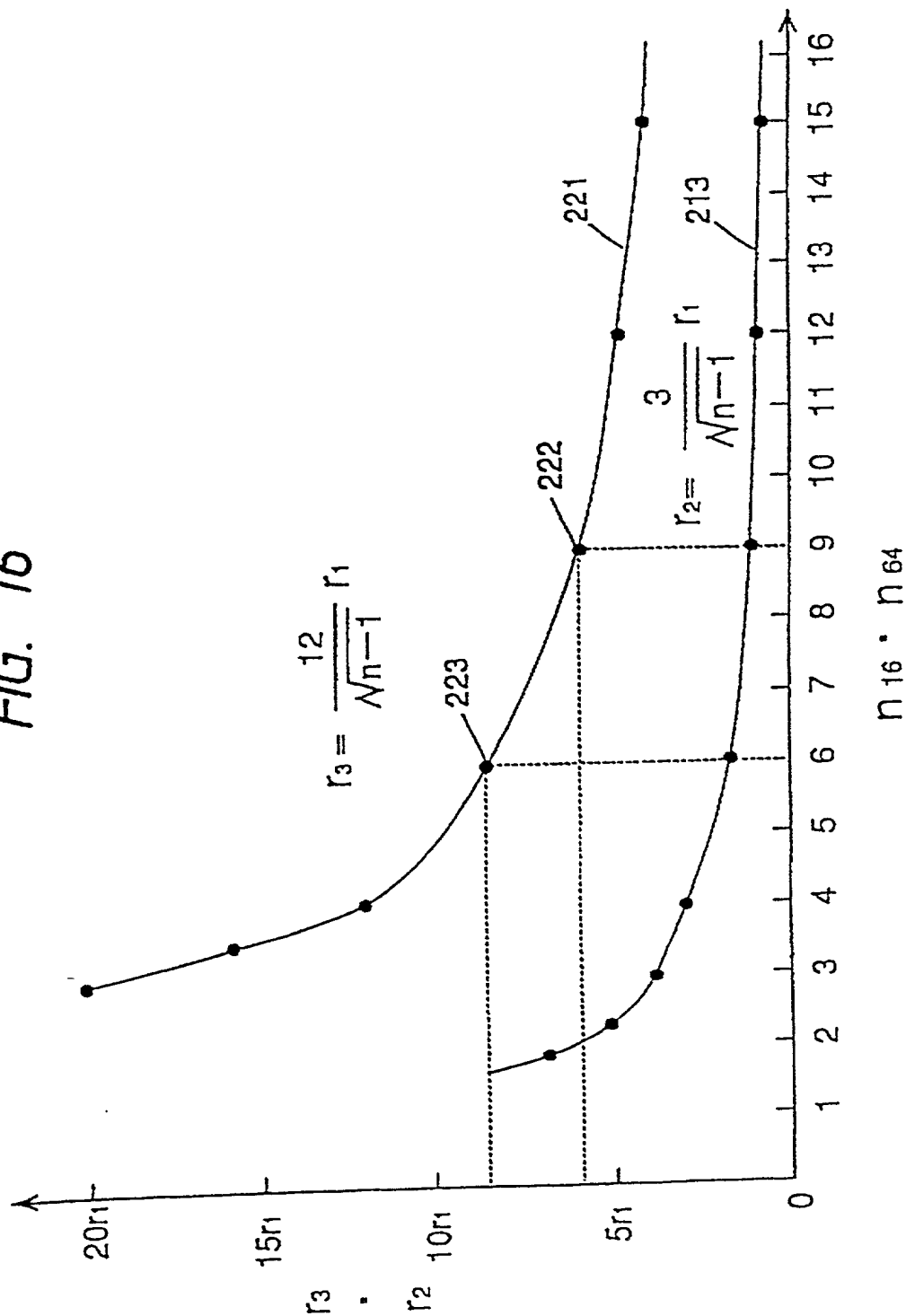




FIG. 17

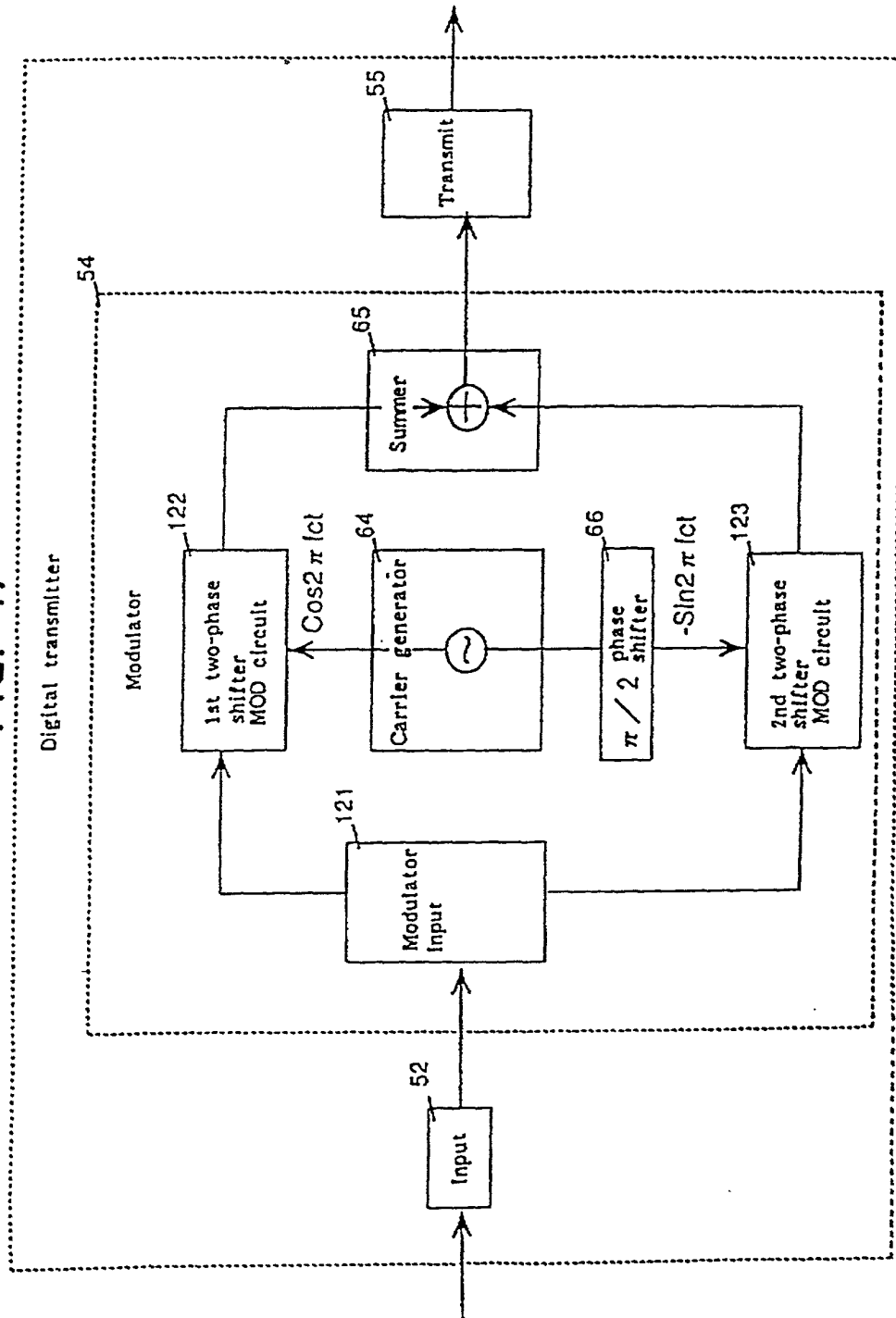


FIG. 18

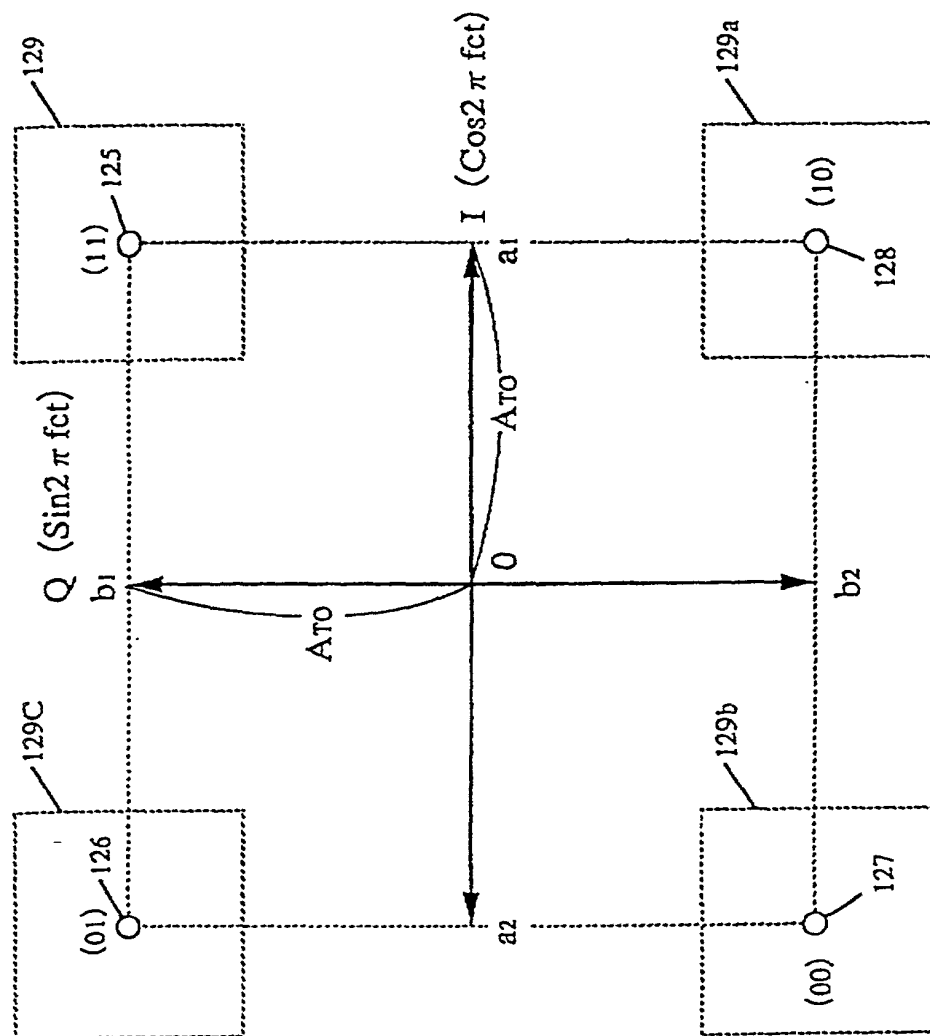
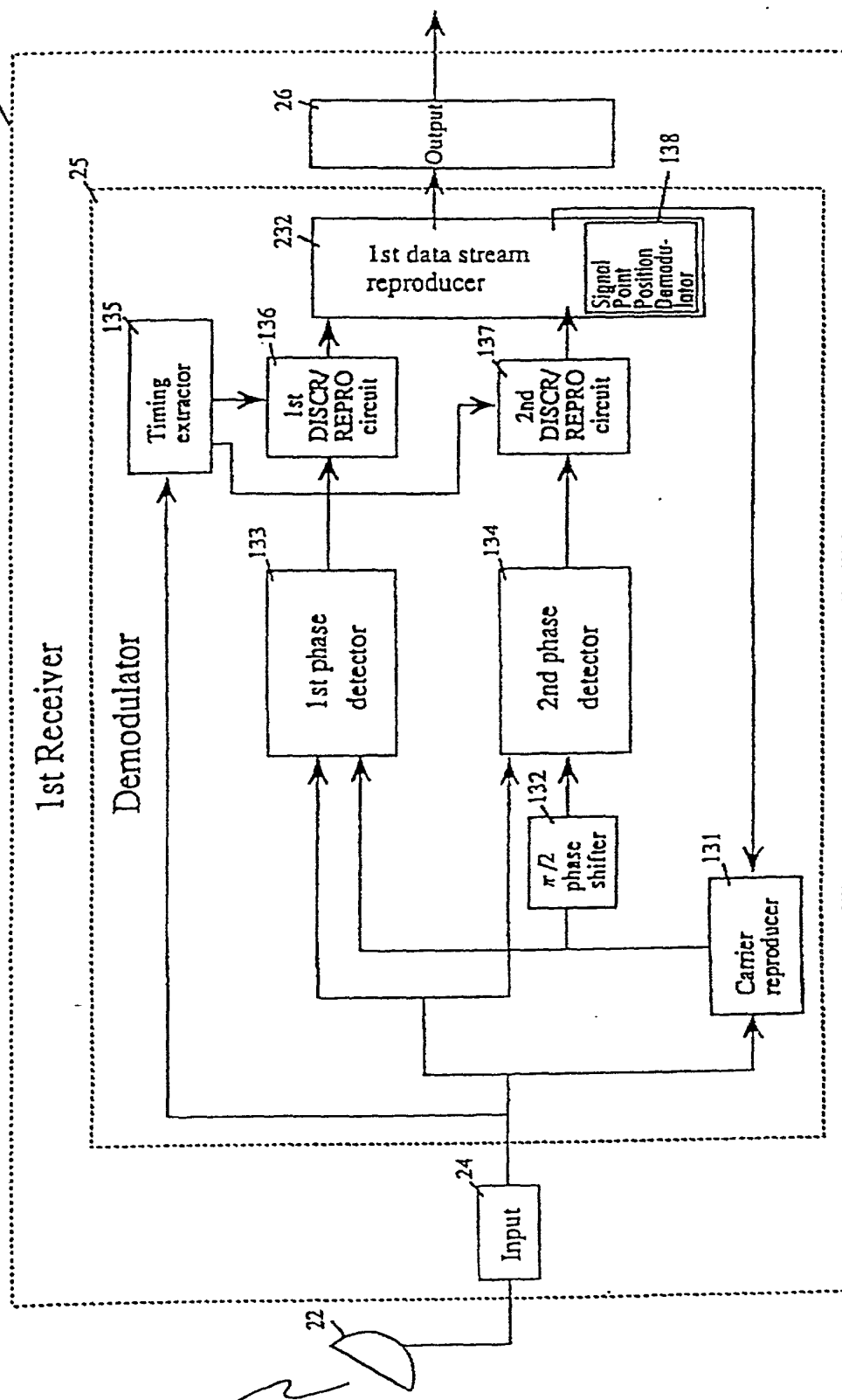


FIG. 19



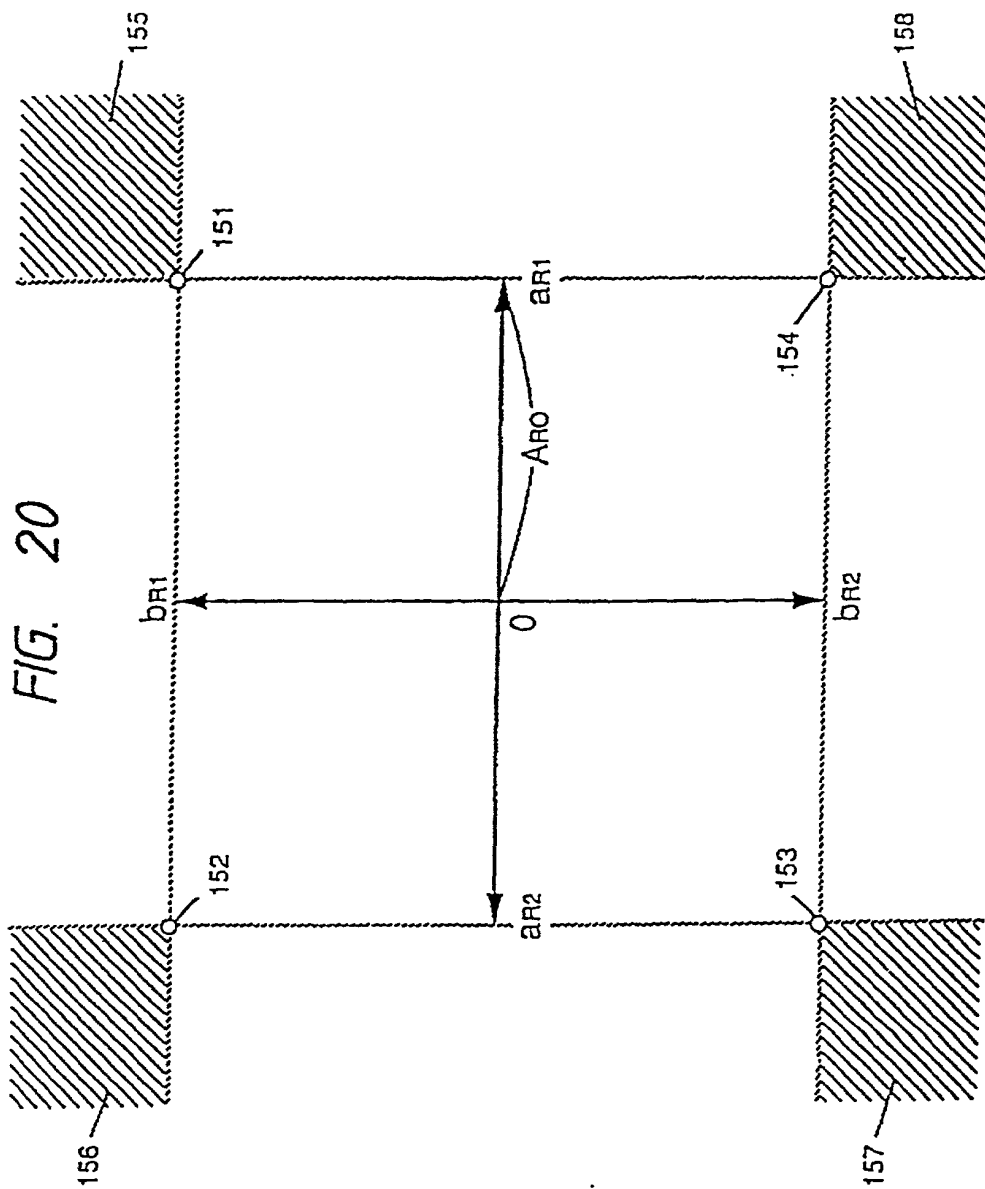
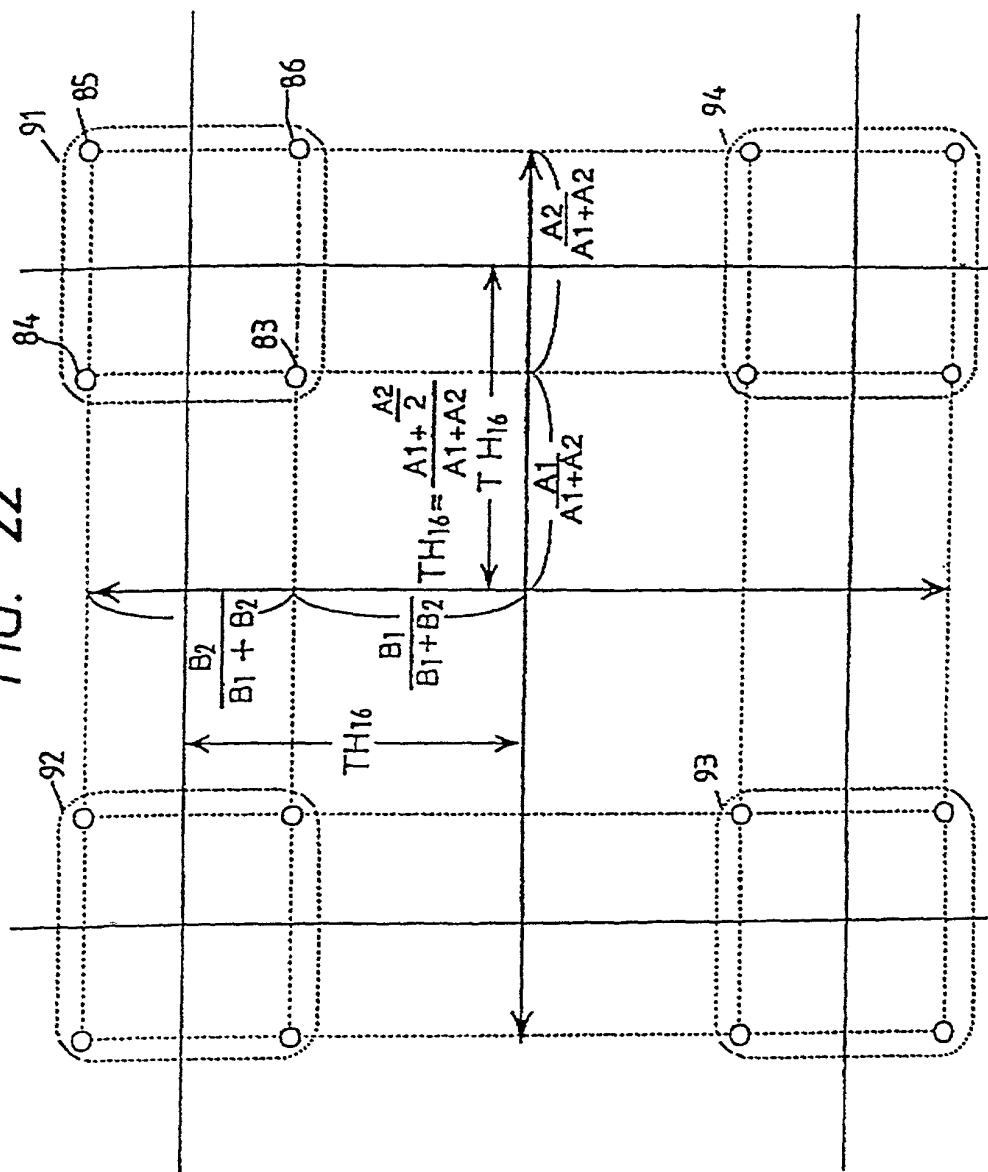


FIG. 20

000227-89004660



FIG. 22



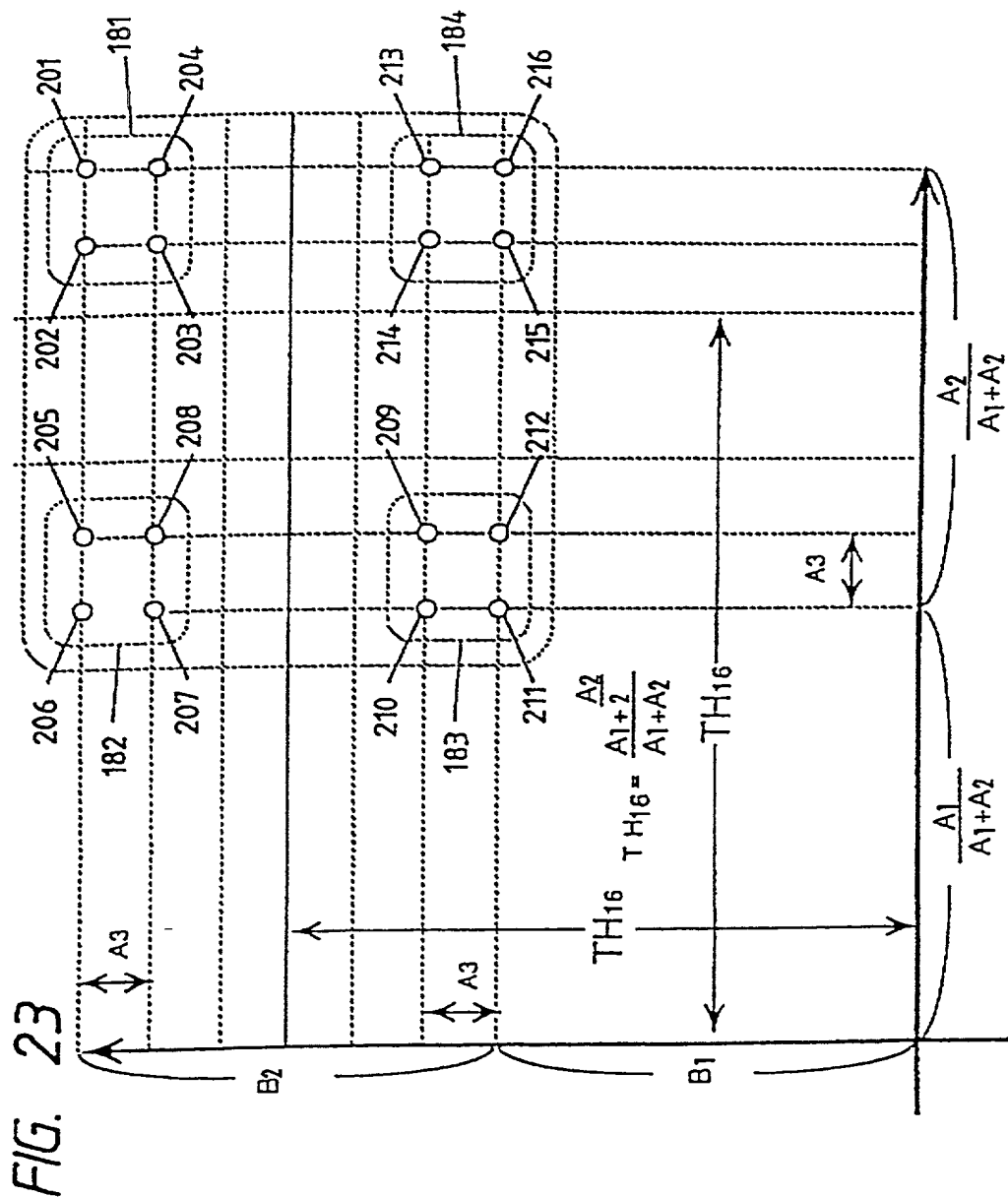


FIG. 24

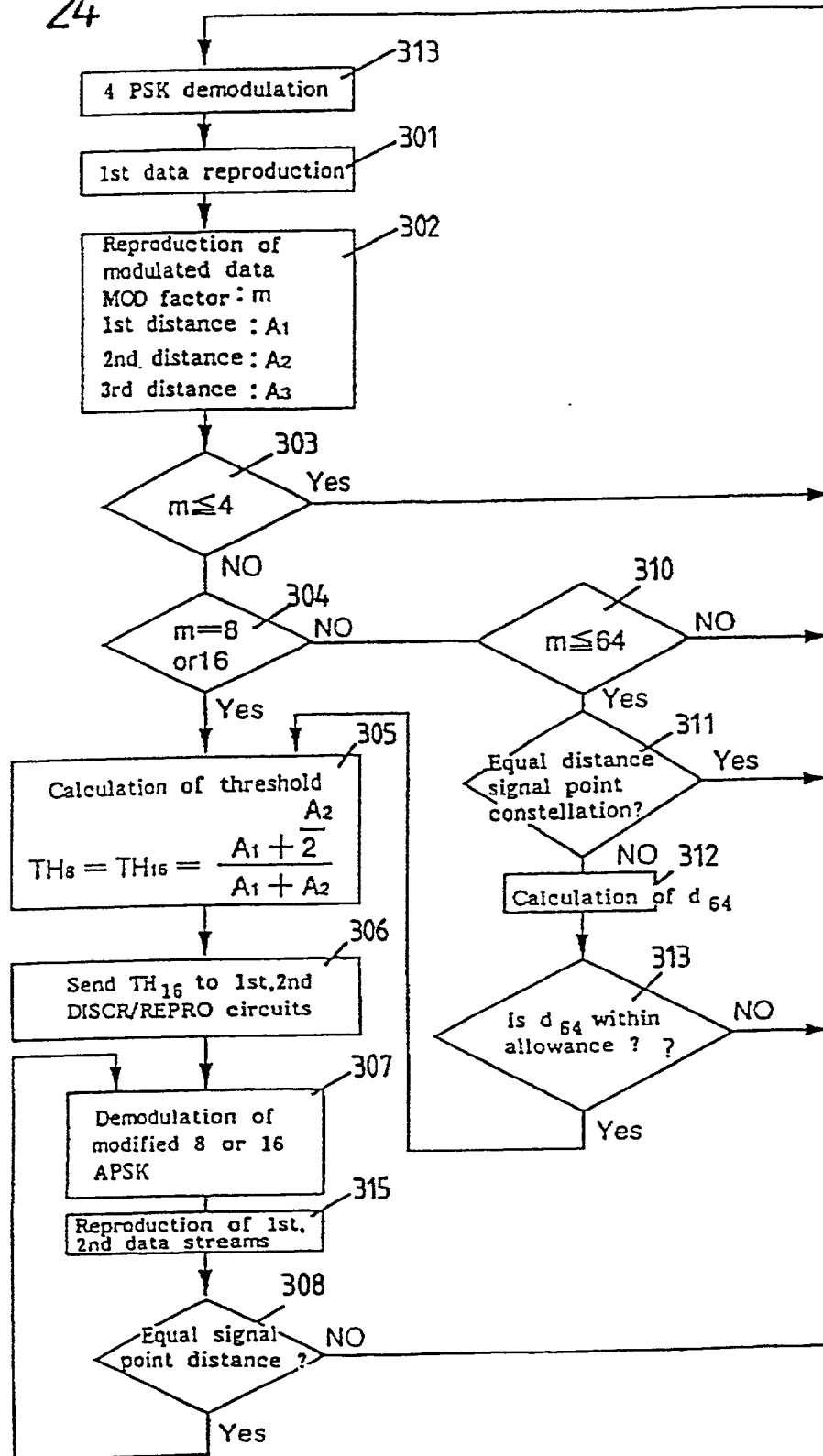




FIG. 25(a)

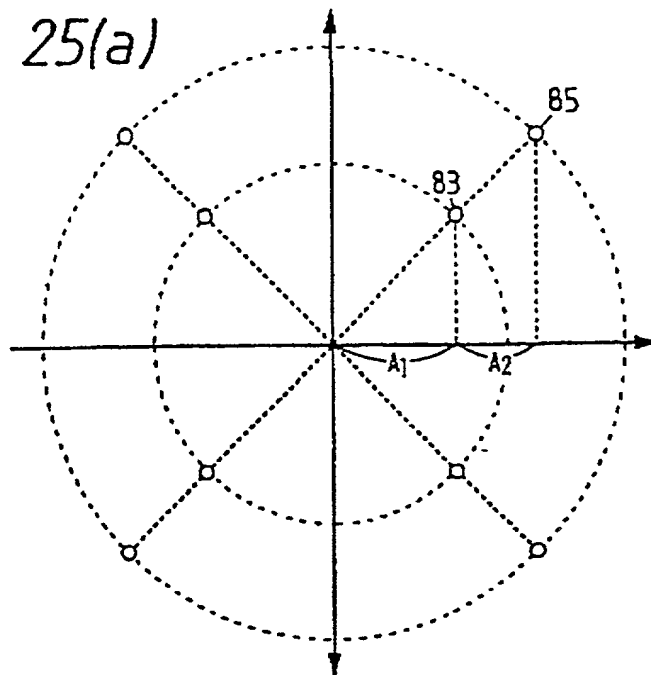


FIG. 25(b)

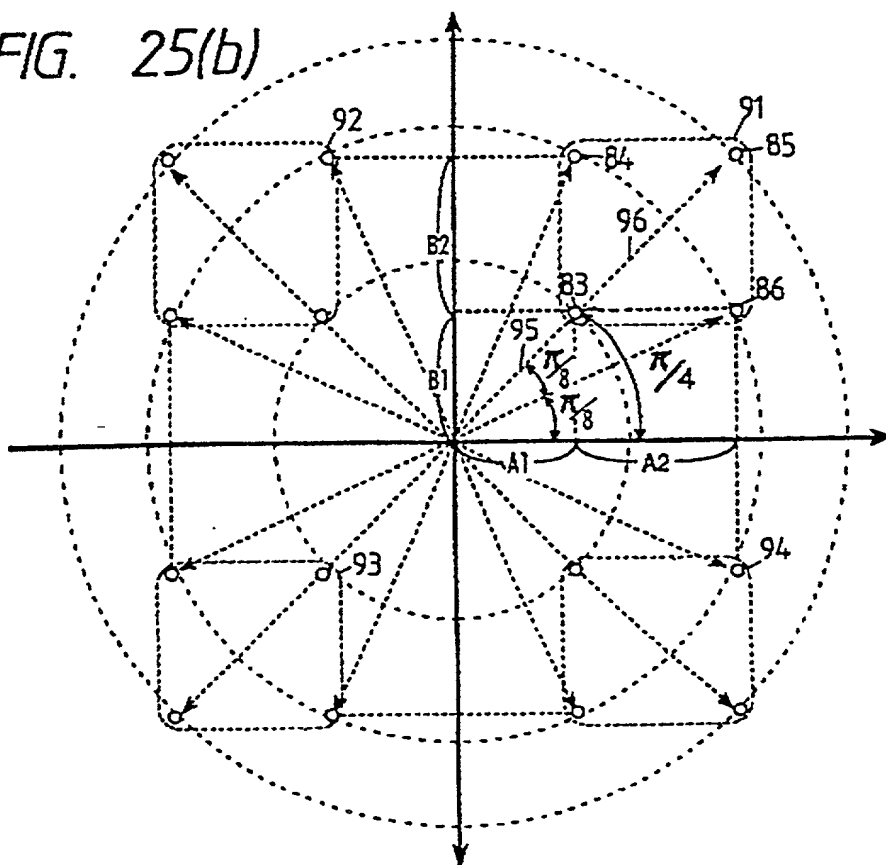
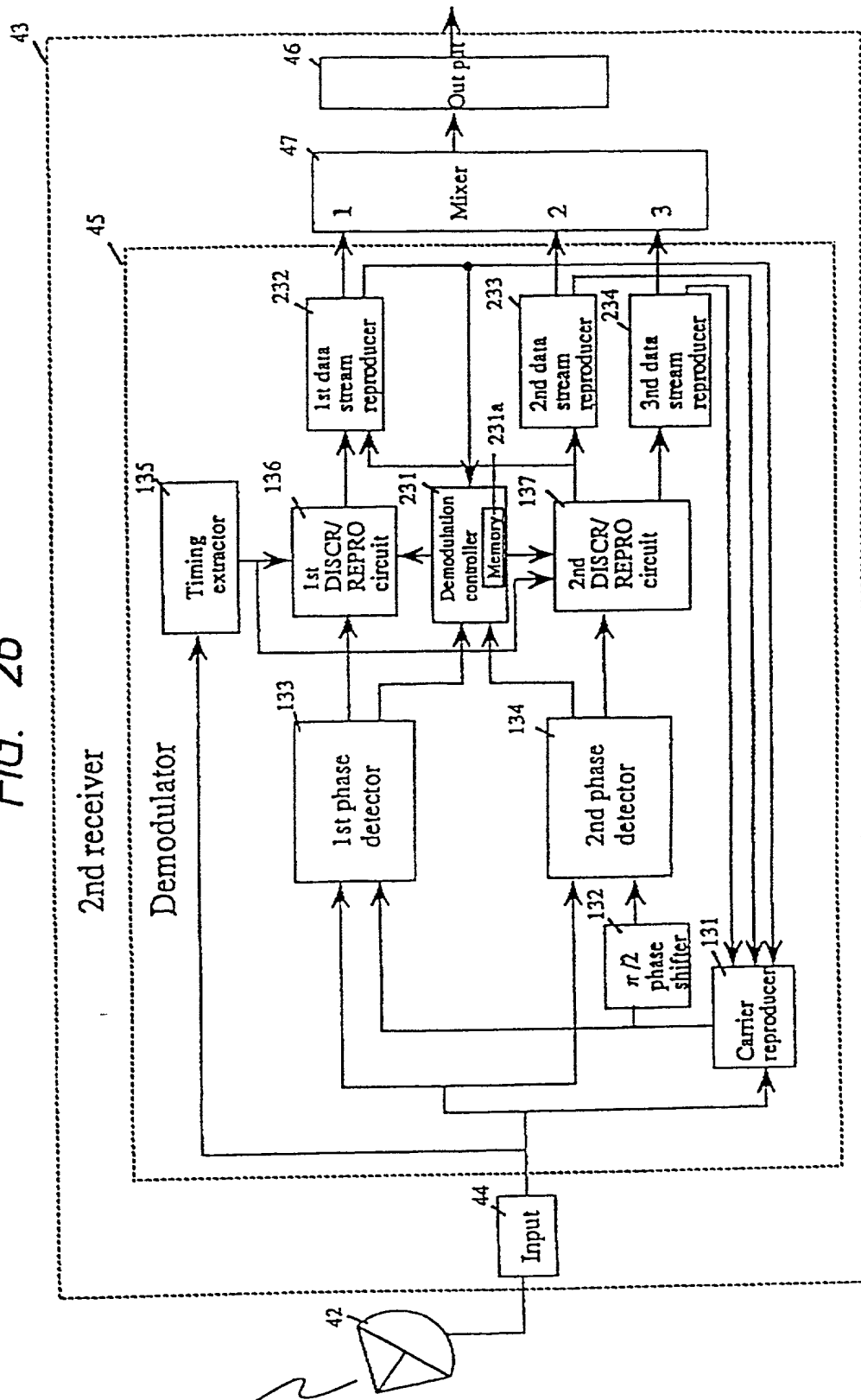


FIG. 26



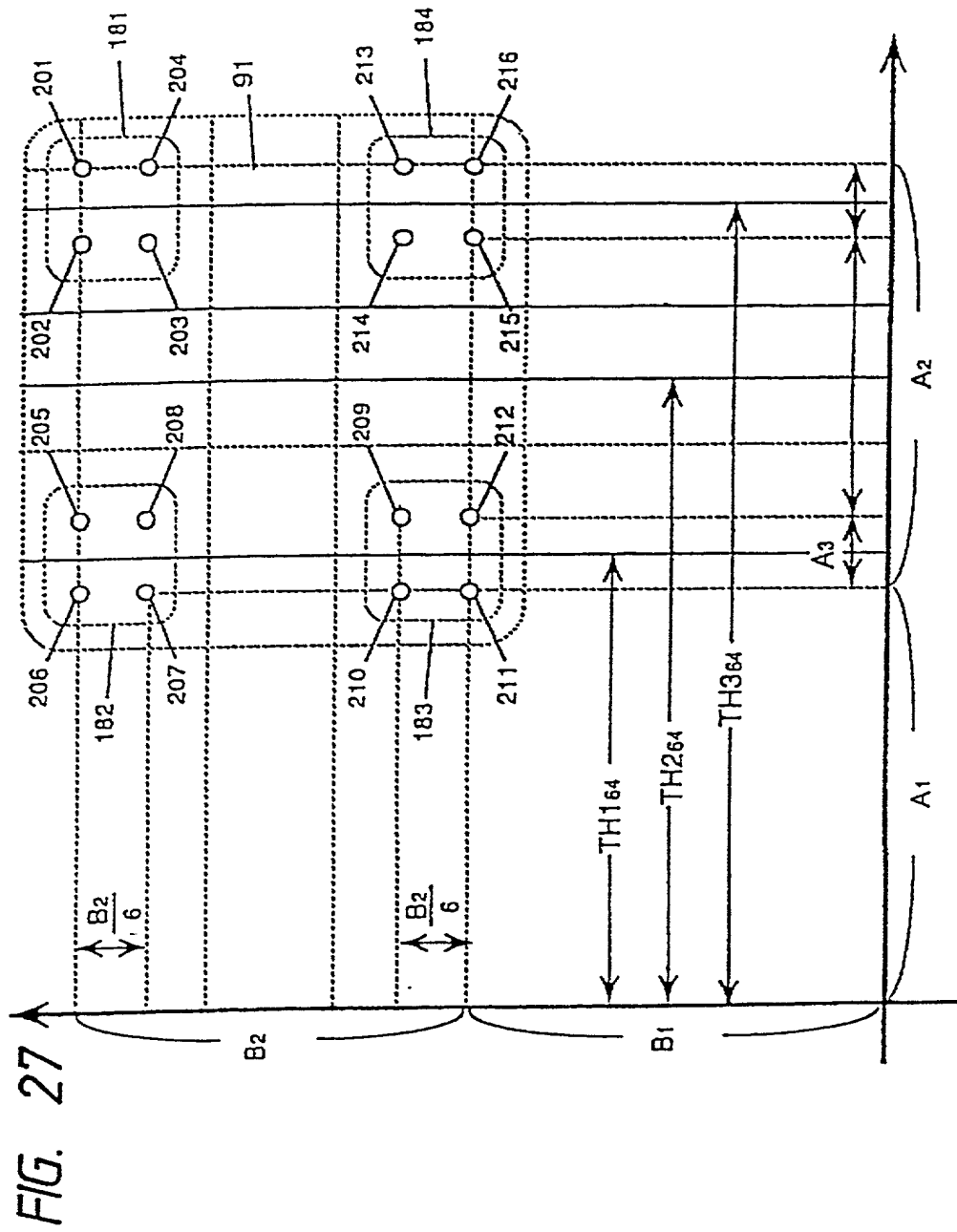


FIG. 28

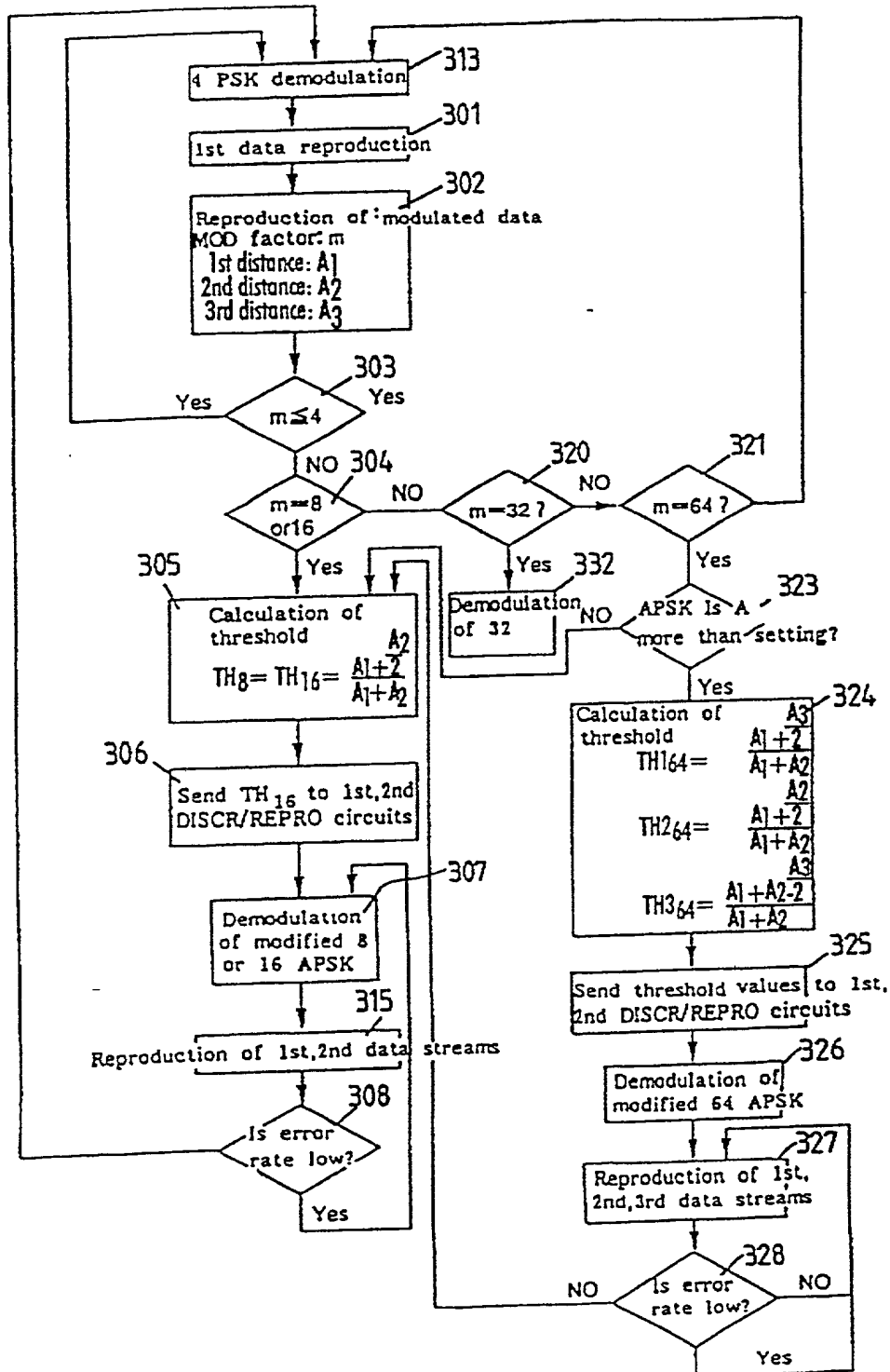


FIG. 29

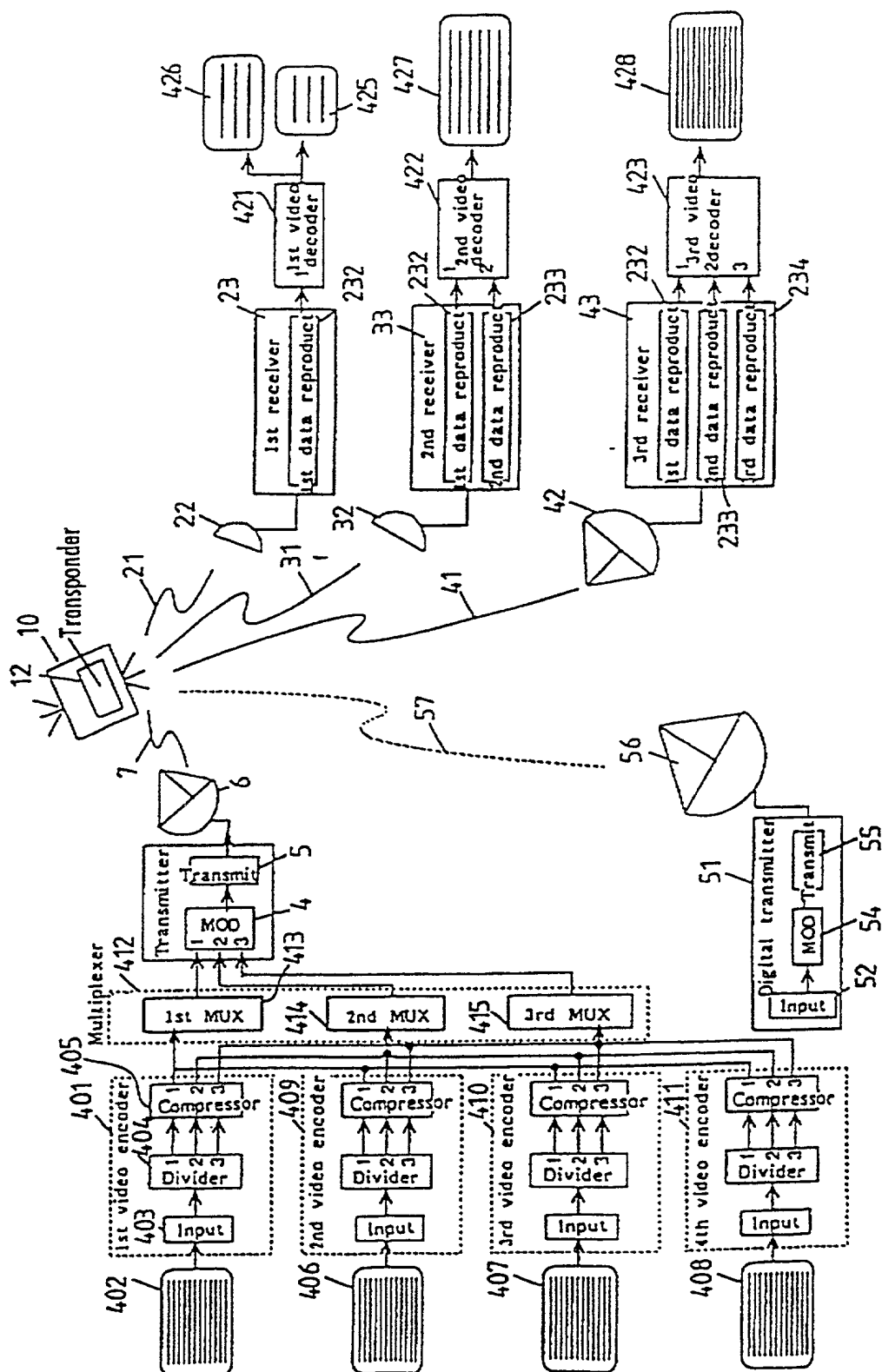


FIG. 30

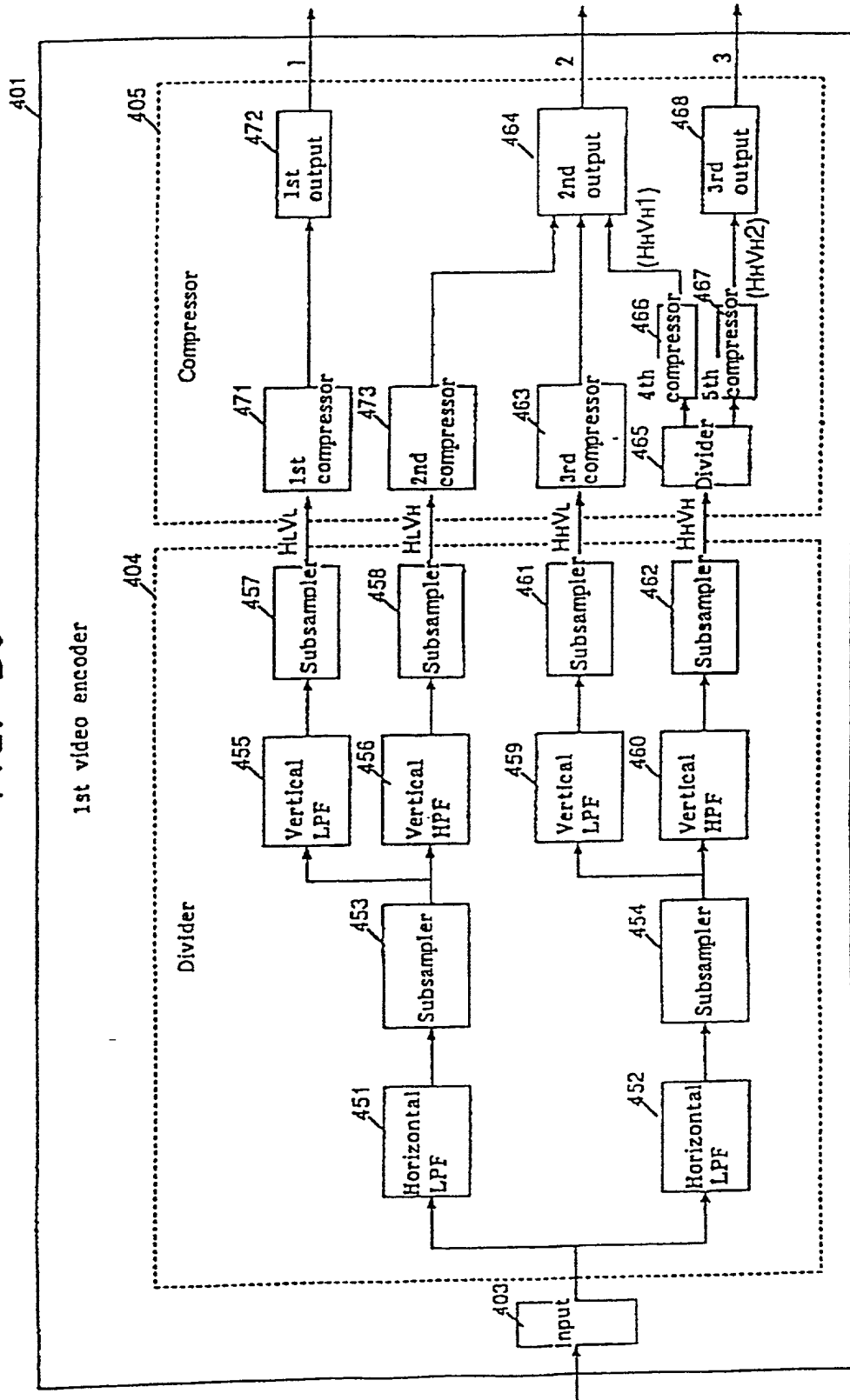


FIG. 31

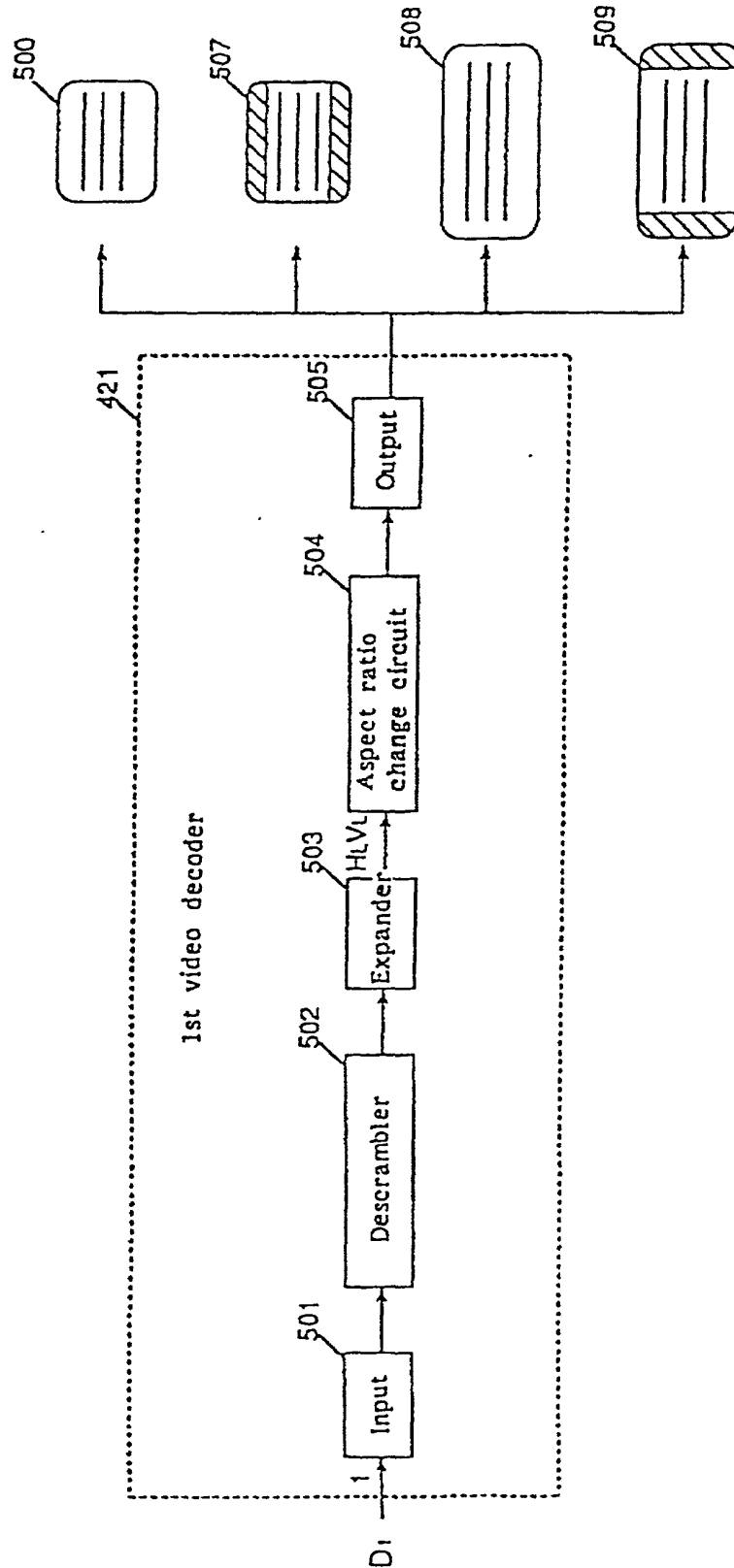


FIG. 32

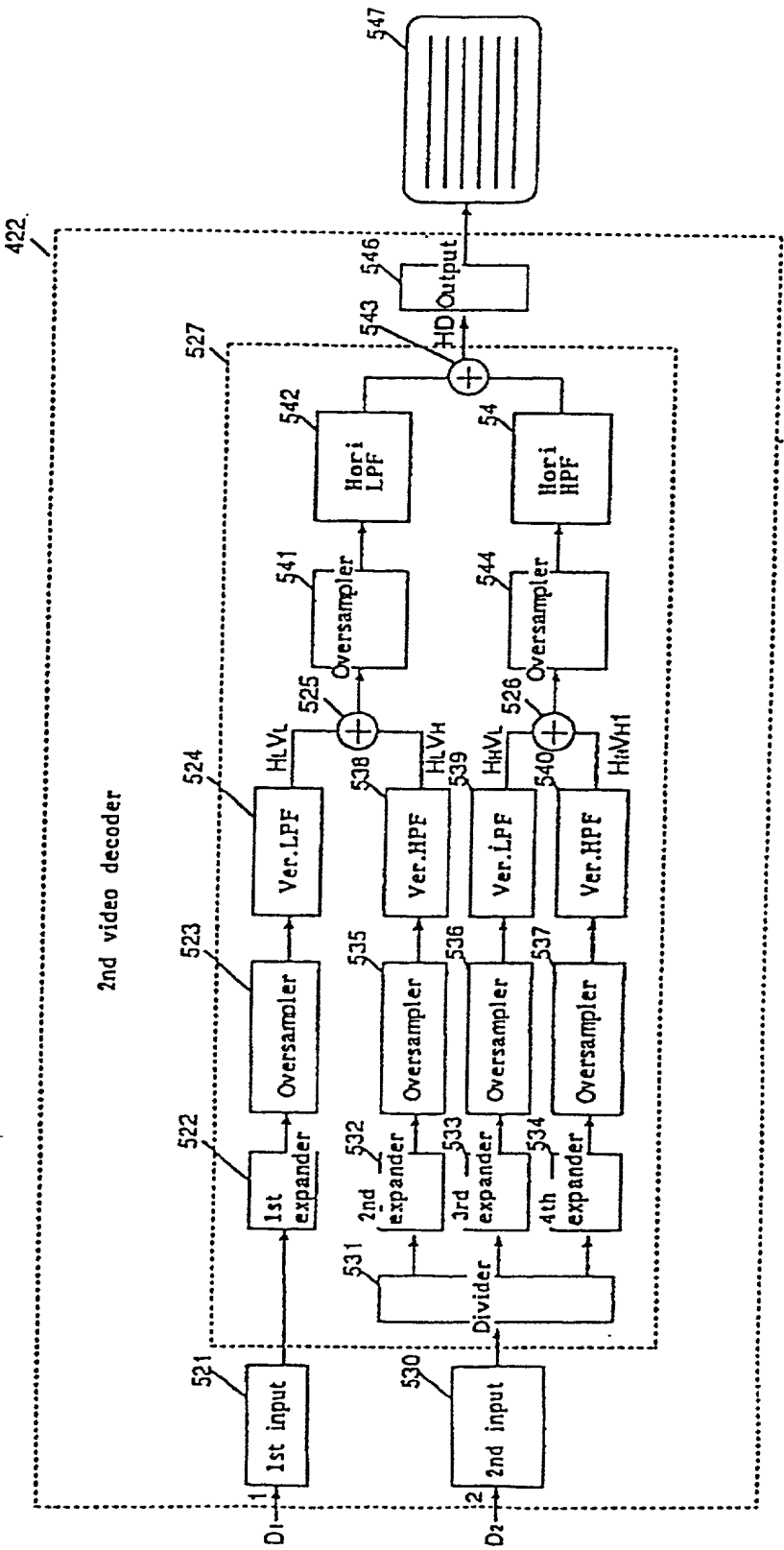
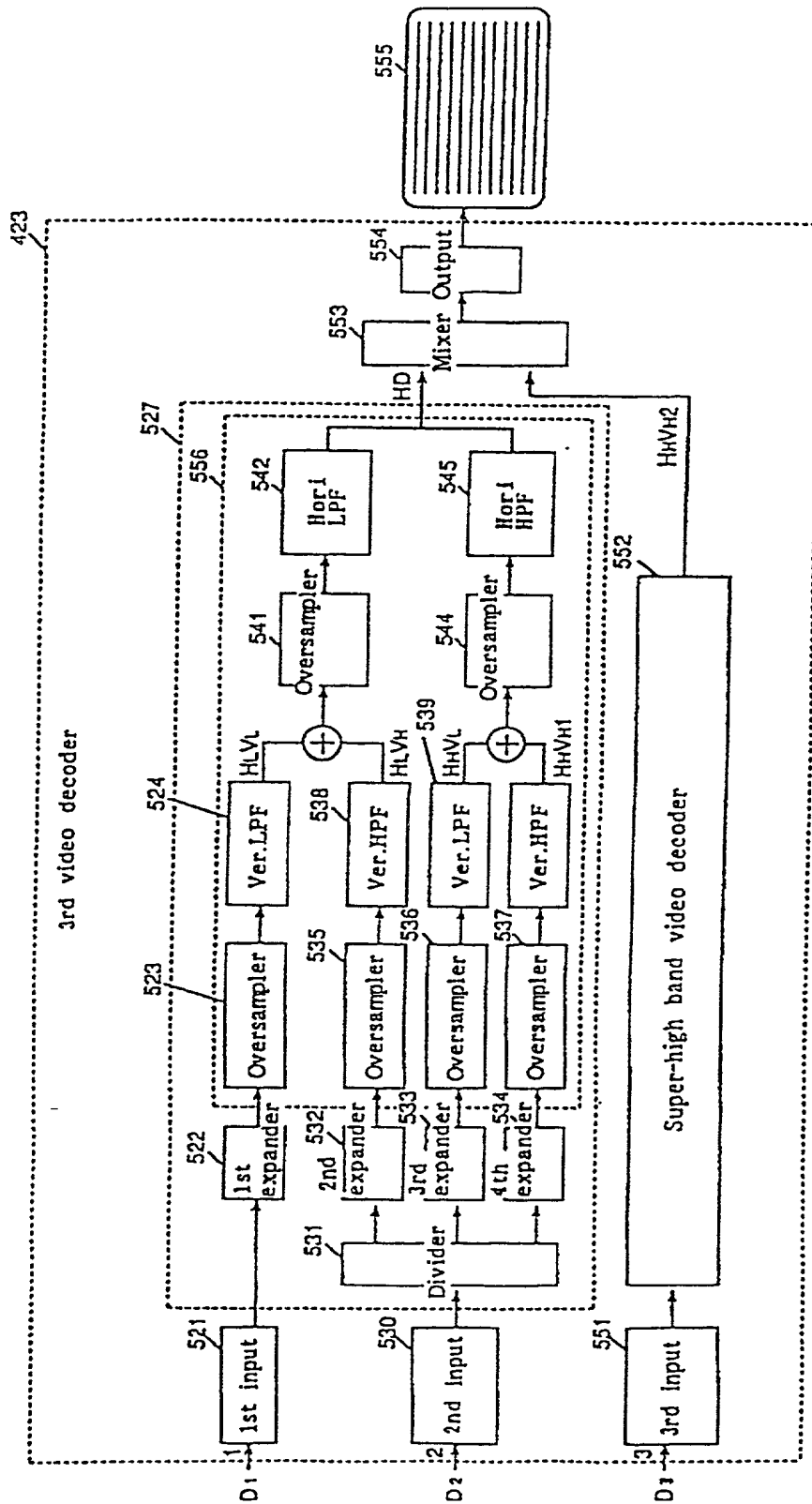
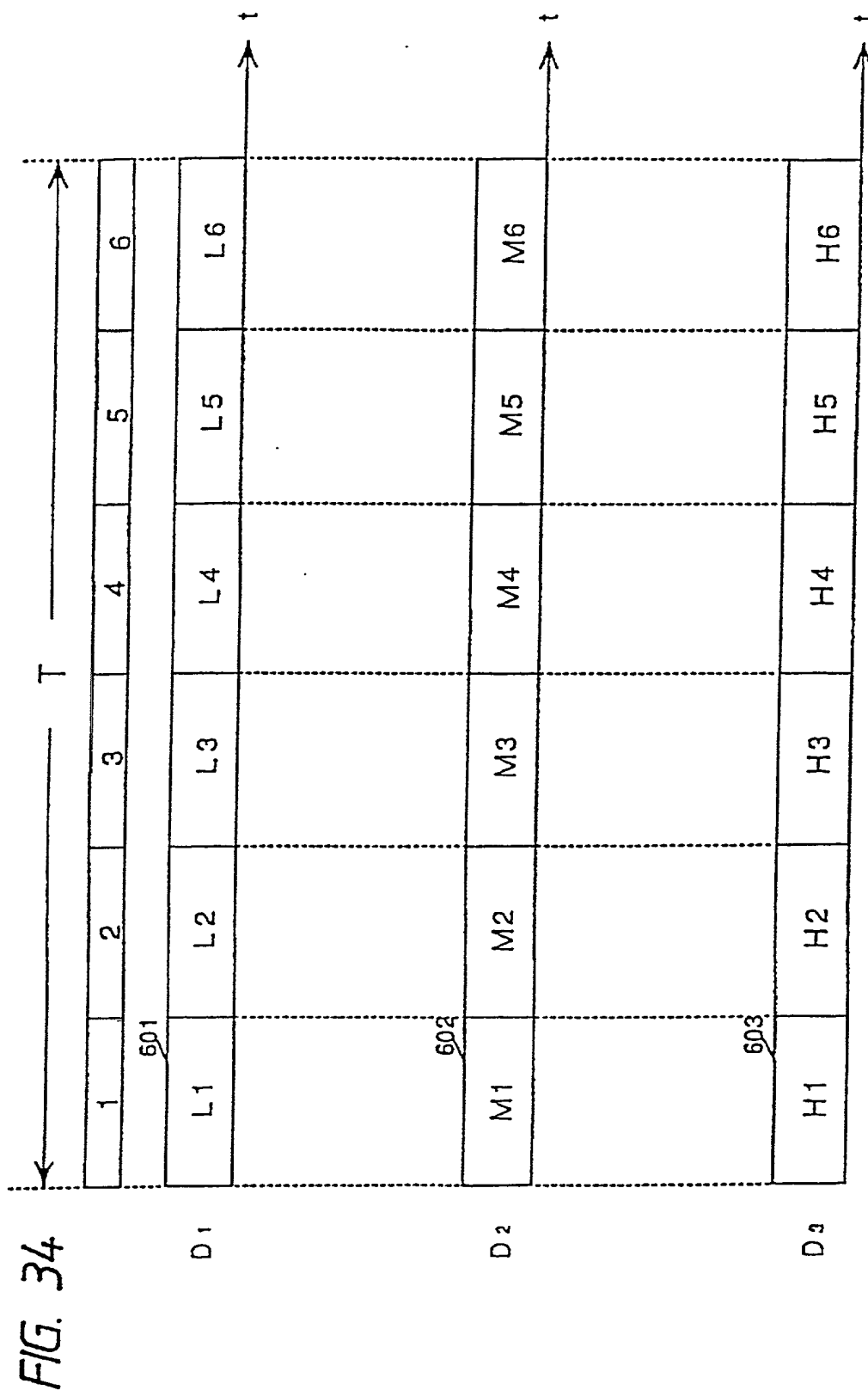




FIG. 33





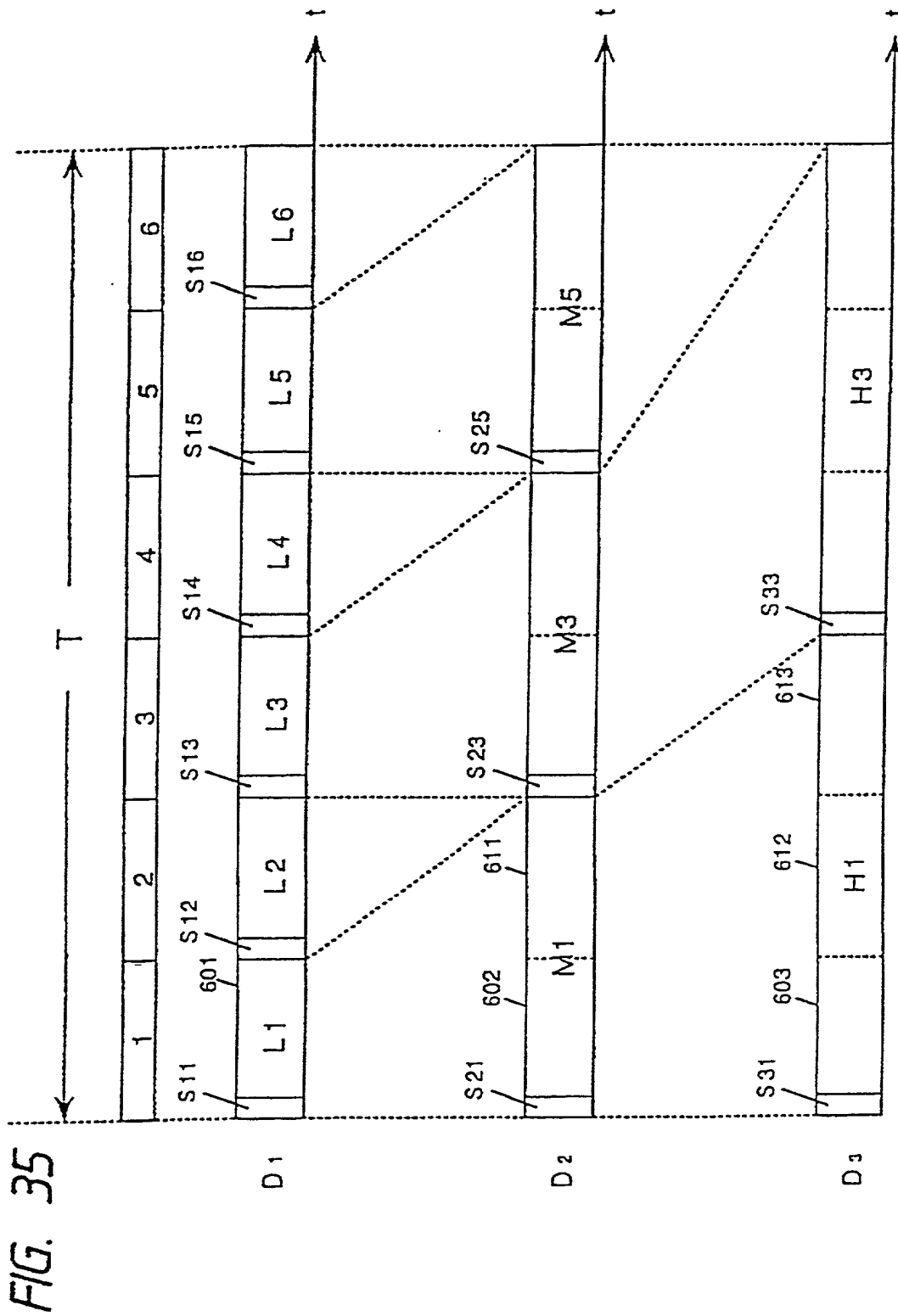


FIG. 36

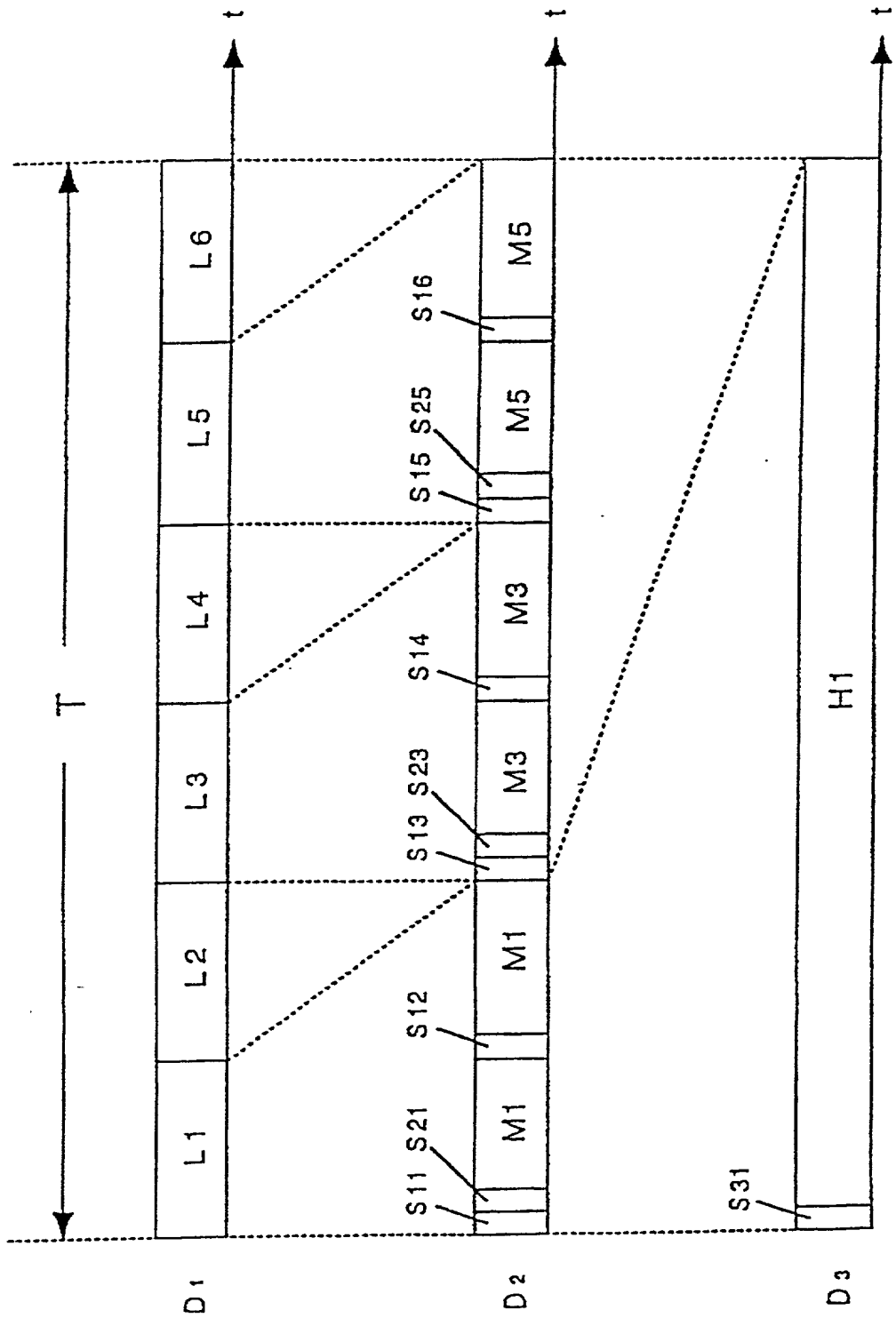
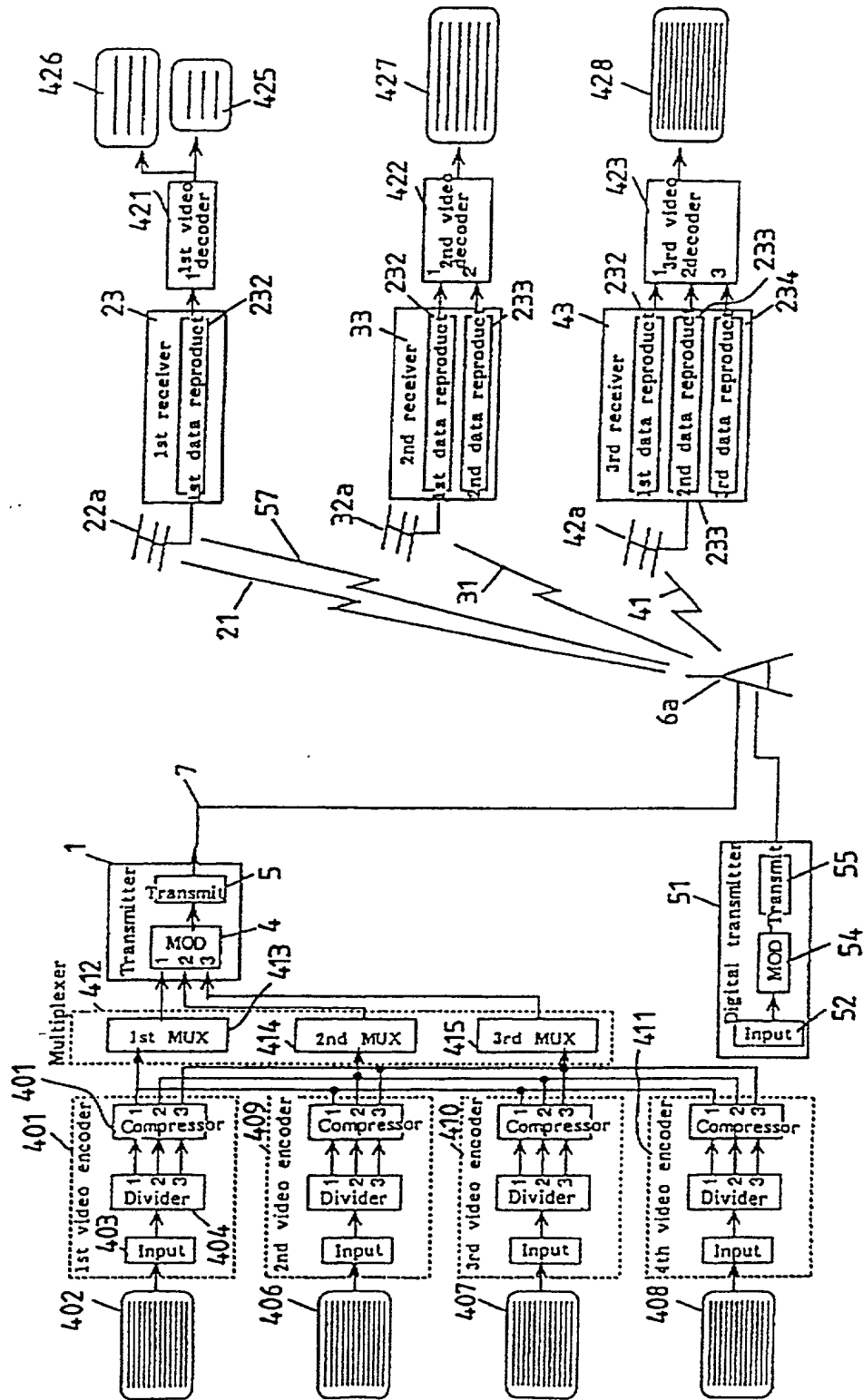


FIG. 37



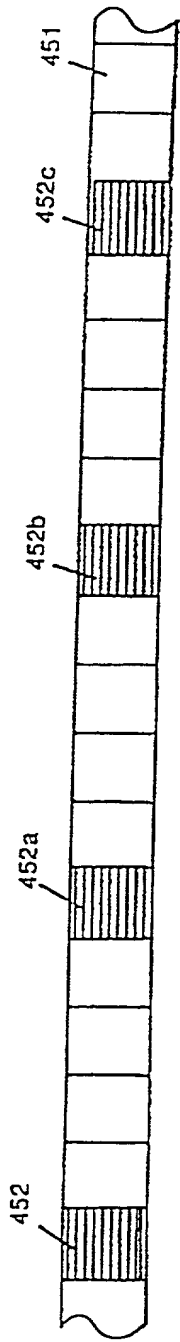
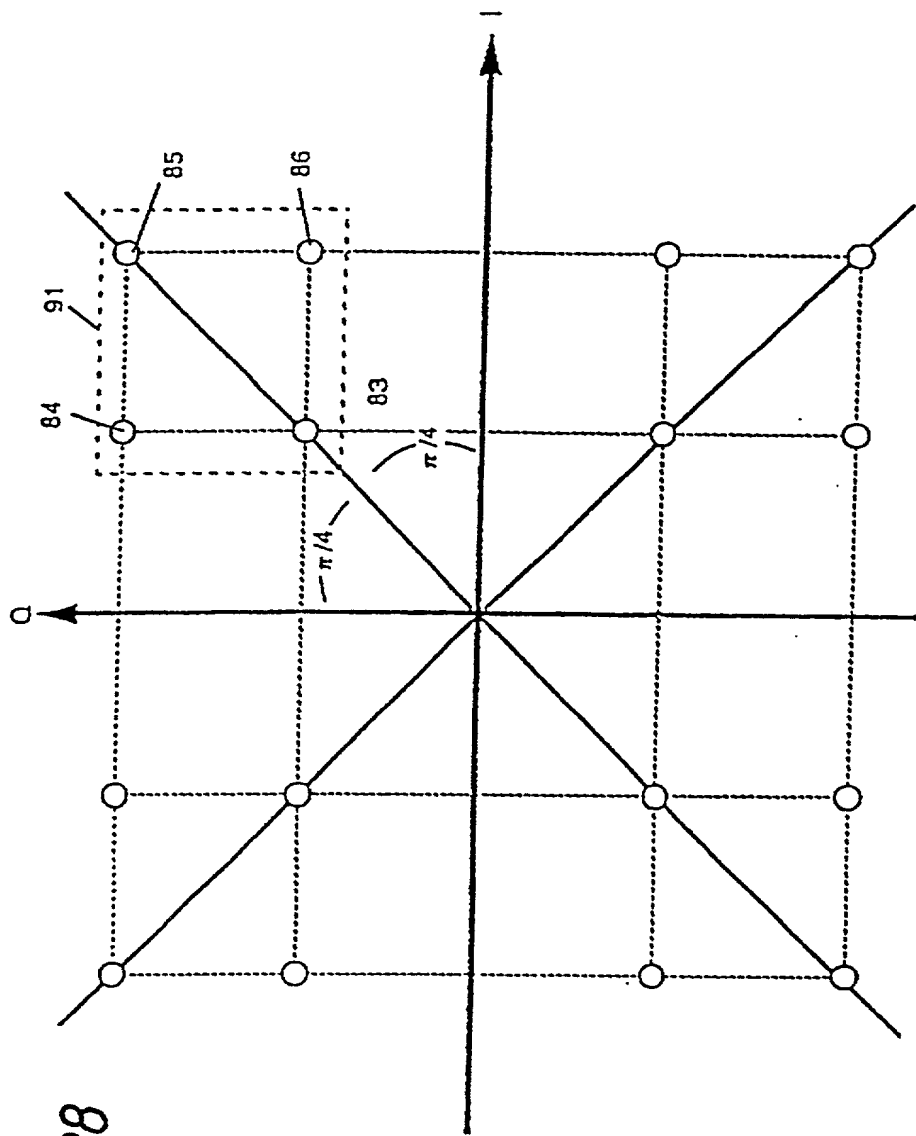
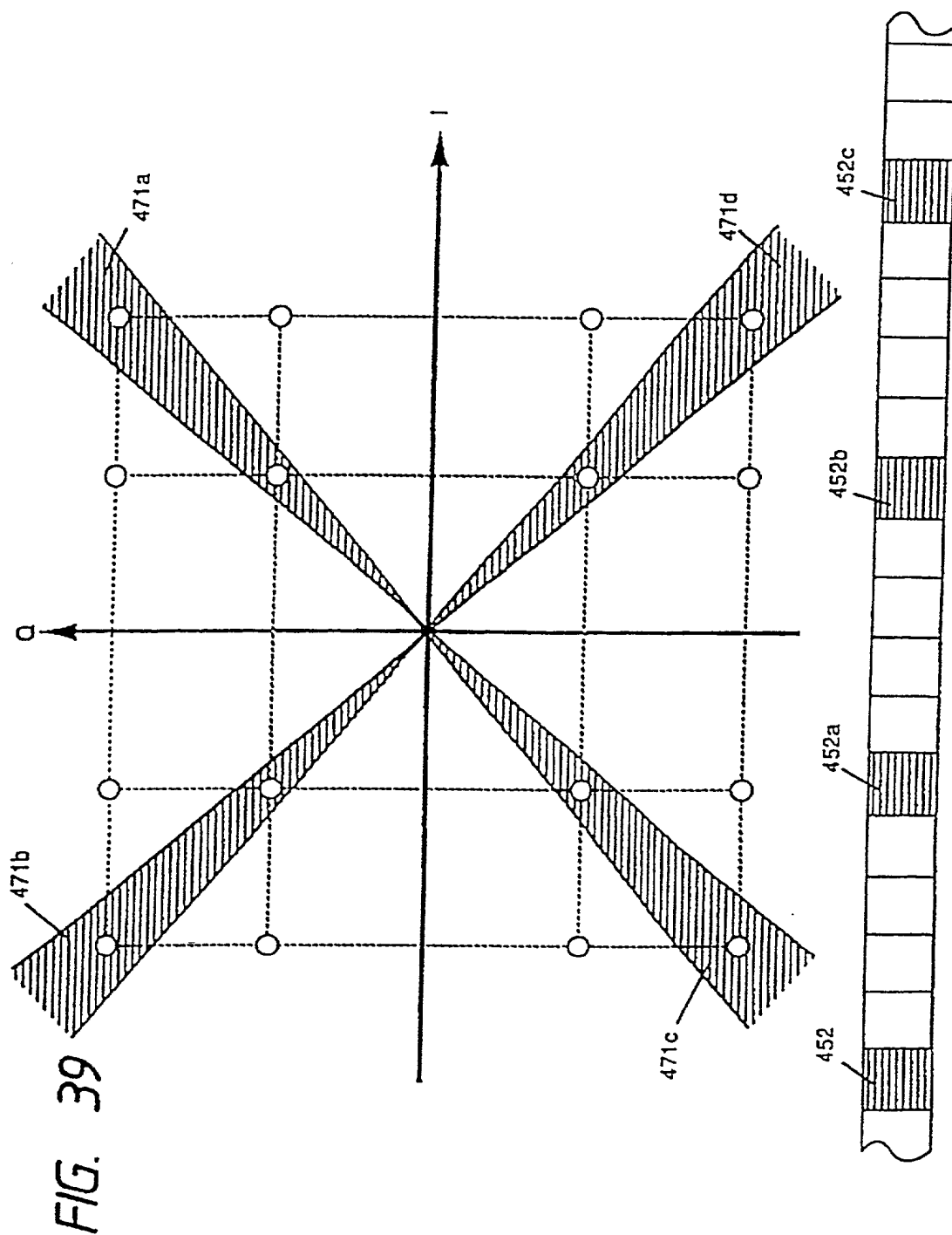


FIG. 38

000001 250014260



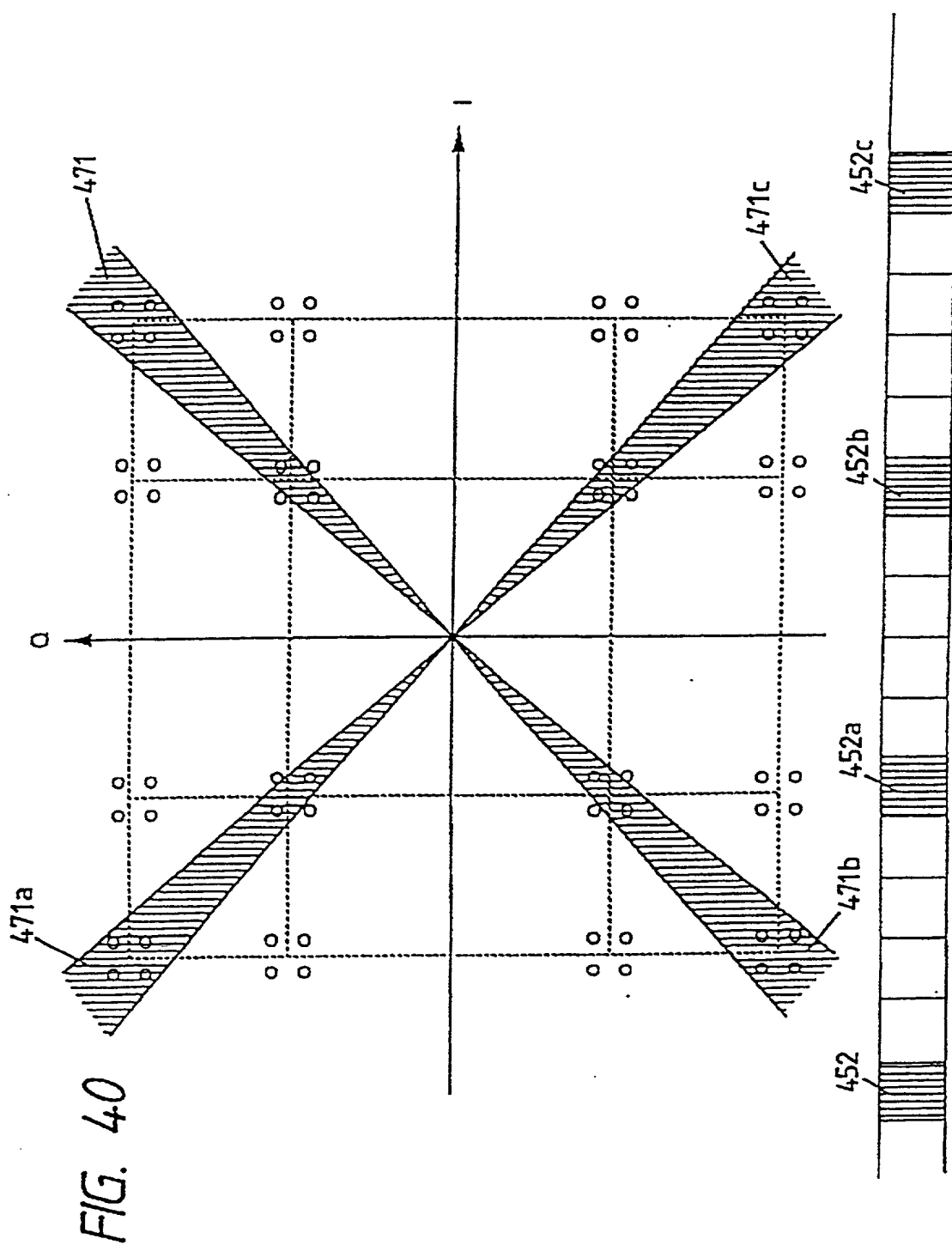




FIG. 41

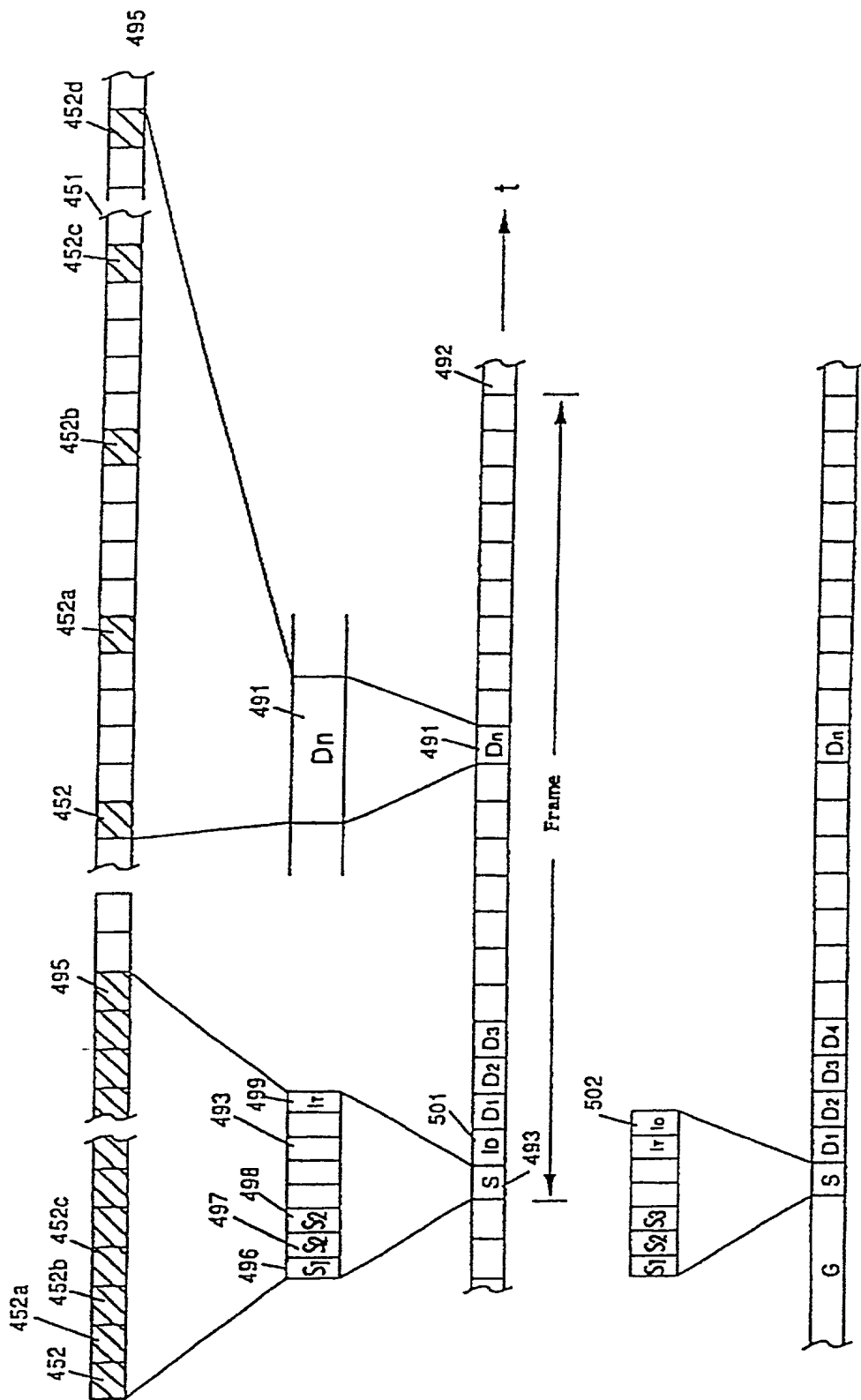


FIG. 42

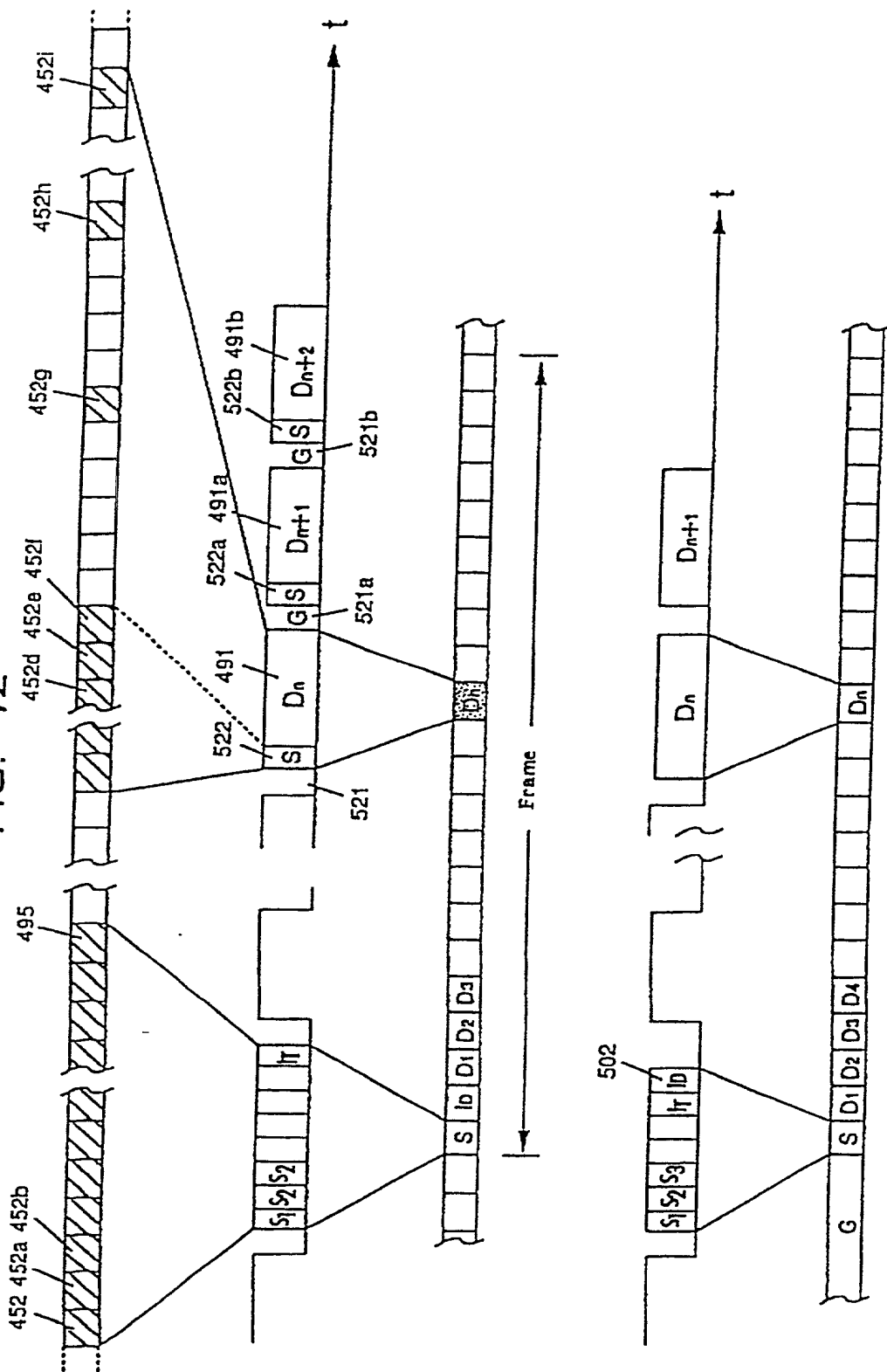


FIG. 43

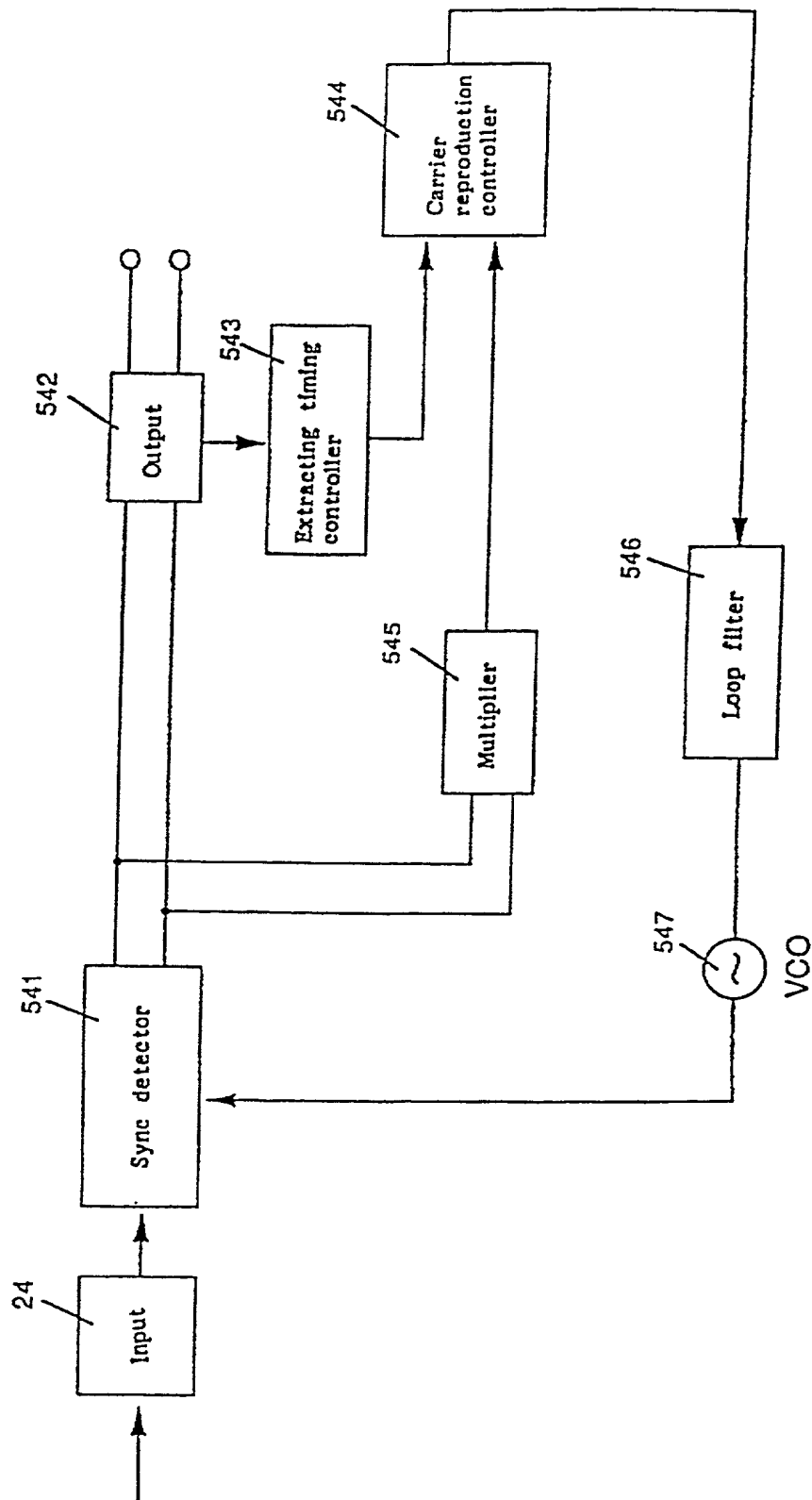


FIG. 44

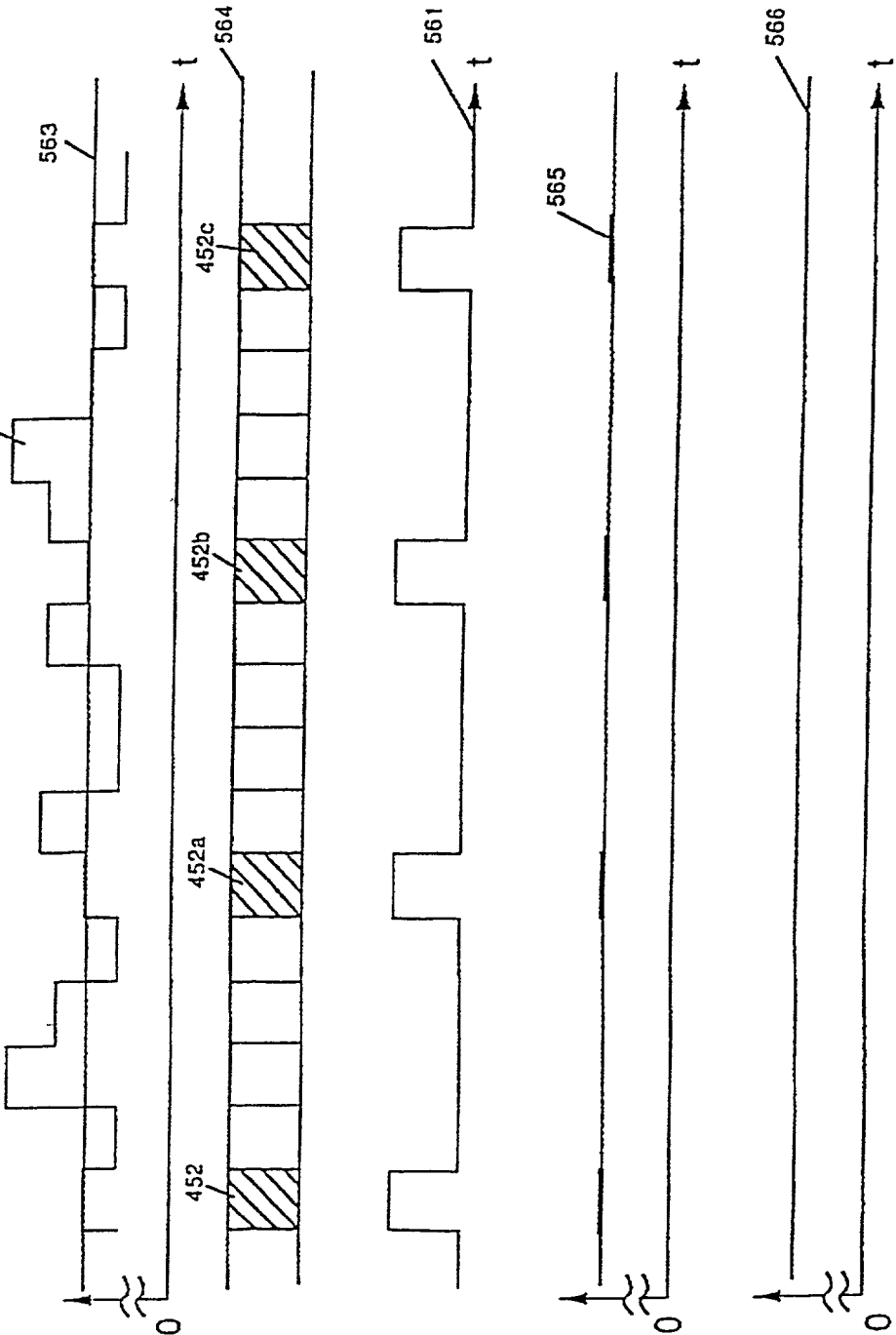


FIG. 45

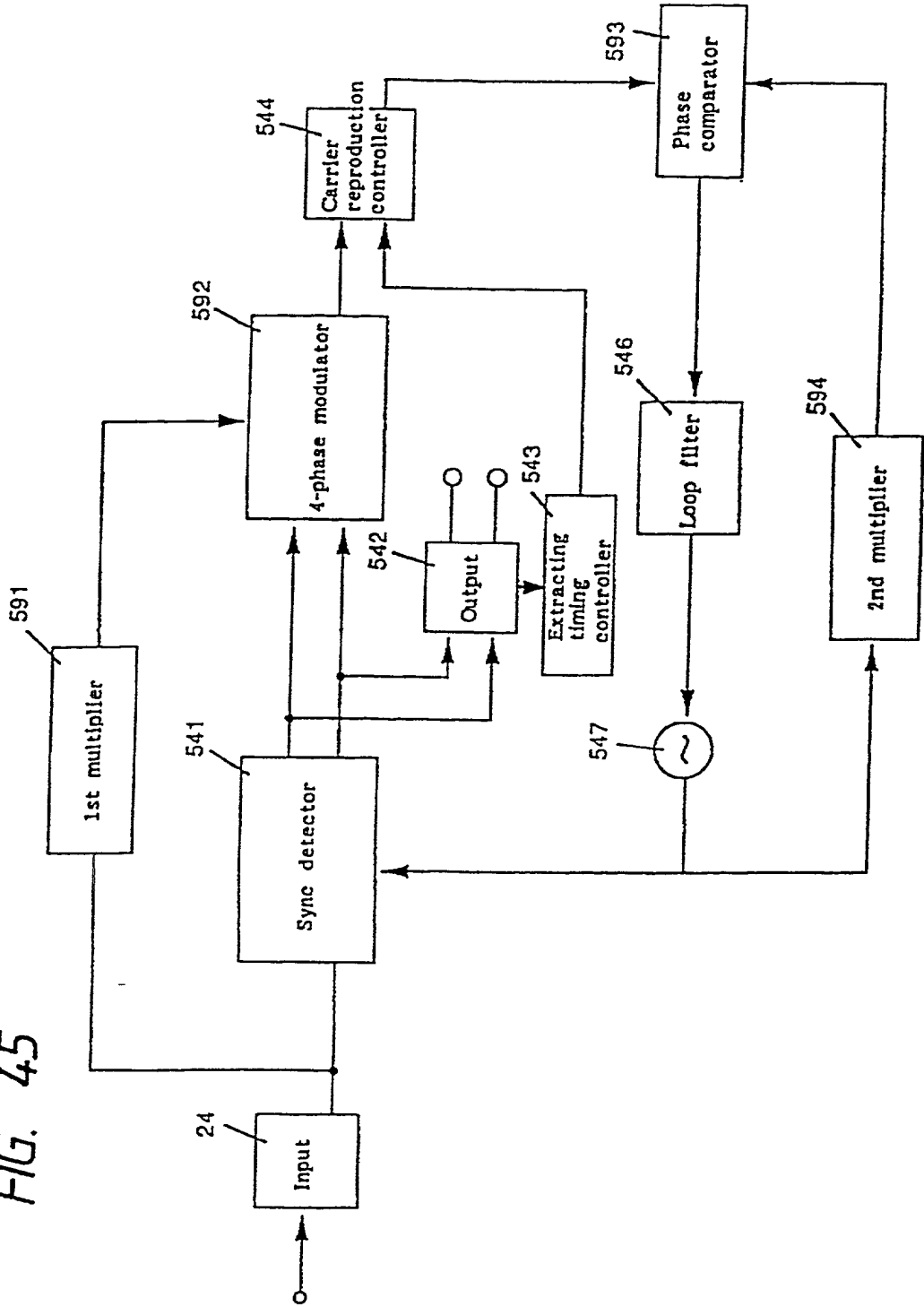


FIG. 46

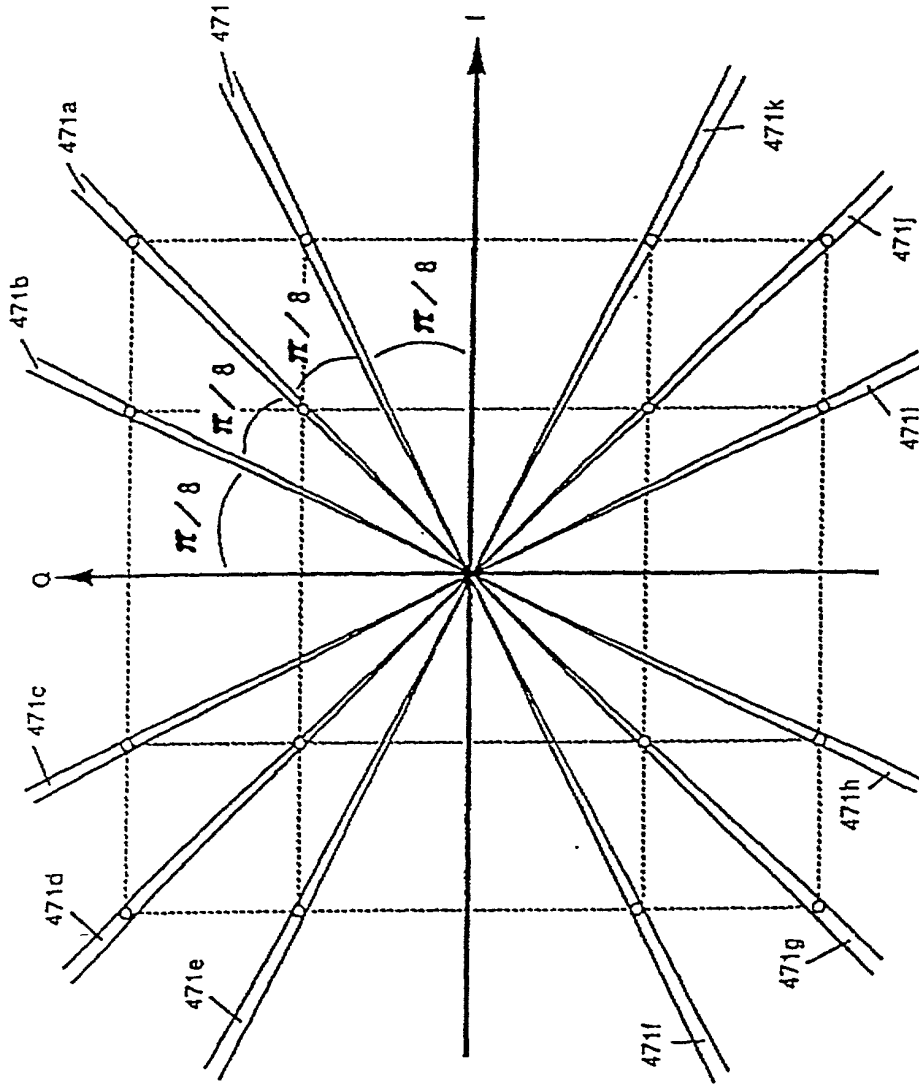
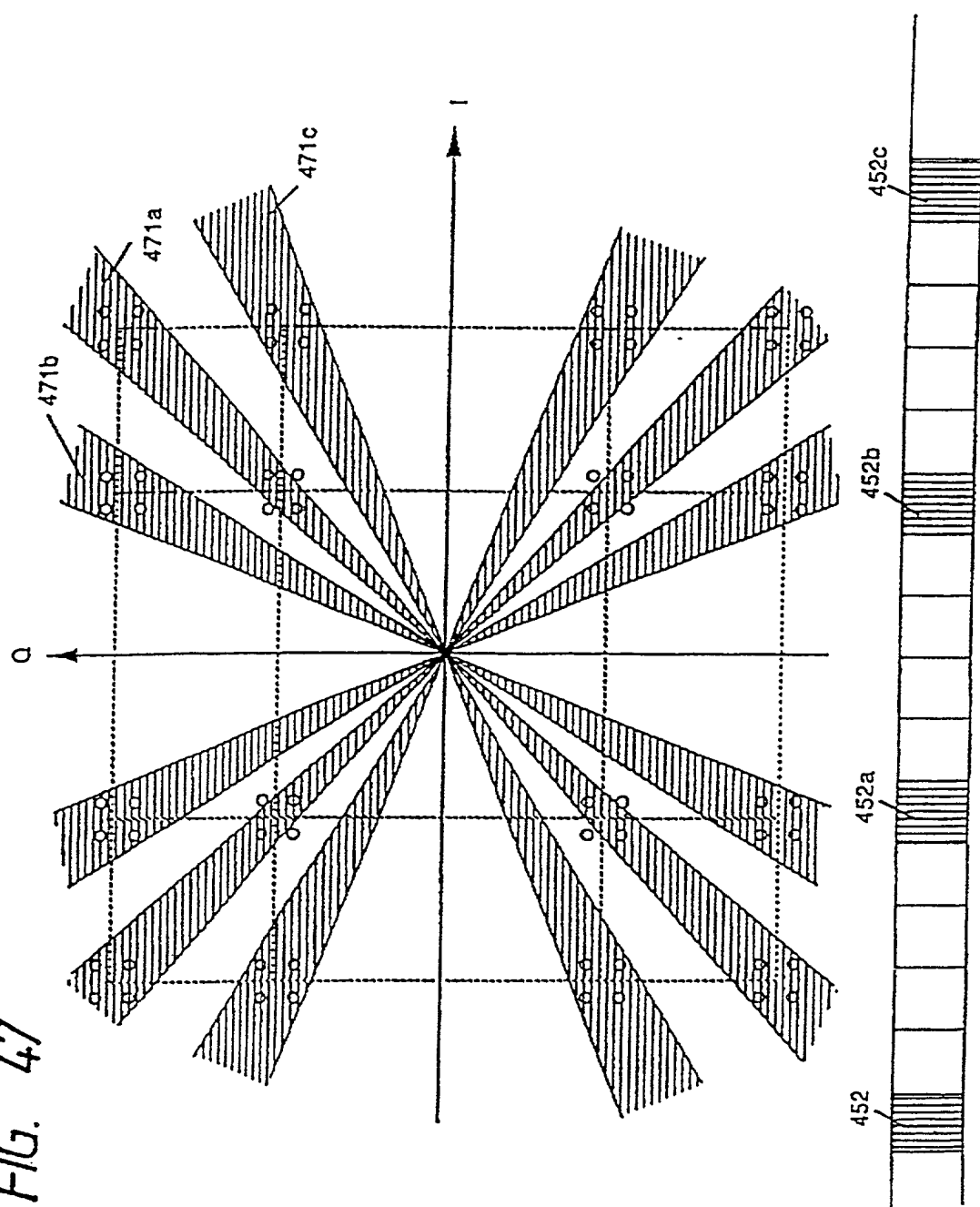
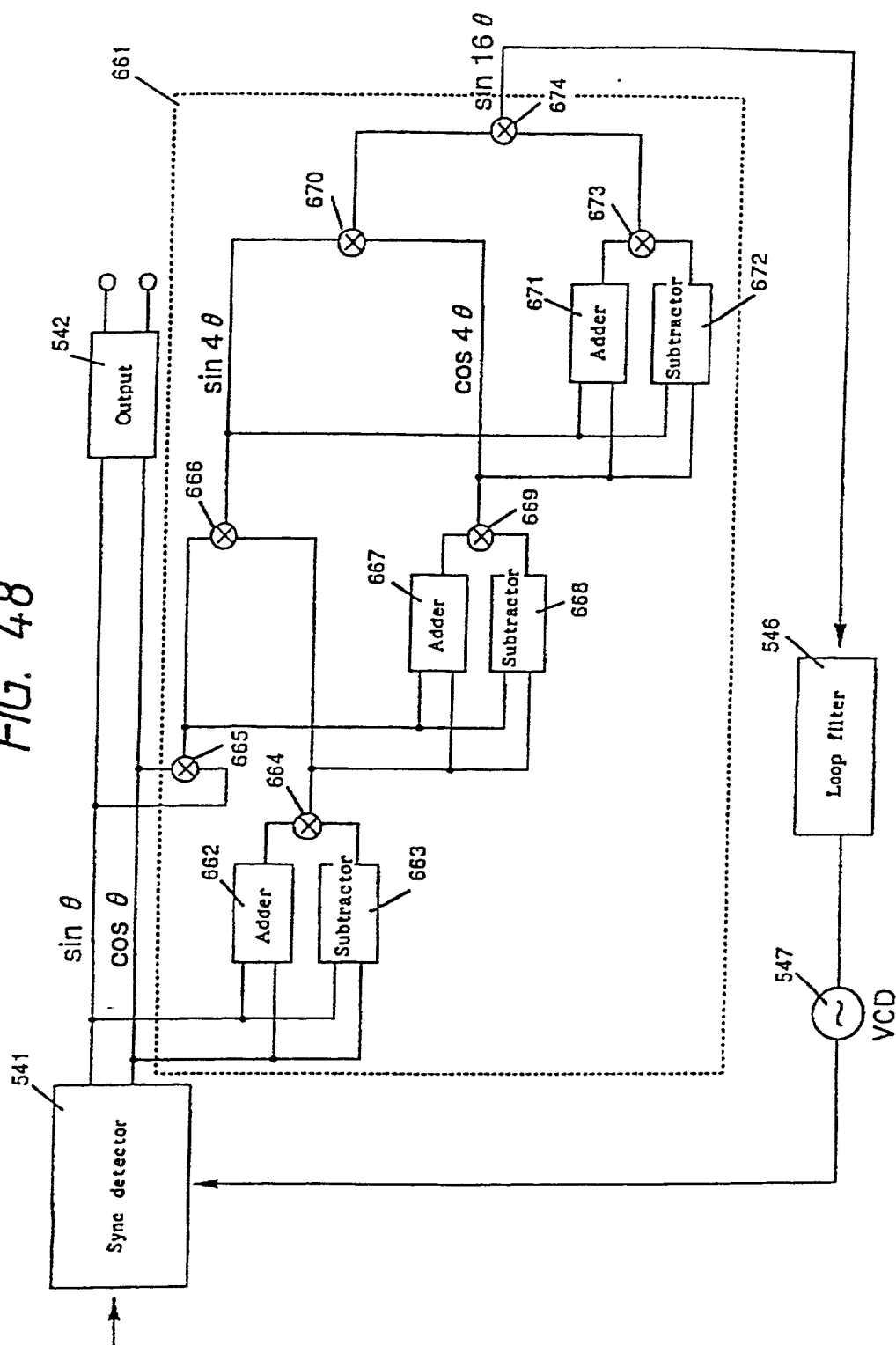


FIG. 47







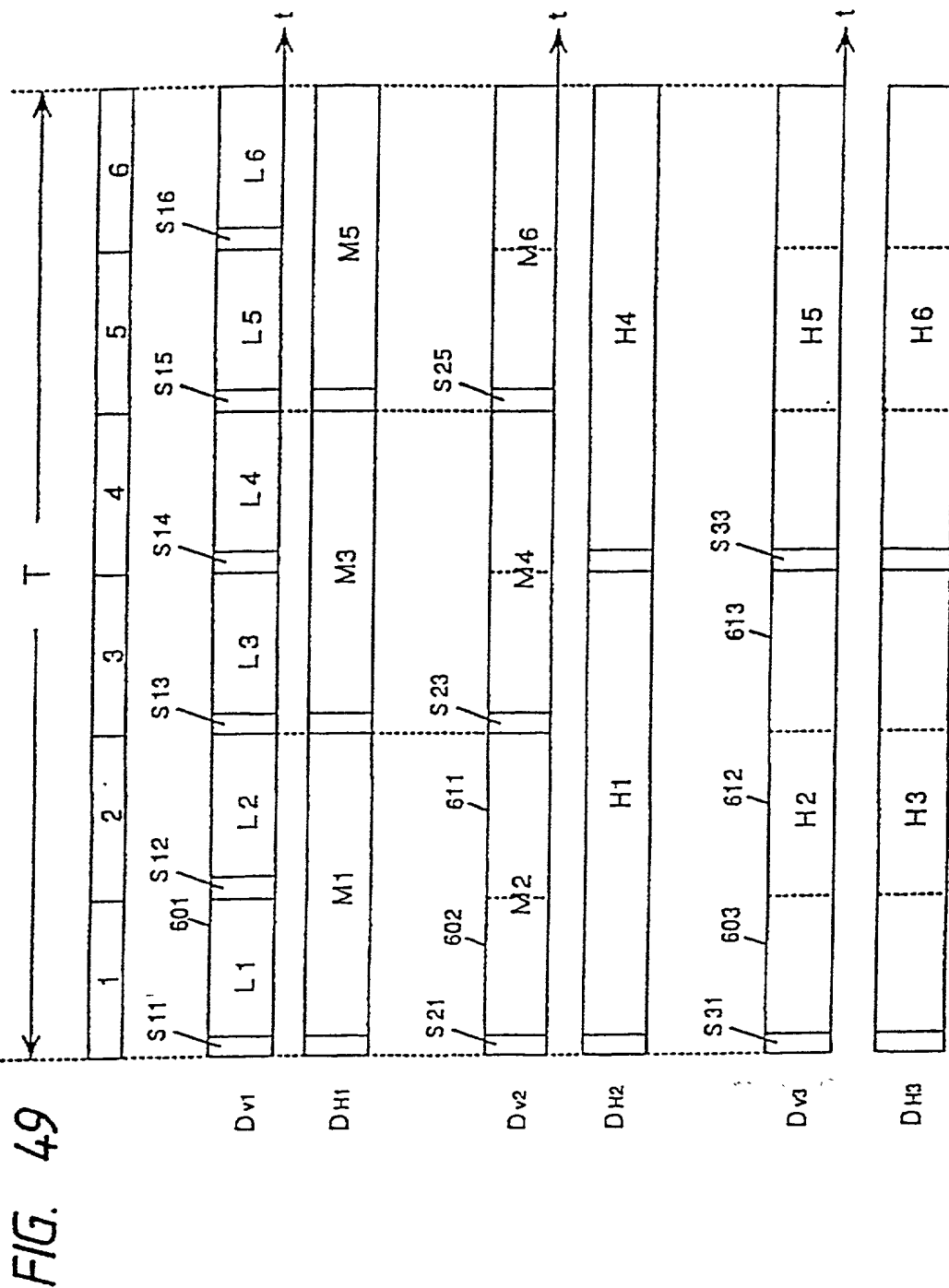
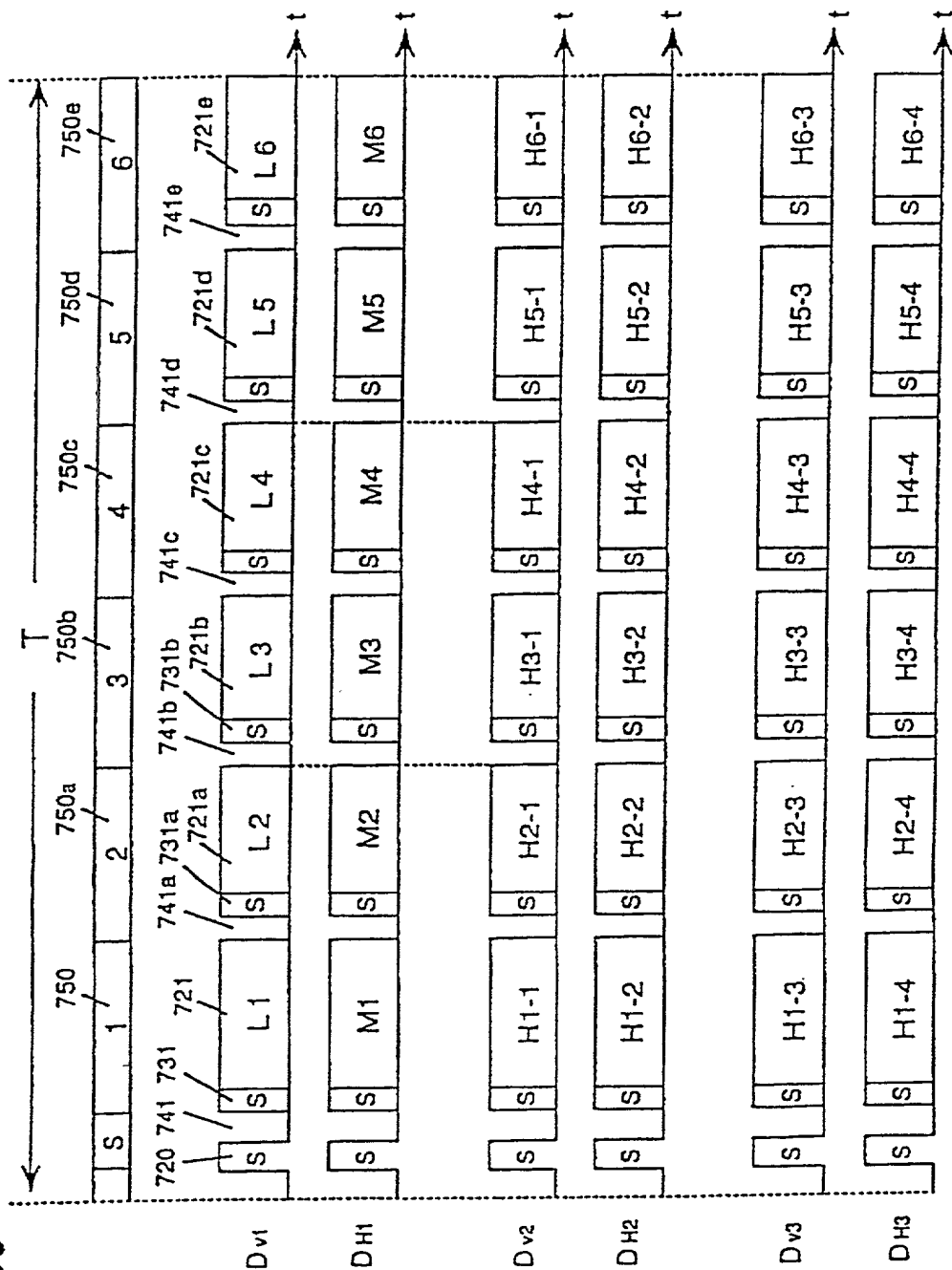


FIG. 50



103

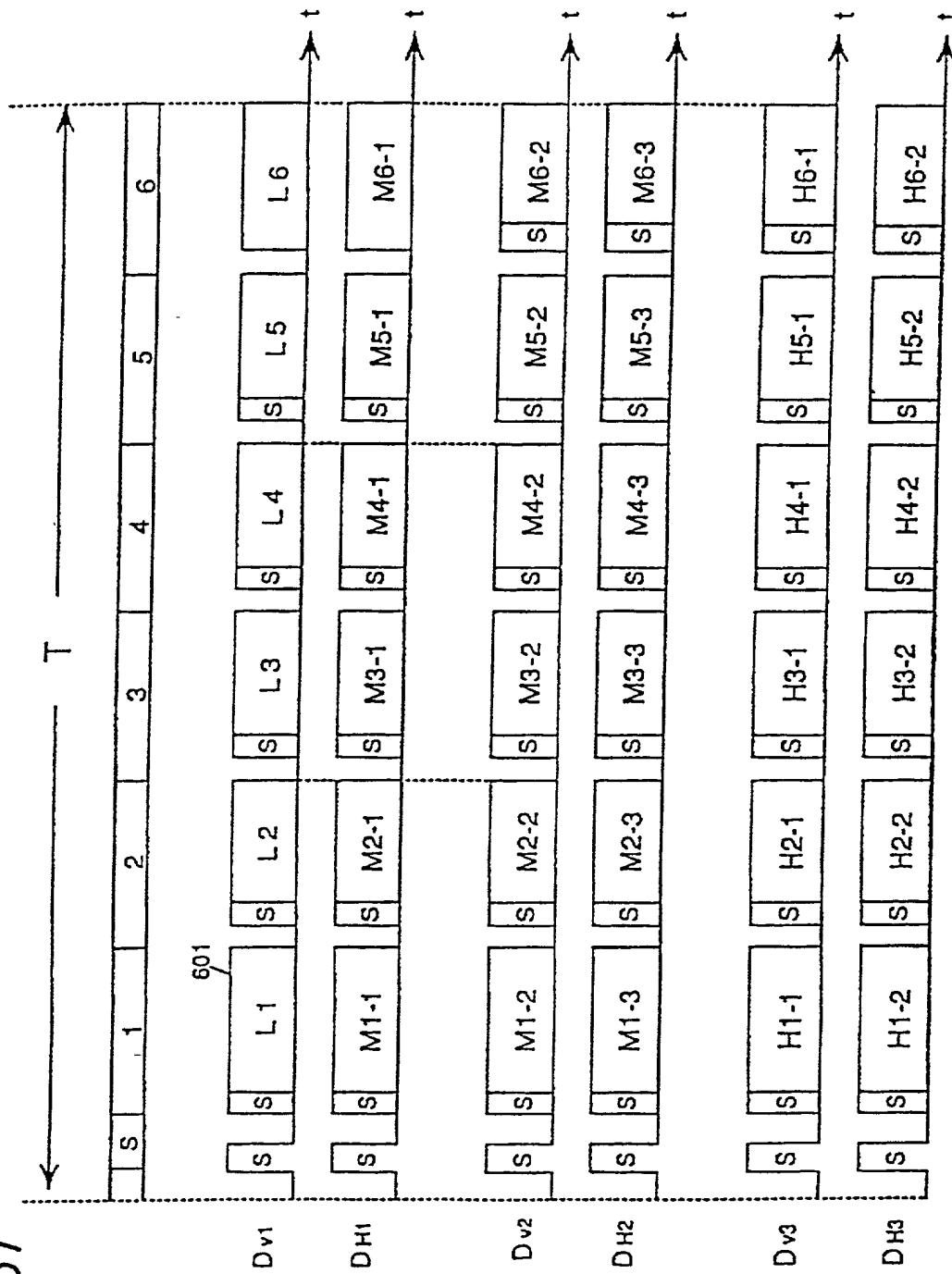
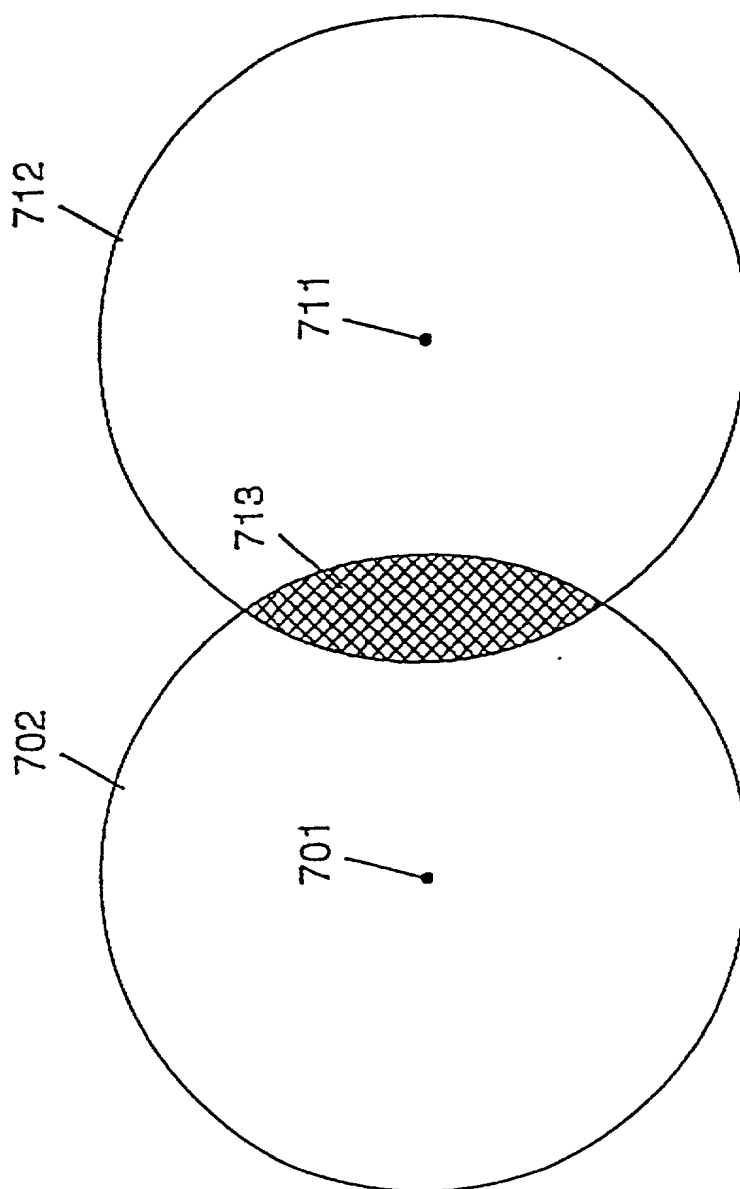


FIG. 52



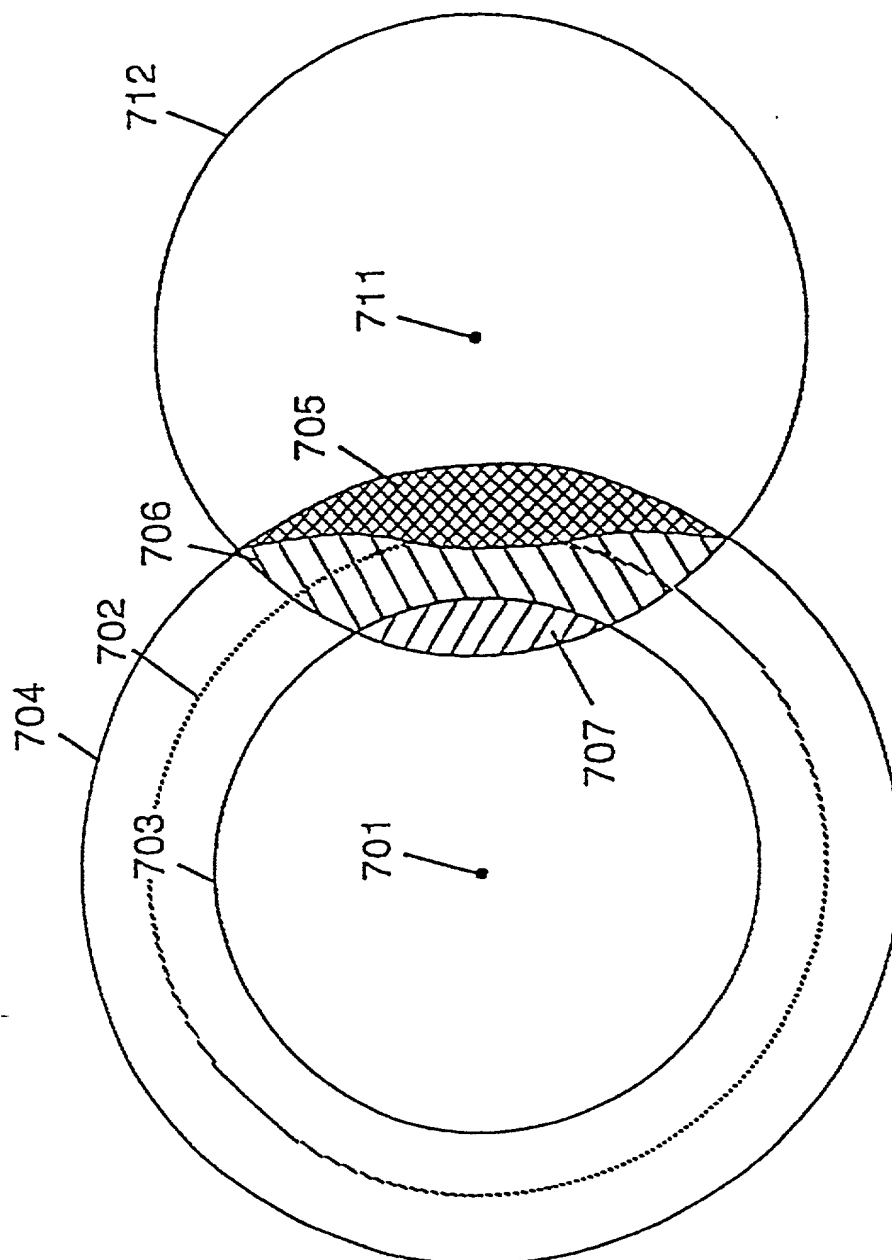
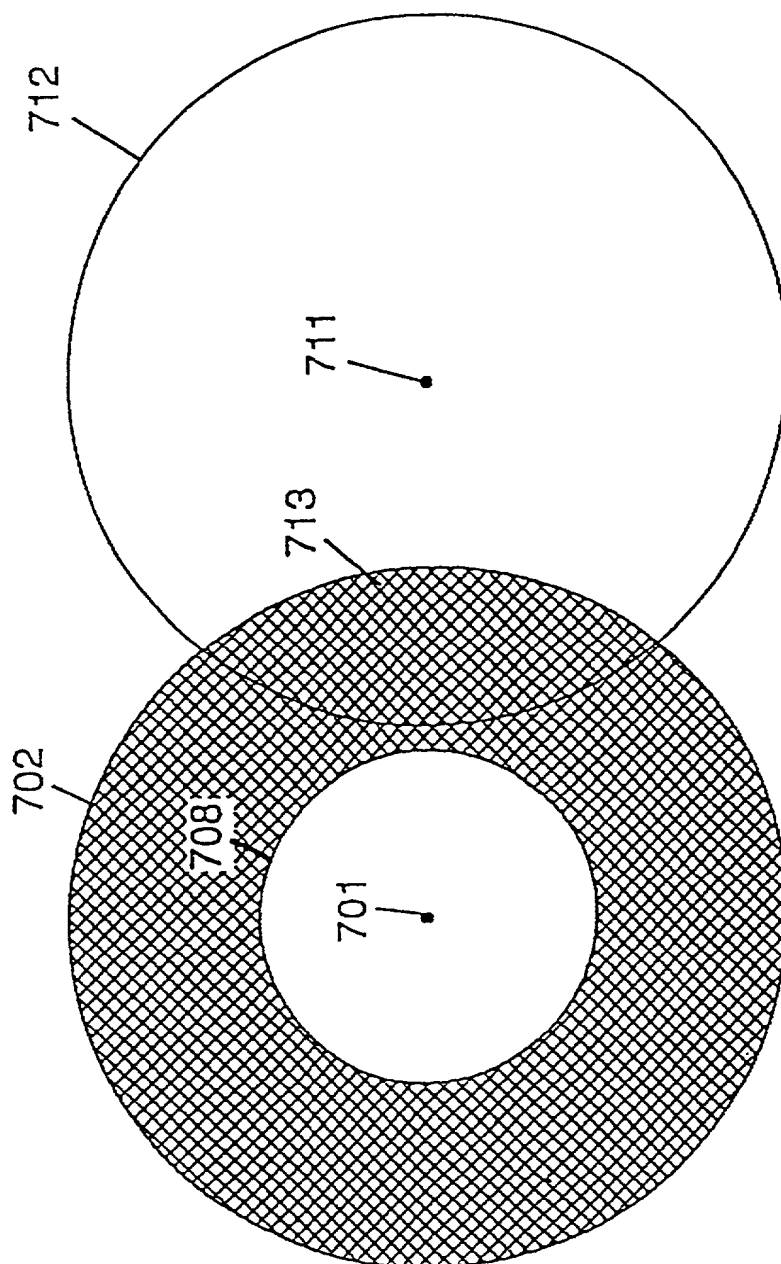


FIG. 54





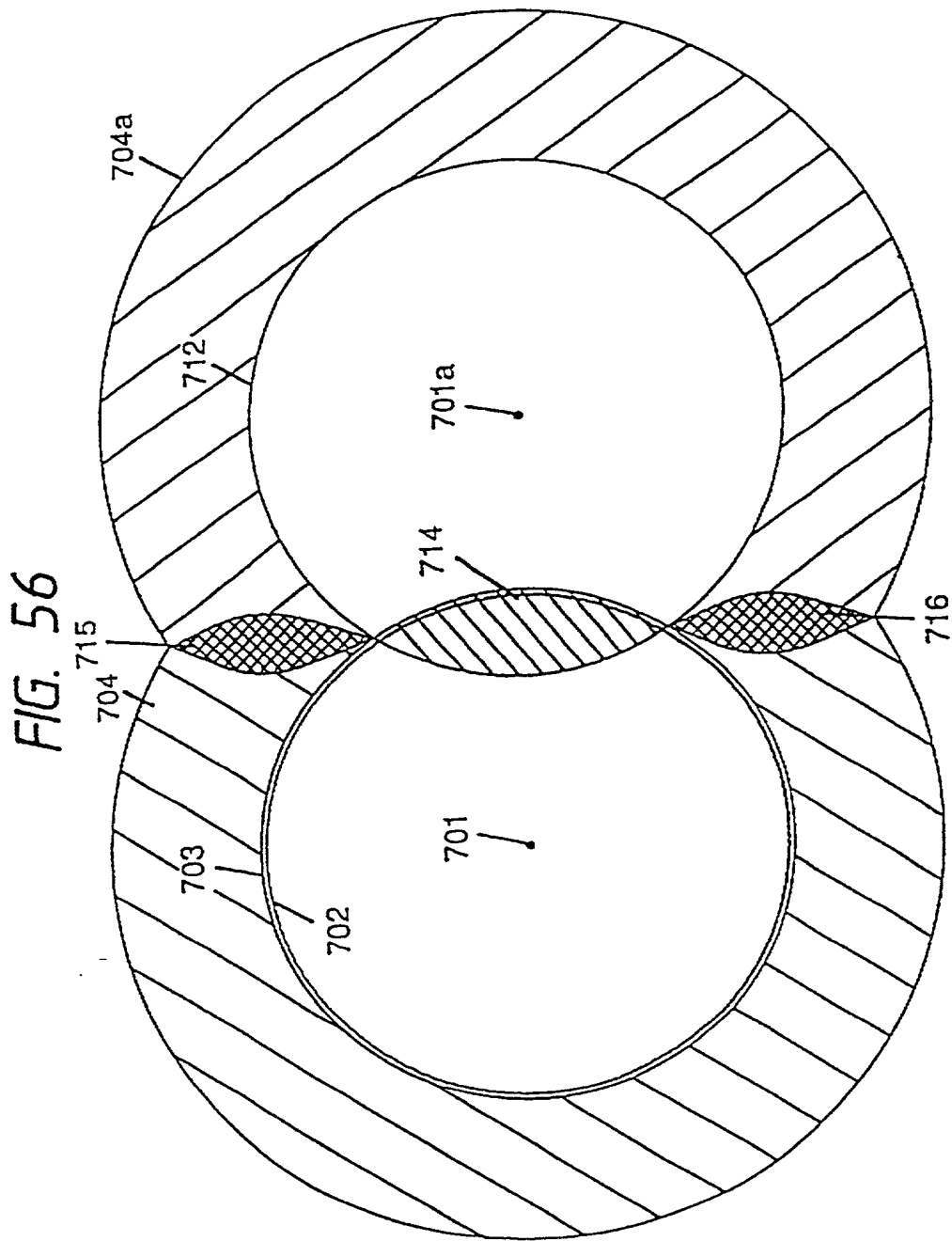




FIG. 57

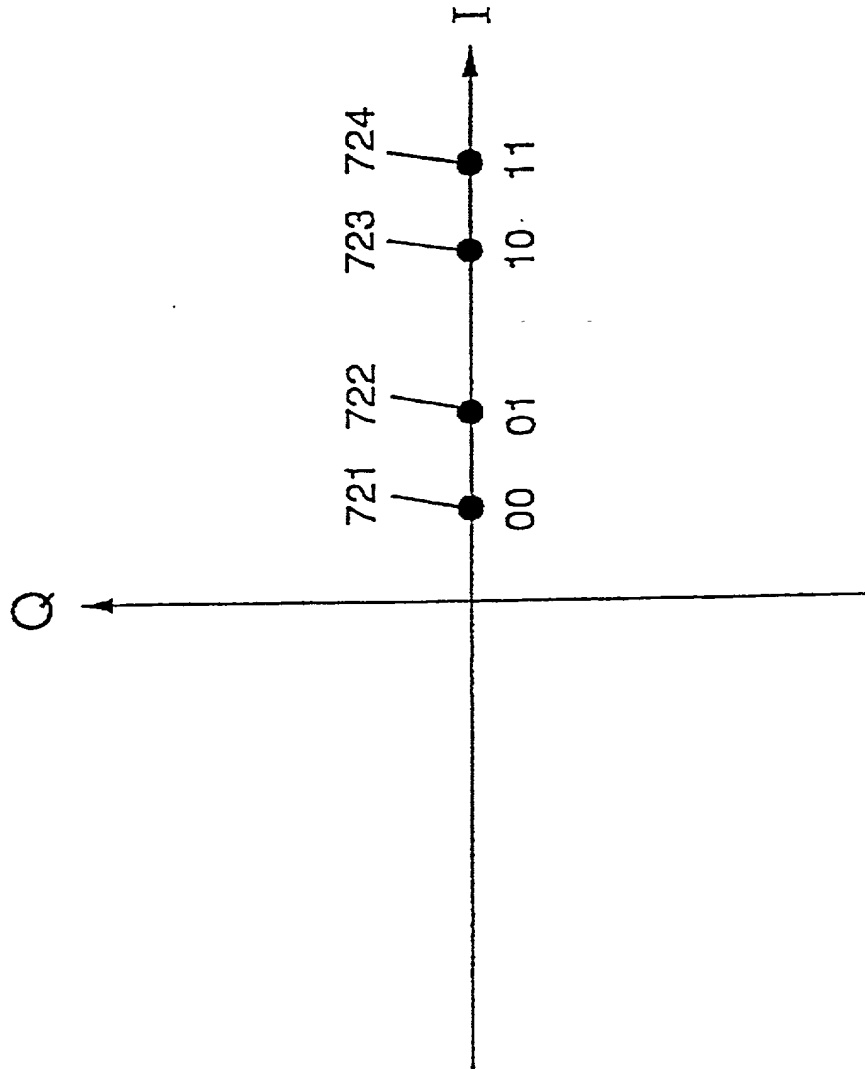


FIG. 58

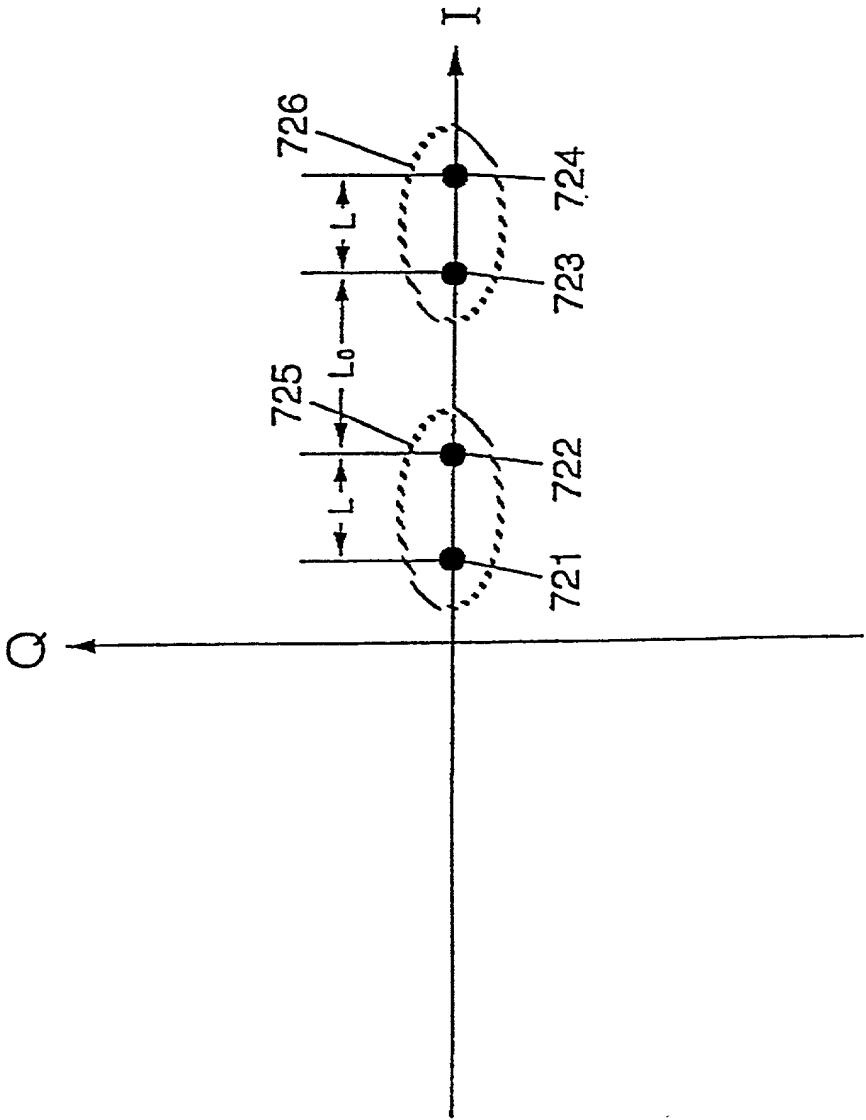


FIG. 59(a)

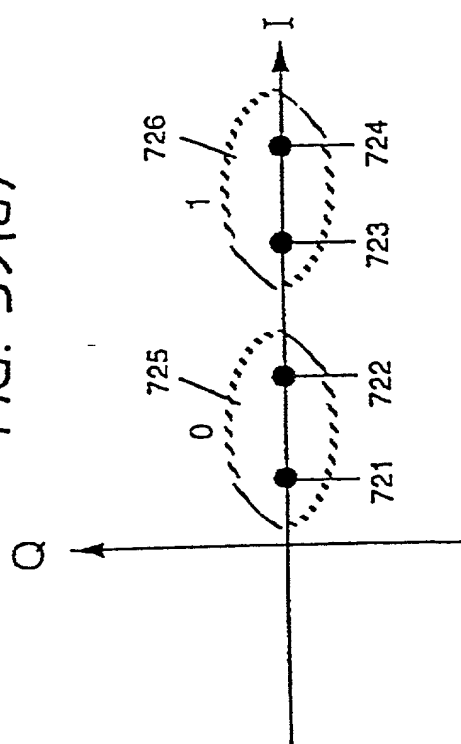


FIG. 59(c)

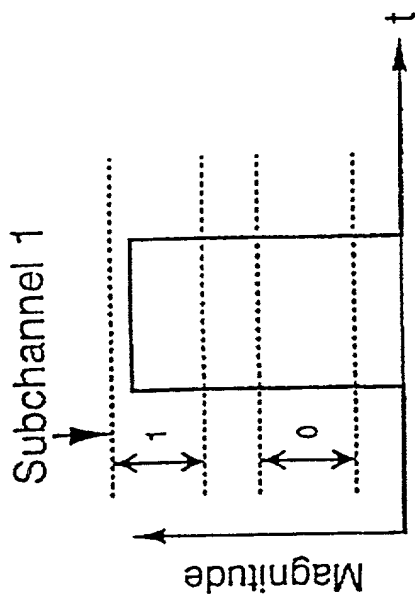


FIG. 59(b)

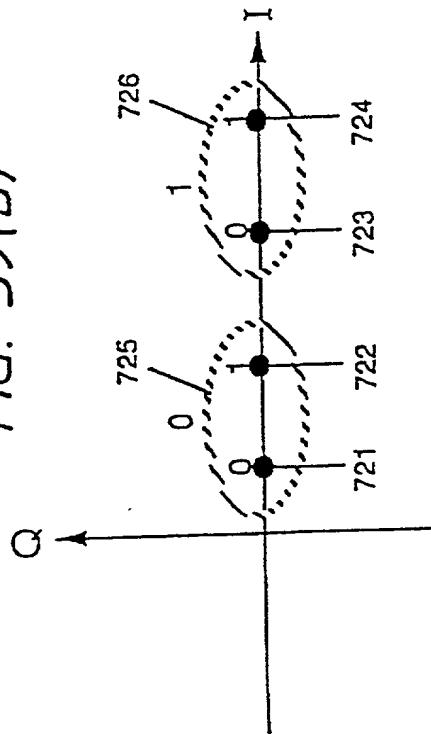


FIG. 59(d)

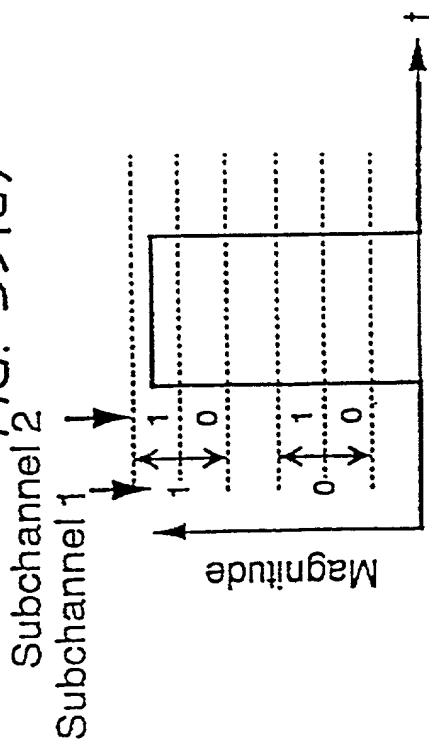


FIG. 60

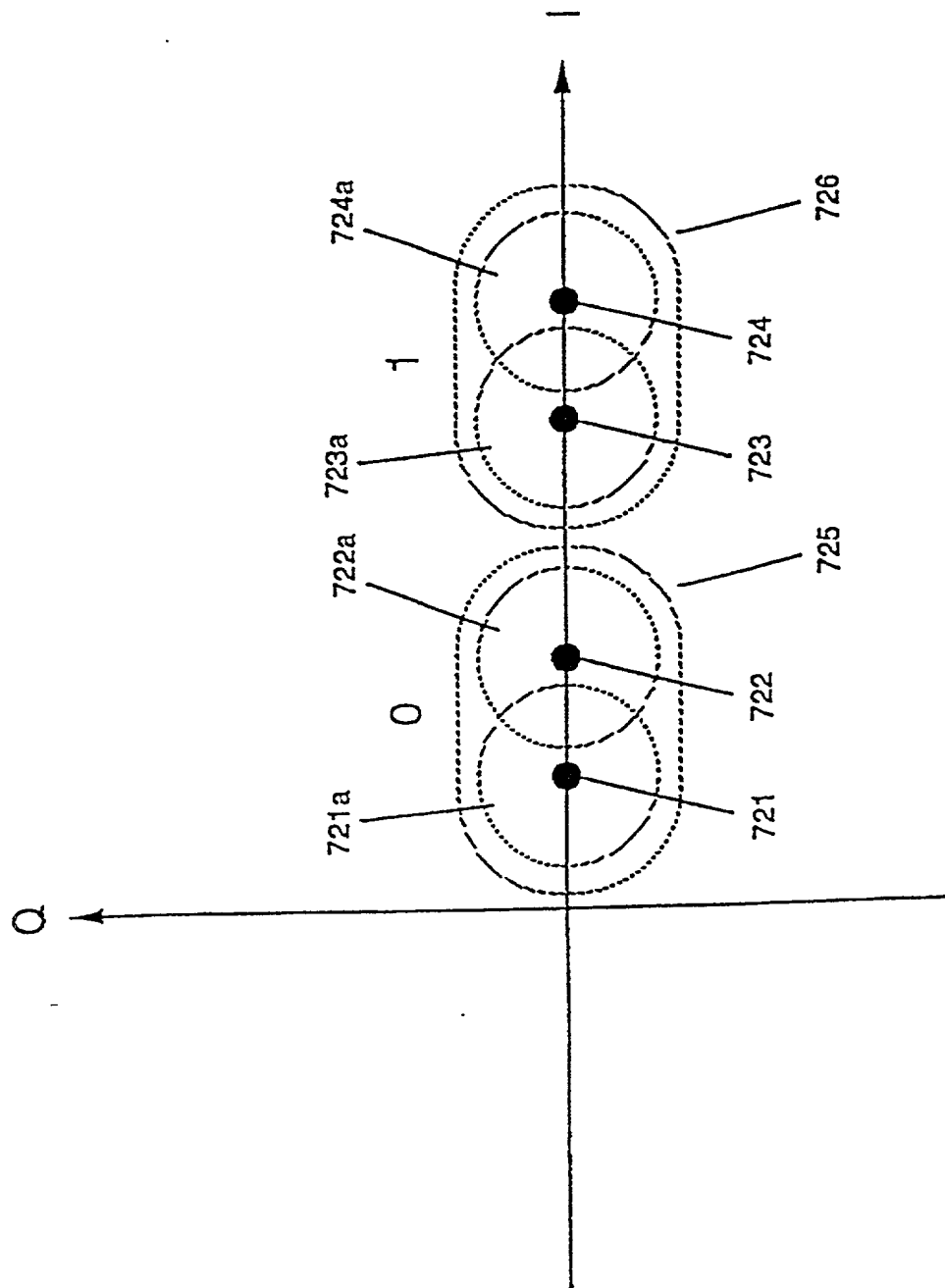


FIG. 61

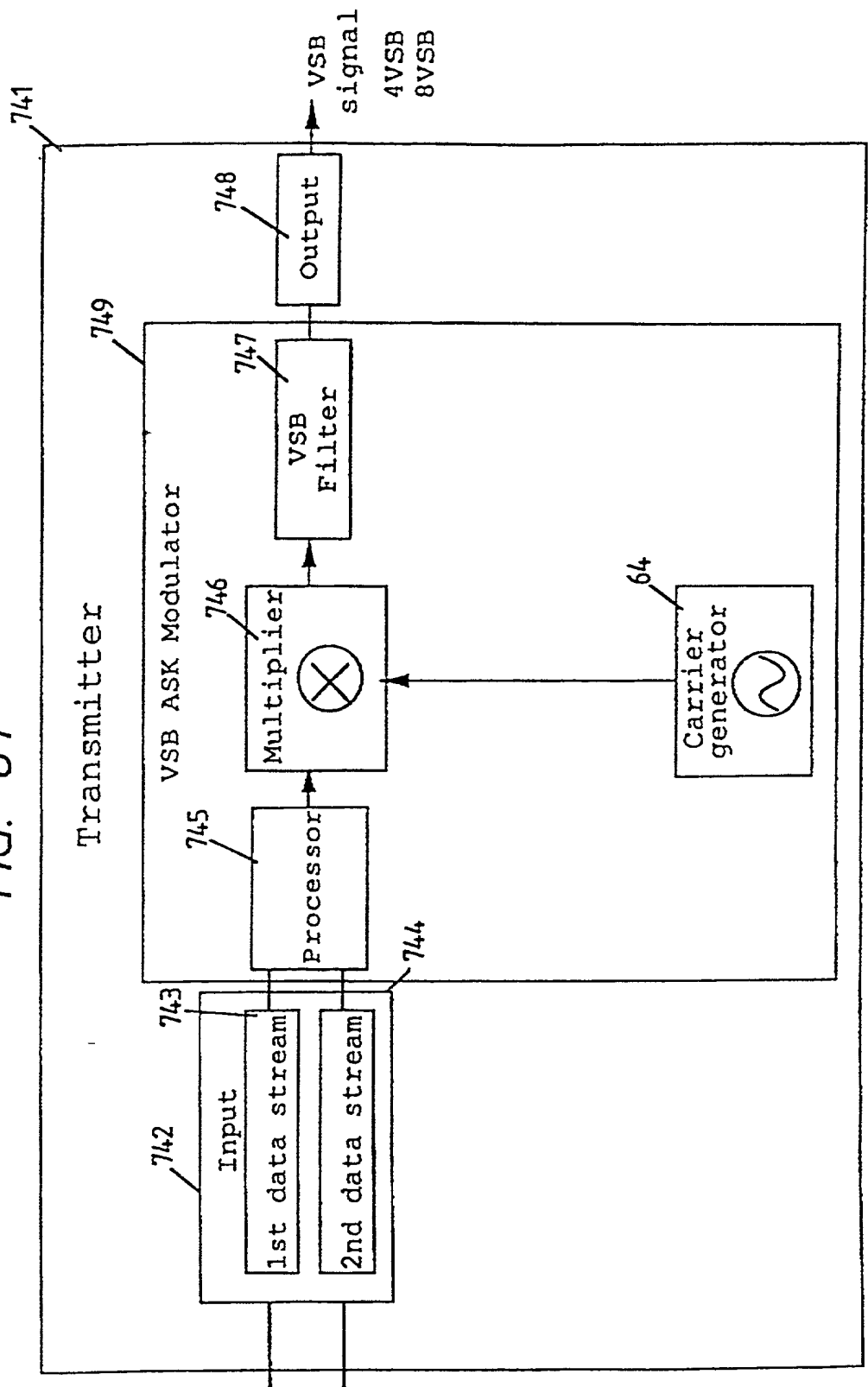


FIG. 62(a)

Spectrum of ASK Signal

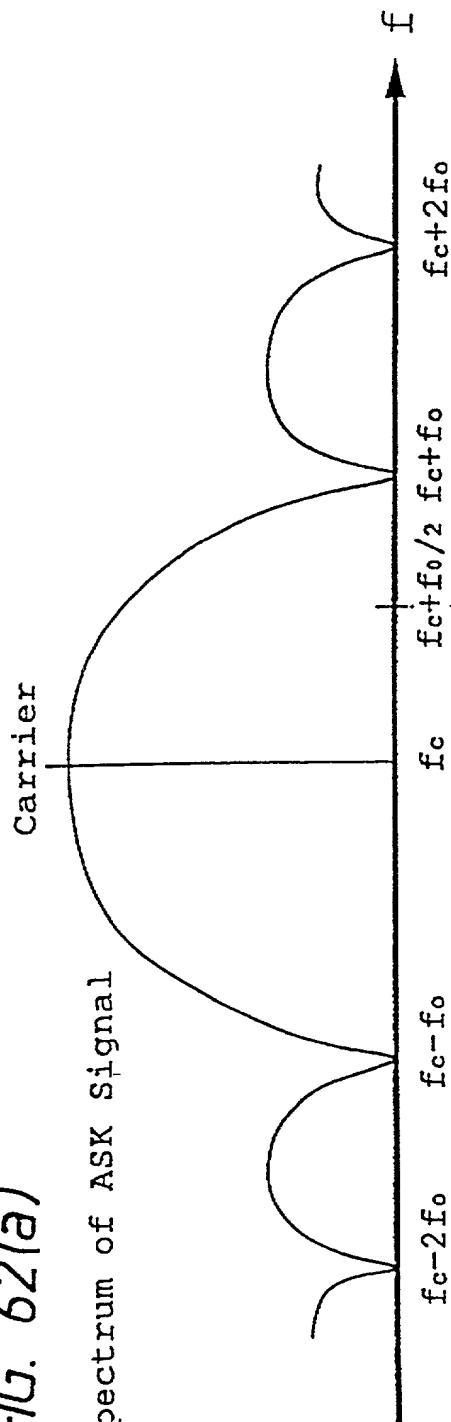


FIG. 62(b)

Characteristics of VSB Filter

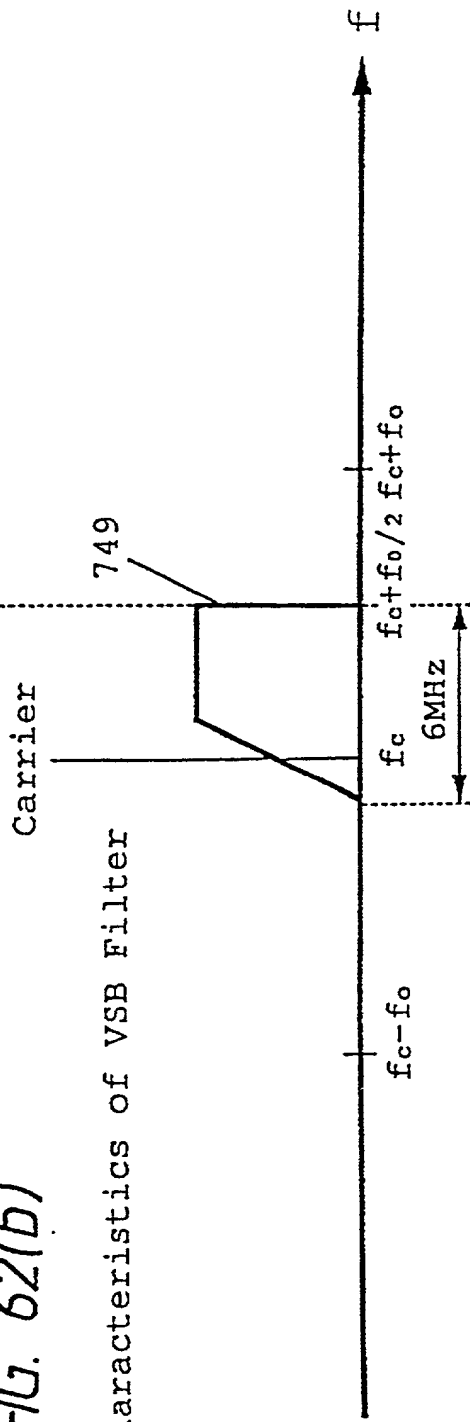


FIG. 63

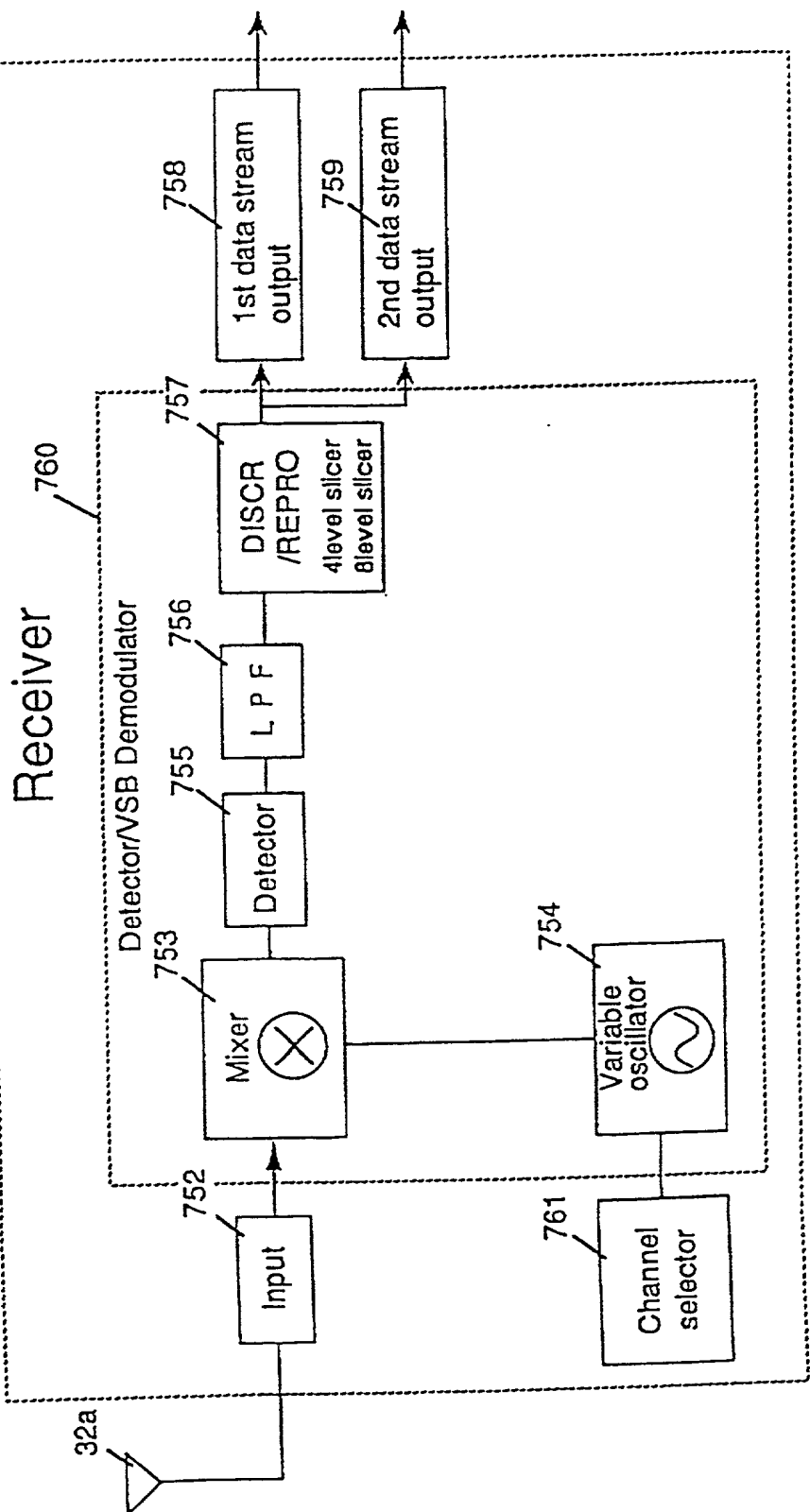


FIG. 64

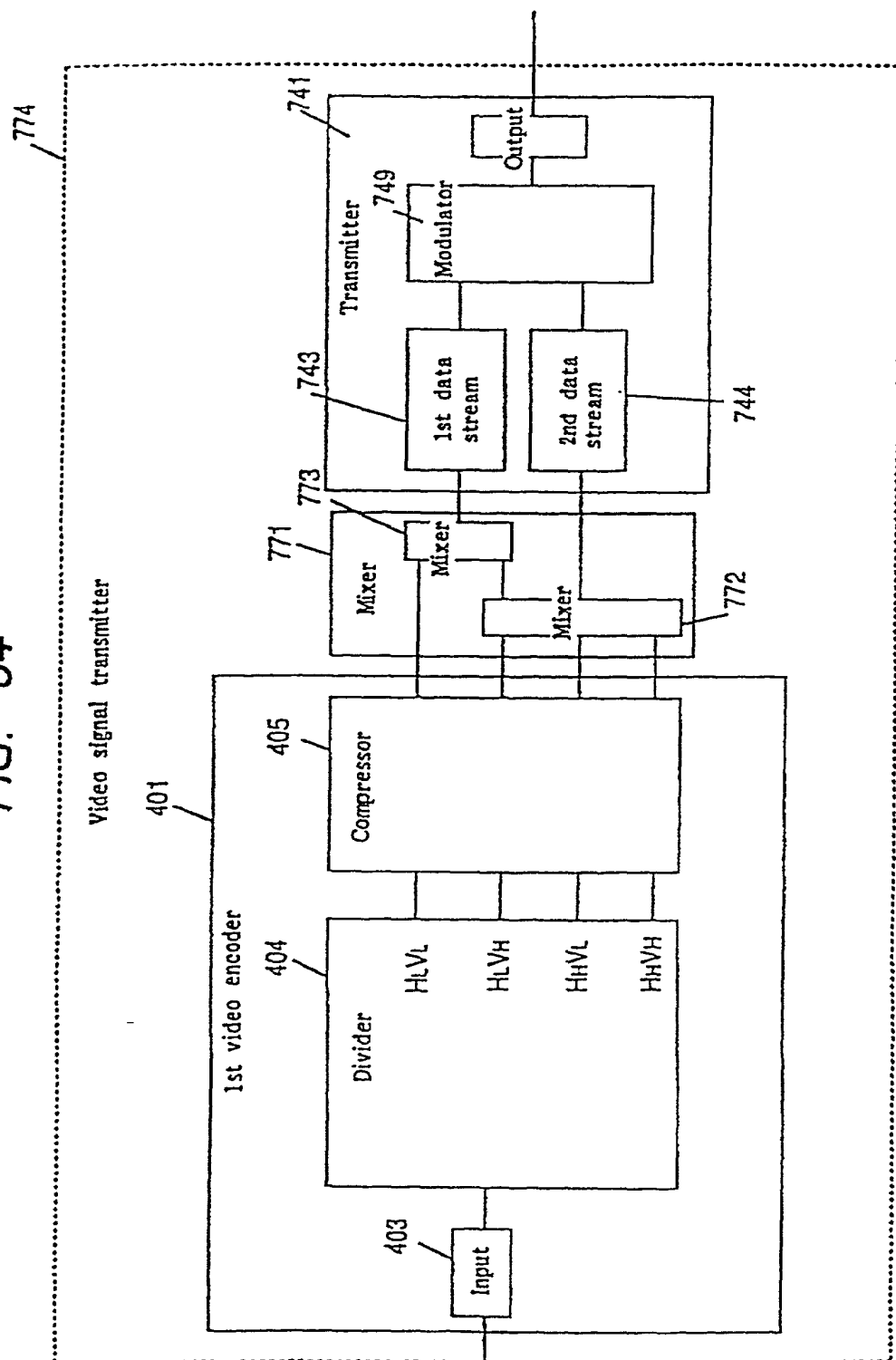




FIG. 65

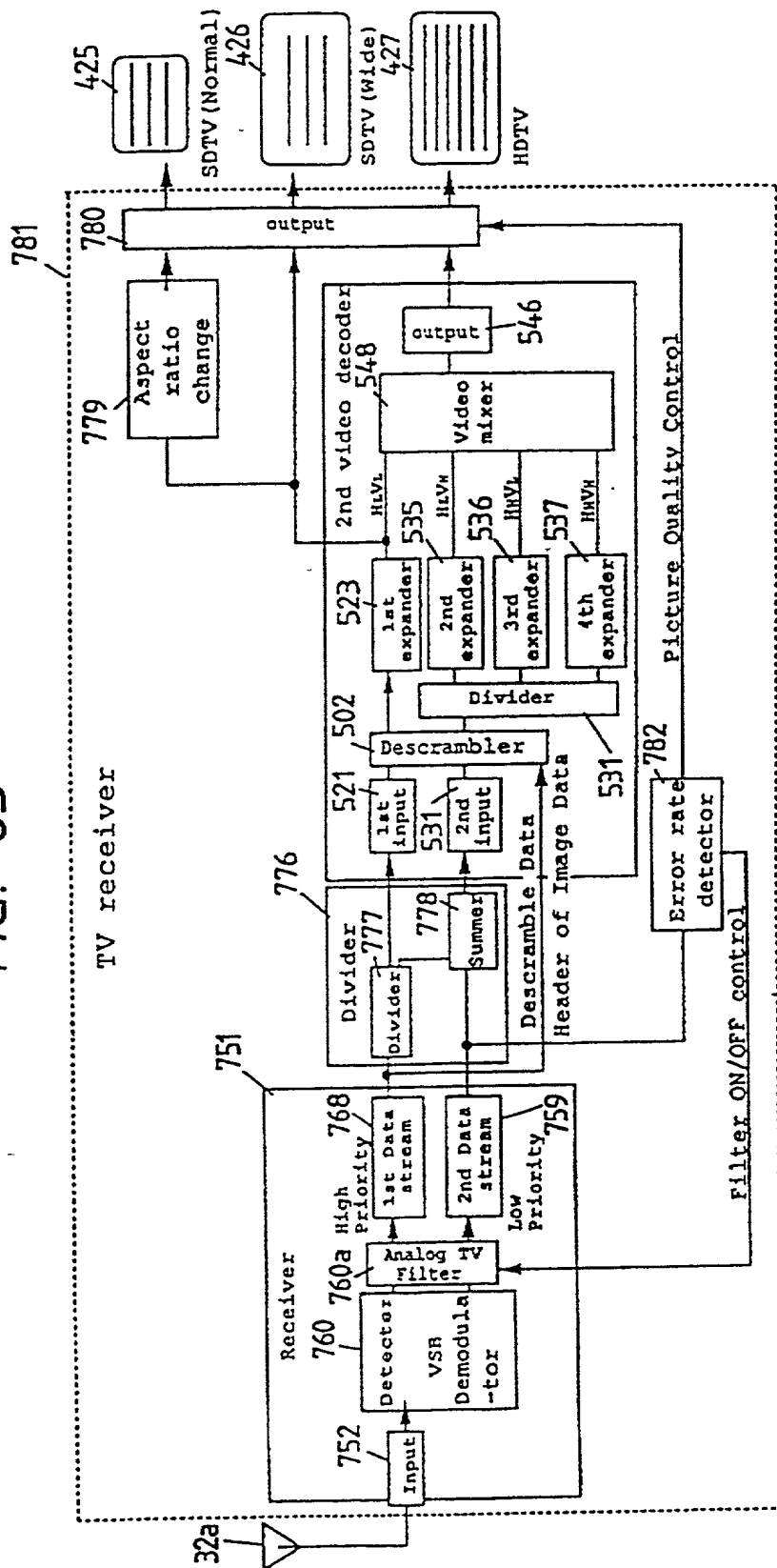


FIG. 66

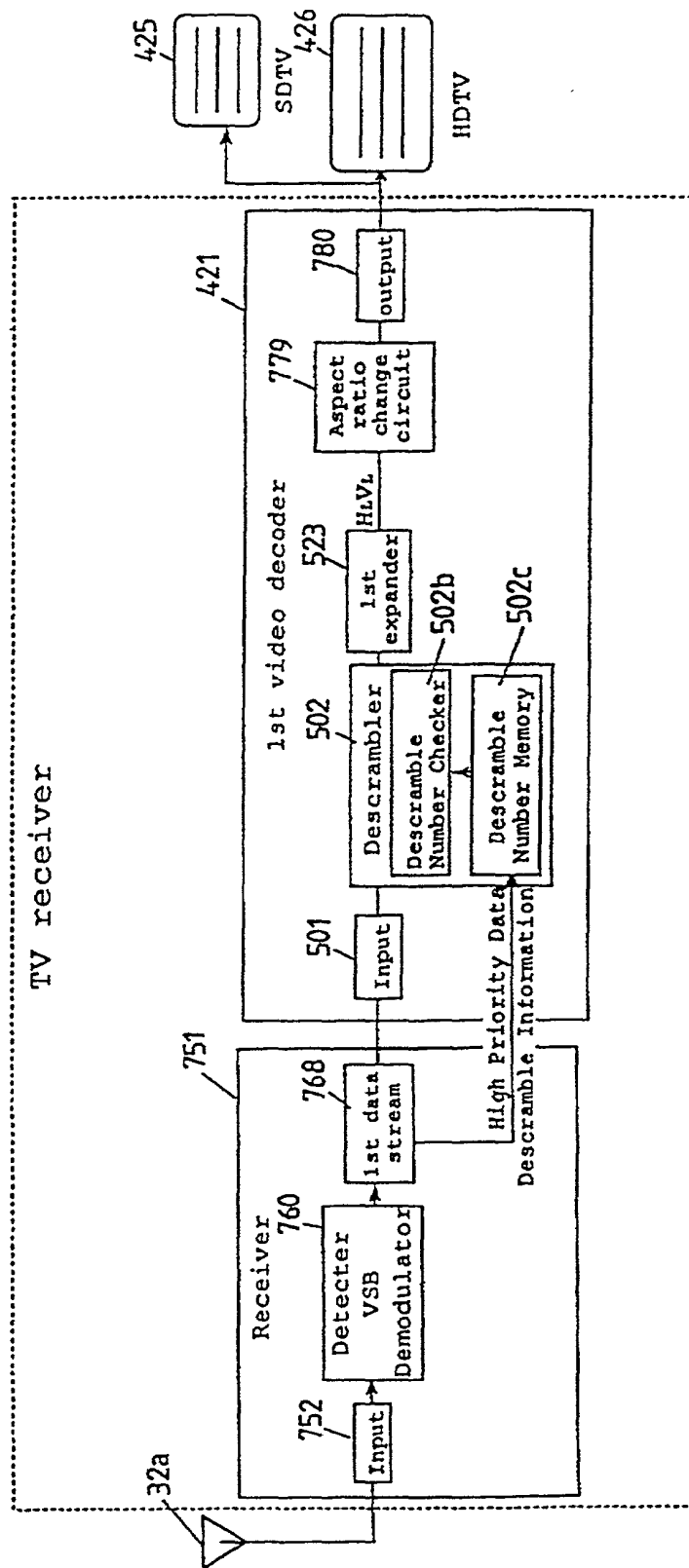


FIG. 67

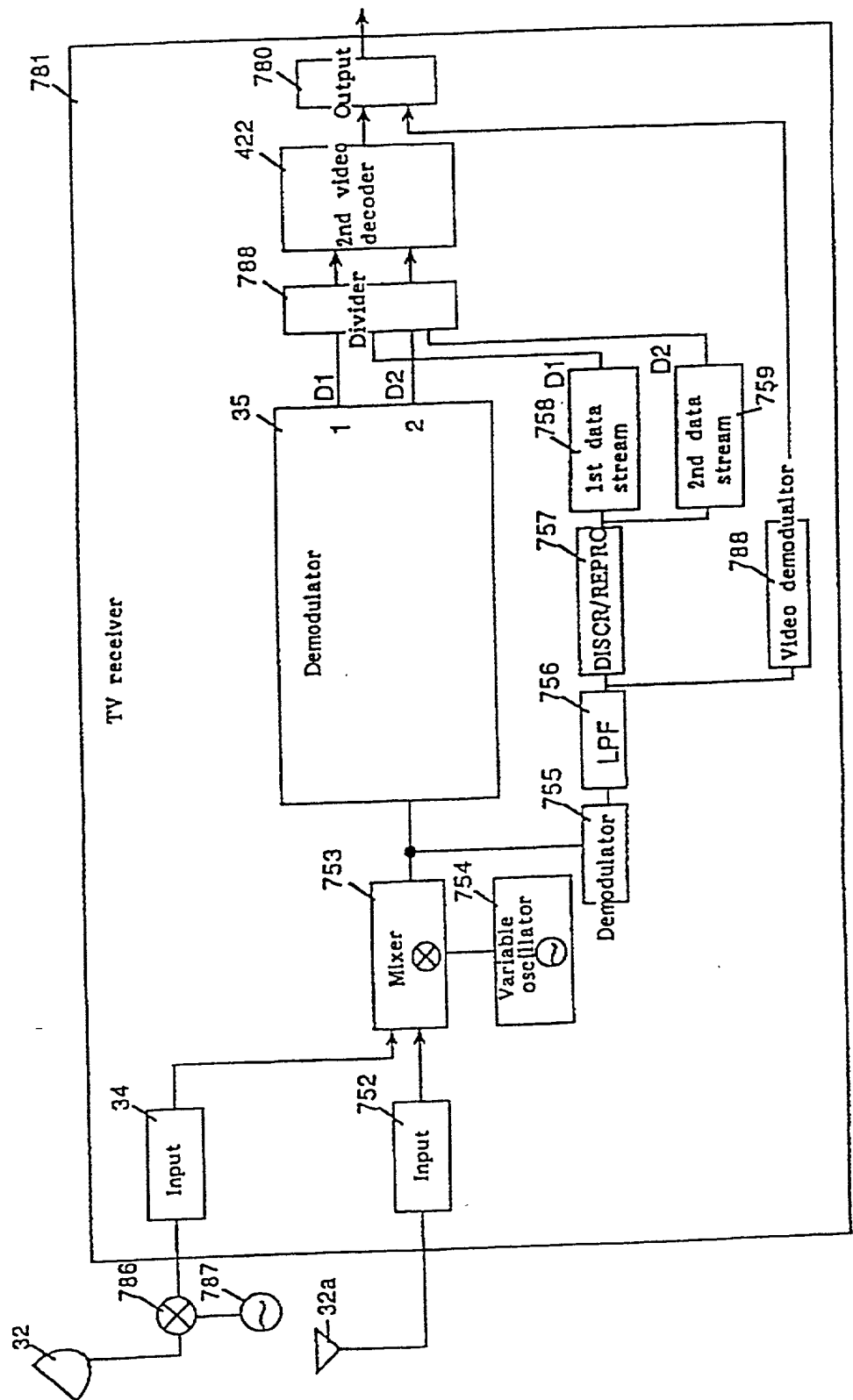


FIG. 68(a)

8-VSB

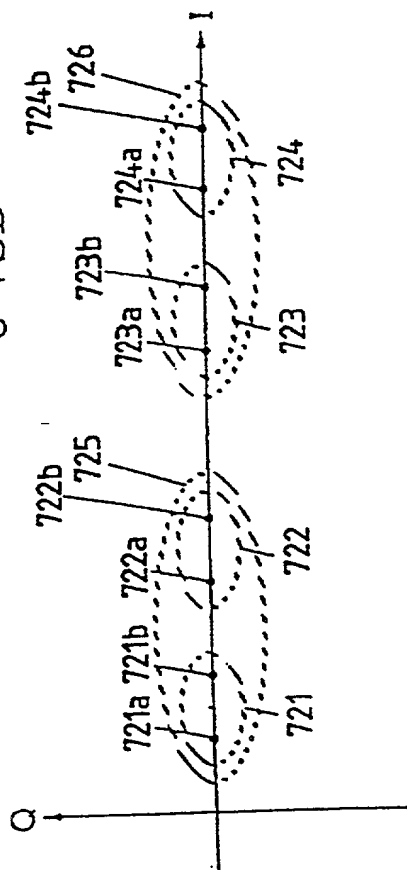


FIG. 68(b)

8-VSB ( $L=L_0$ )

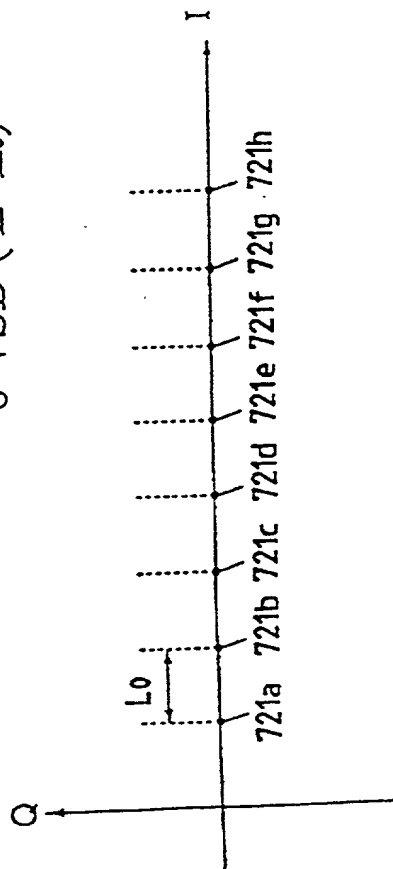


FIG. 68(c)

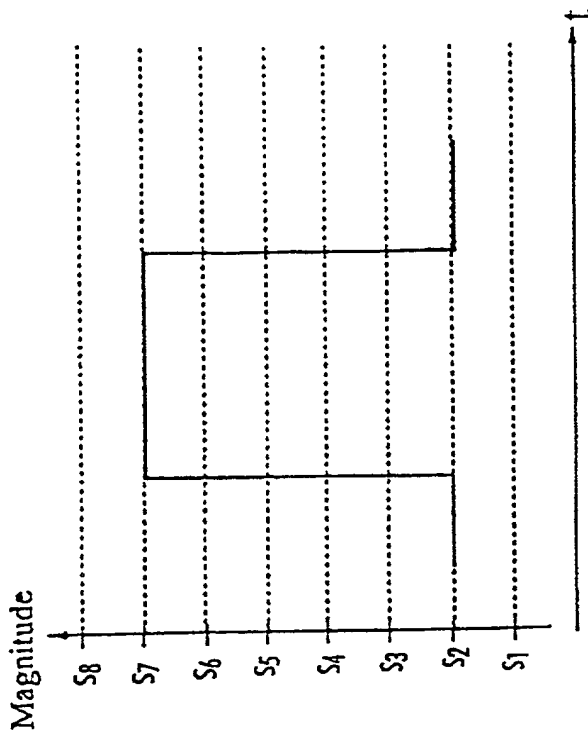


FIG. 69

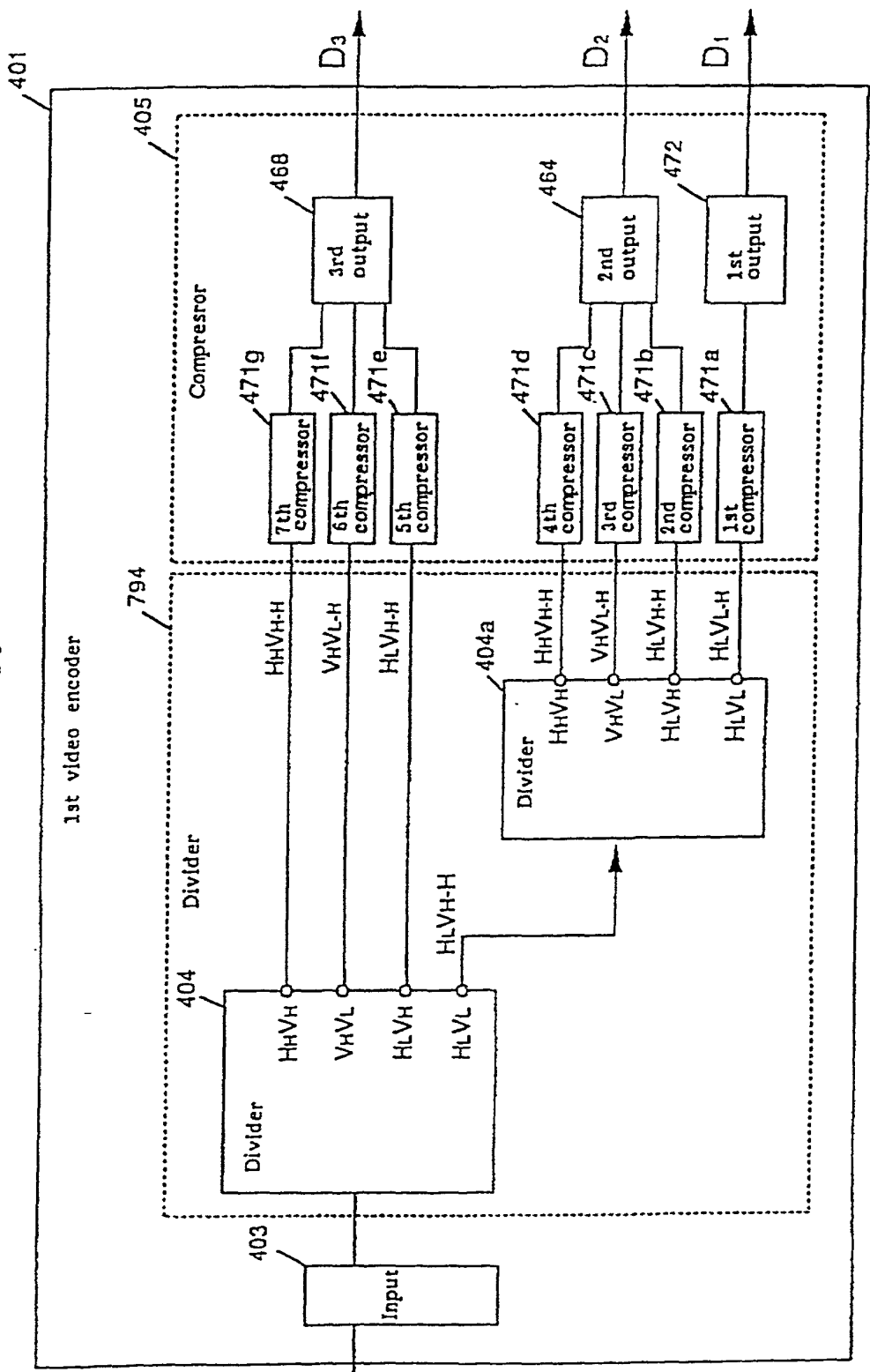


FIG. 70

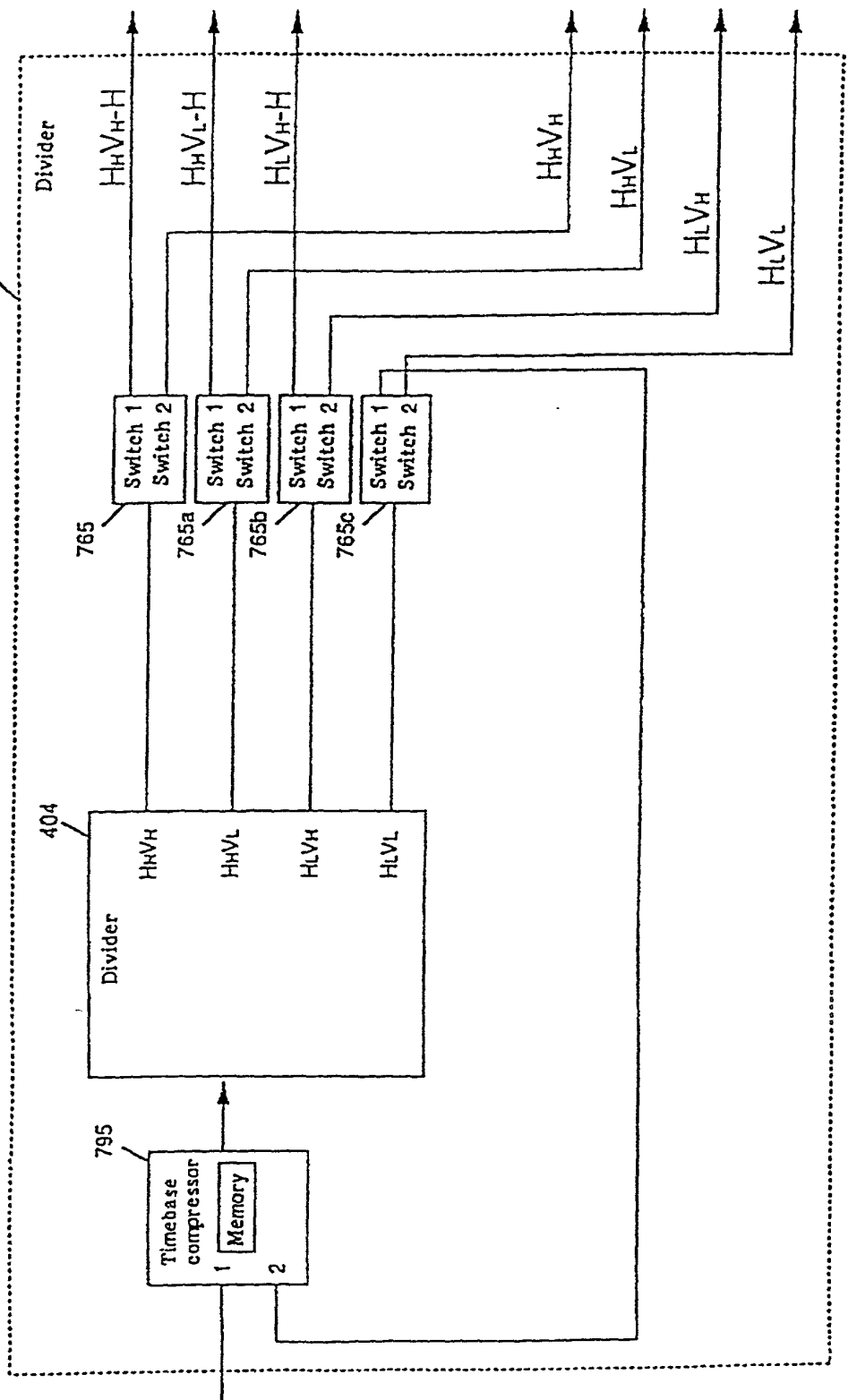


FIG. 71

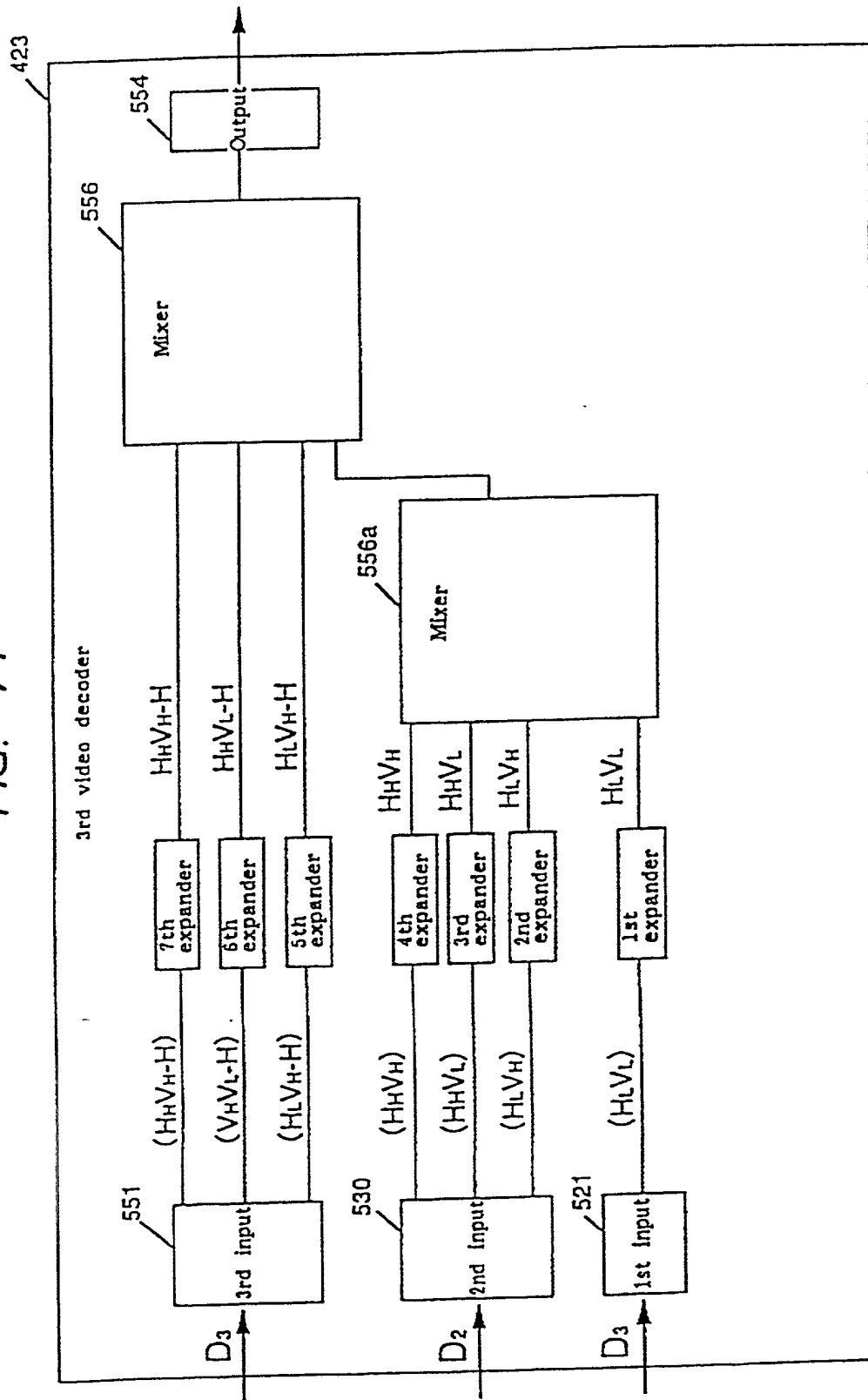


FIG. 72

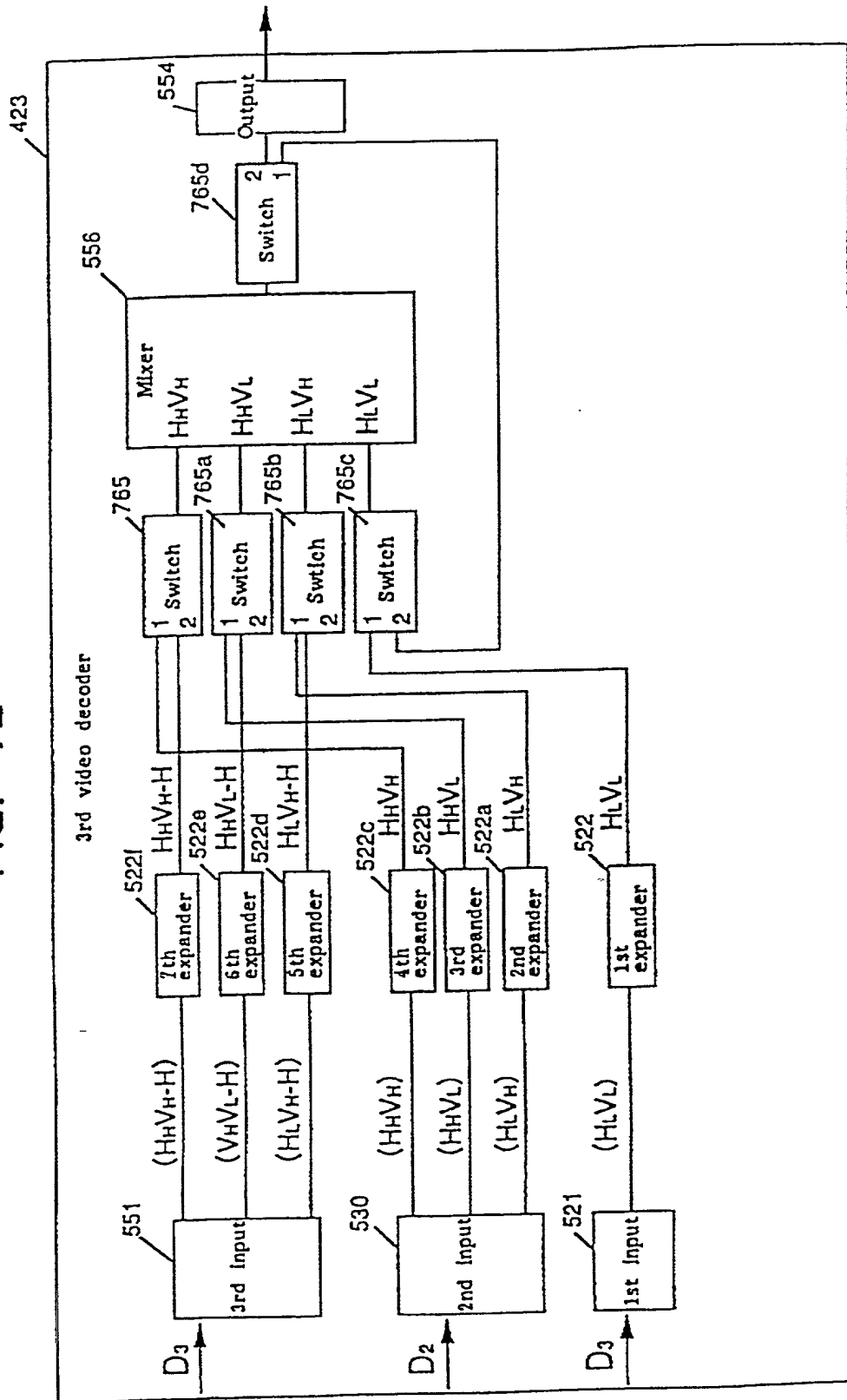
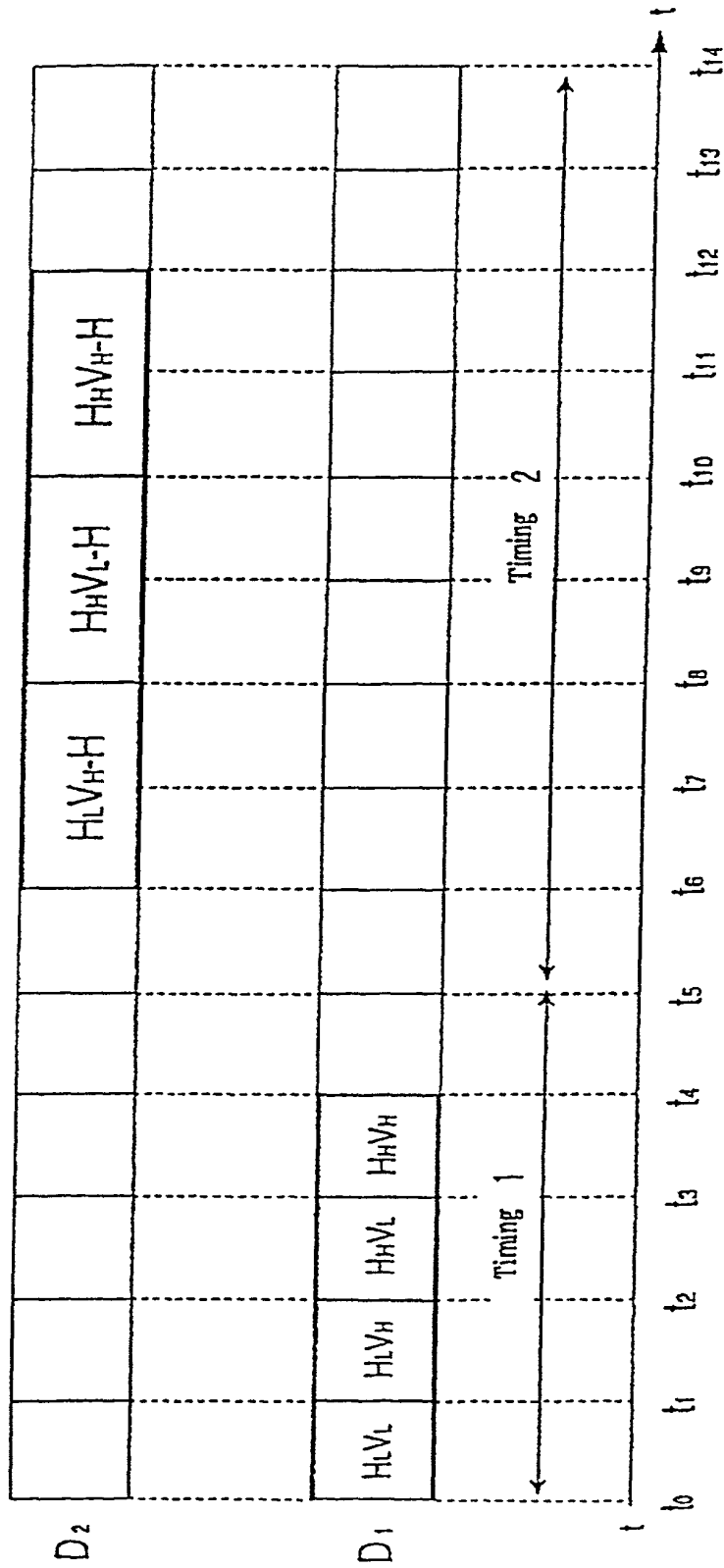




FIG. 73



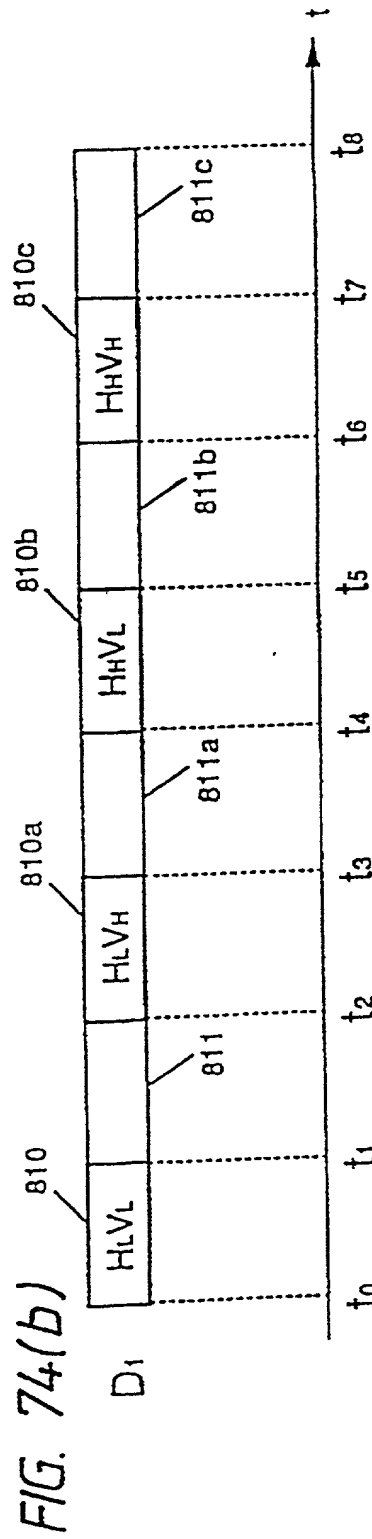
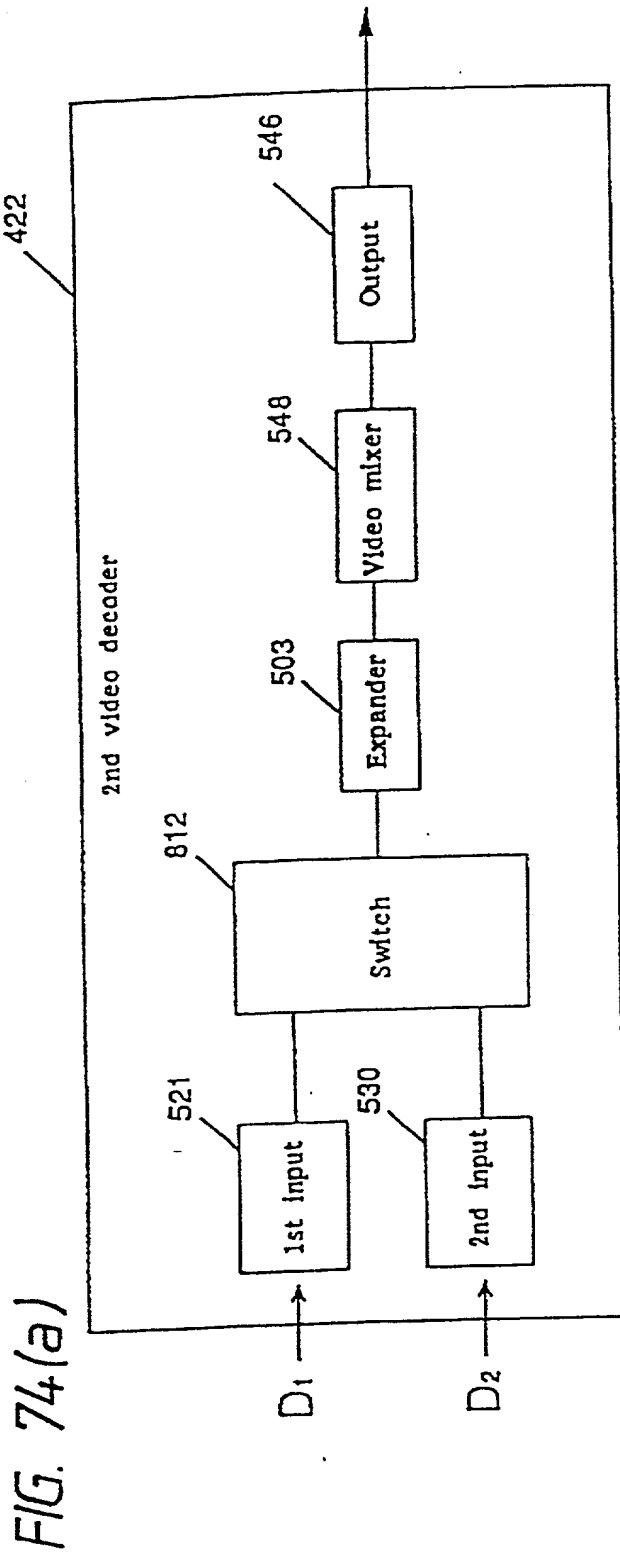


FIG. 75

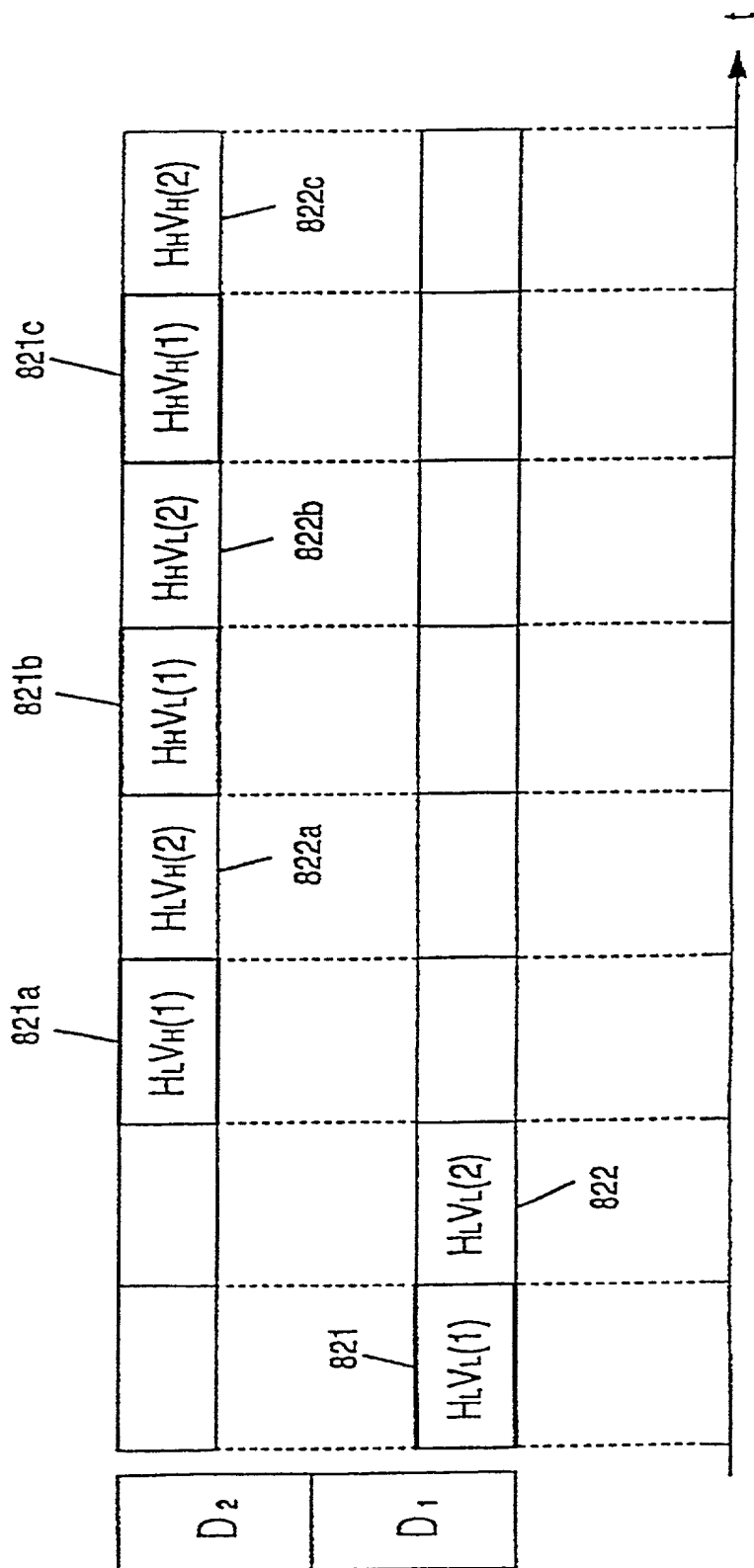


FIG. 76

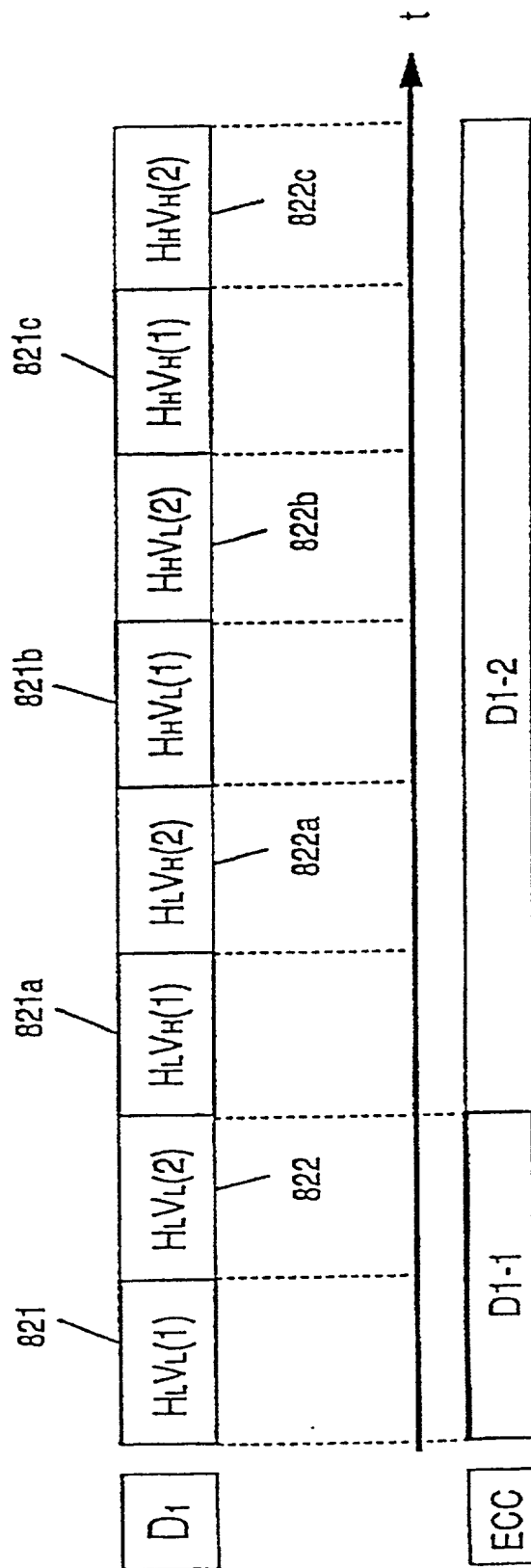


FIG. 77

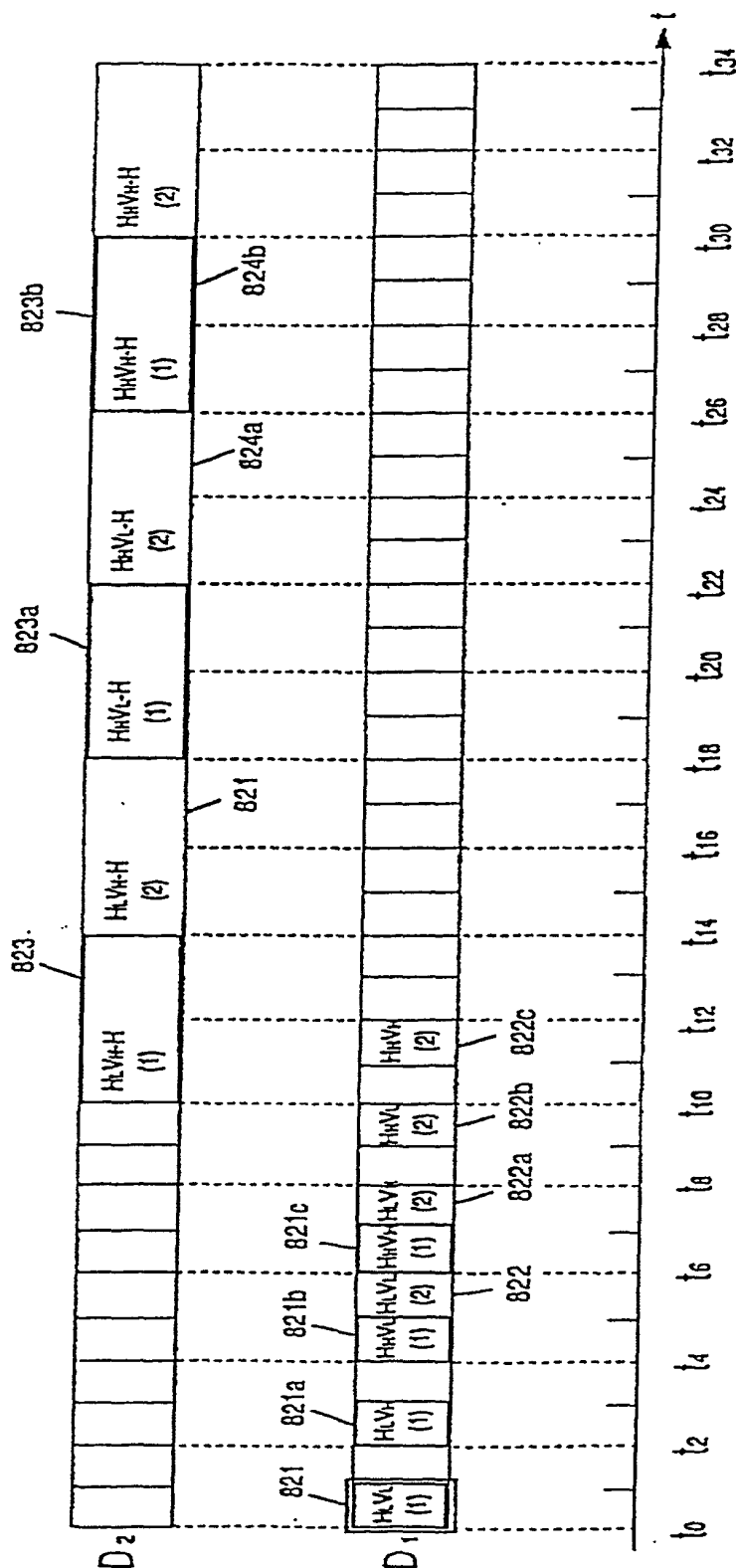
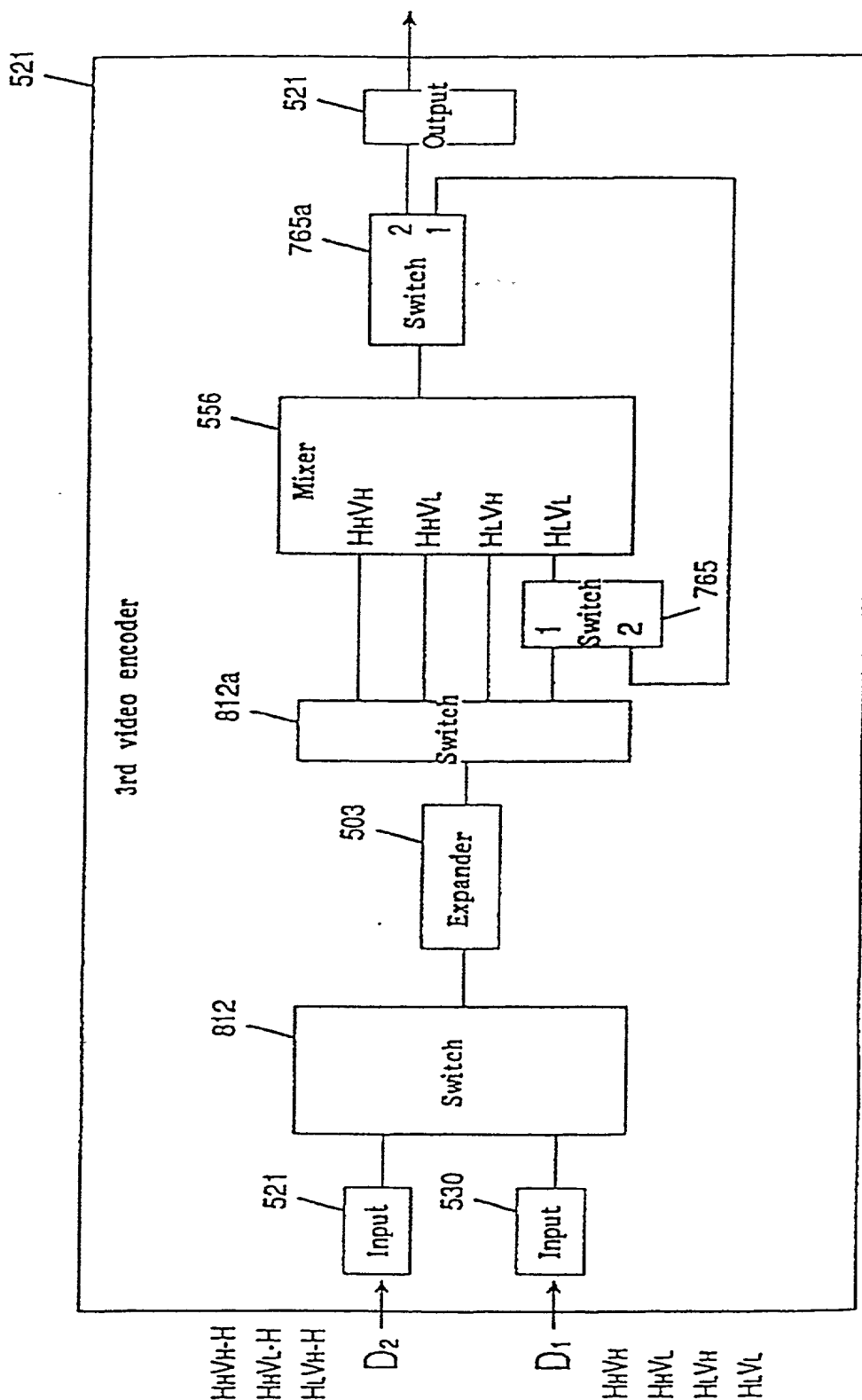


FIG. 78



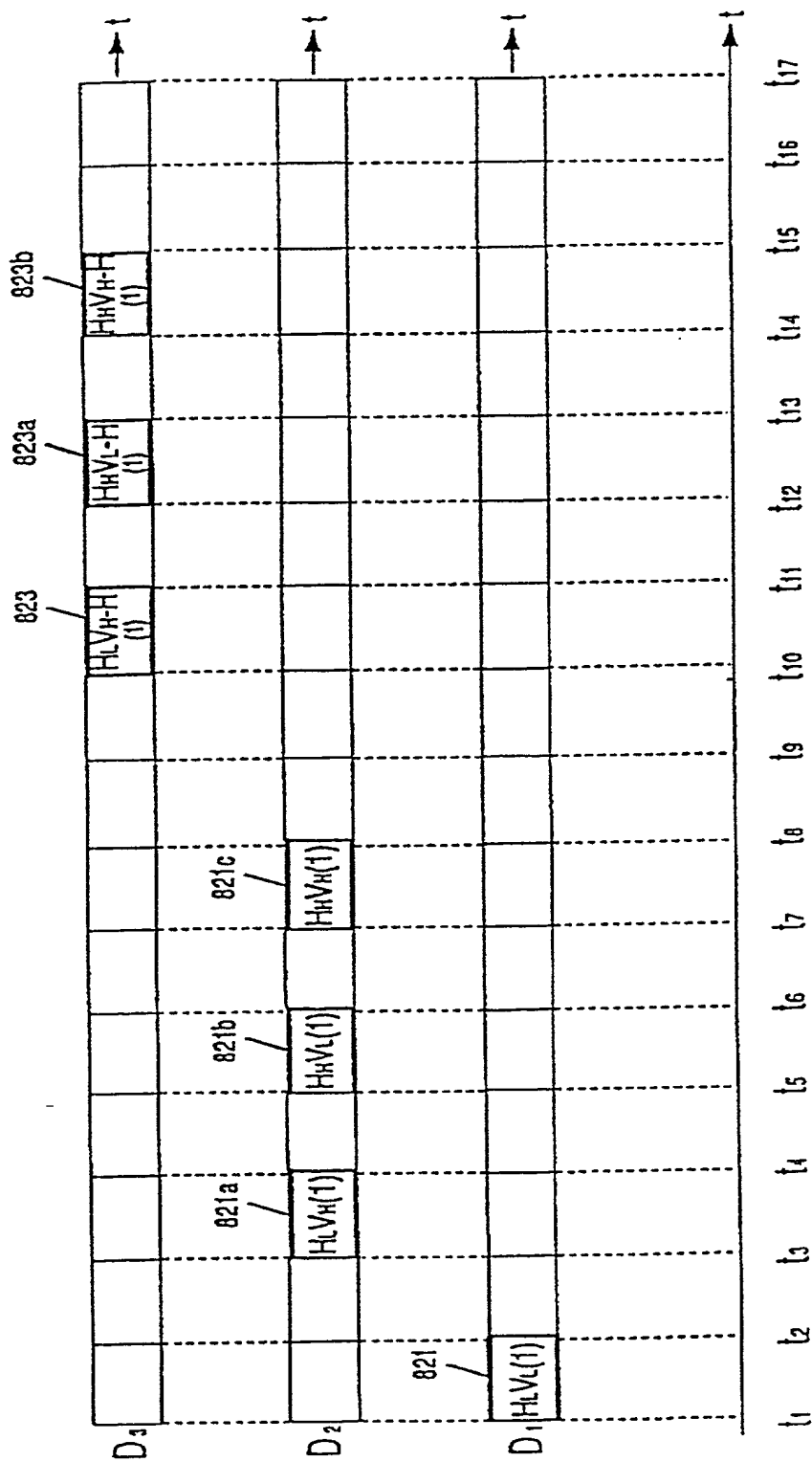


FIG. 80

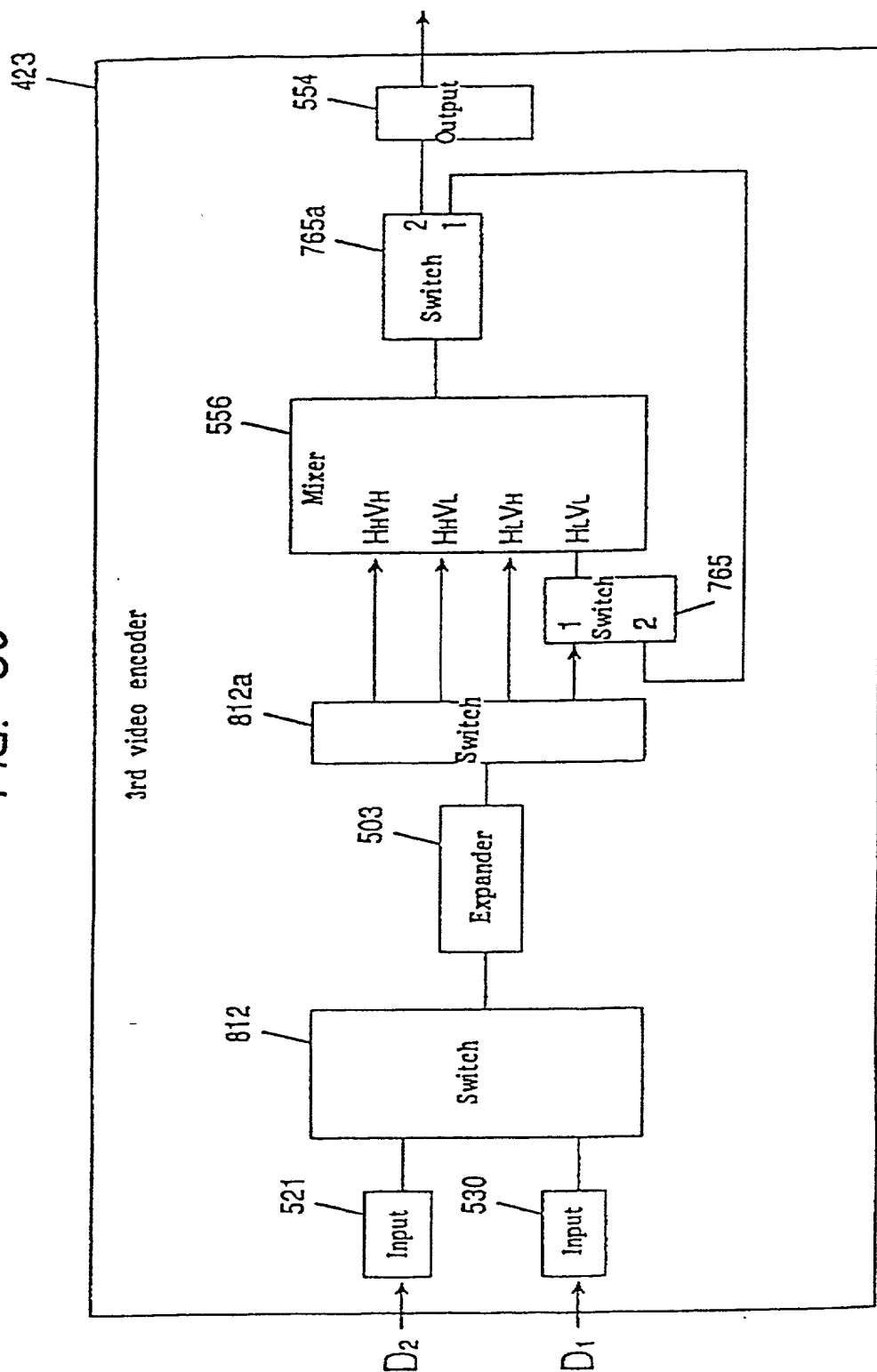




FIG. 81

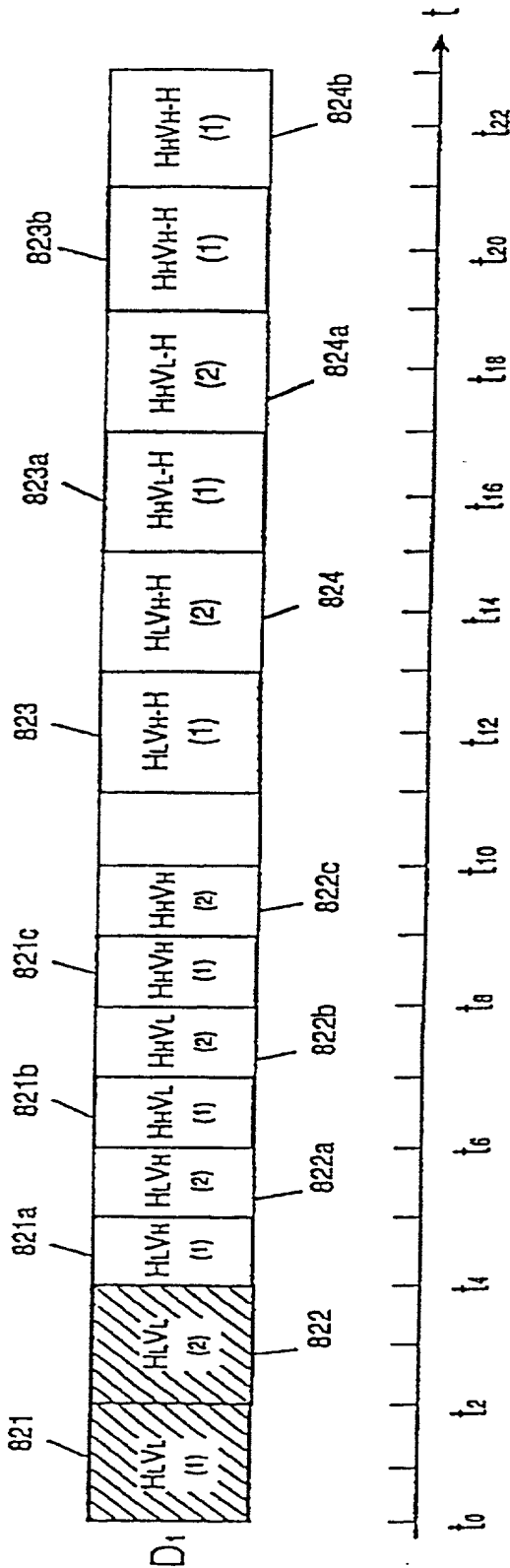


FIG. 82

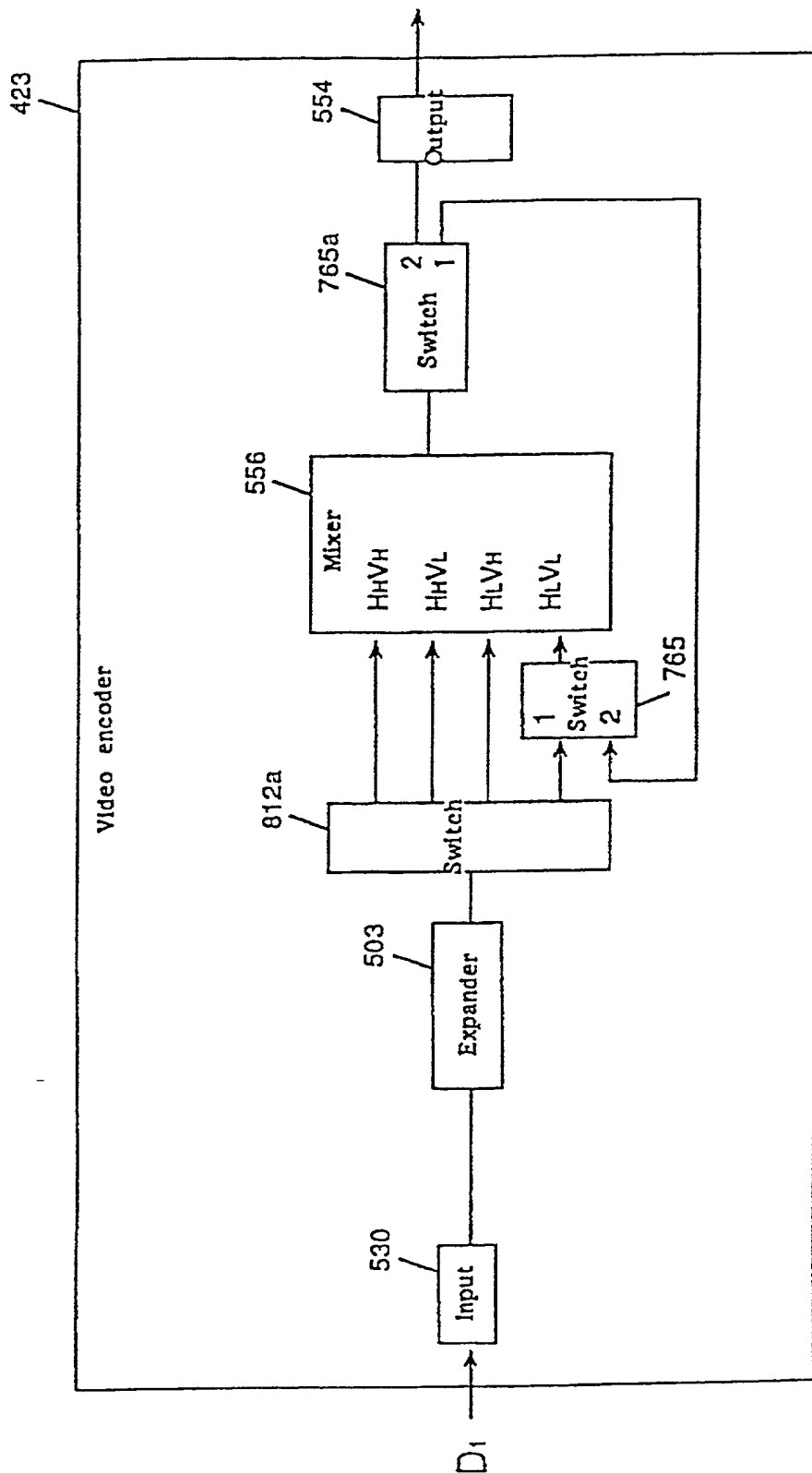


FIG. 83

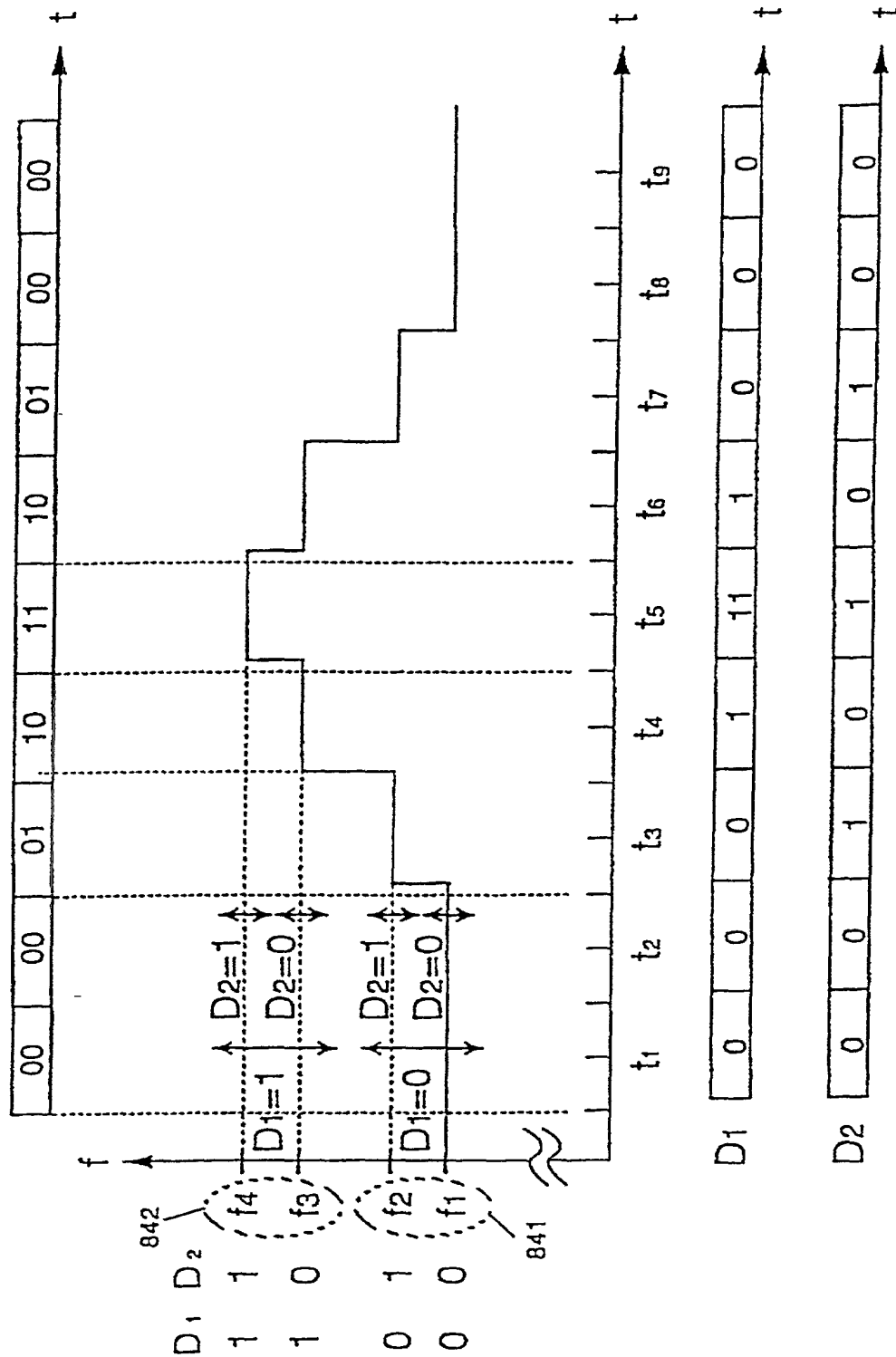


FIG. 84

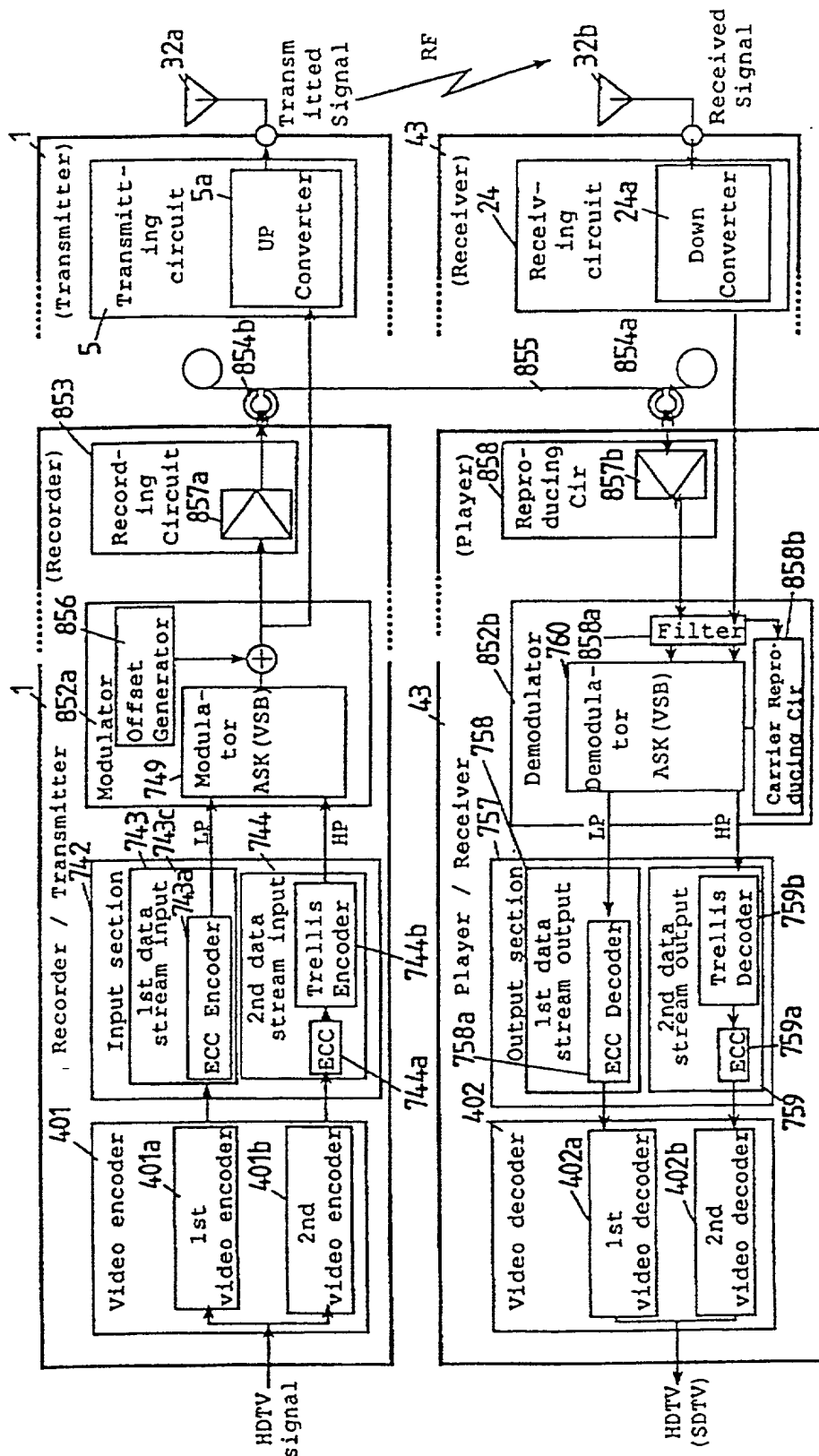
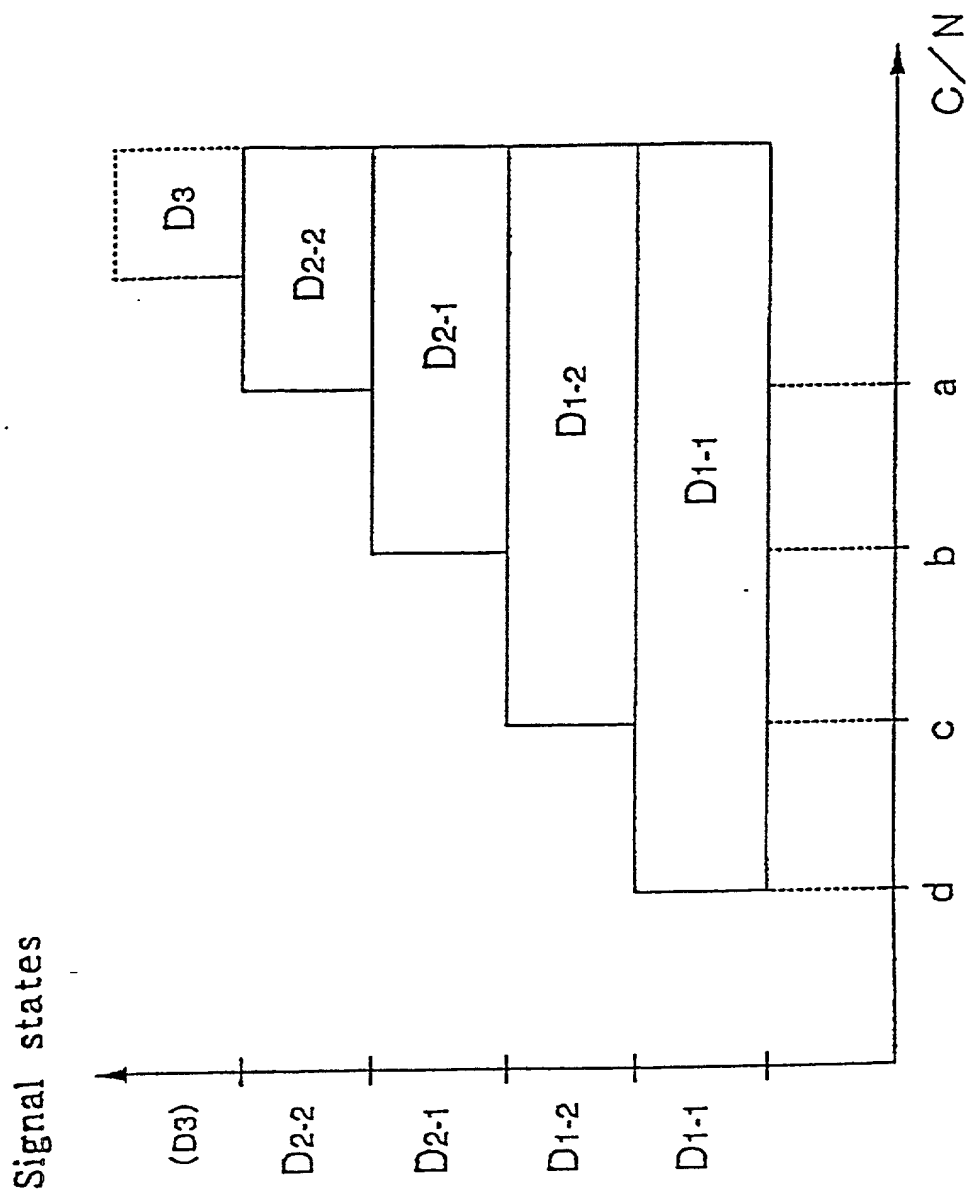


FIG. 85



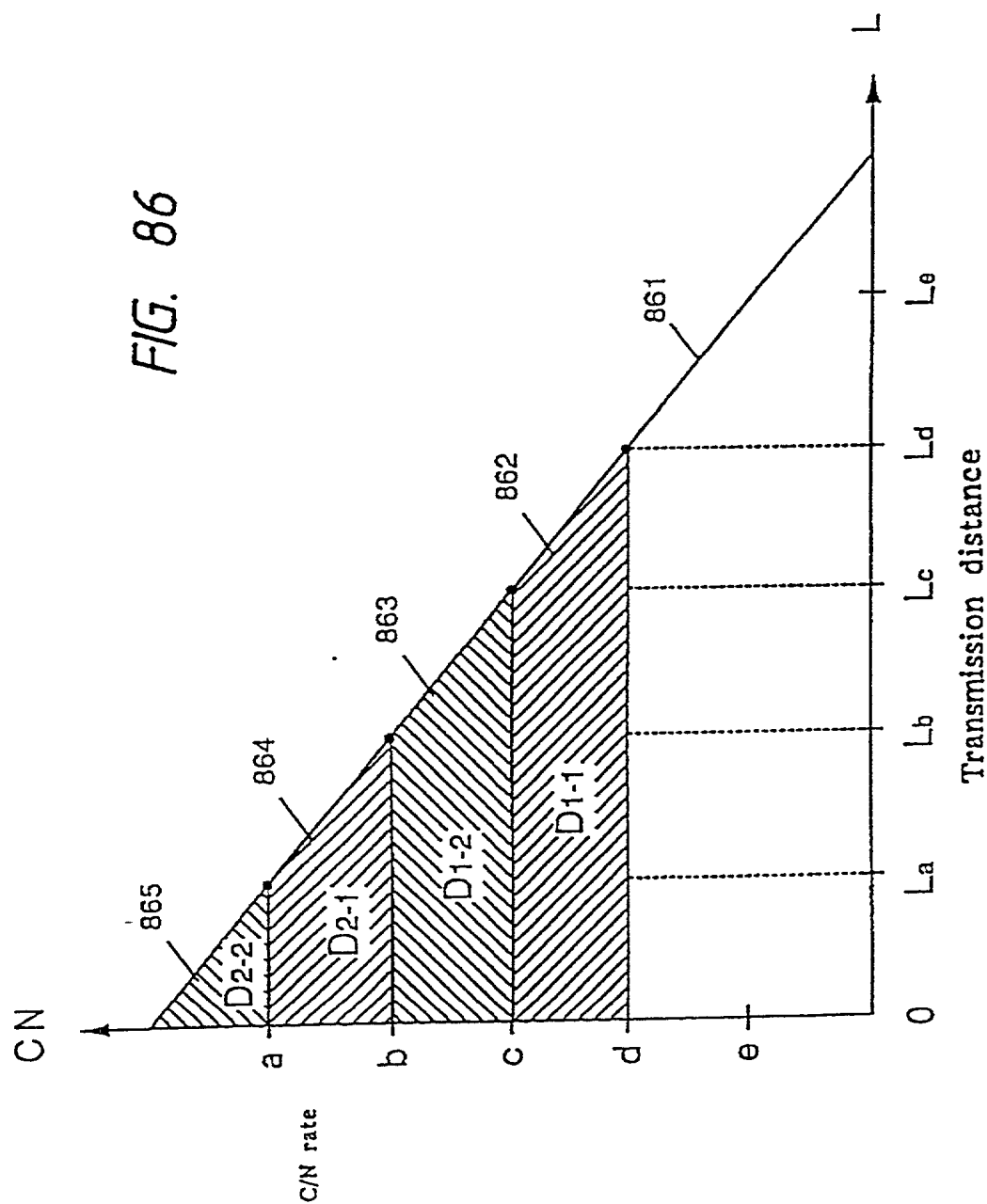


FIG. 87

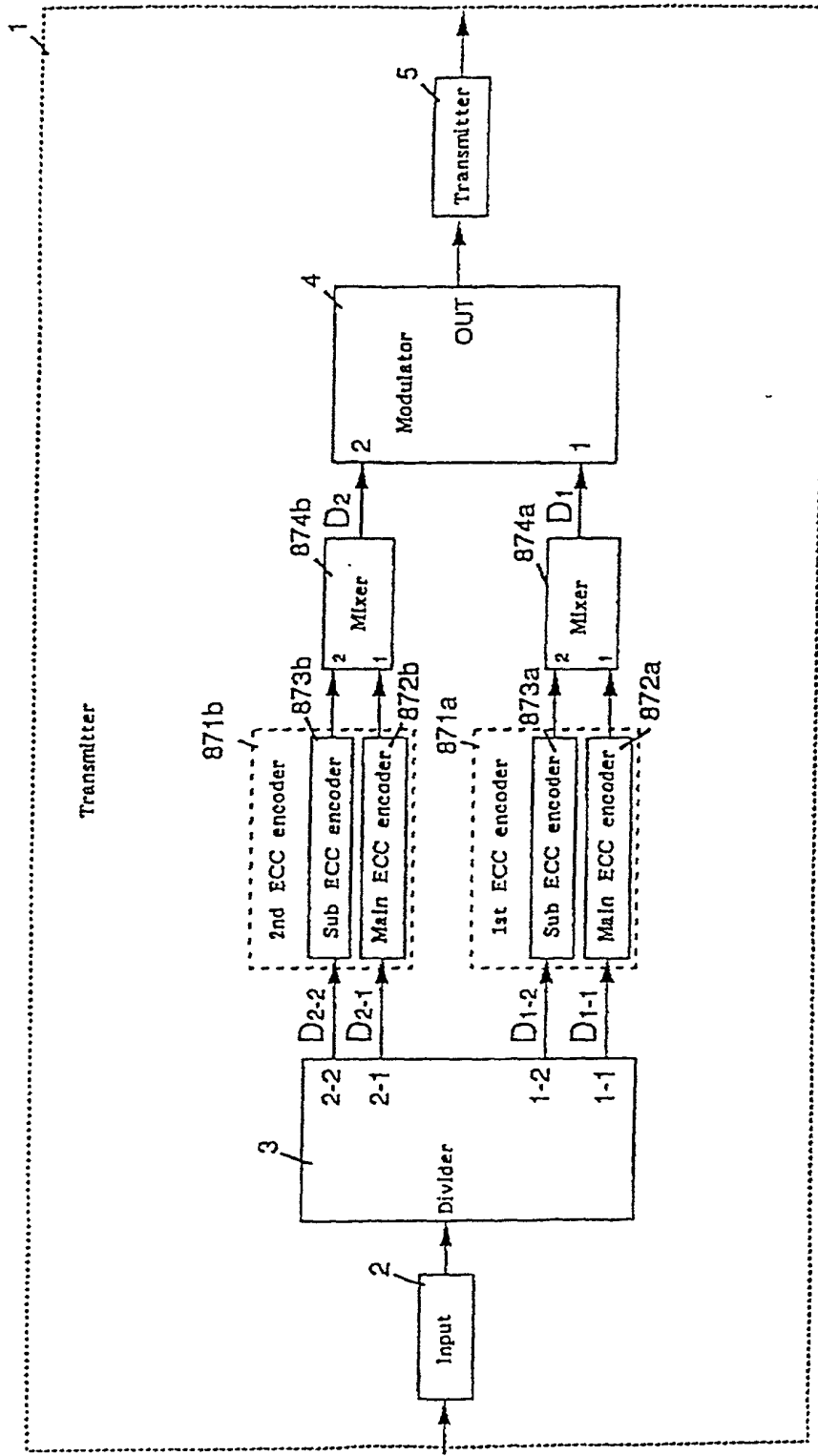
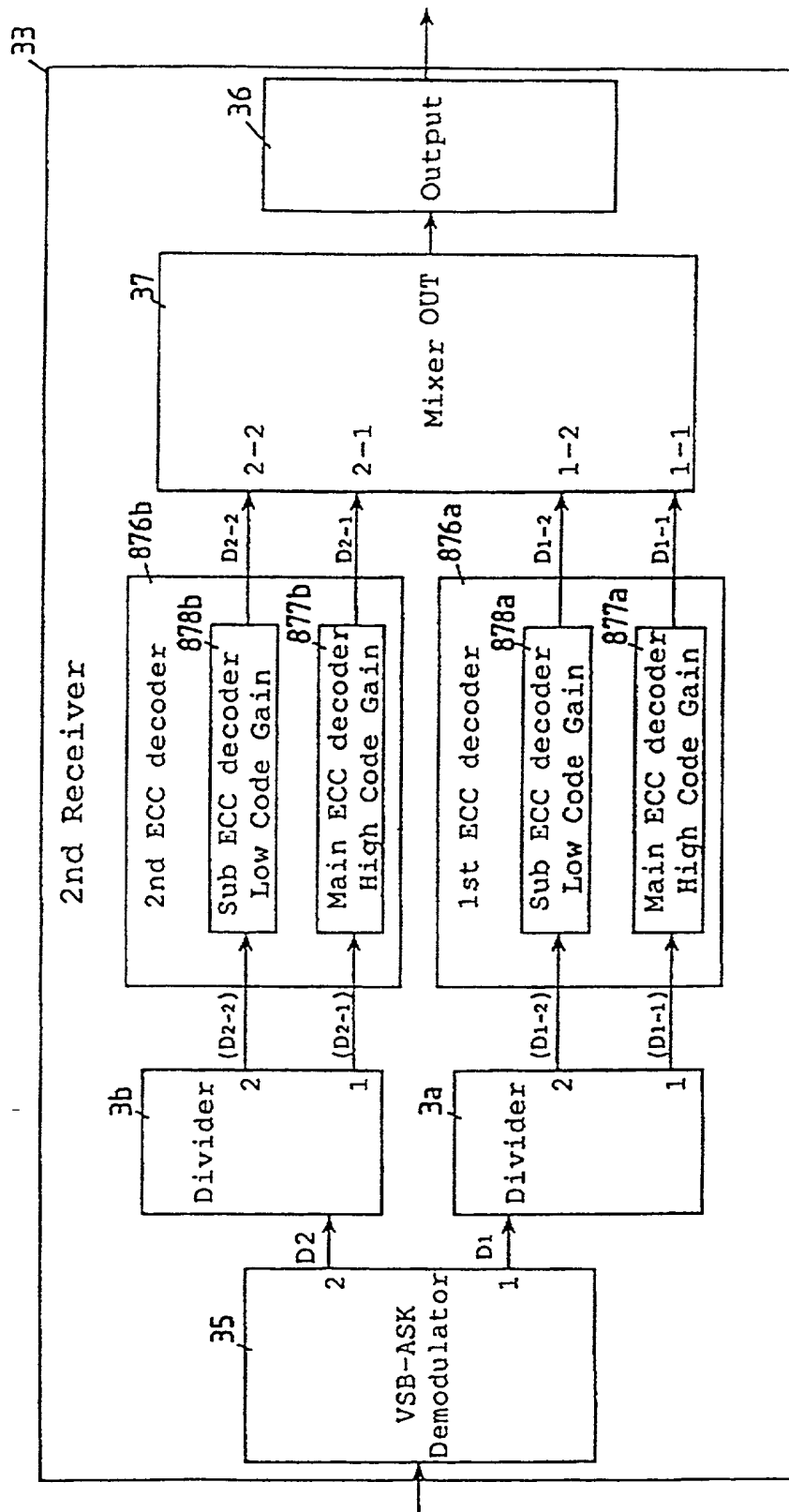


FIG. 88





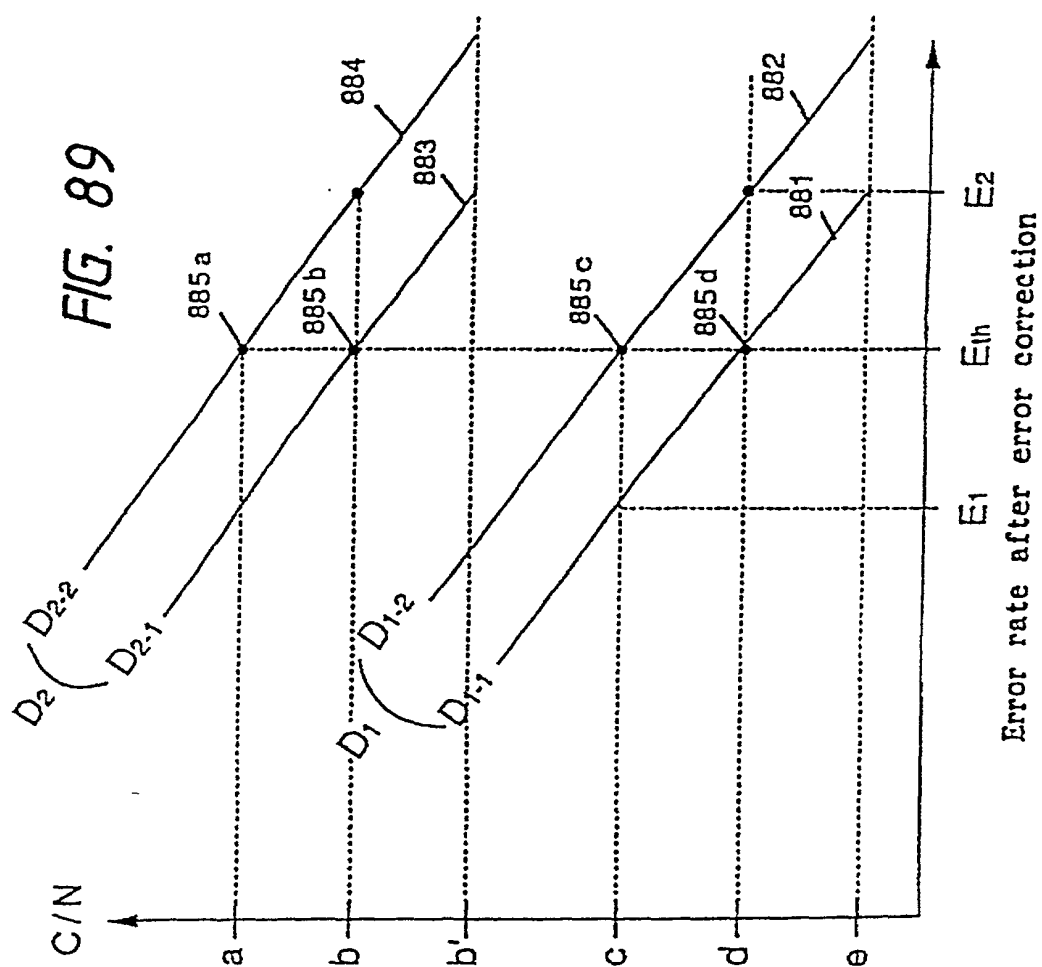


FIG. 90

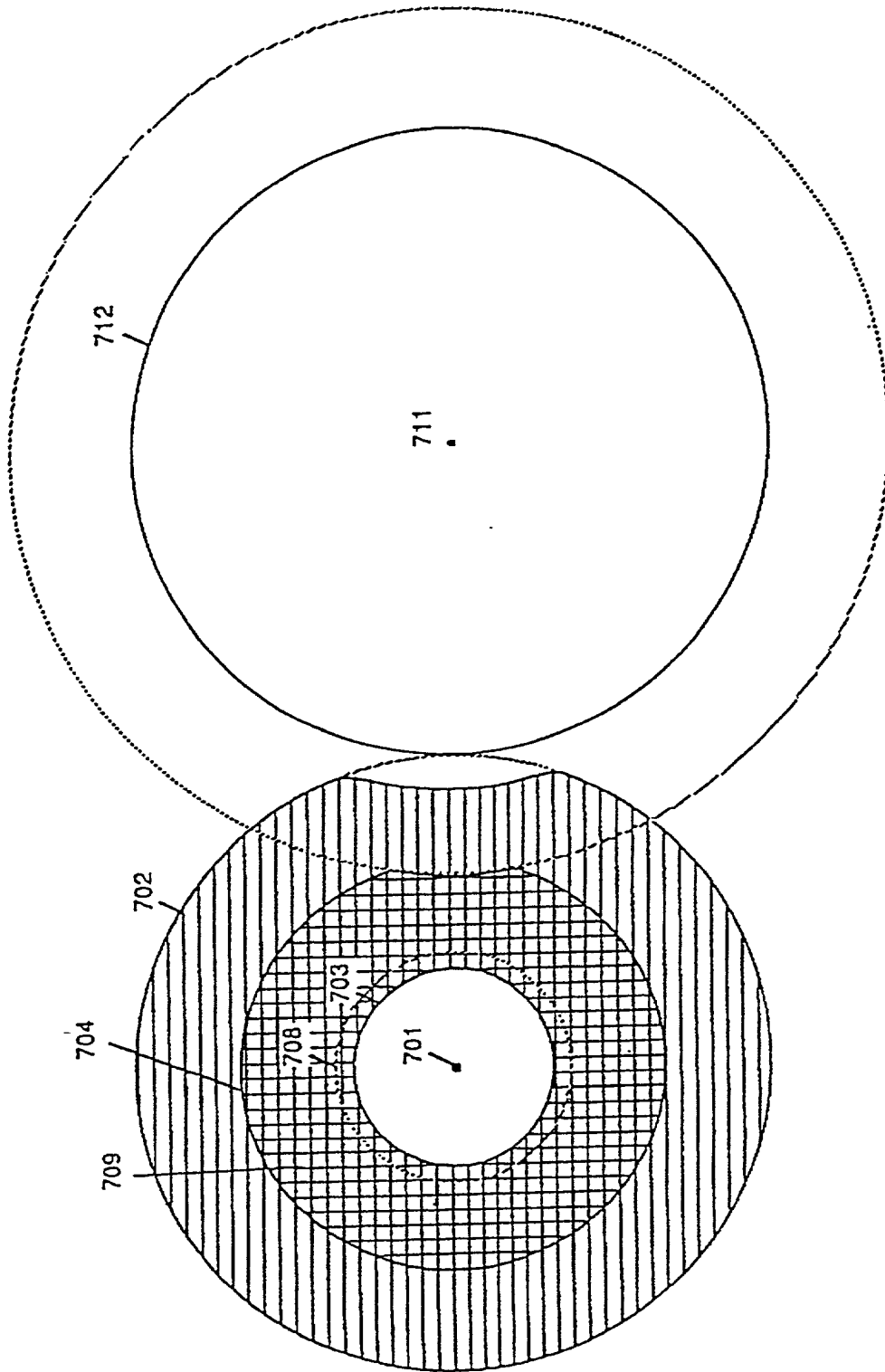
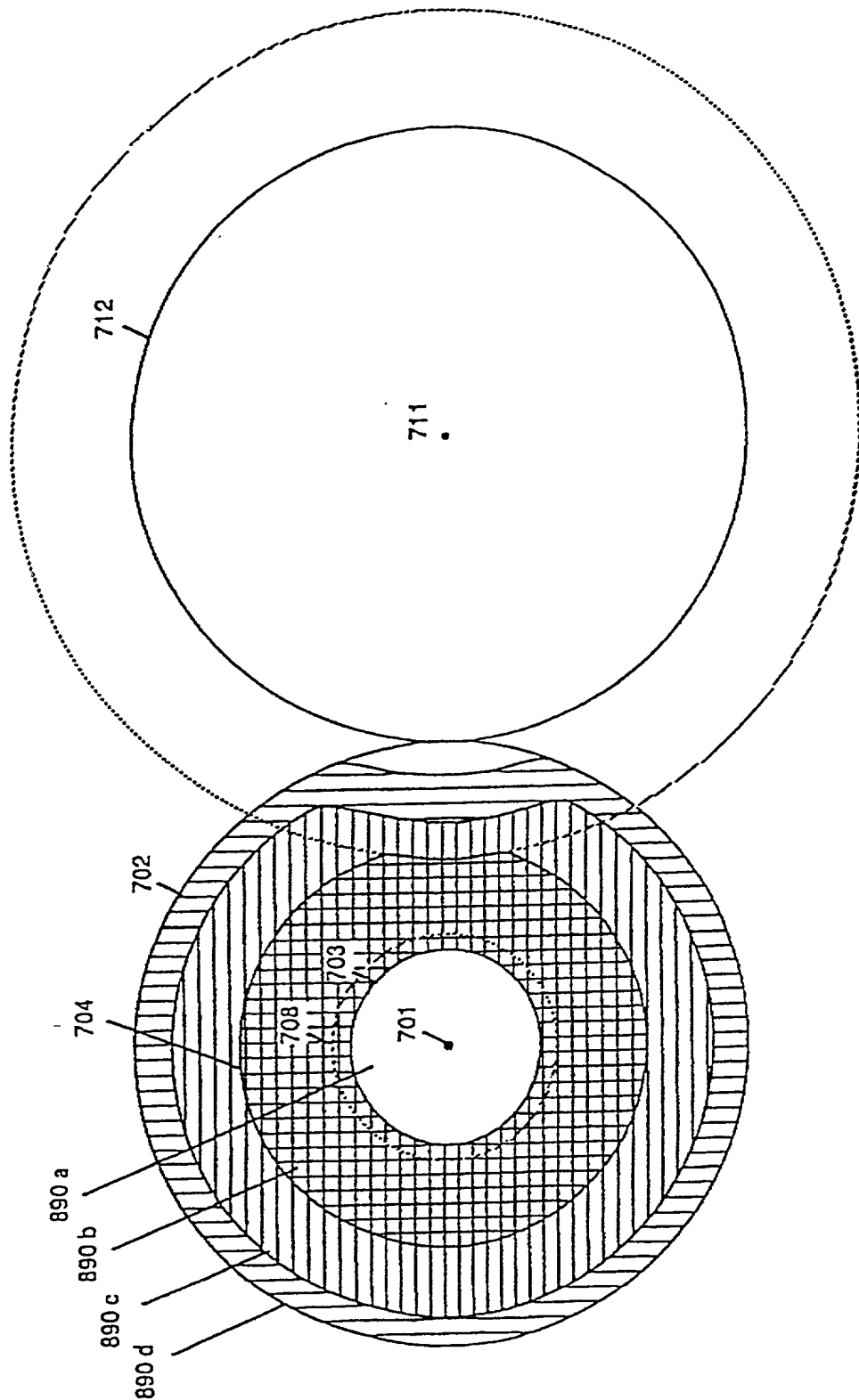


FIG. 91



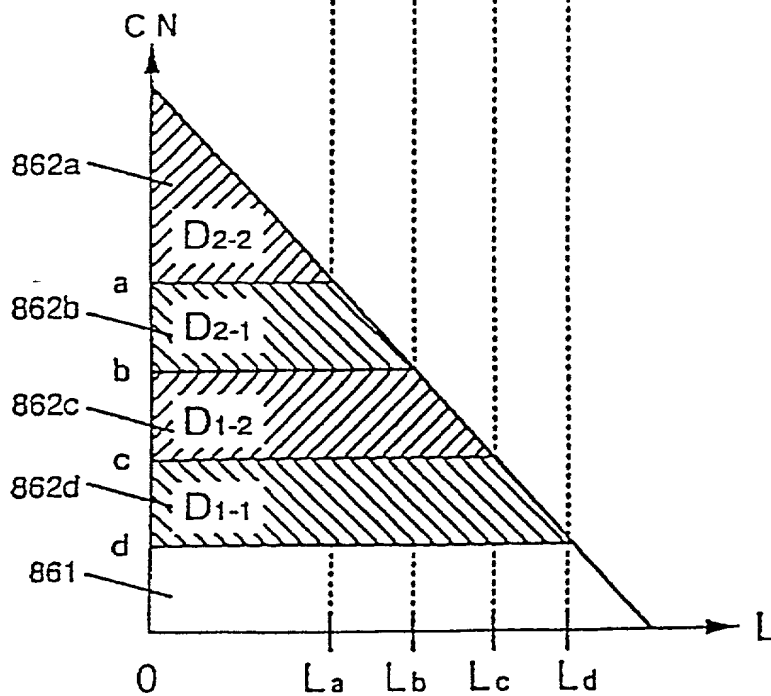
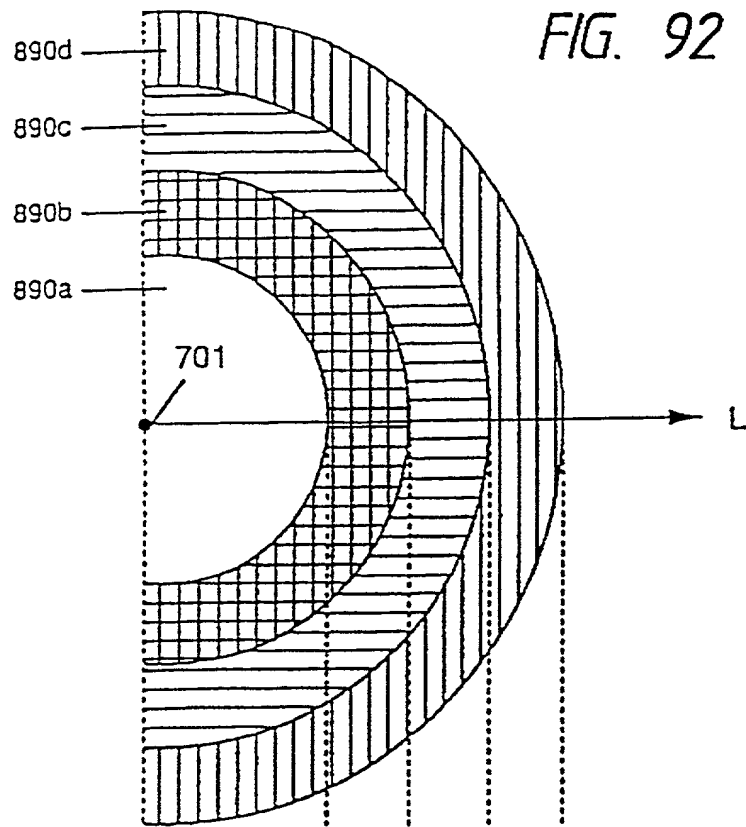


FIG. 93

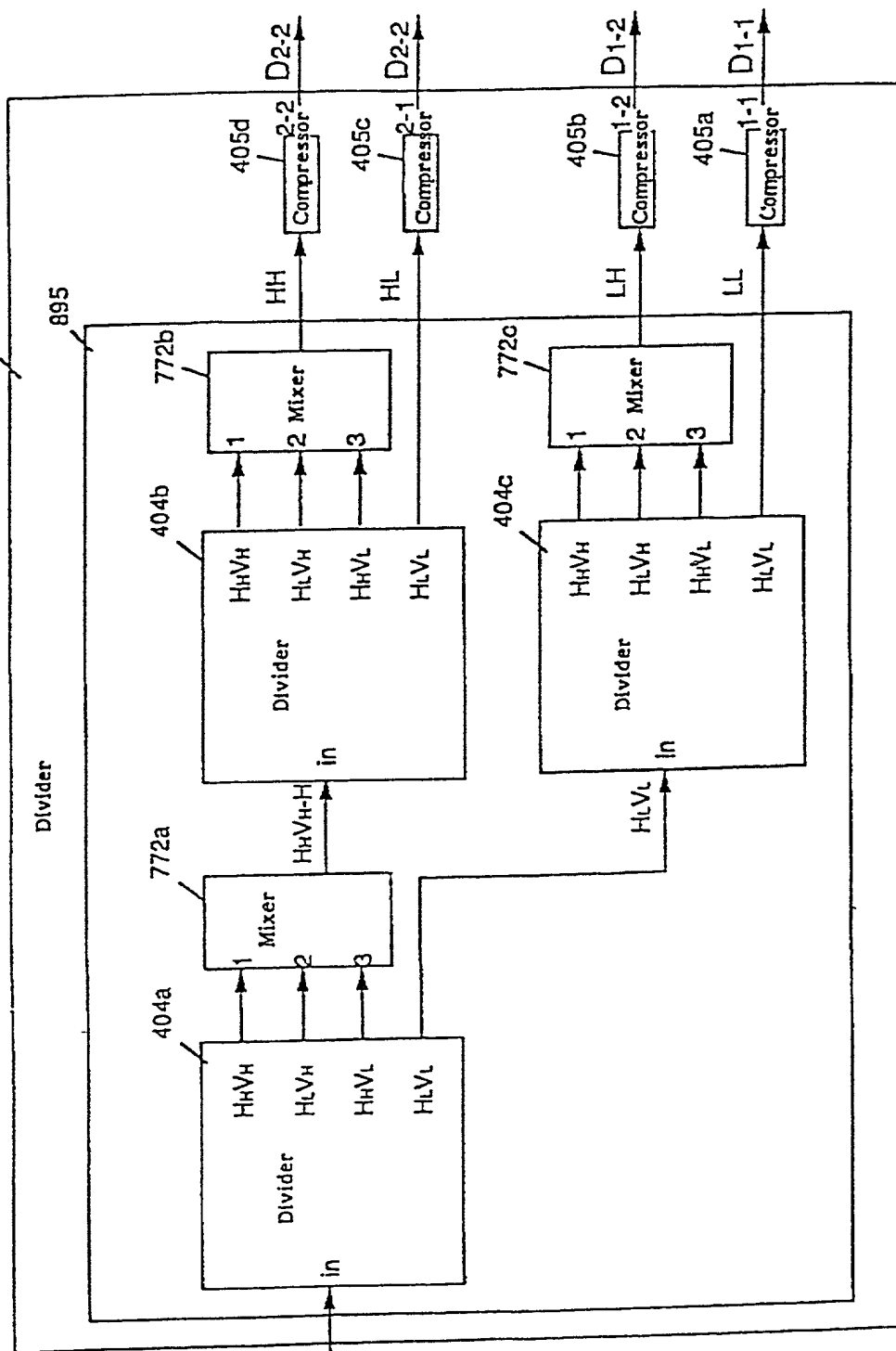
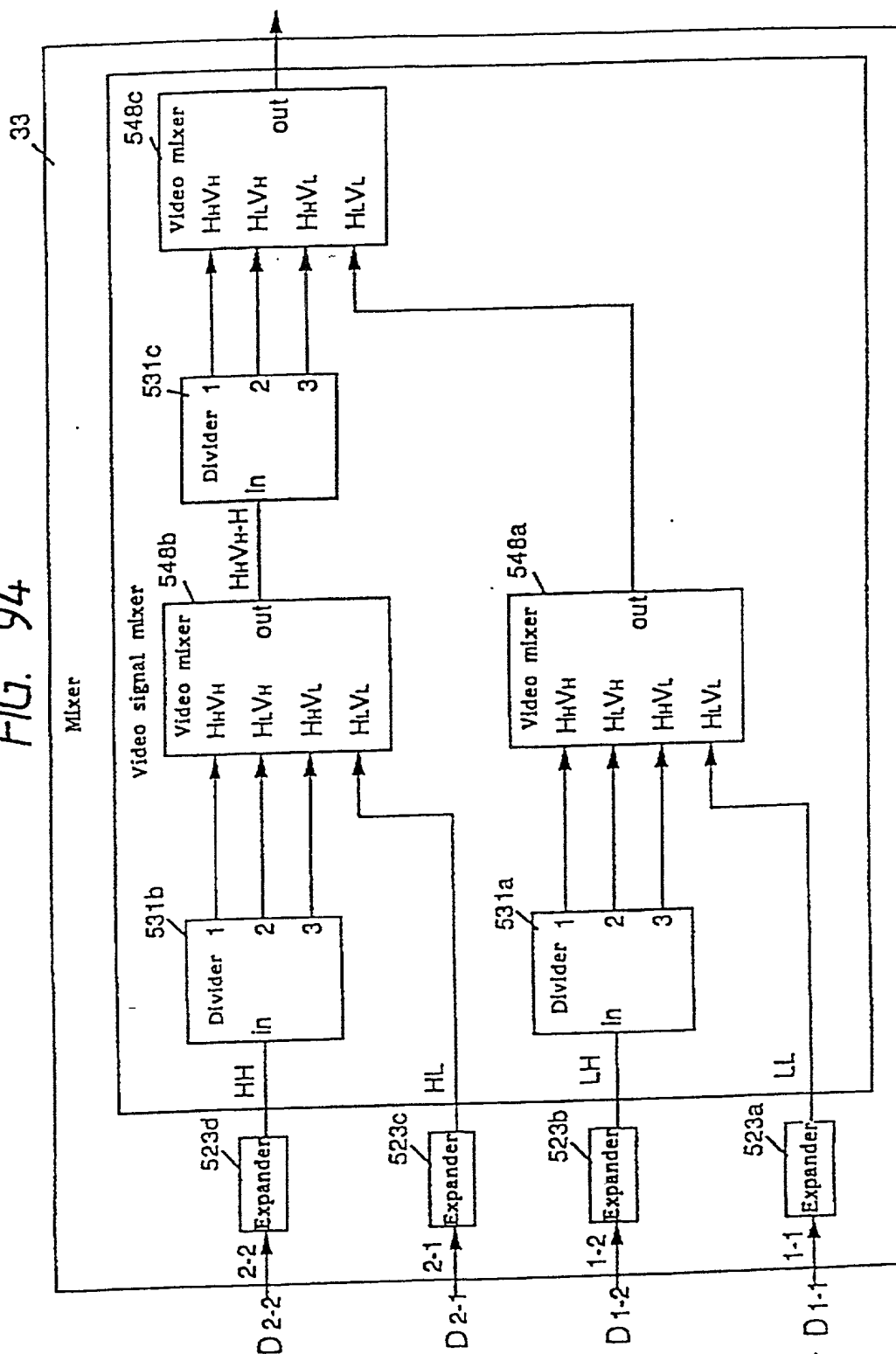


FIG. 94



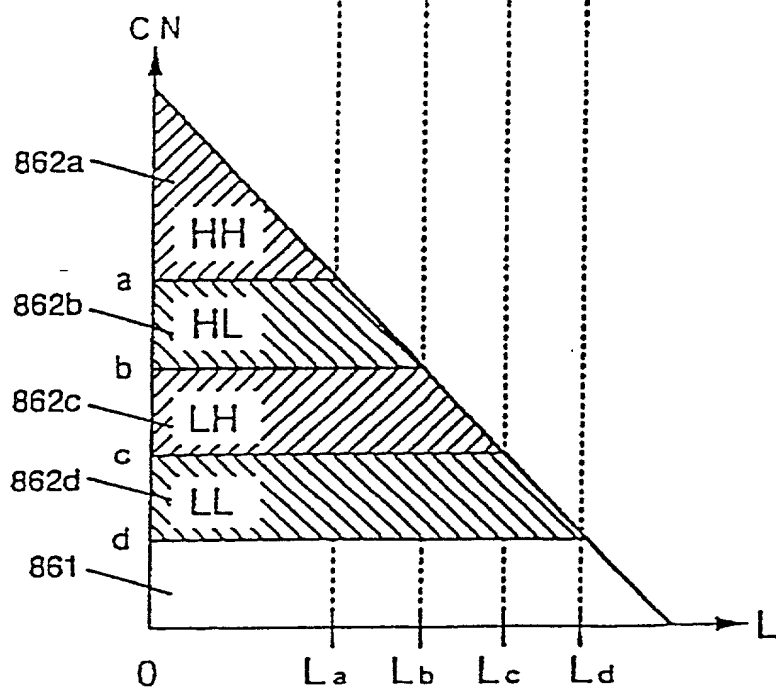
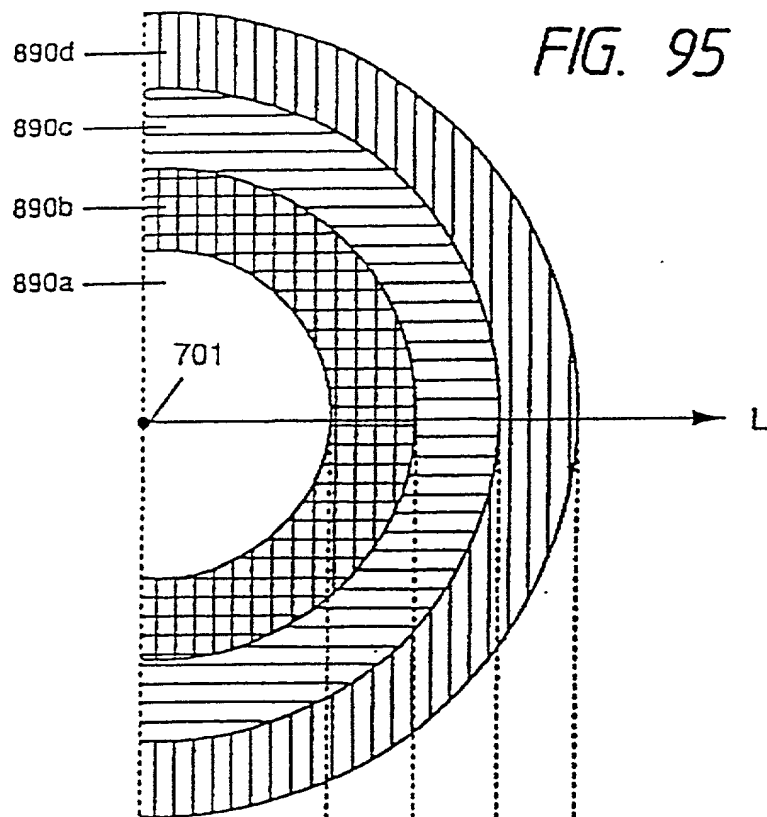


FIG. 96

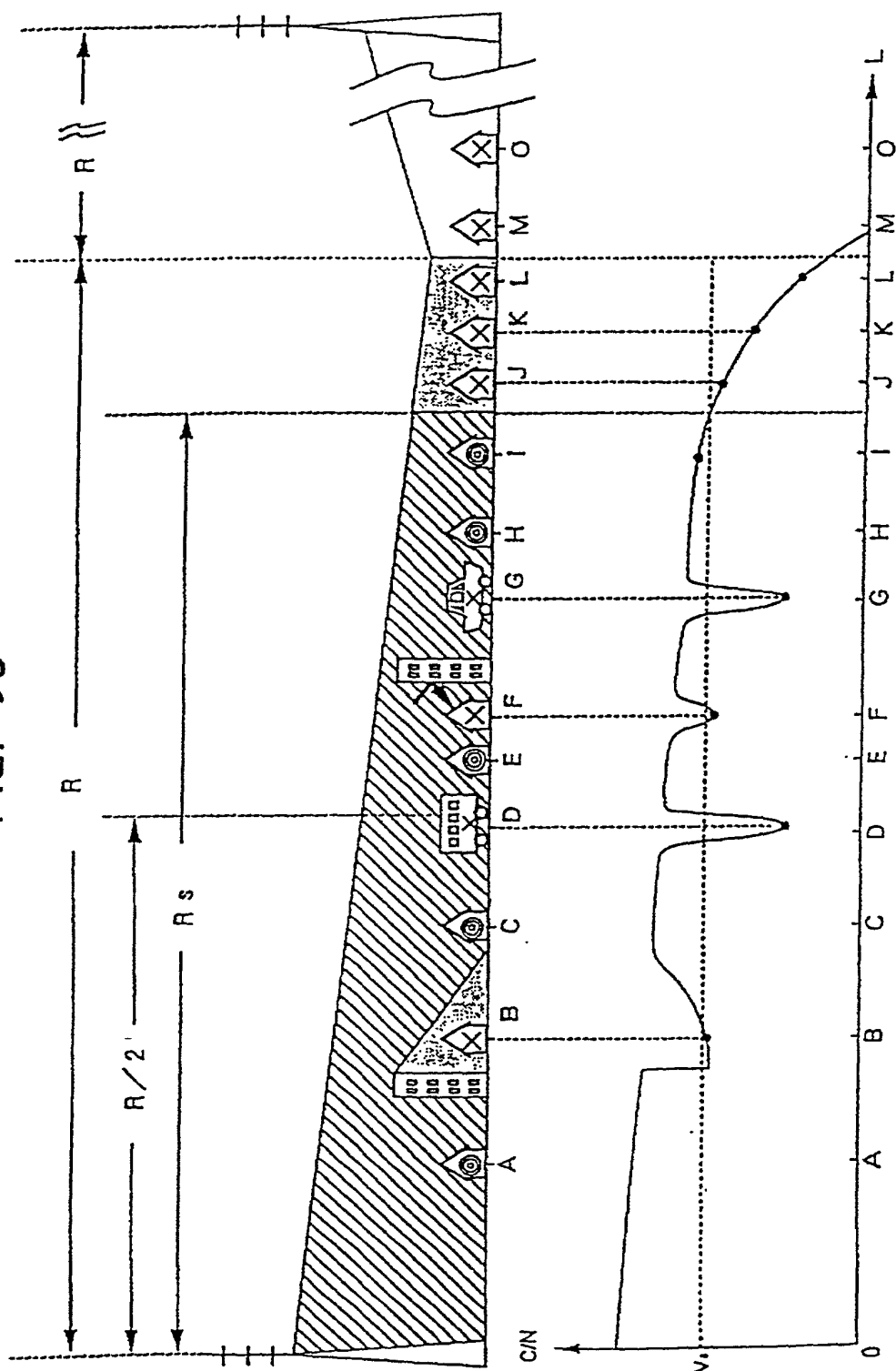
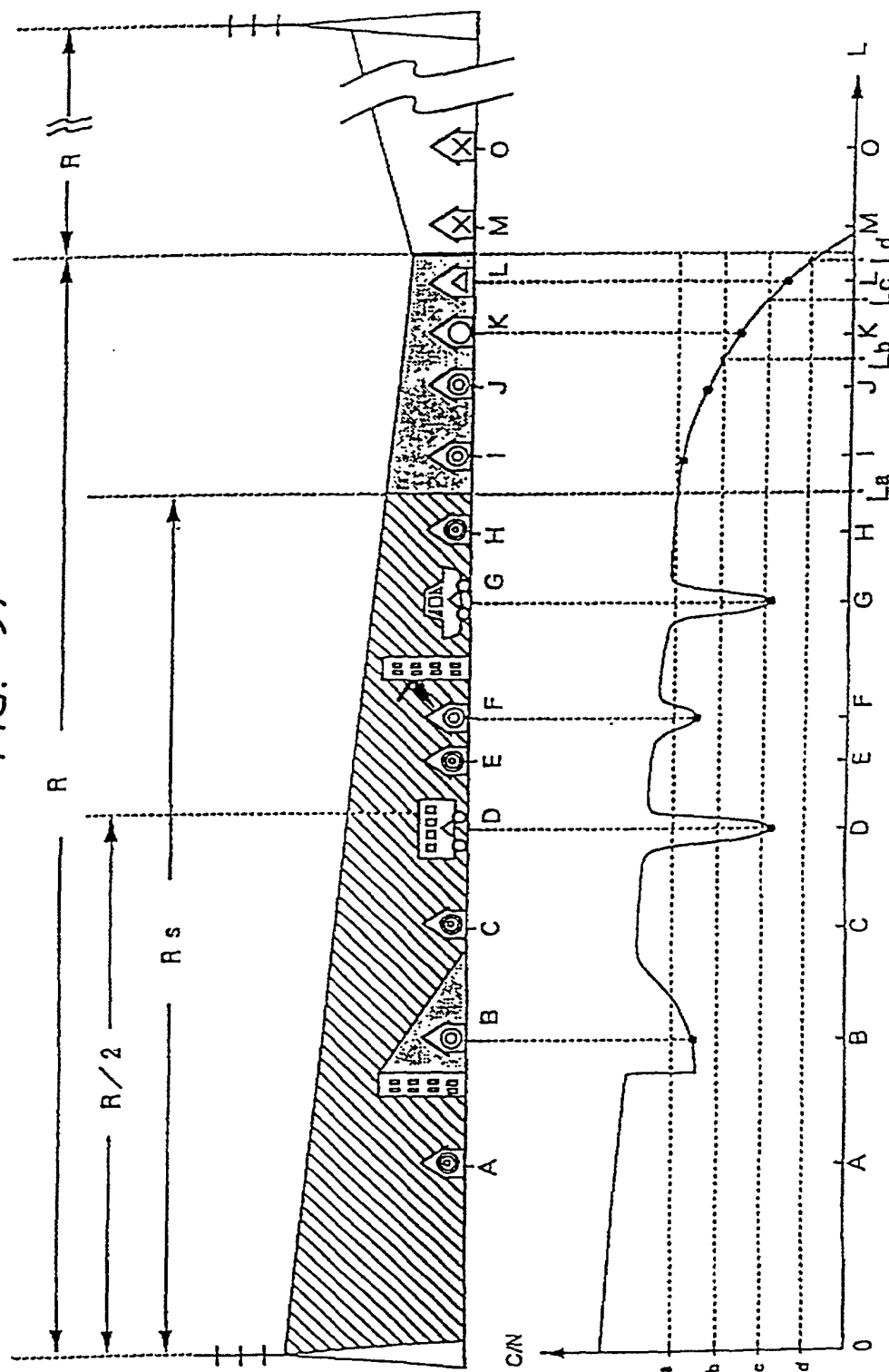
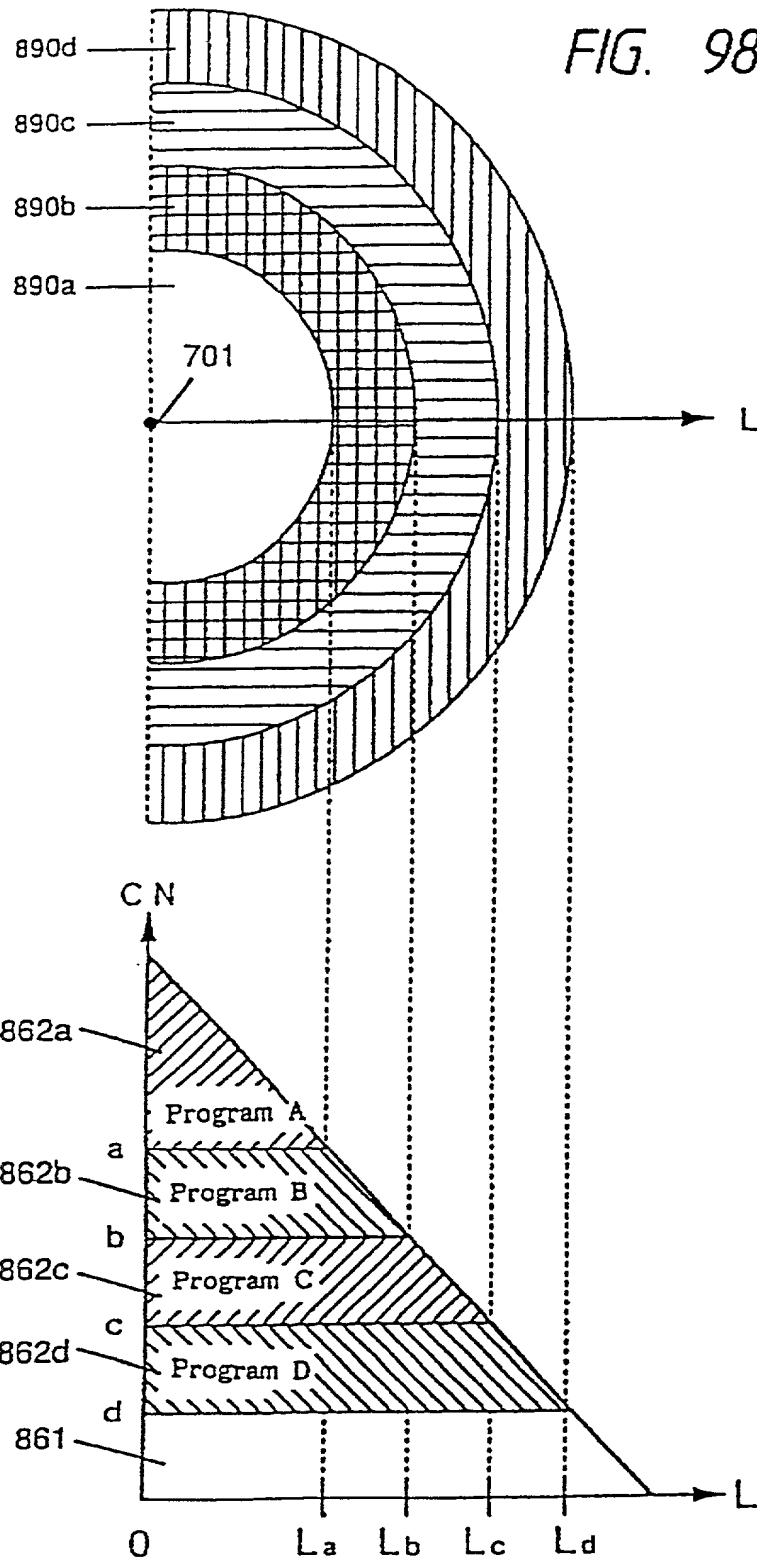




FIG. 97





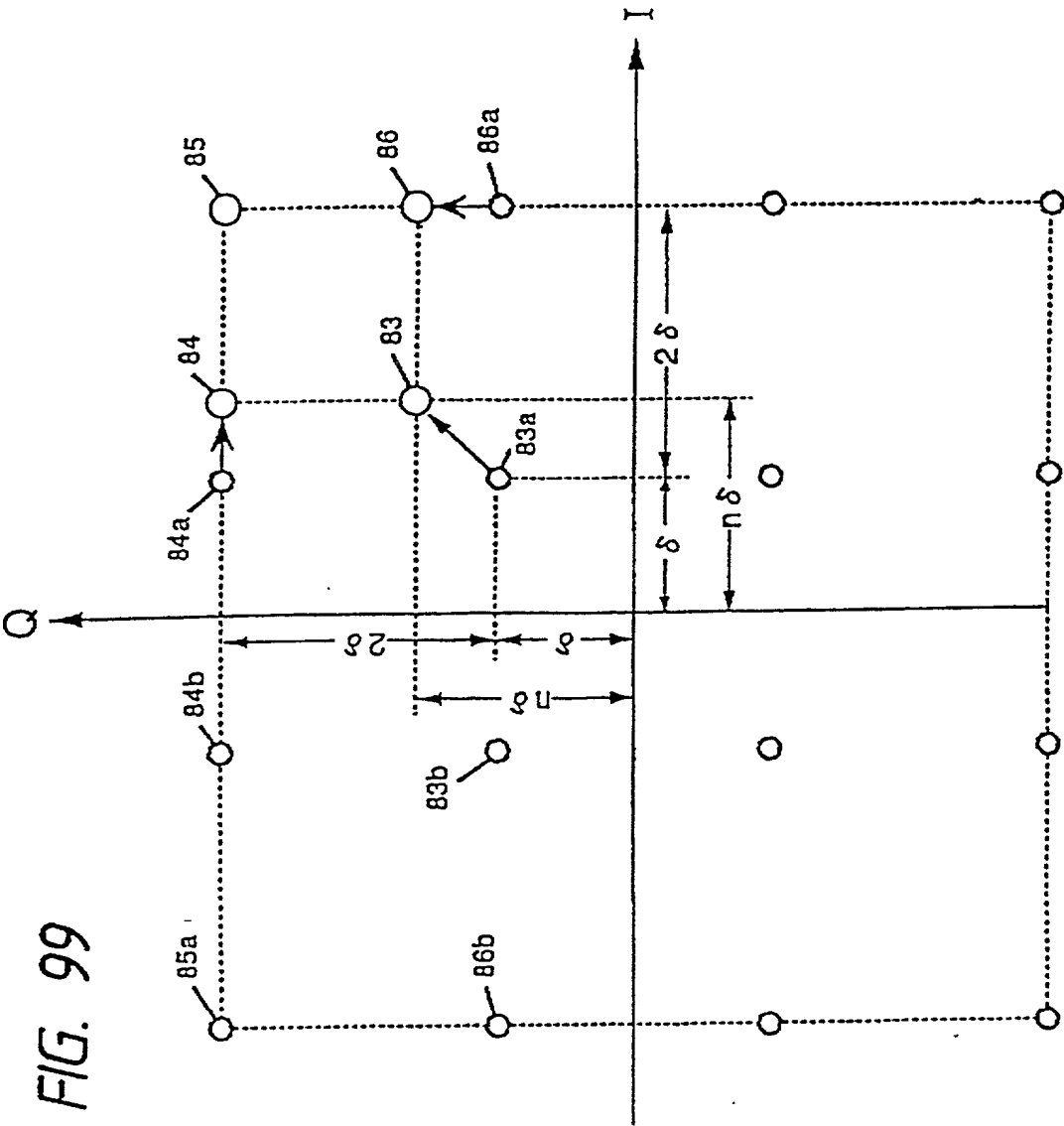


FIG. 100

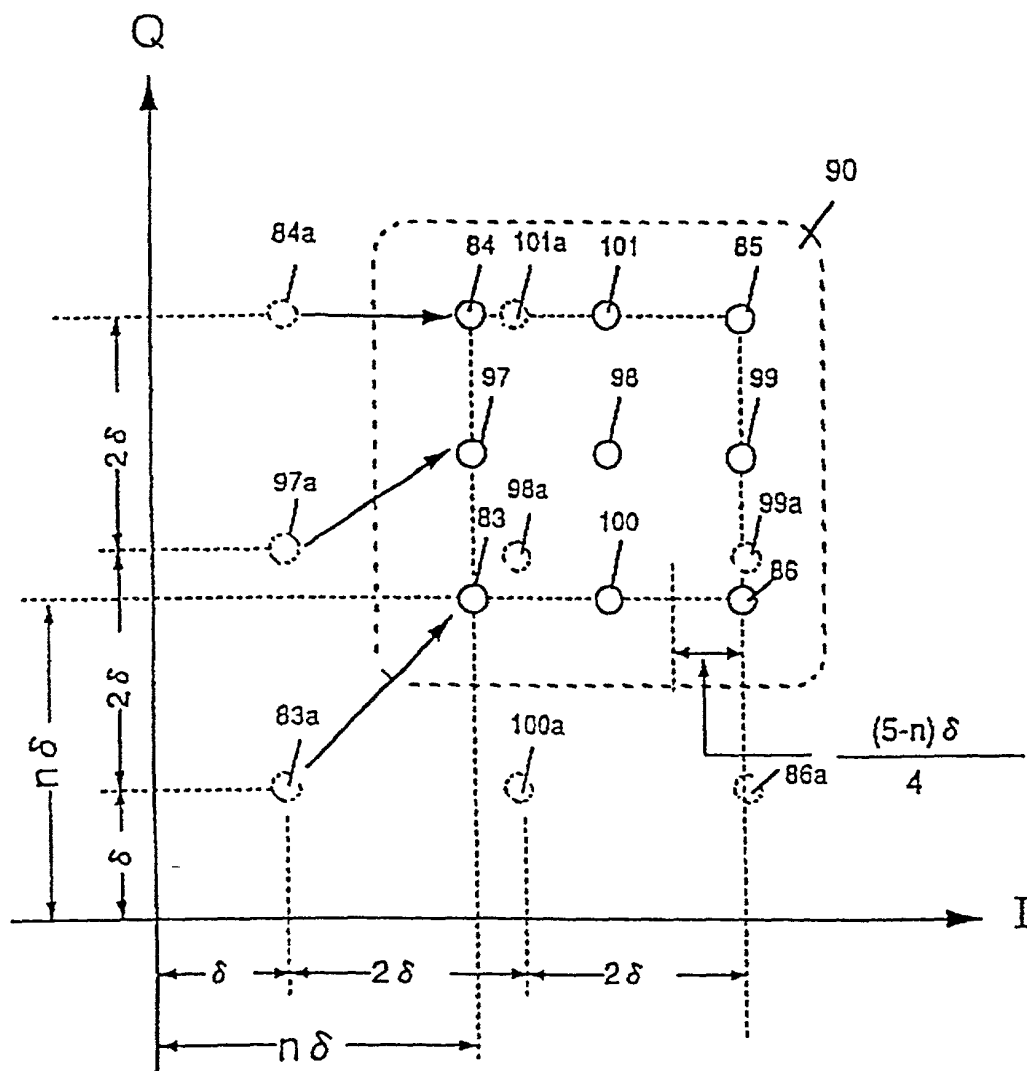


FIG. 101

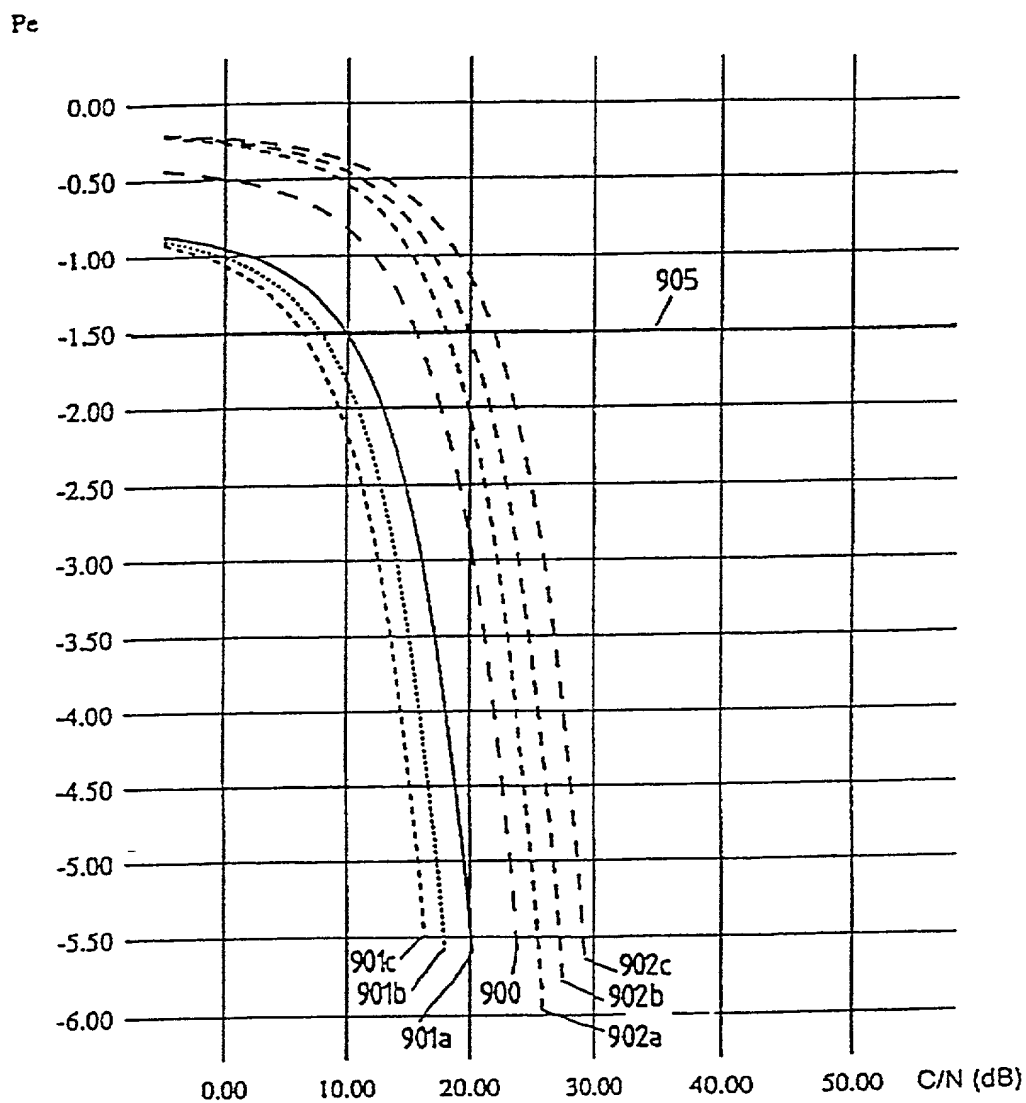


FIG. 102

Pc

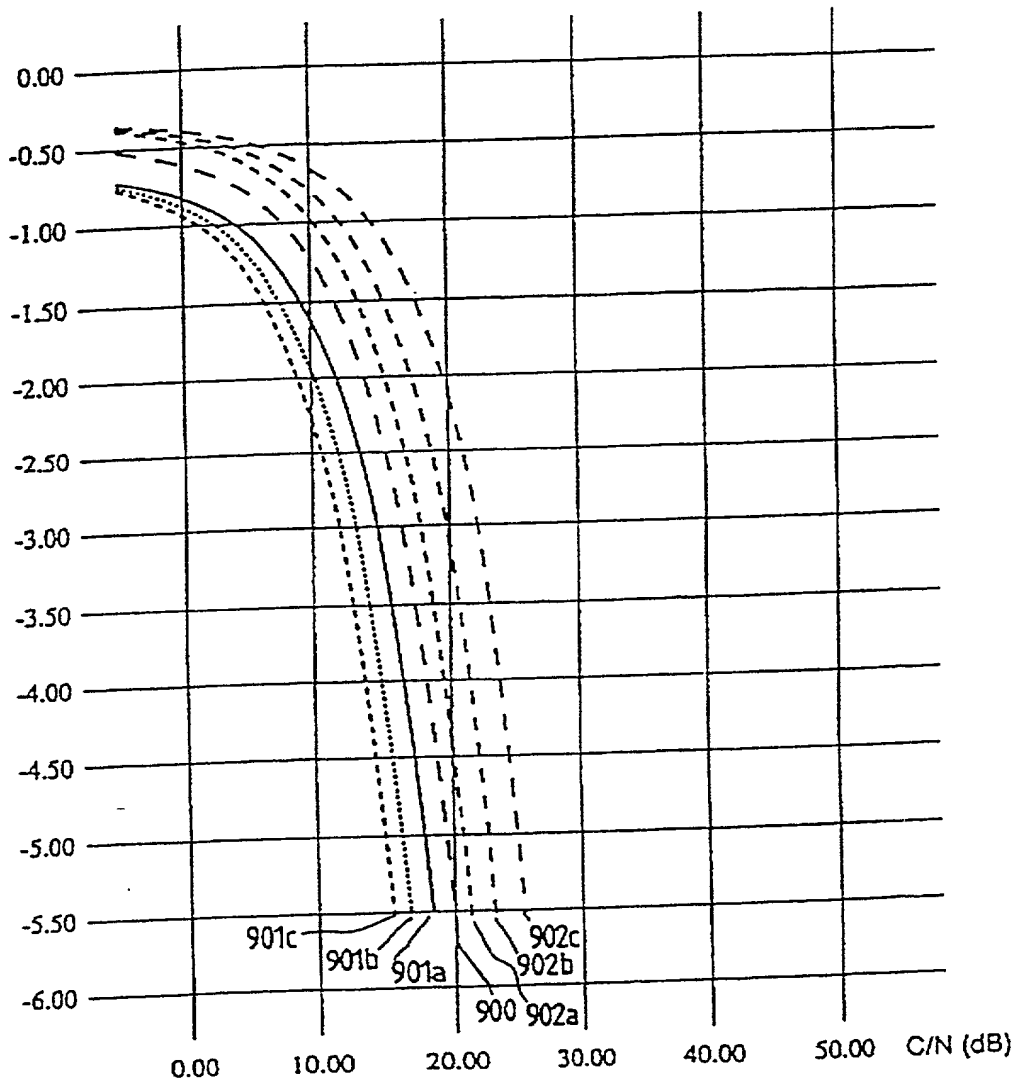


FIG. 103

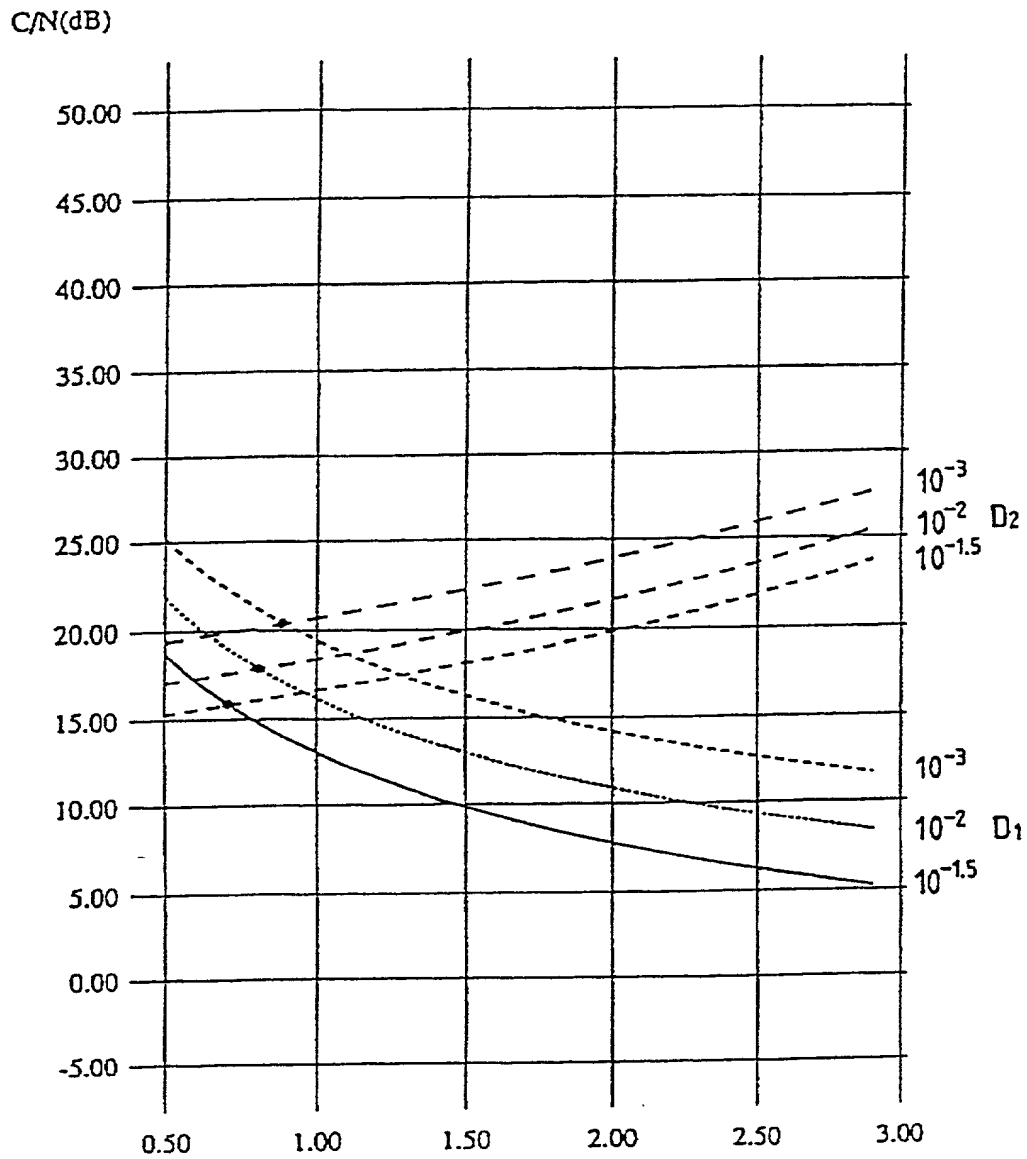


FIG. 104

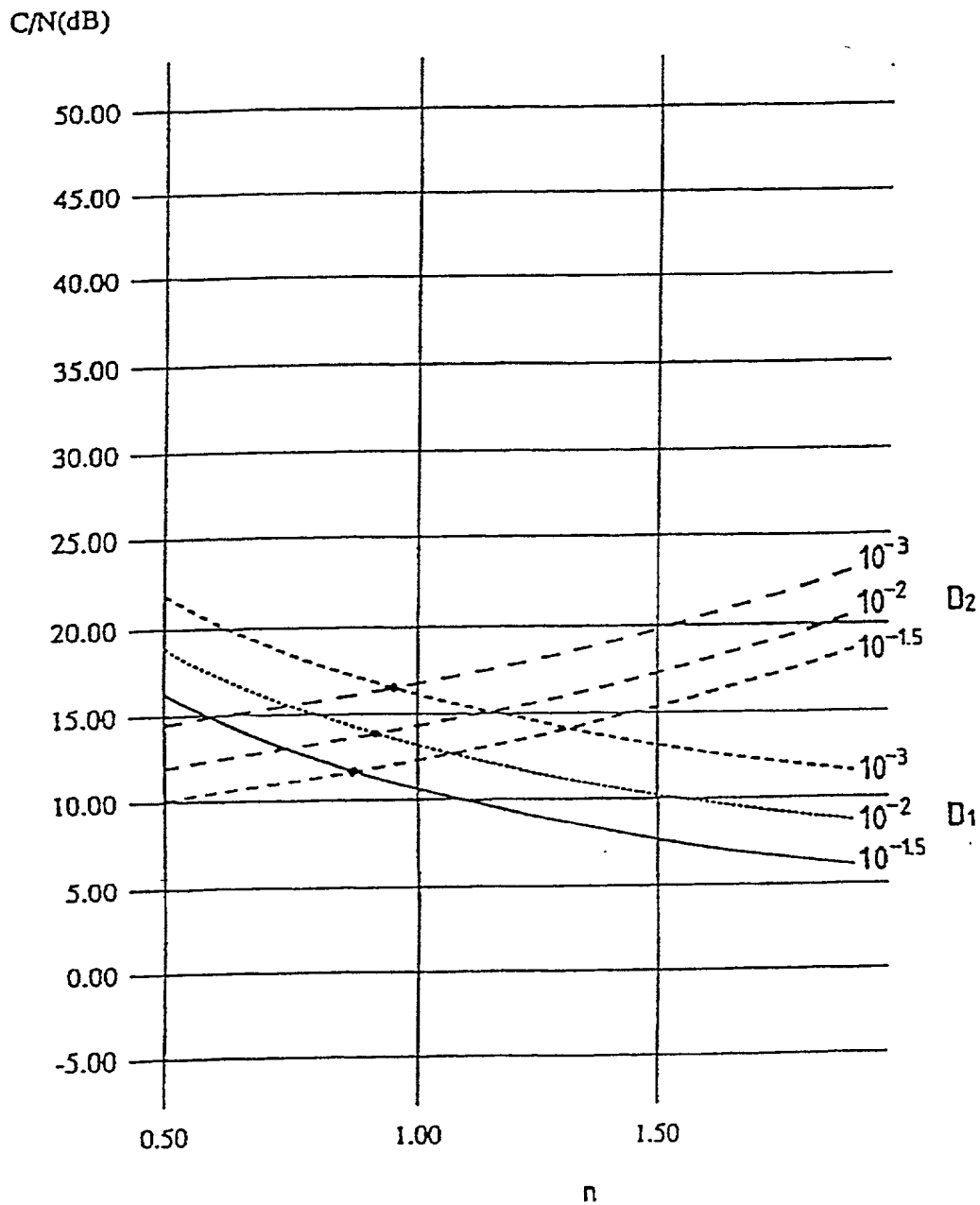




FIG. 105

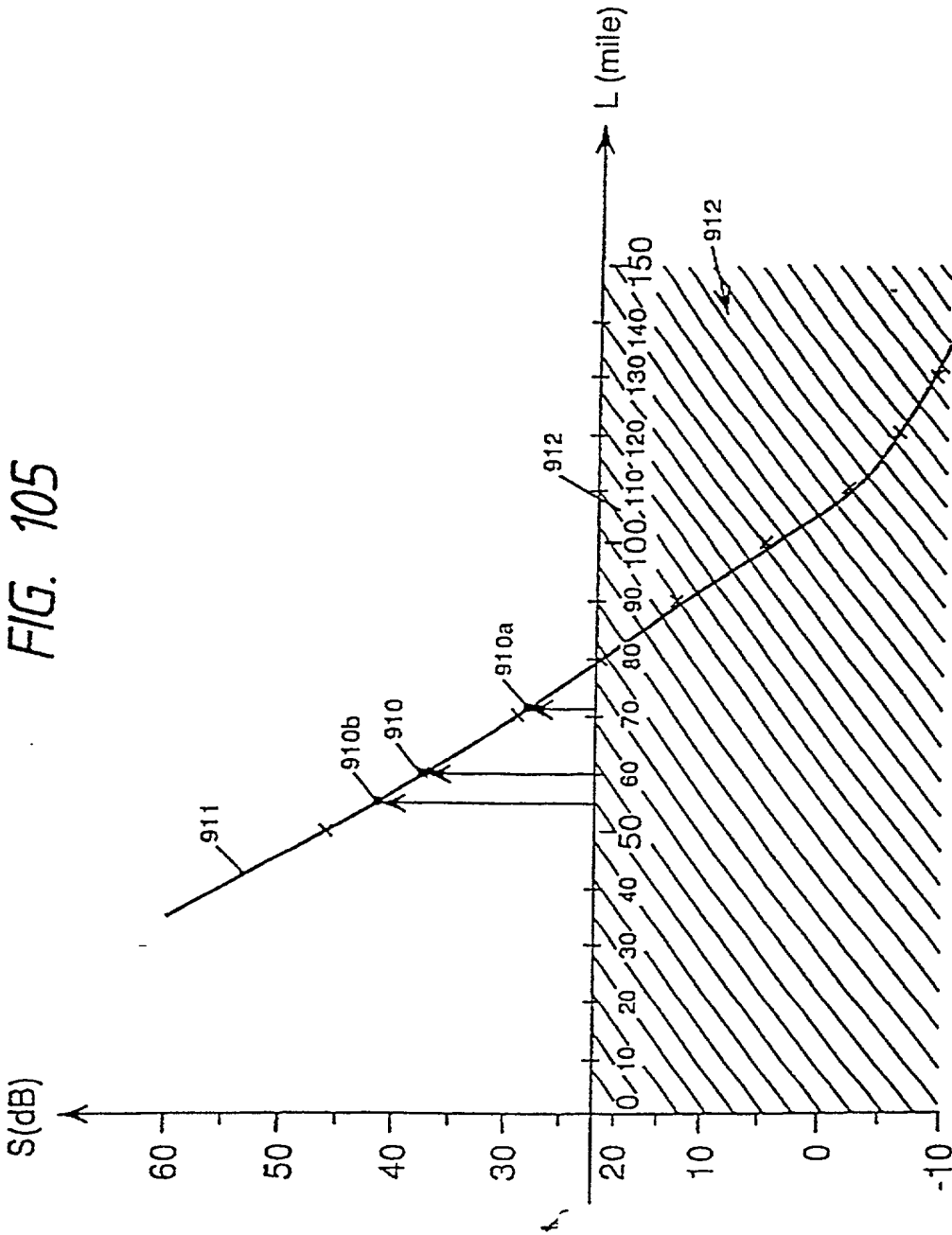


FIG. 106

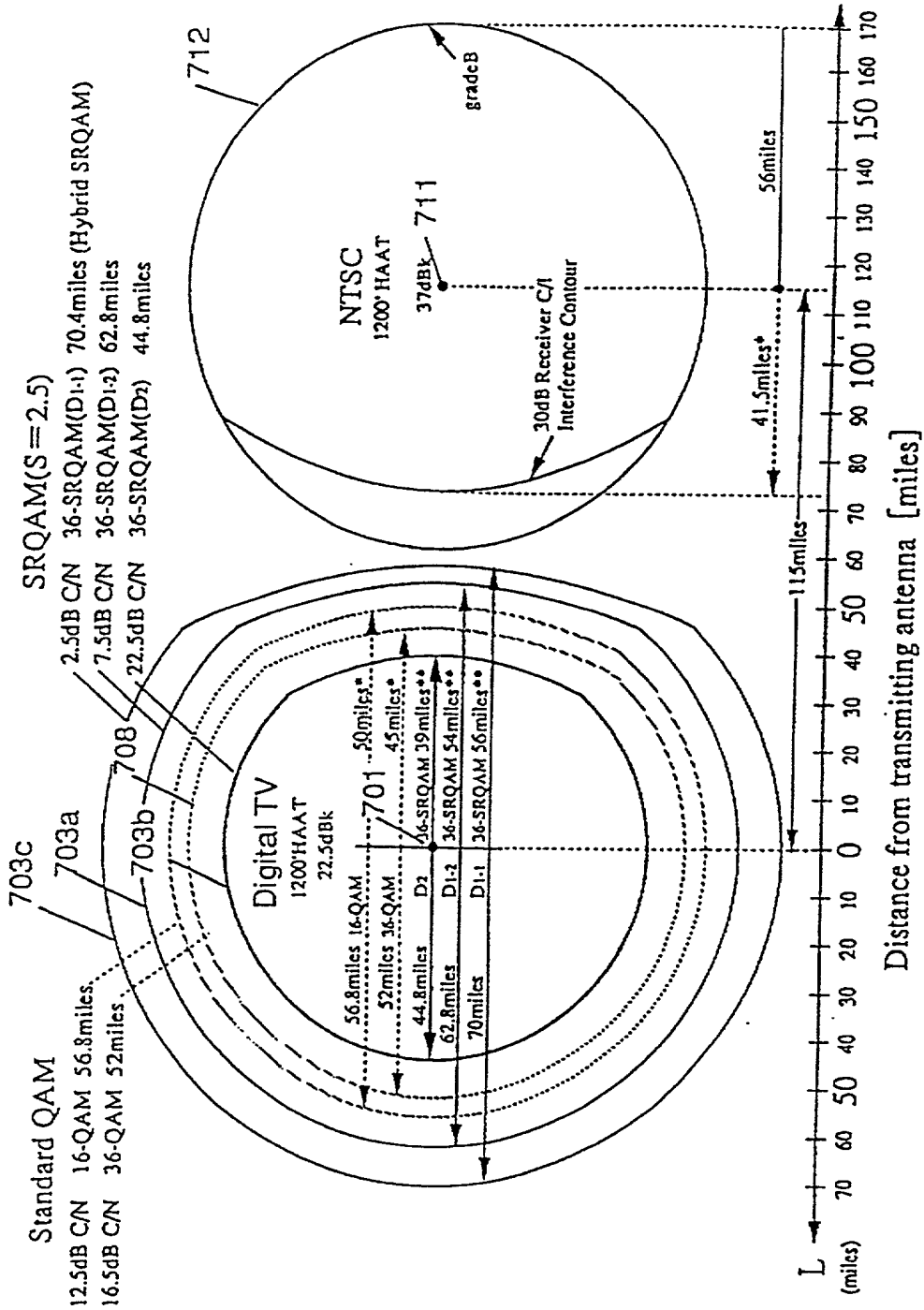


FIG. 107

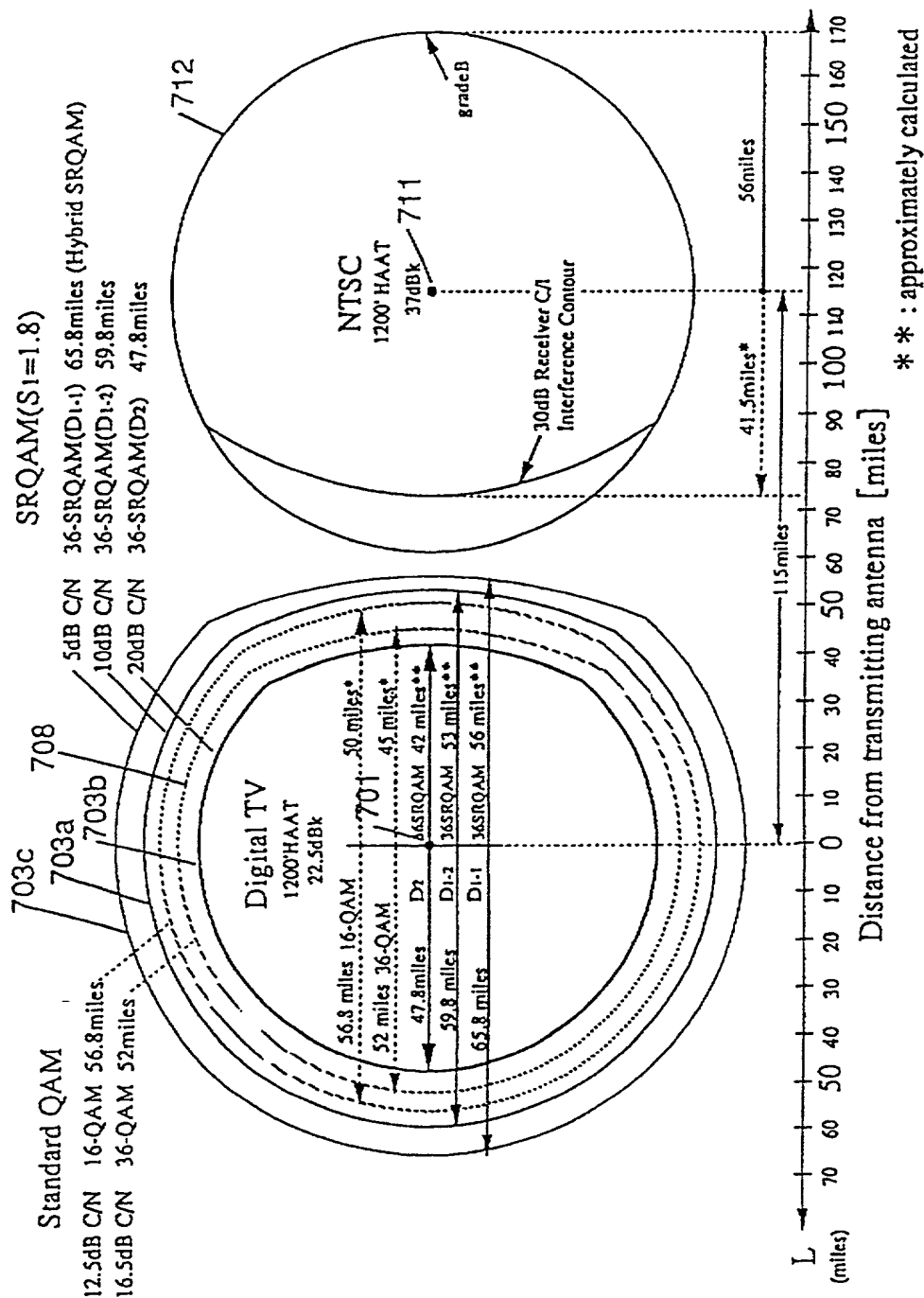


FIG. 108(a)

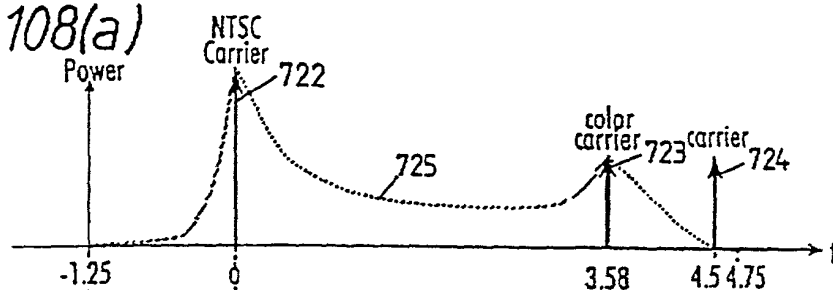


FIG. 108(b)

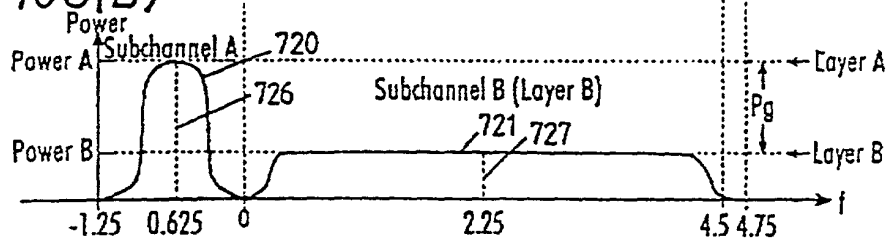


FIG. 108(c)

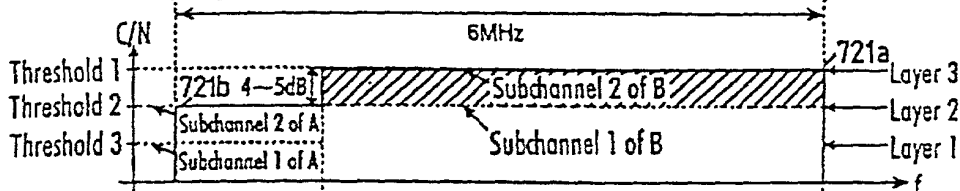


FIG. 108(d)

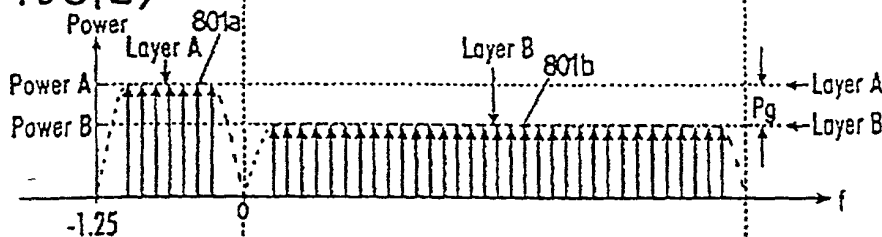


FIG. 108(e)

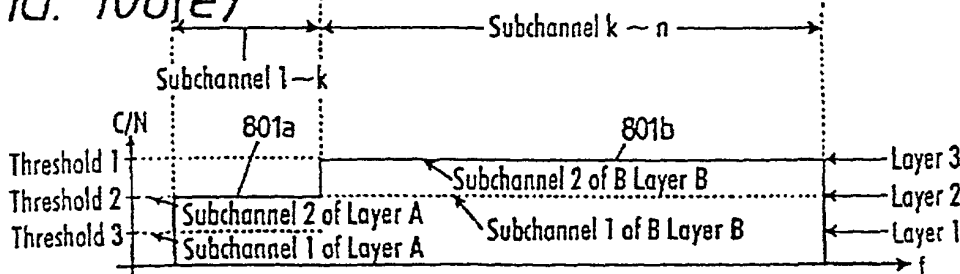


FIG. 109

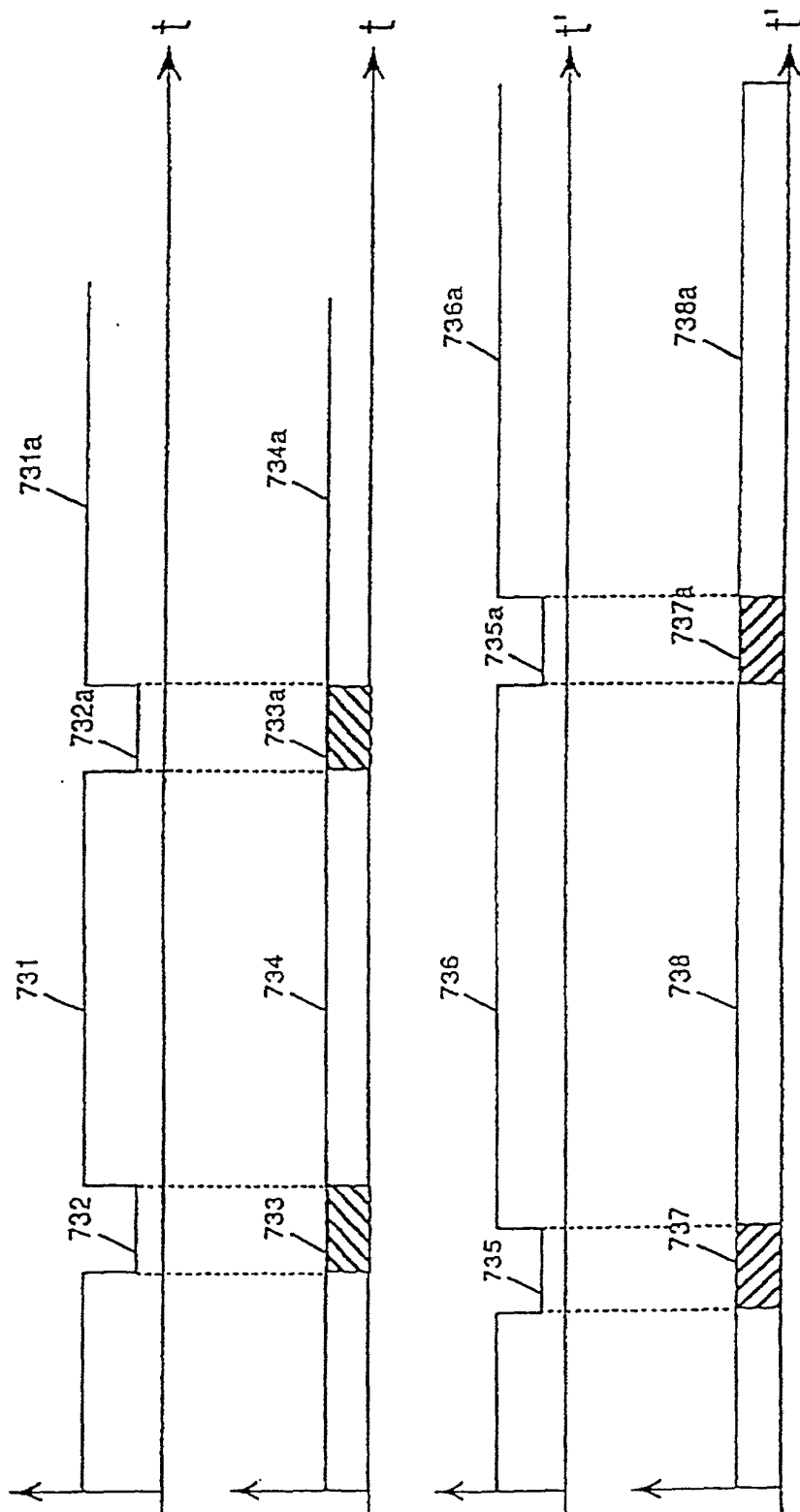


FIG. 110

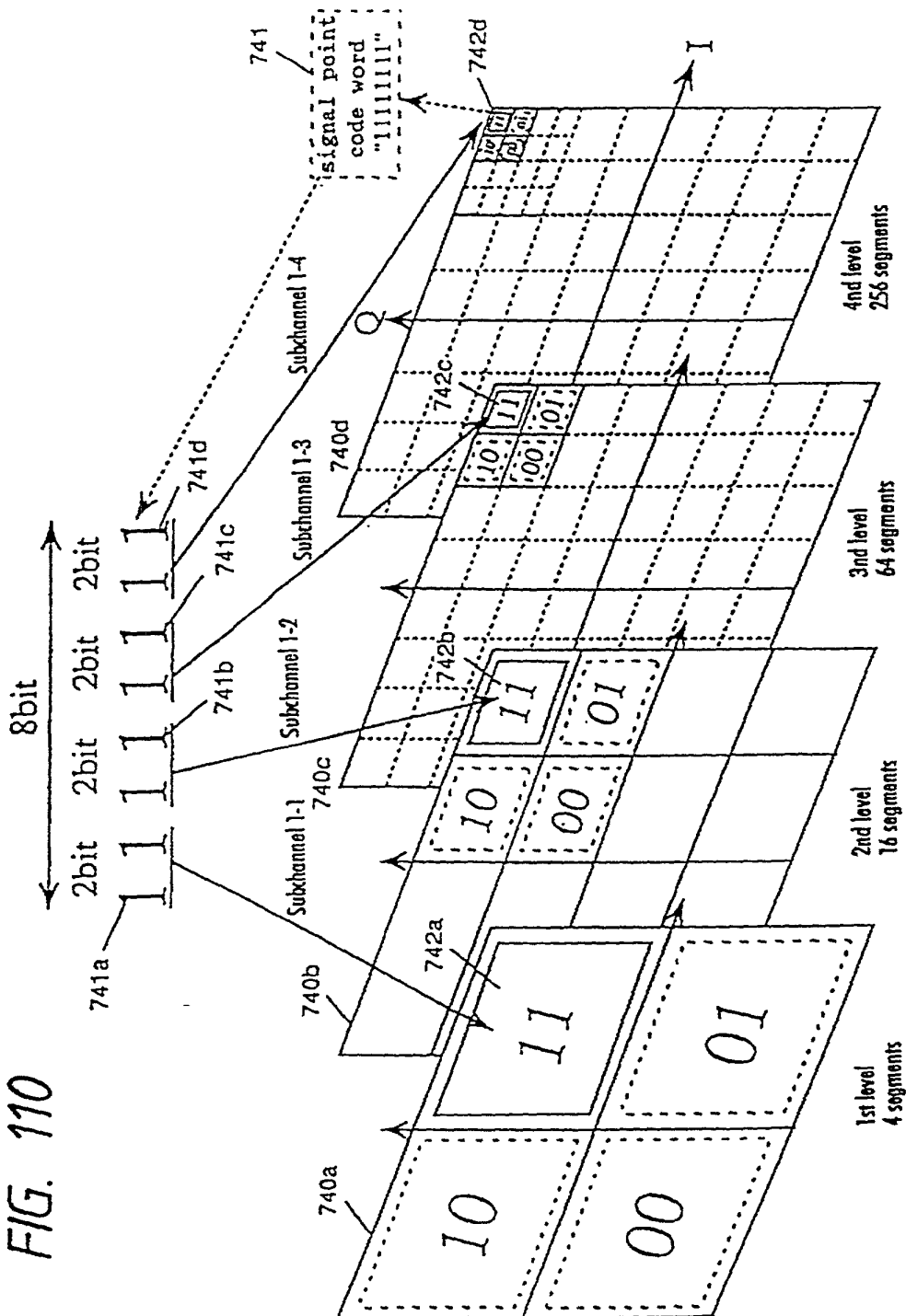
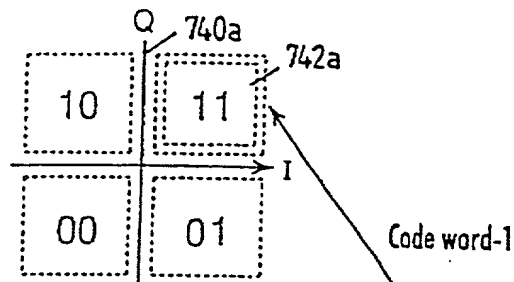
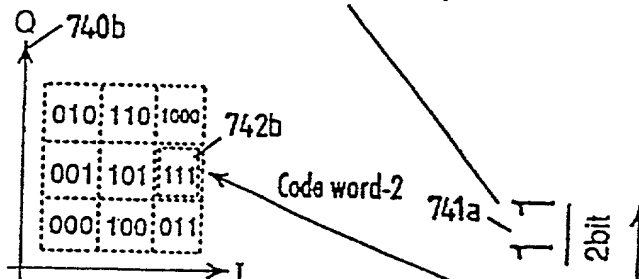


FIG. 111

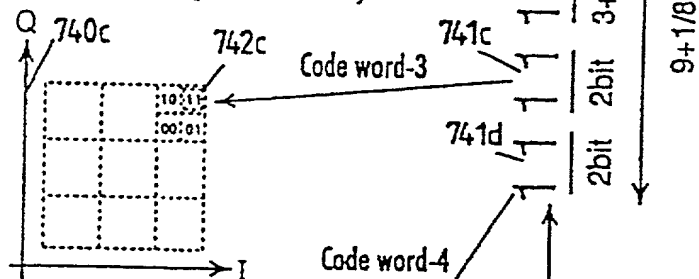
Subchannel-1 (SRQAM: $D_1=2\text{bit}$ )



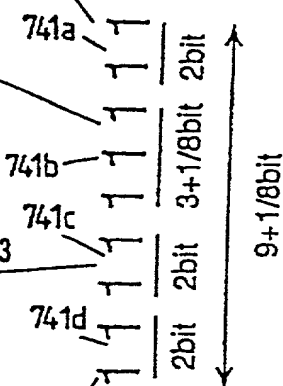
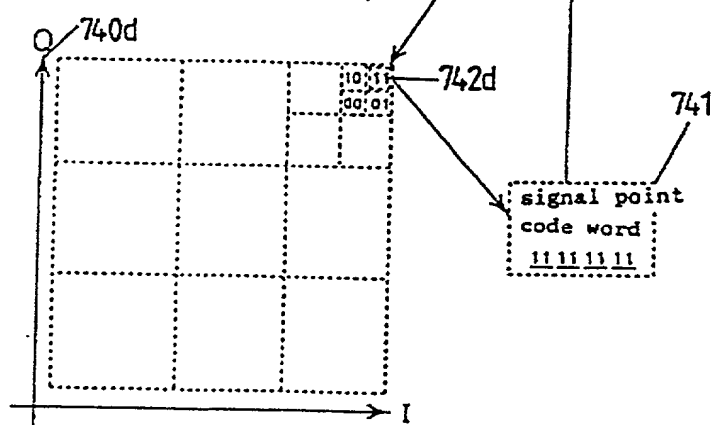
Subchannel-2 (36-SRQAM: $D_2=3\text{bit}+1/8\text{bit}$ )



Subchannel-3 (144-SRQAM: $D_3=2\text{bit}$ )



Subchannel-4 (576-SRQAM: $D_4=2\text{bit}$ )



Subchannel-1 (SRQAM:  $D_1=2\text{bit}$ )

FIG. 112

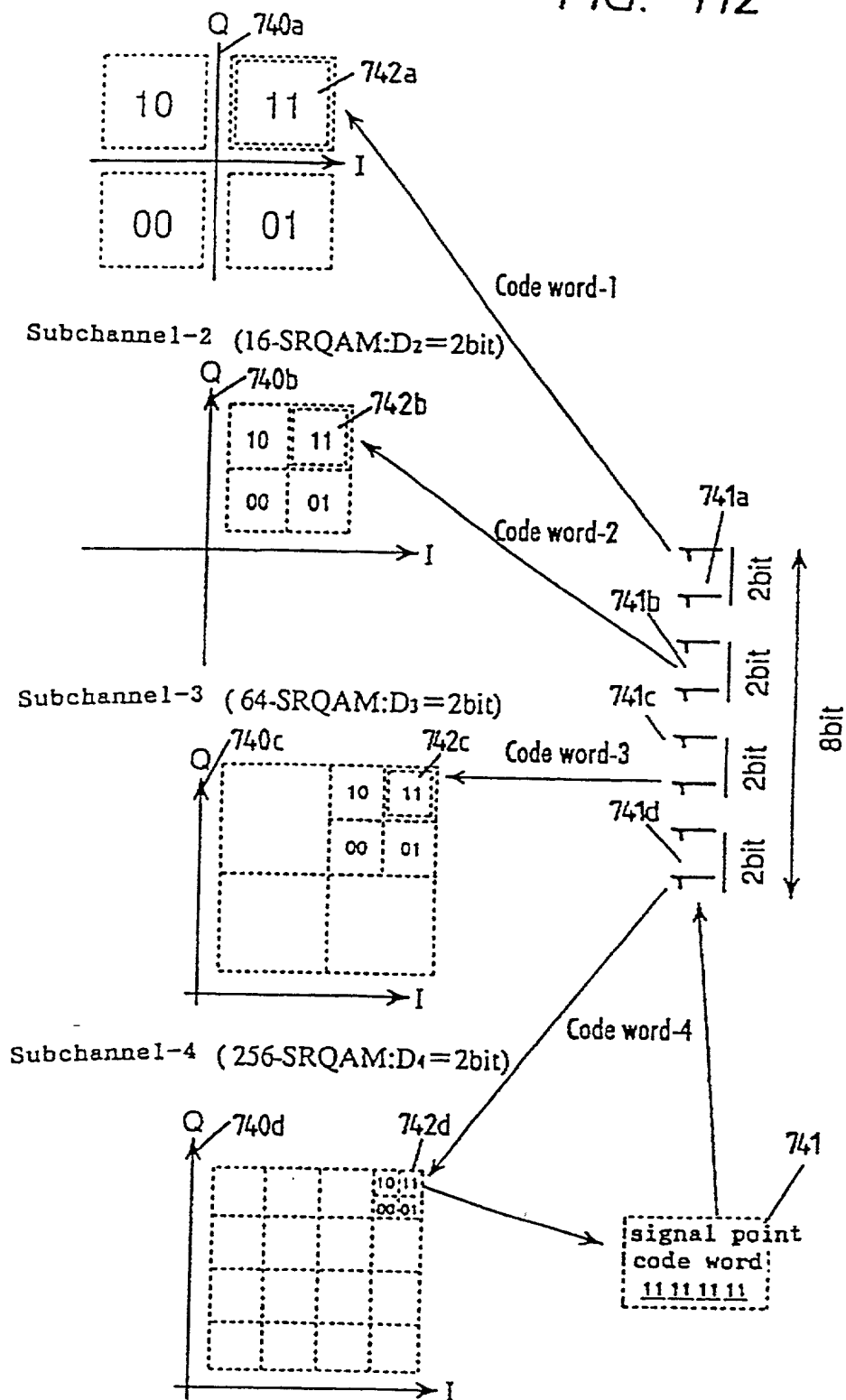




FIG. 113

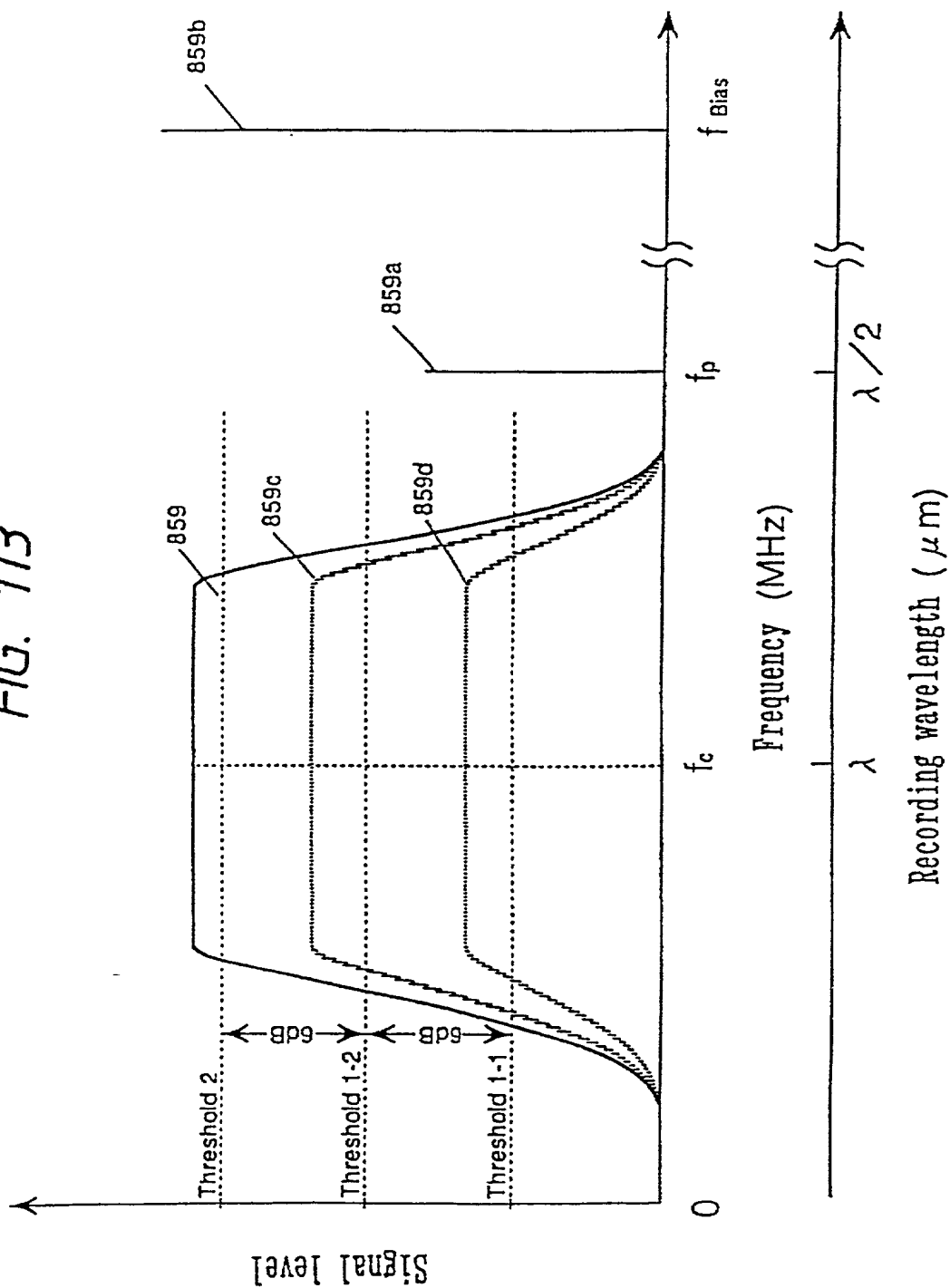


FIG. 114

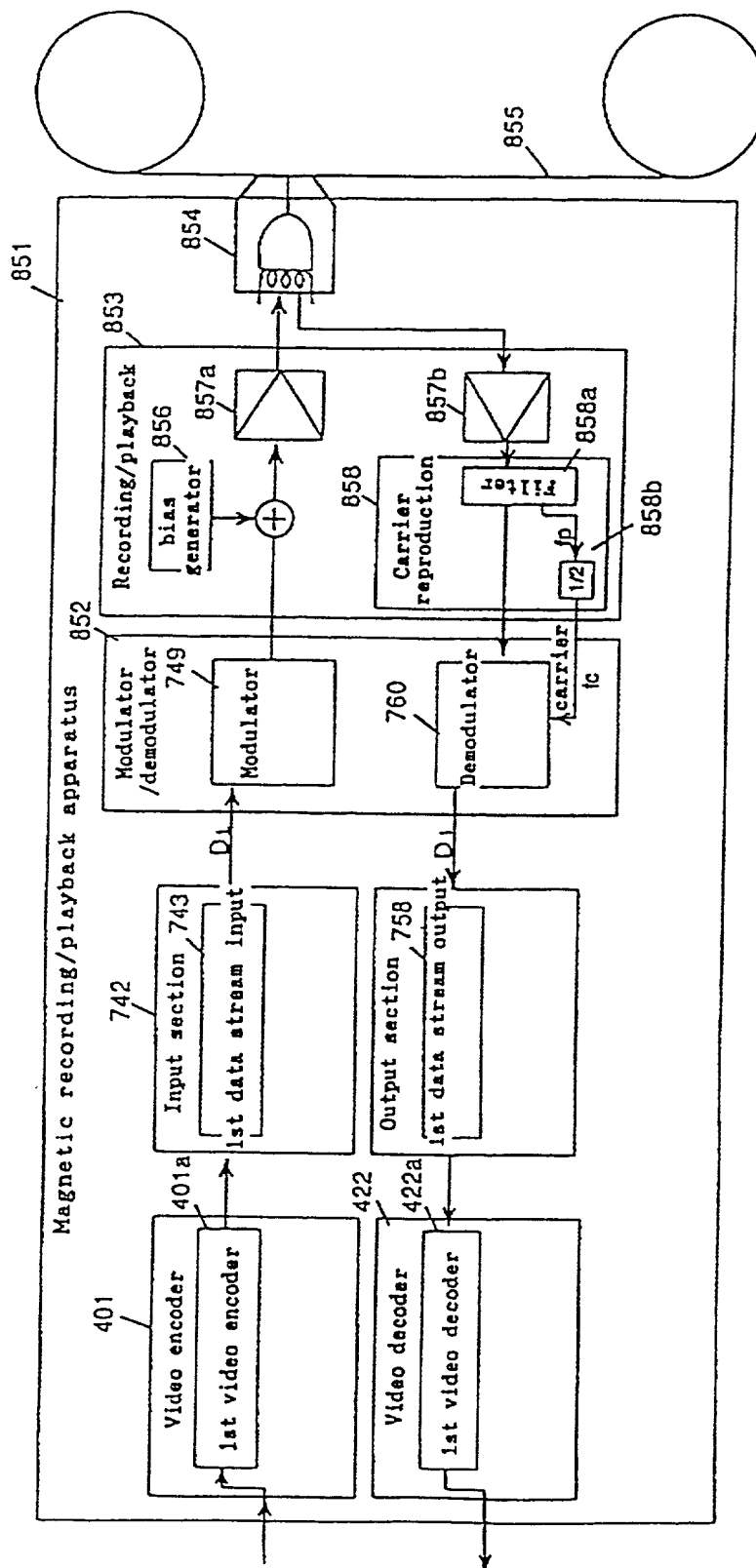


FIG. 115

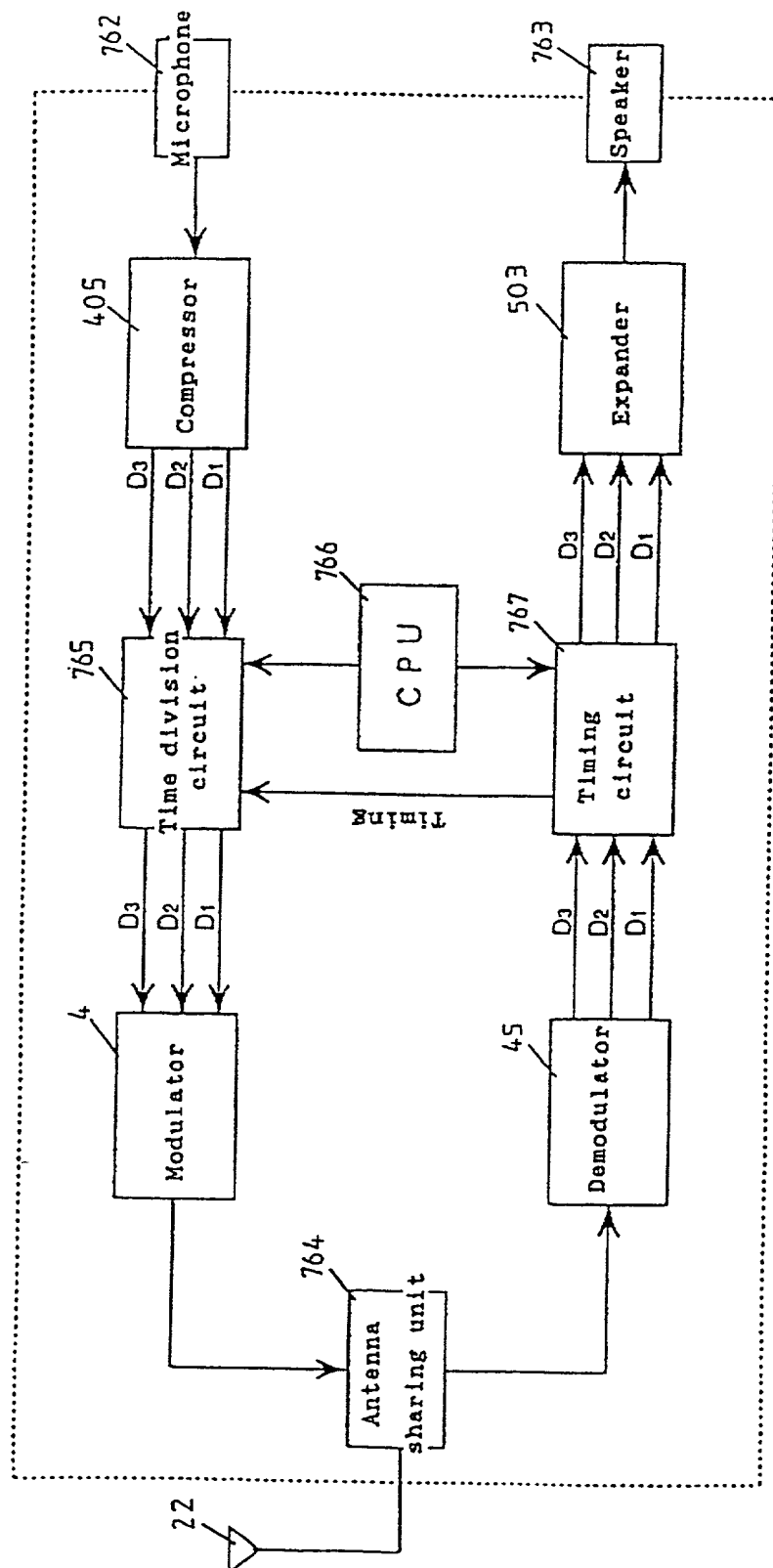
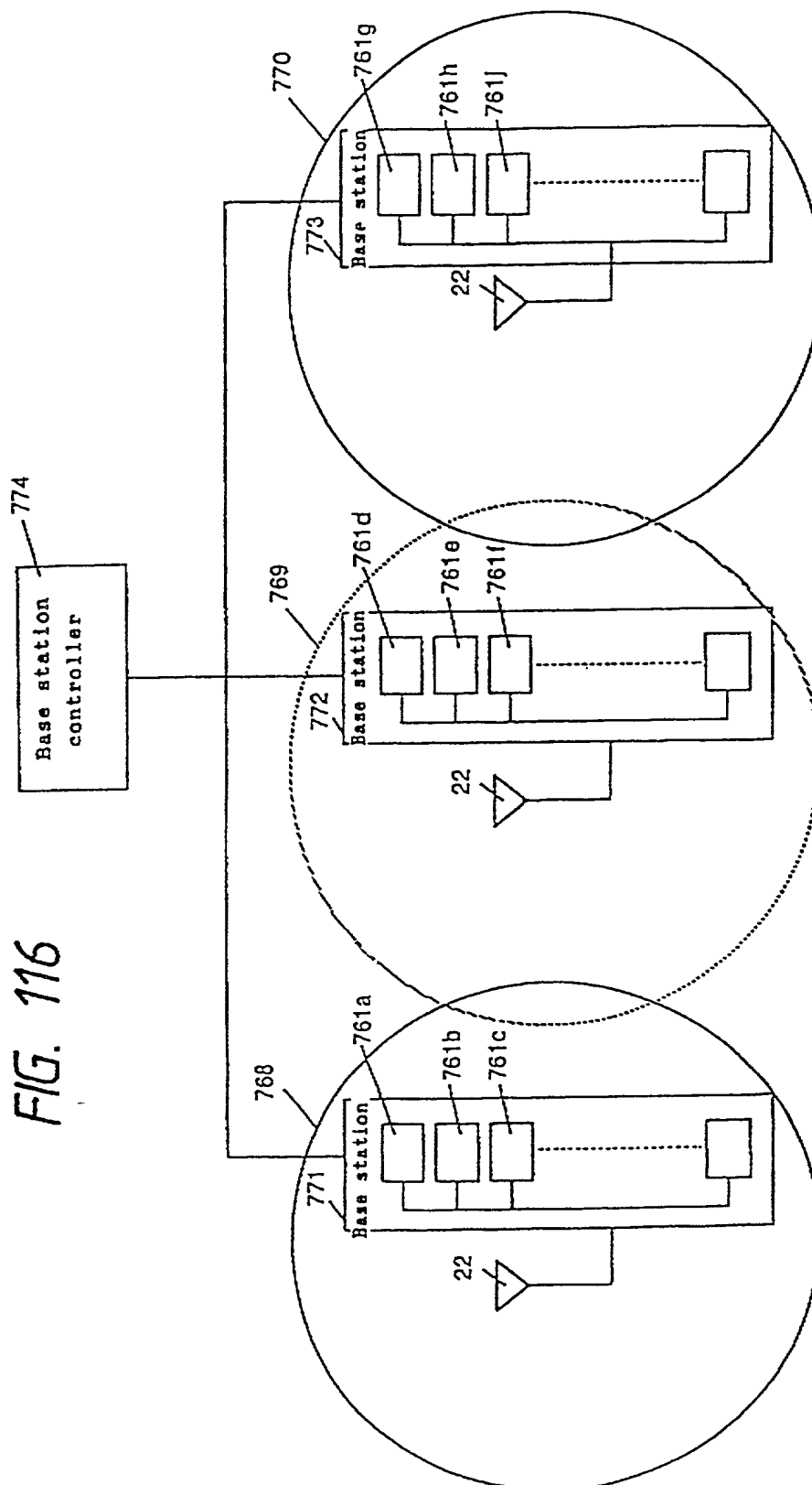
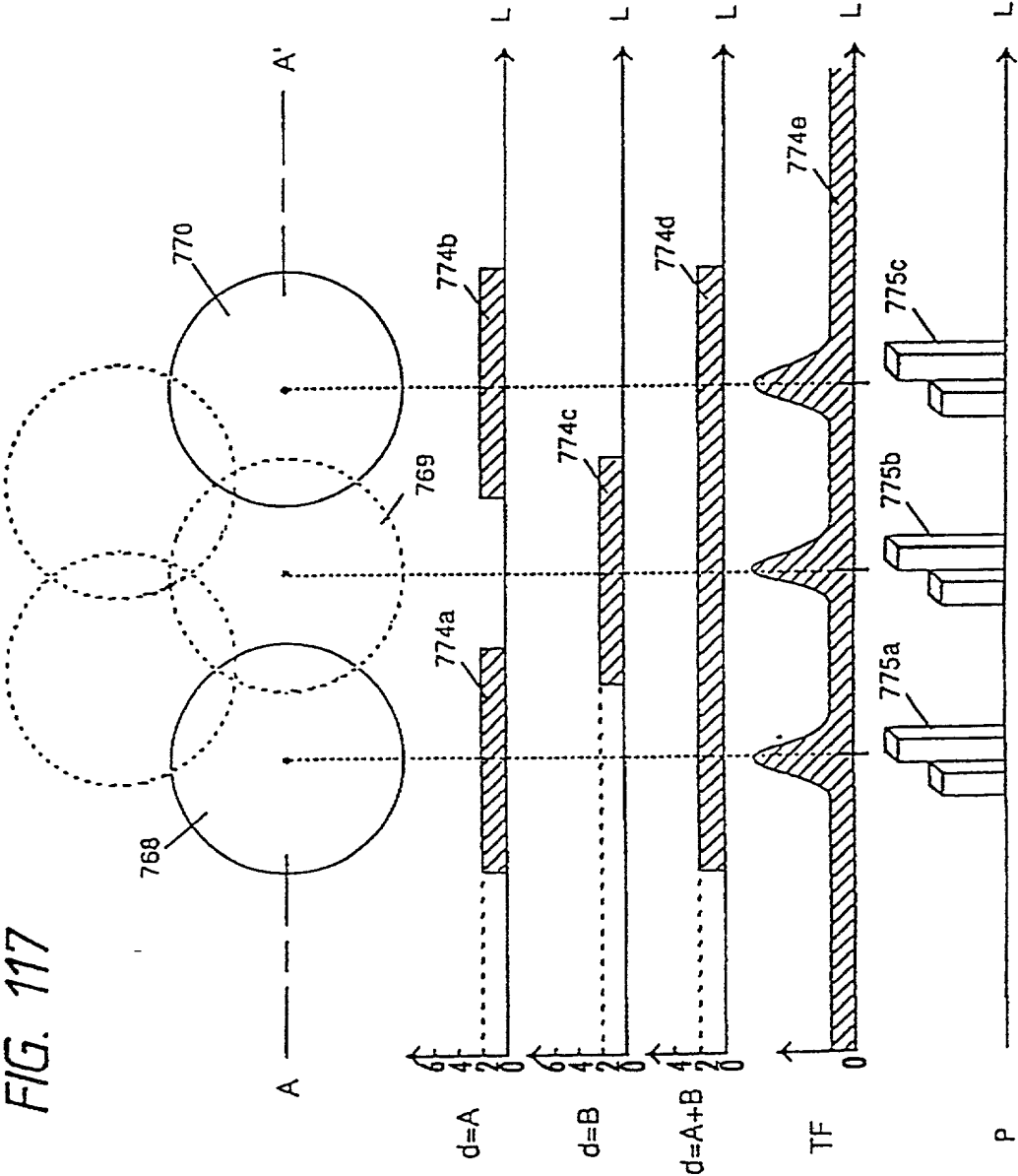


FIG. 116





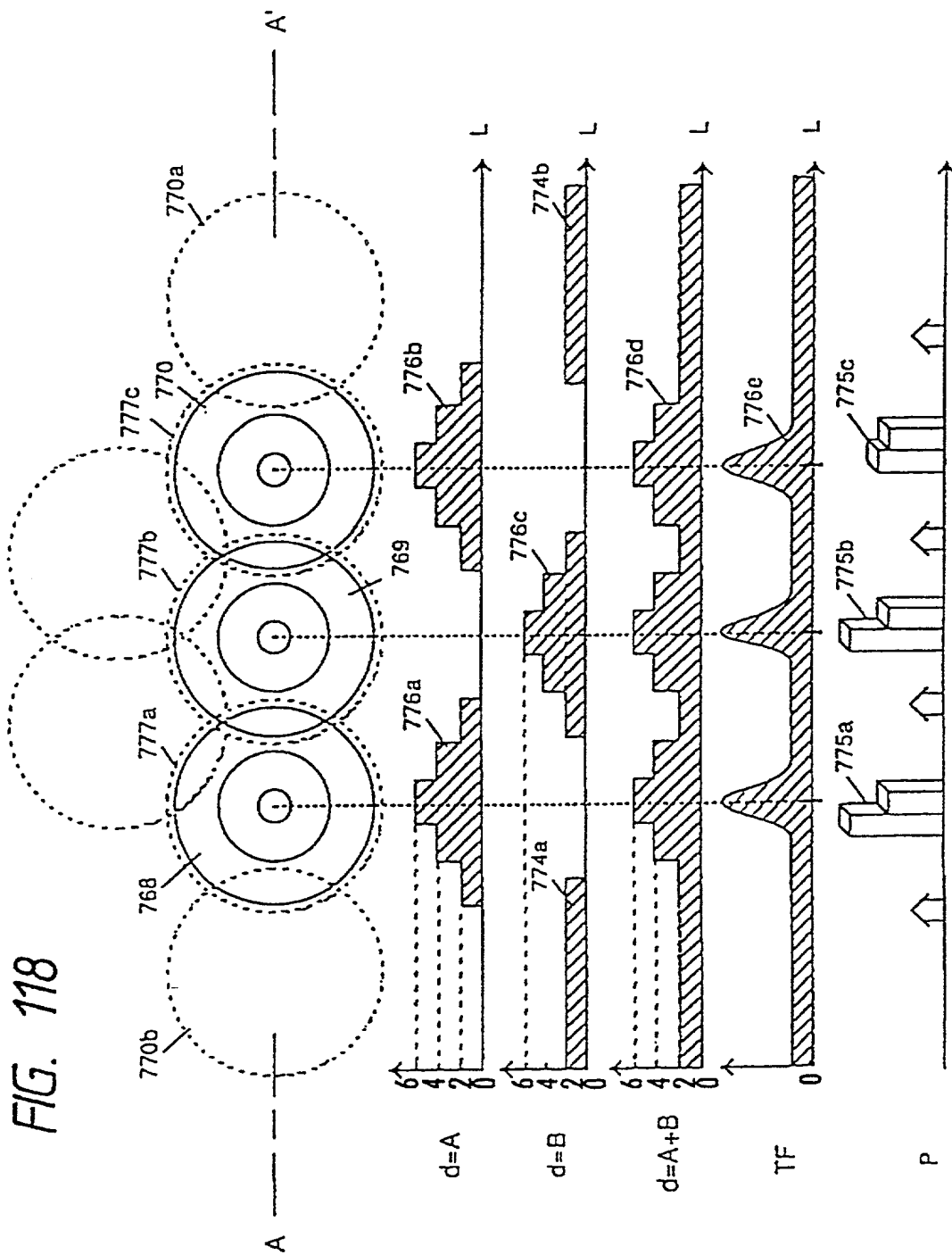


Image 33004260

FIG. 119(a)

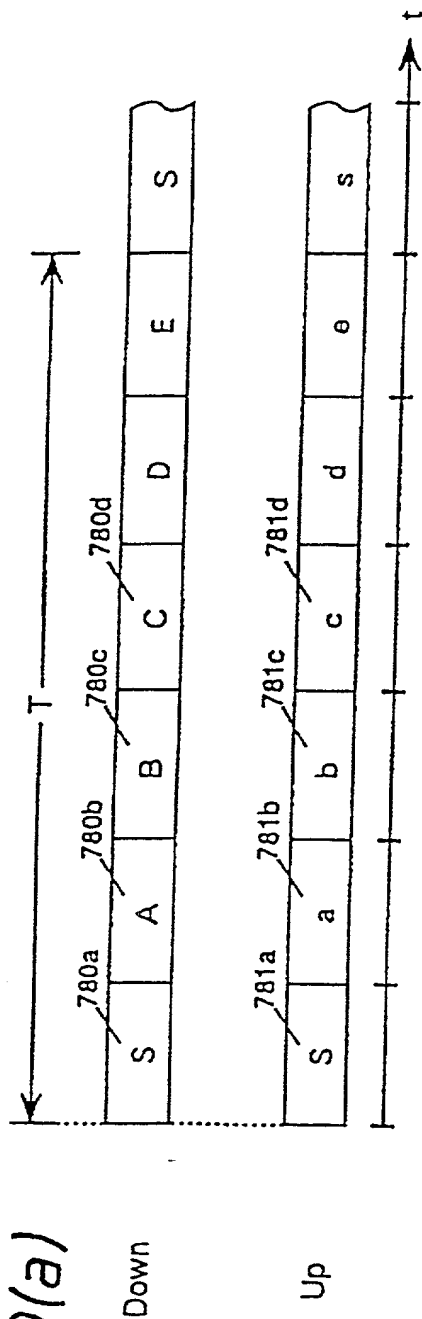
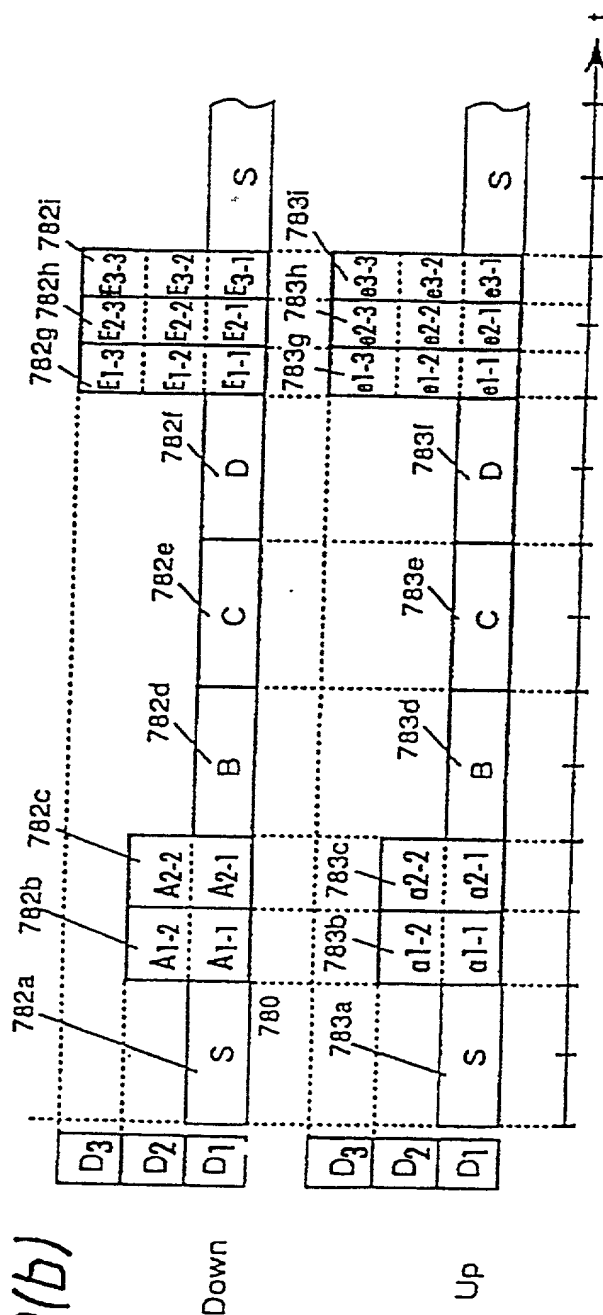


FIG. 119(b)



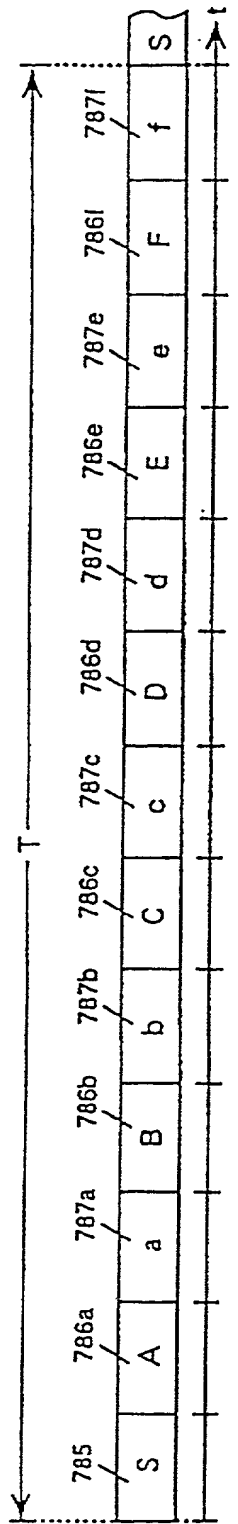


FIG. 120(b)

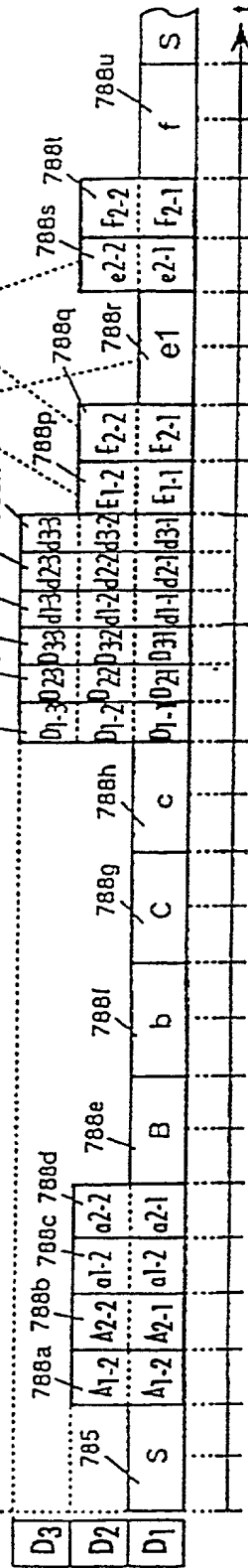




FIG. 121

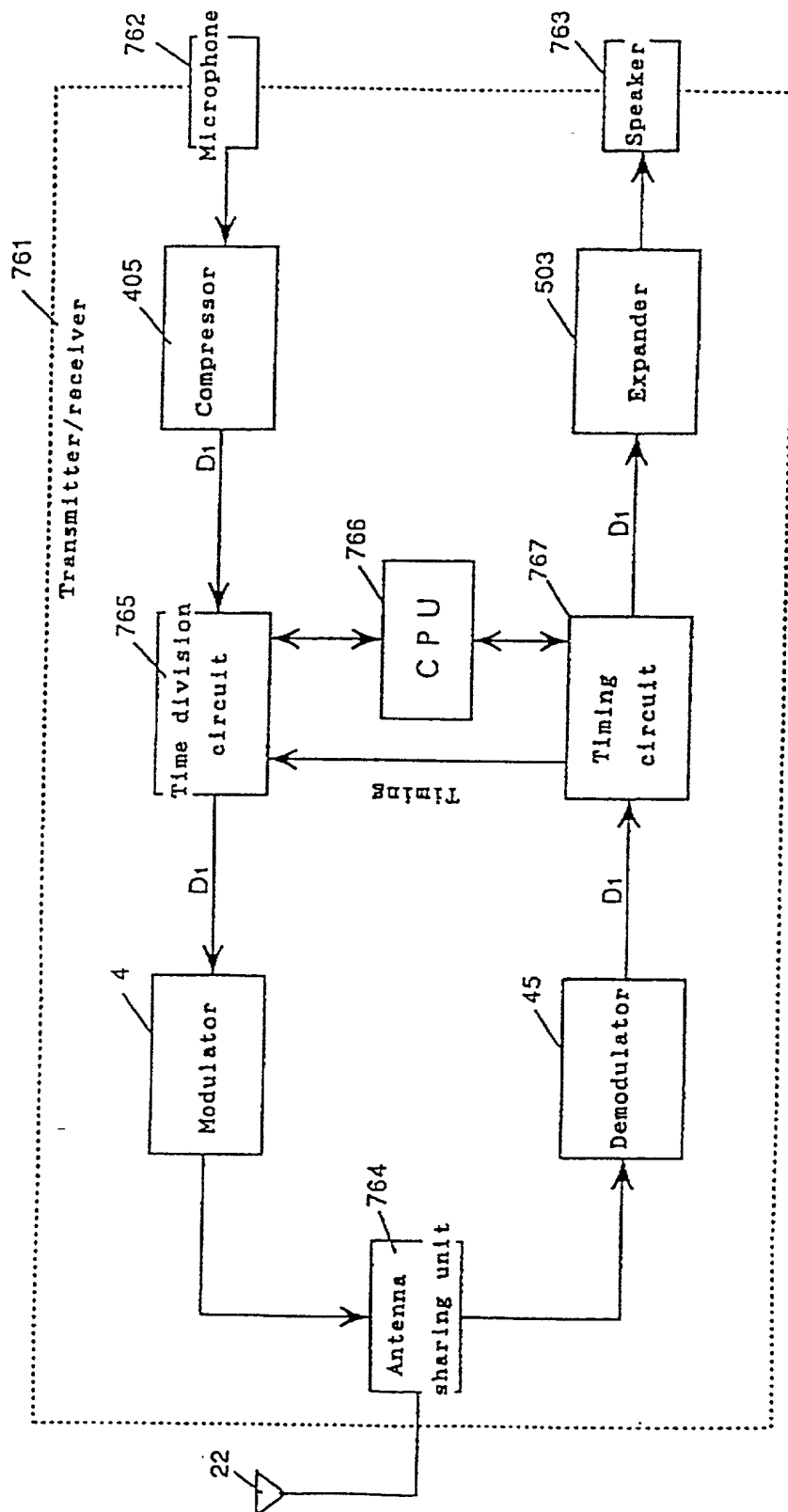


FIG. 122

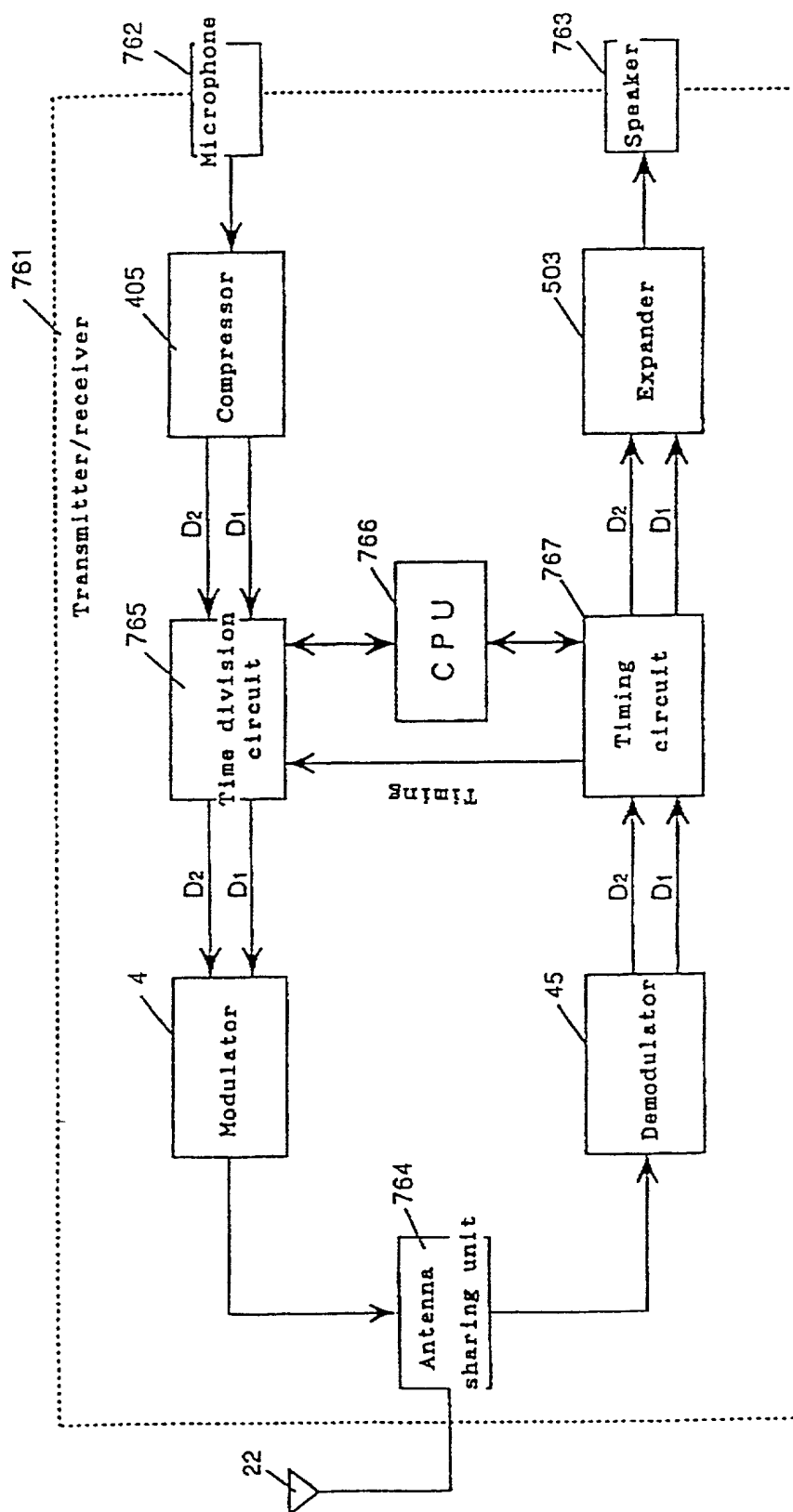
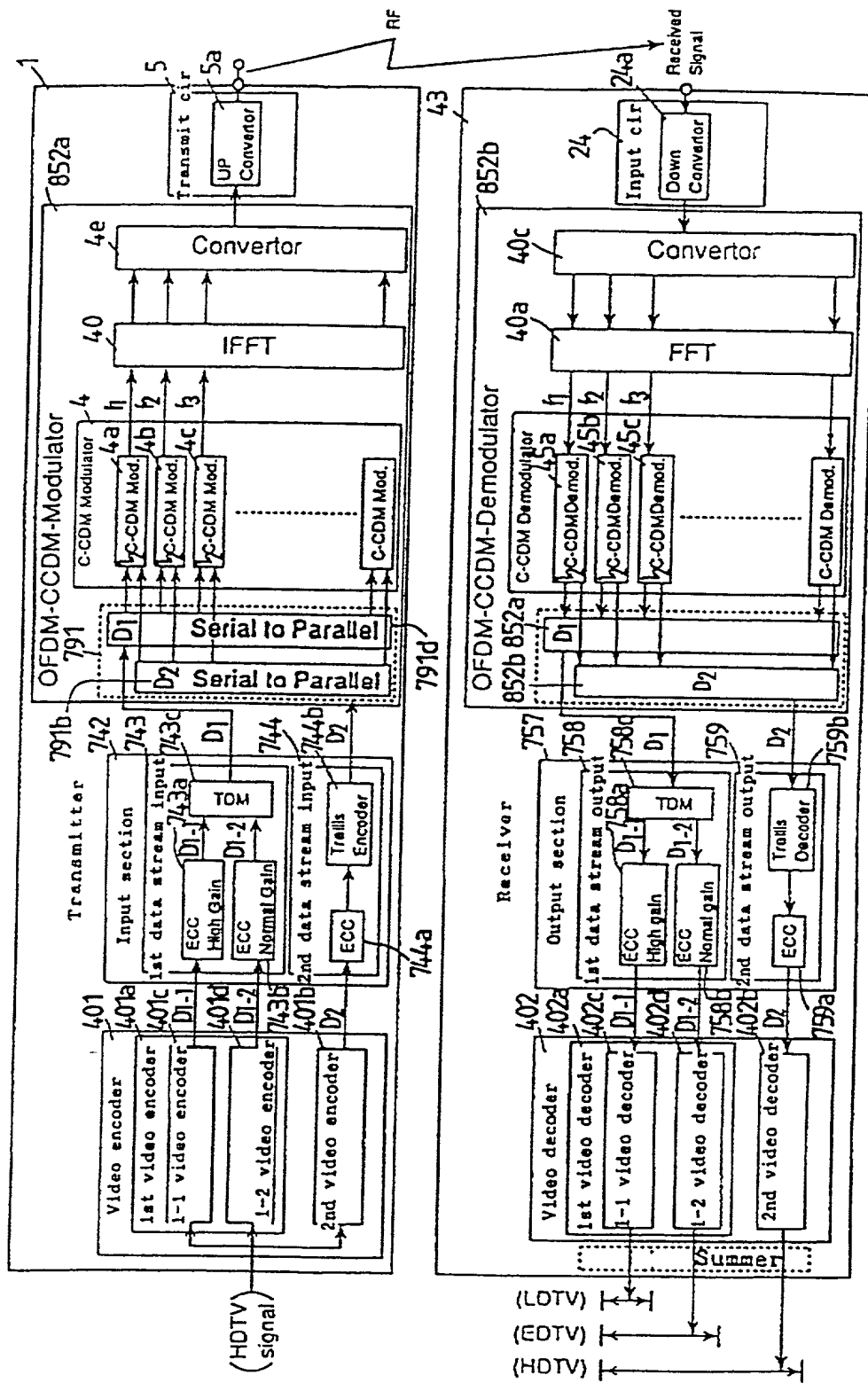


FIG. 123



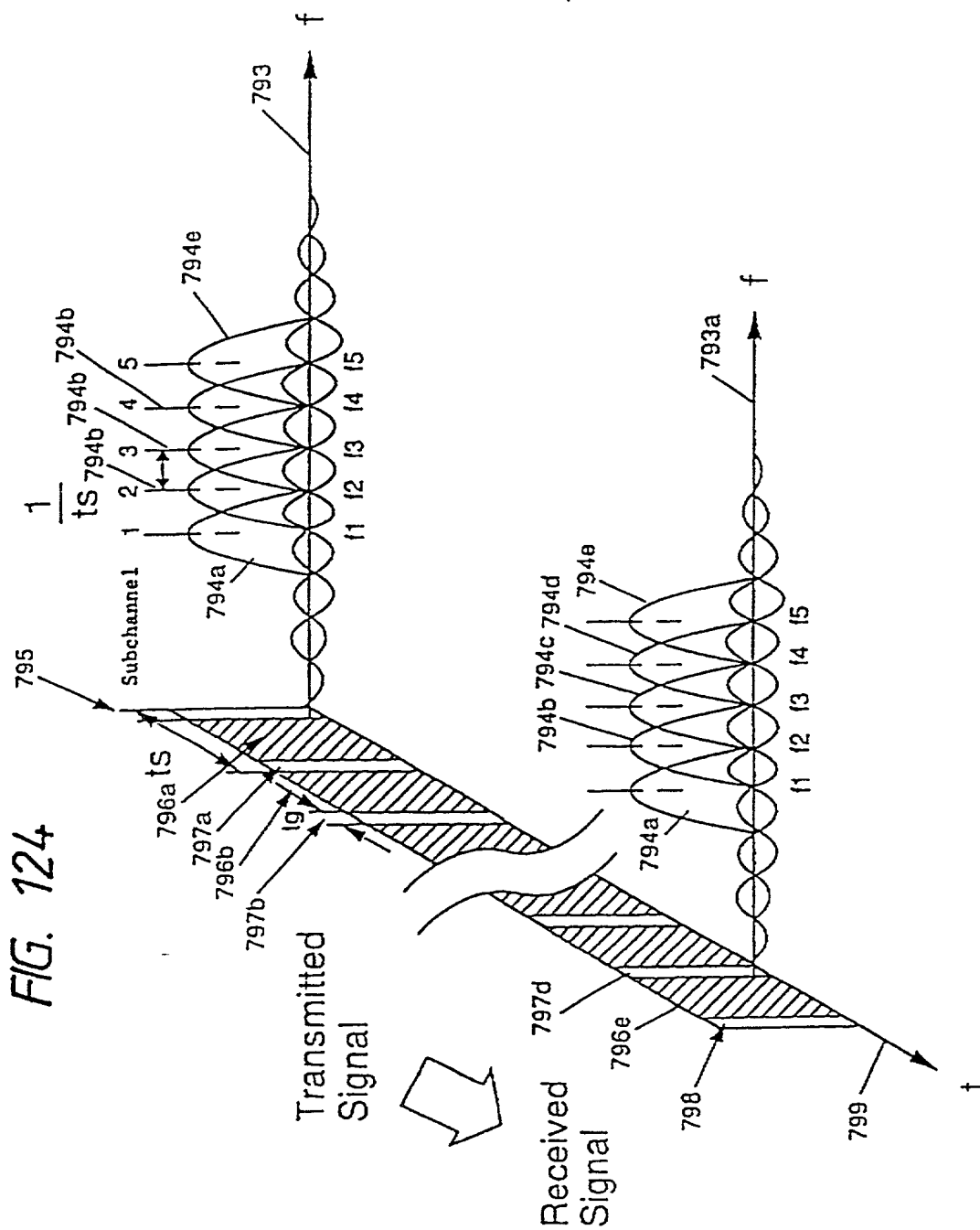


FIG. 125(a)

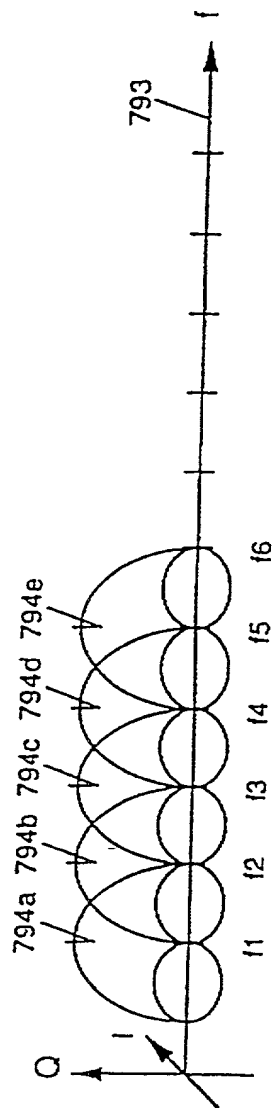
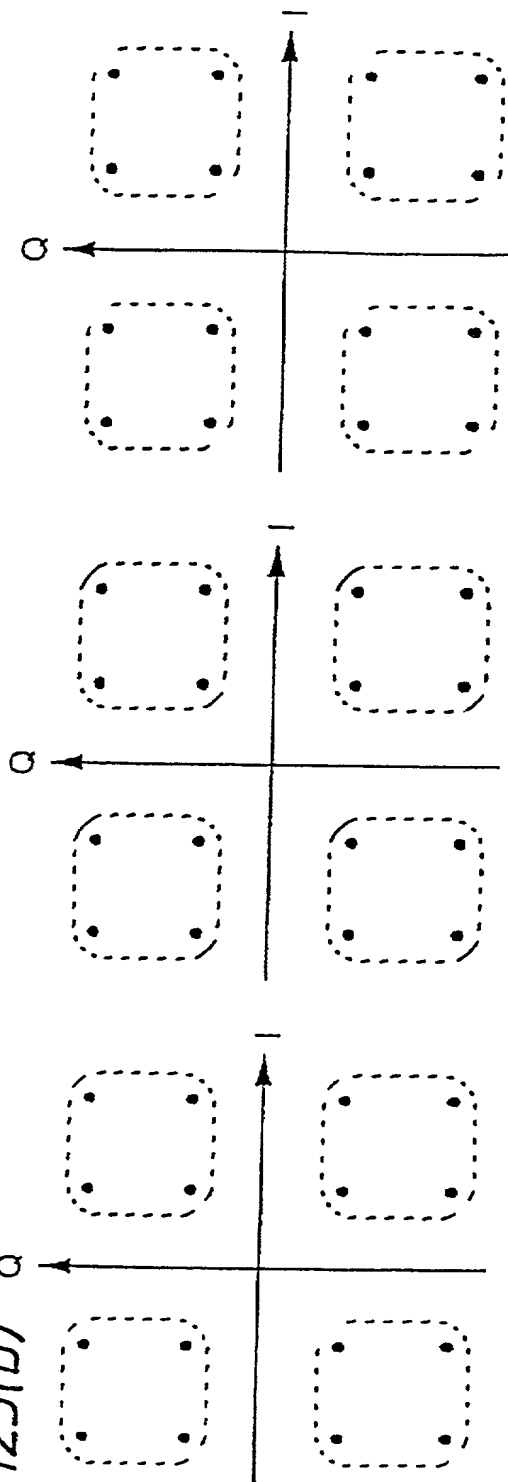


FIG. 125(b)



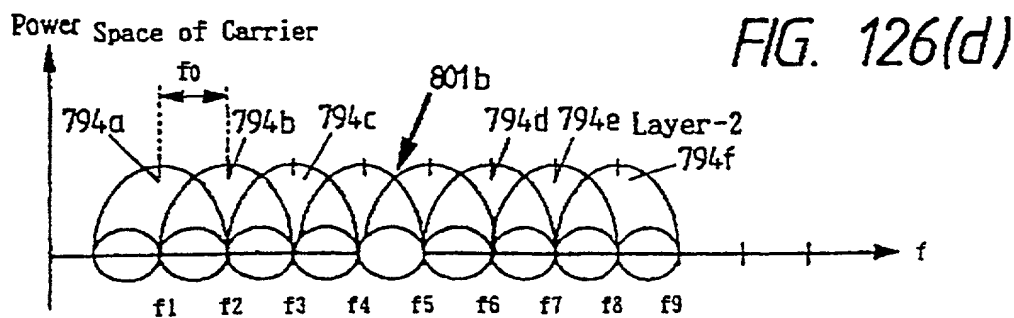
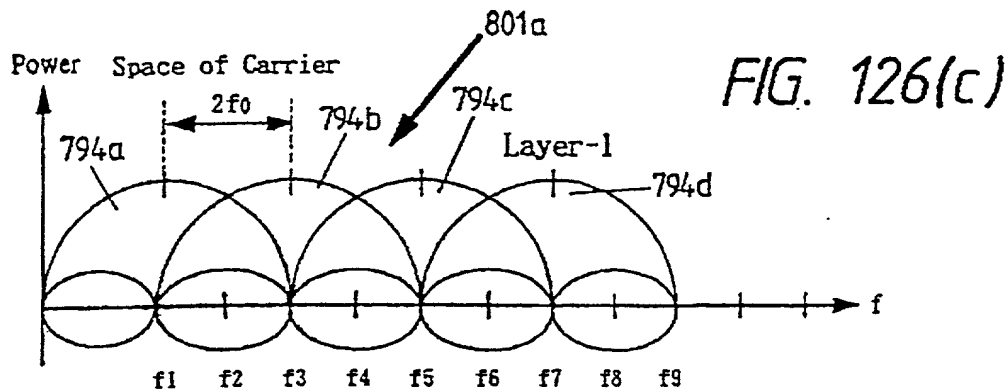
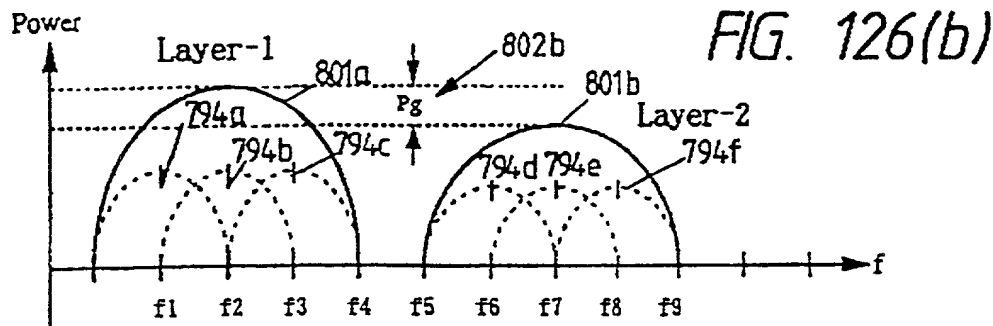
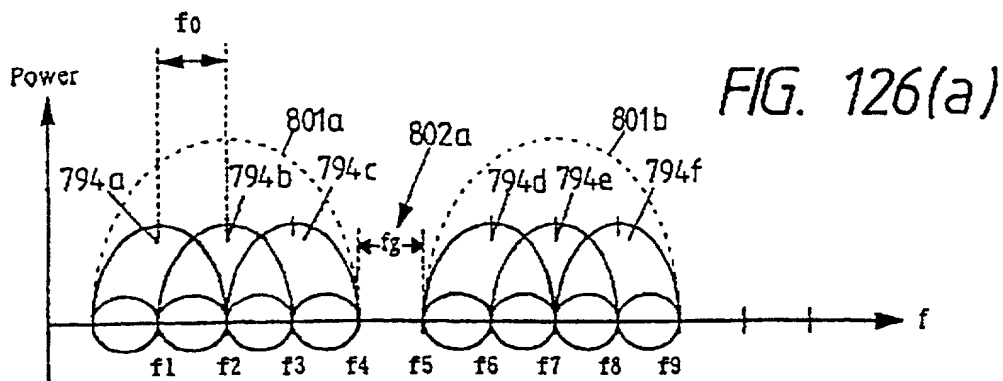


FIG. 127

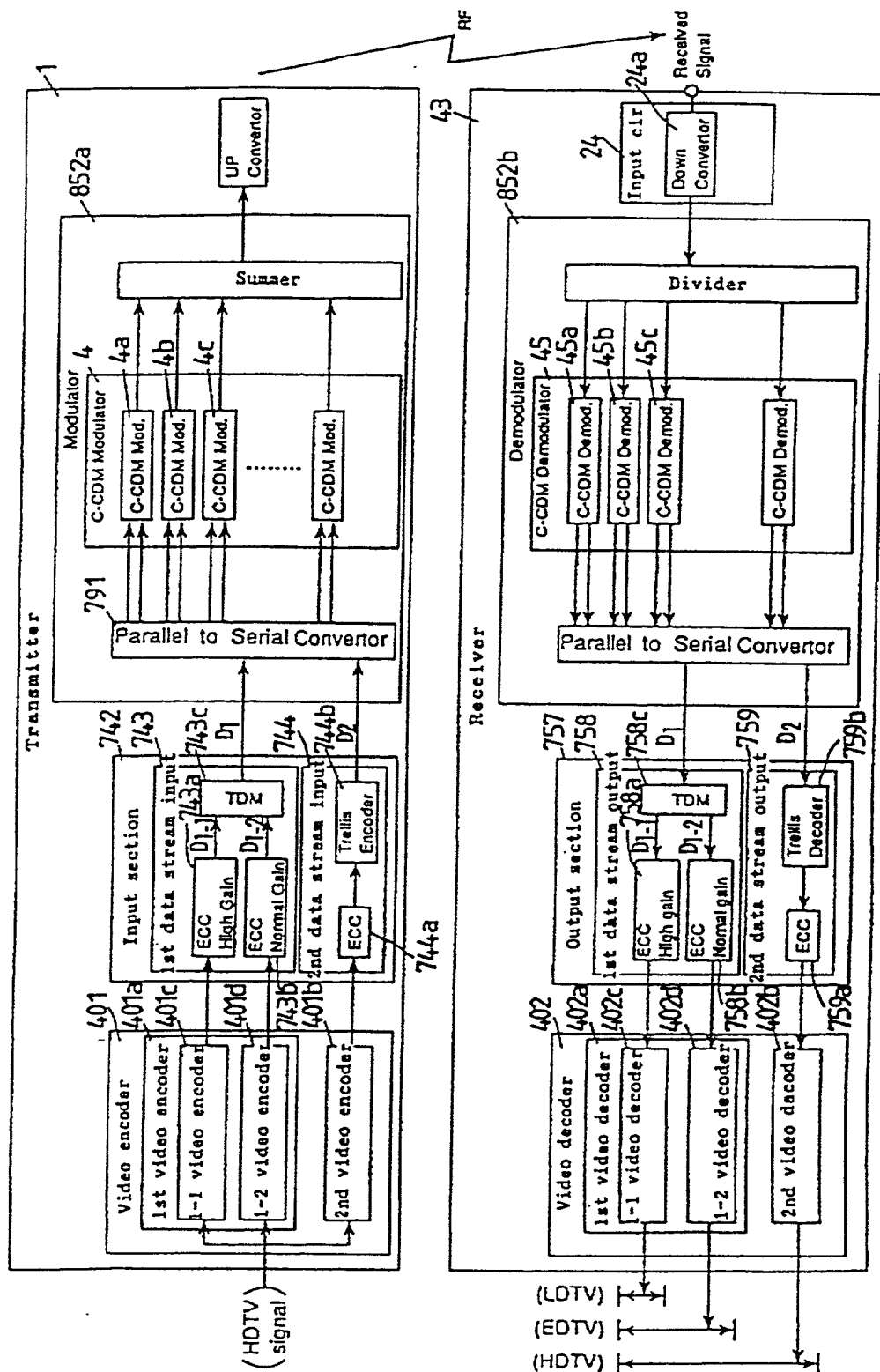


FIG. 128(a)

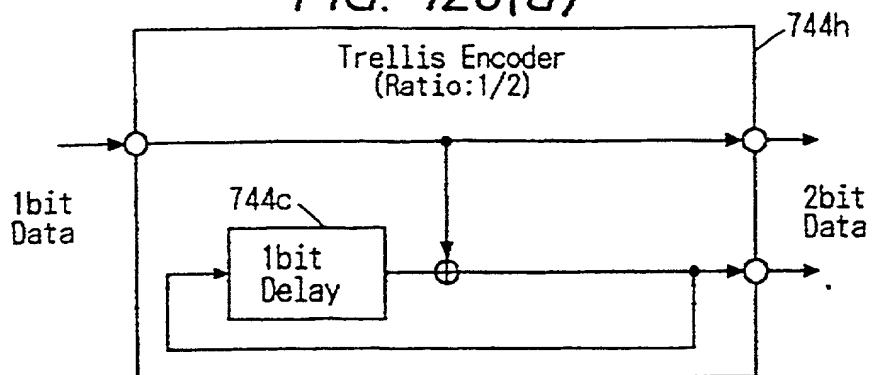


FIG. 128(b)

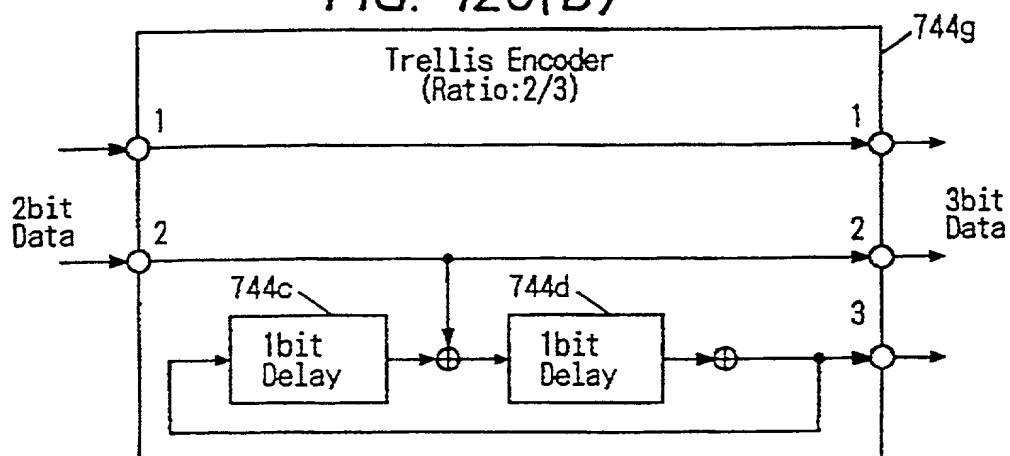


FIG. 128(c)

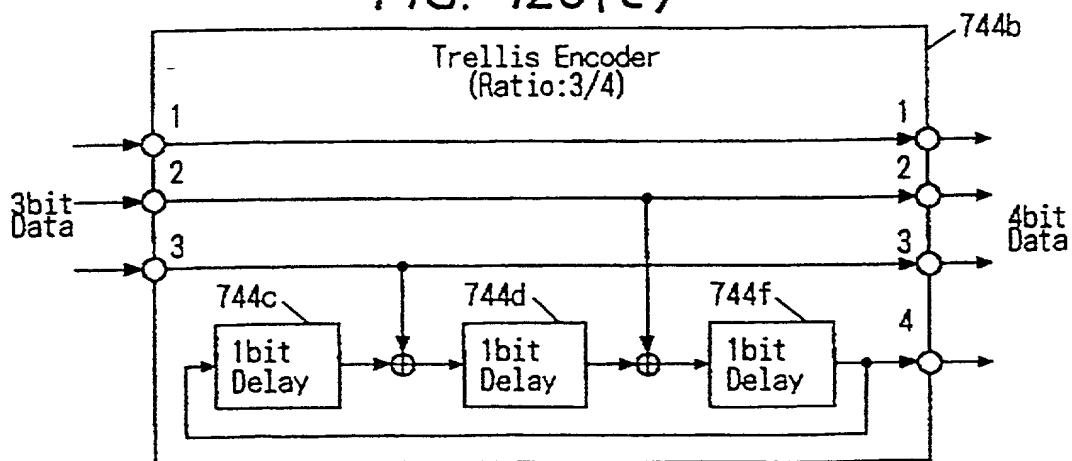




FIG. 128(d)

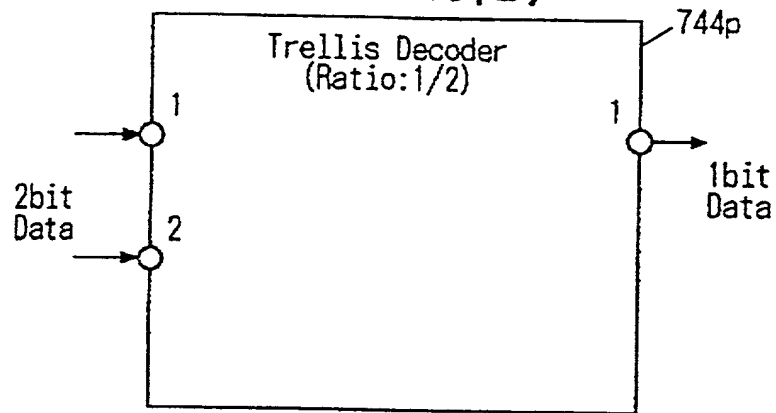


FIG. 128(e)

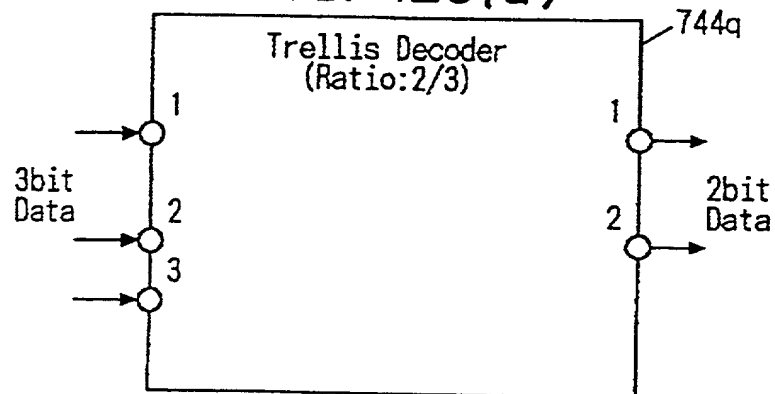


FIG. 128(f)

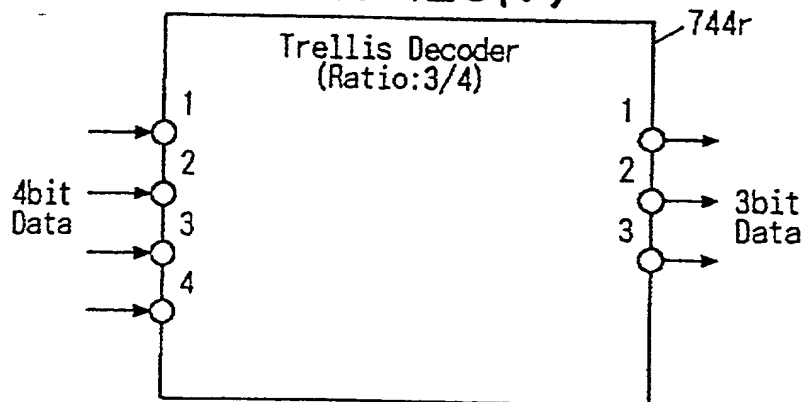
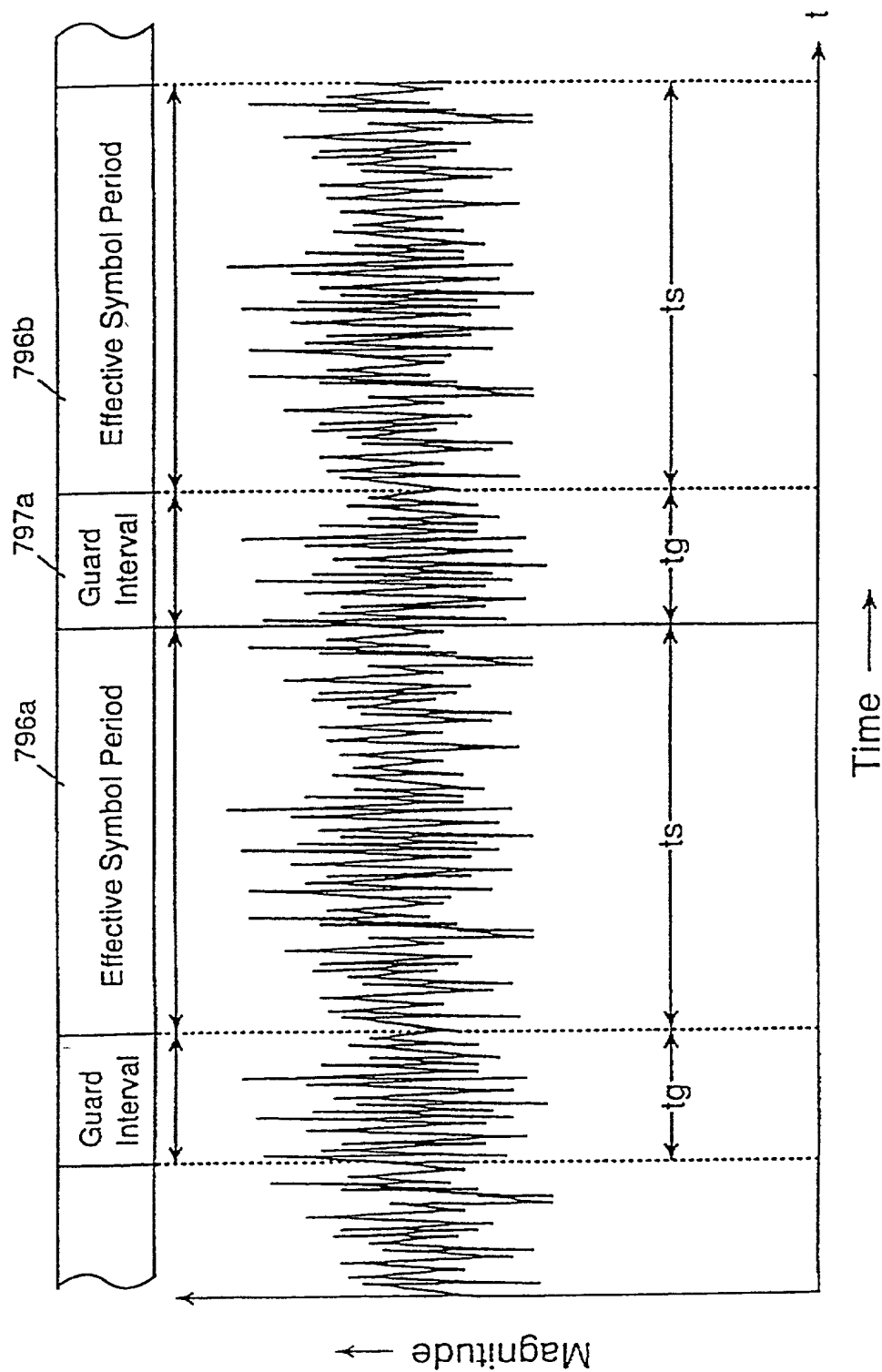


FIG. 129



GHOST DELAY=2 $\mu$ s, 0J-8dB  
Figure 8 Bit Error Rate Performance Under Single Ghost  
and Gaussian Noise (1)

FIG. 130

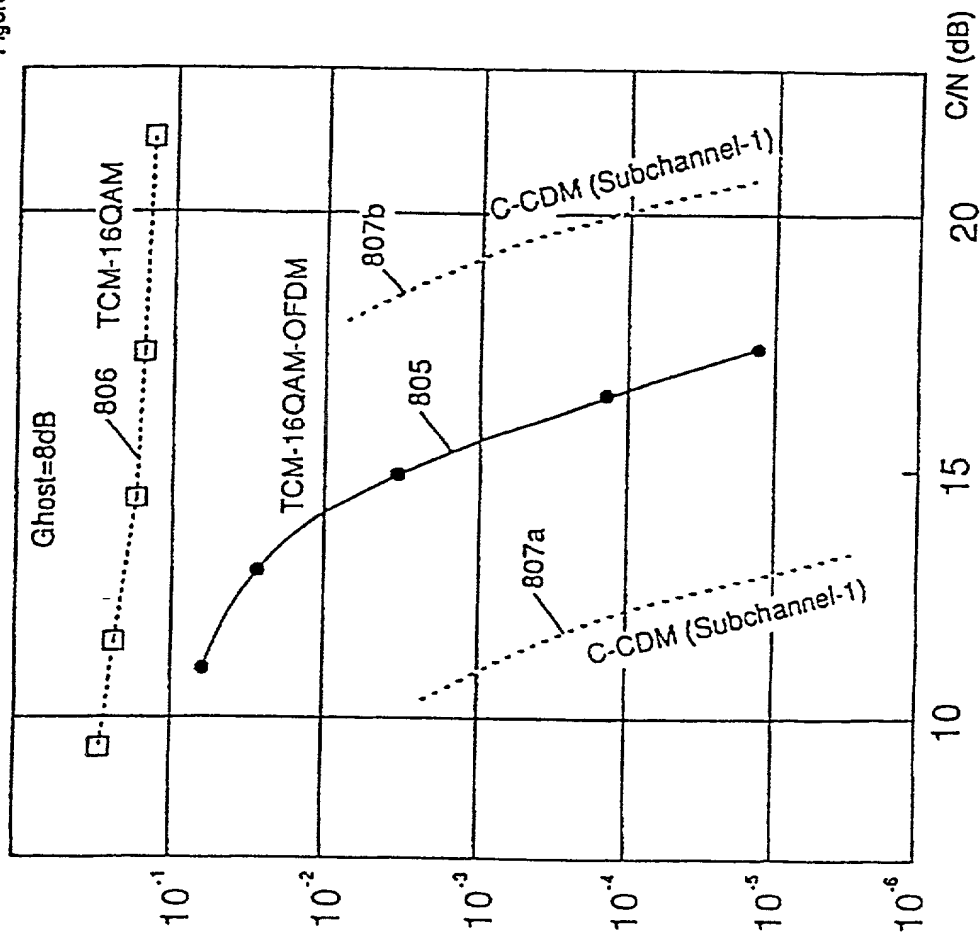


FIG. 131

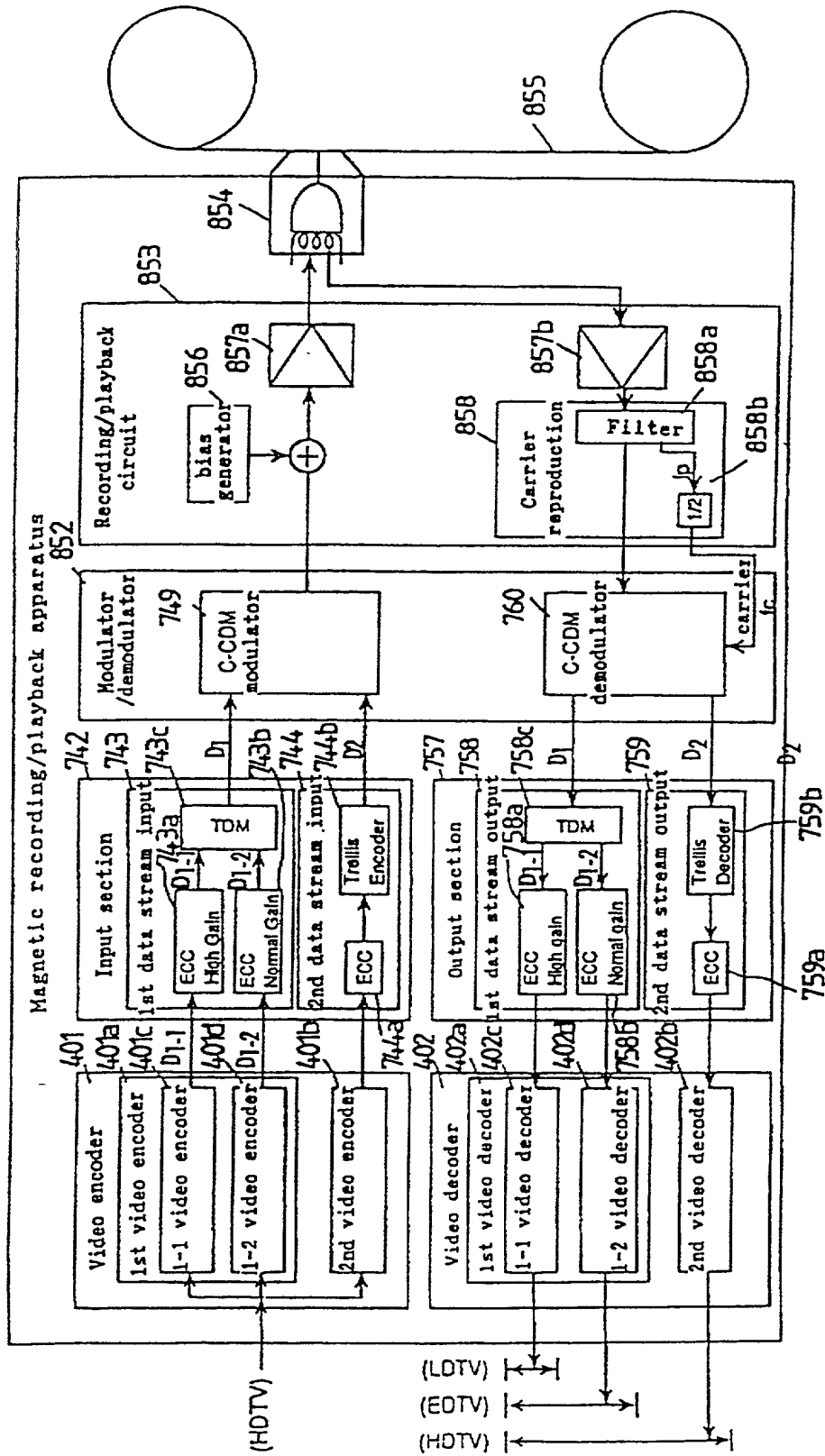


FIG. 132

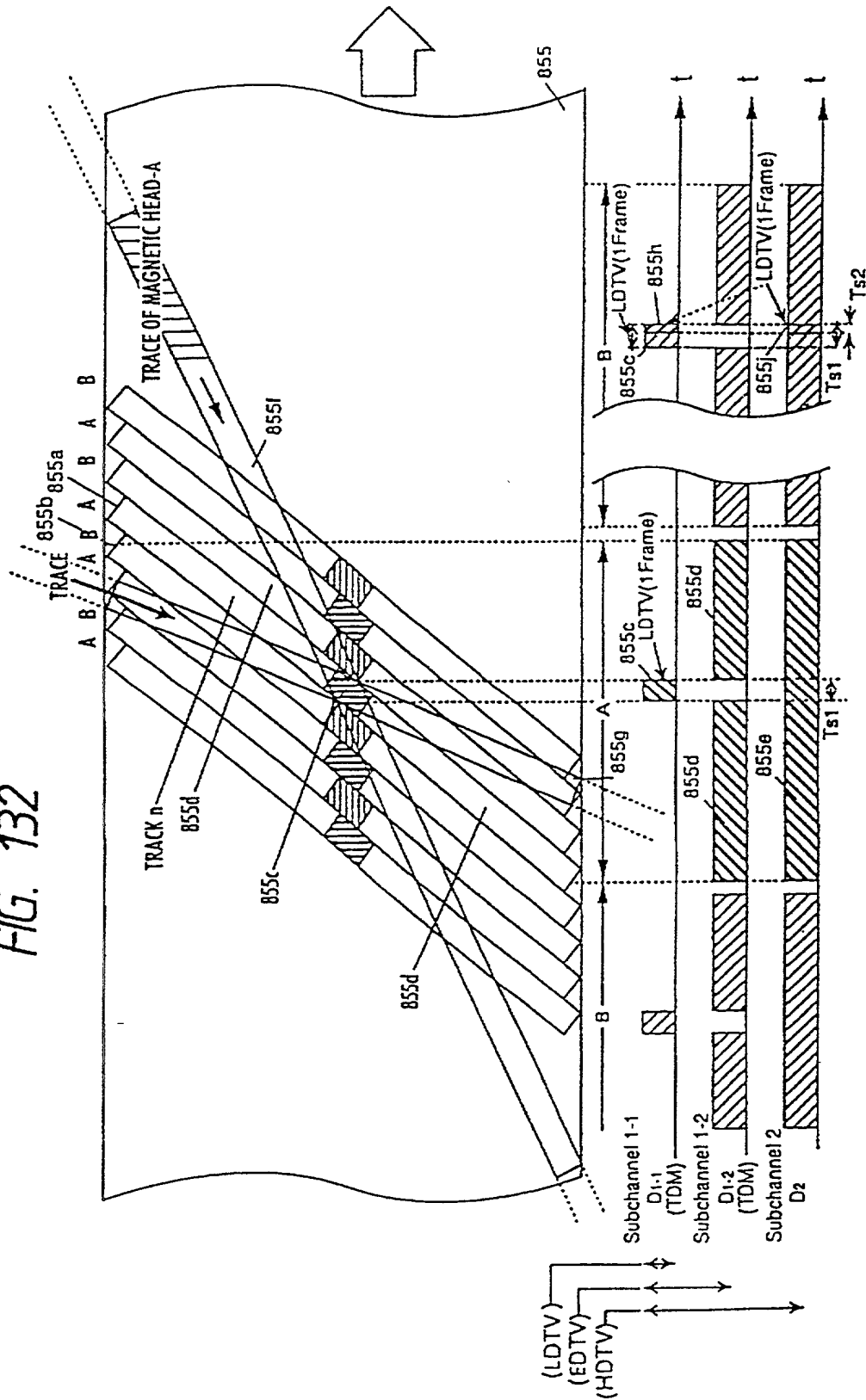


FIG. 133

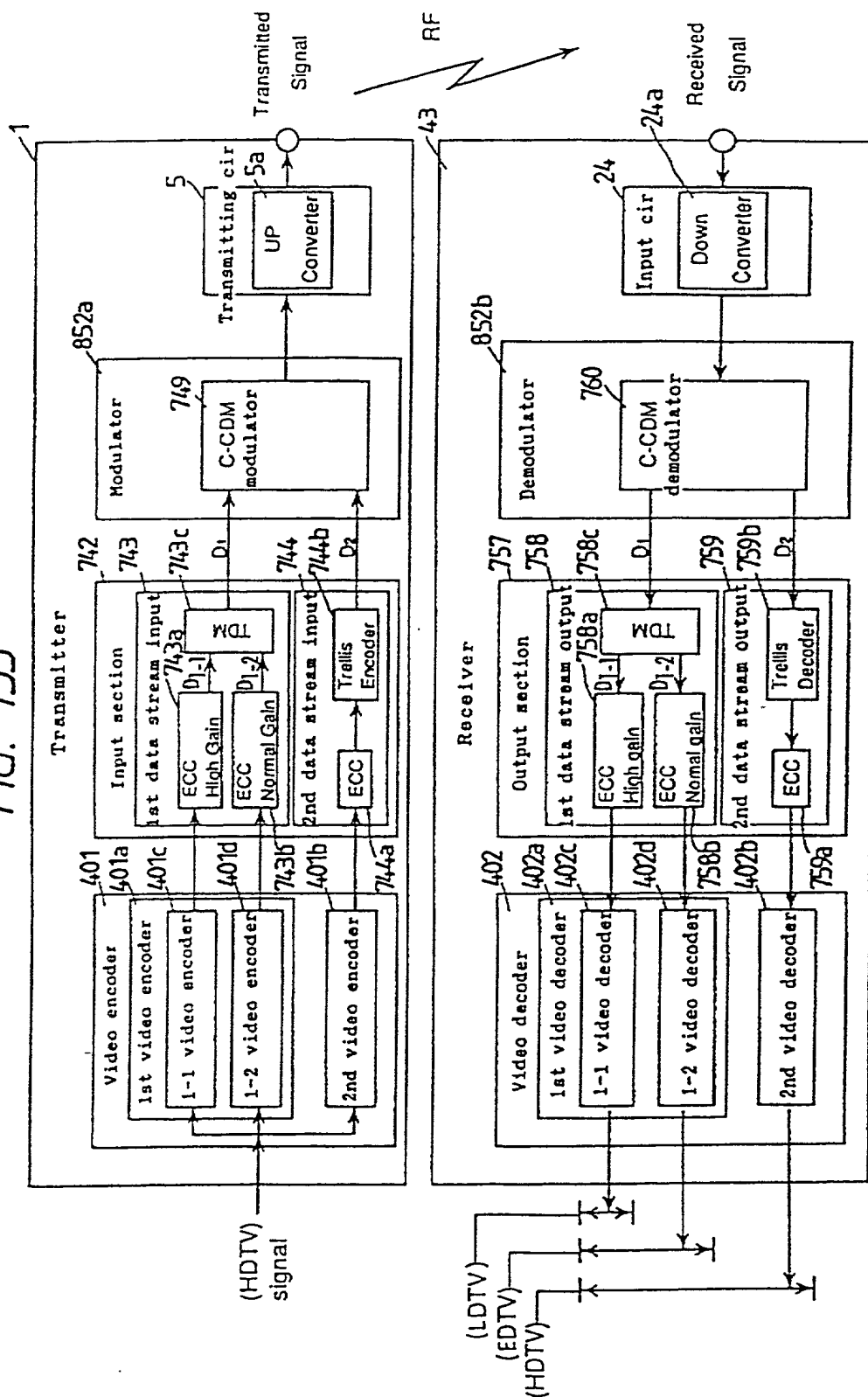


FIG. 134

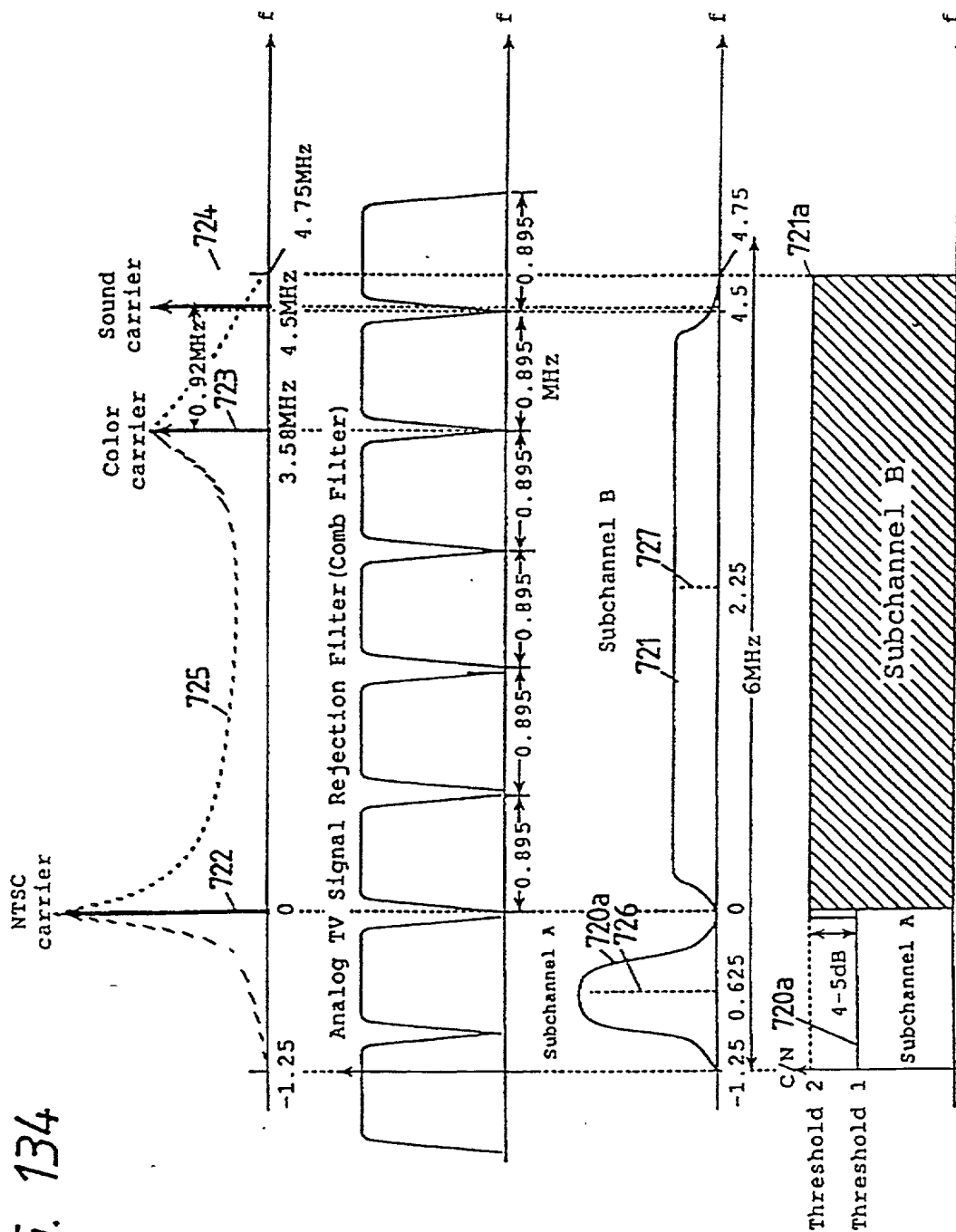


FIG. 135

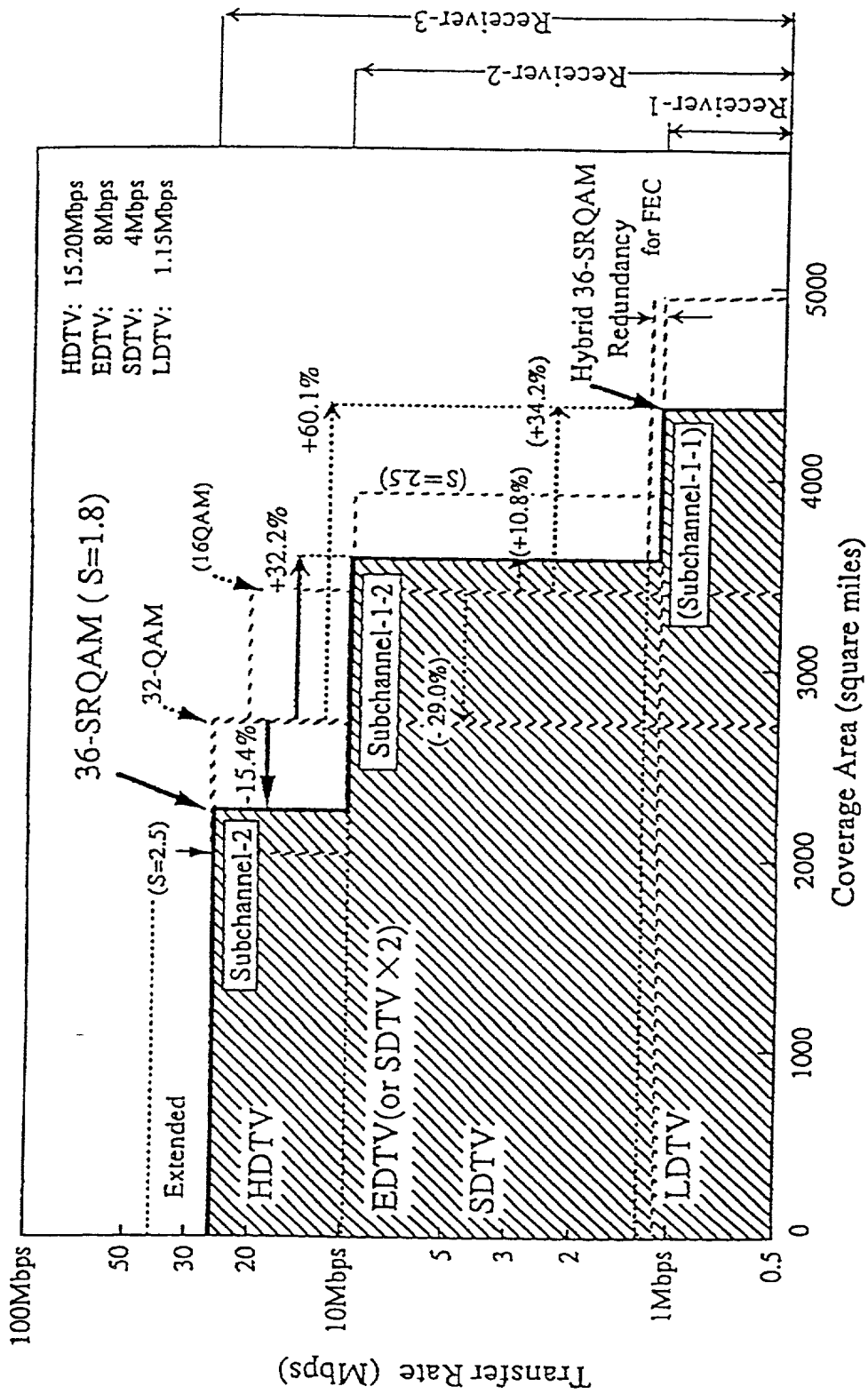
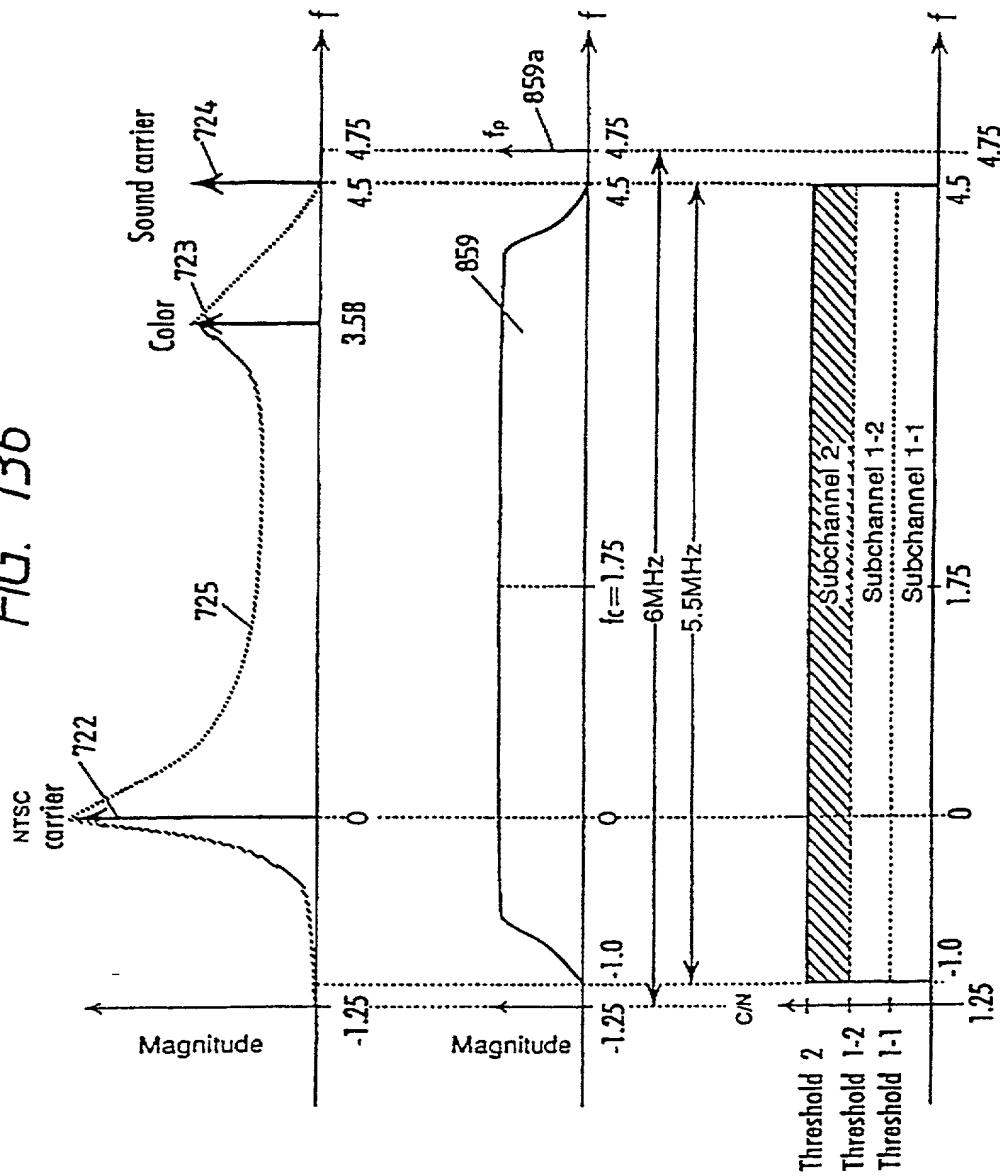




FIG. 136



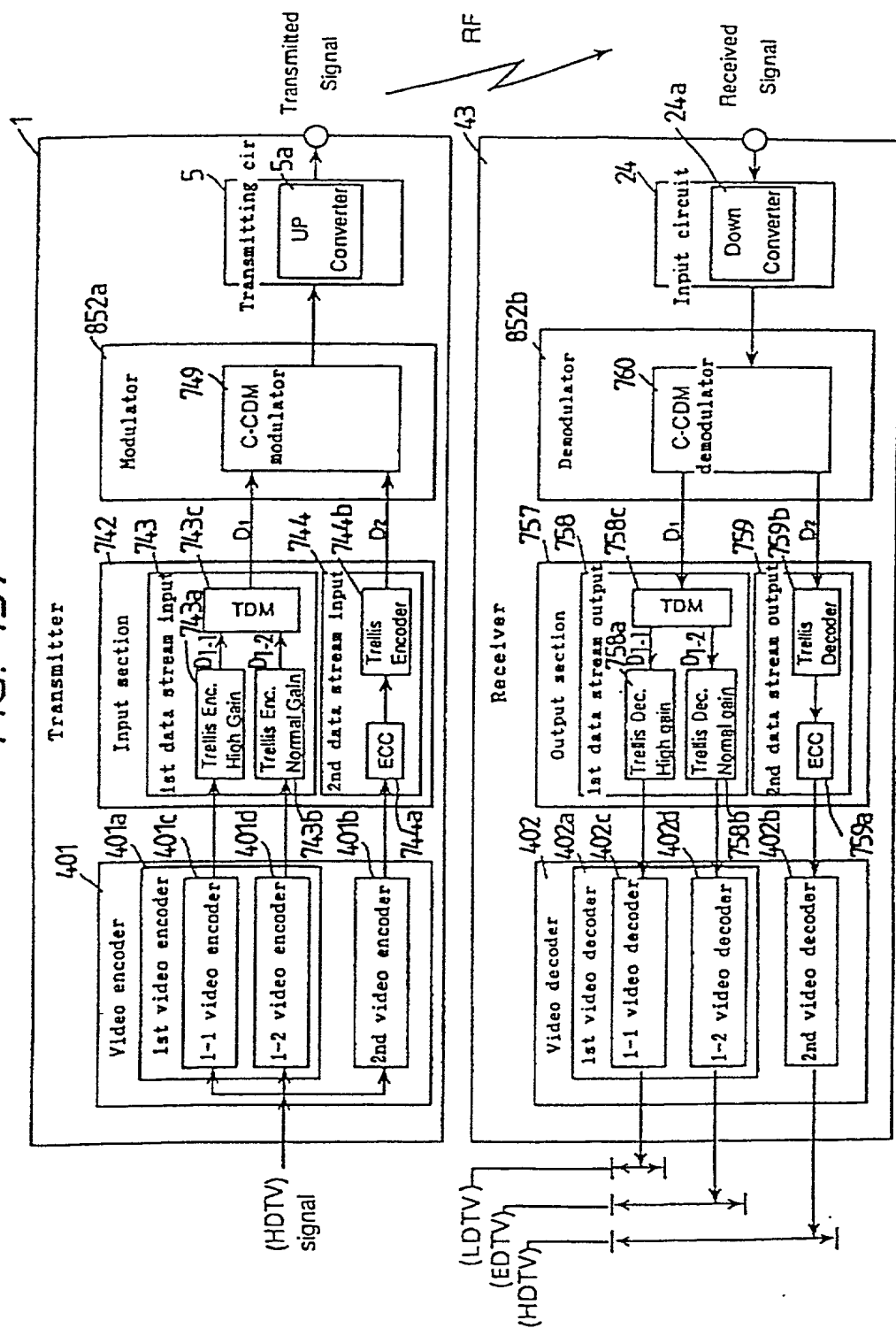


FIG. 138

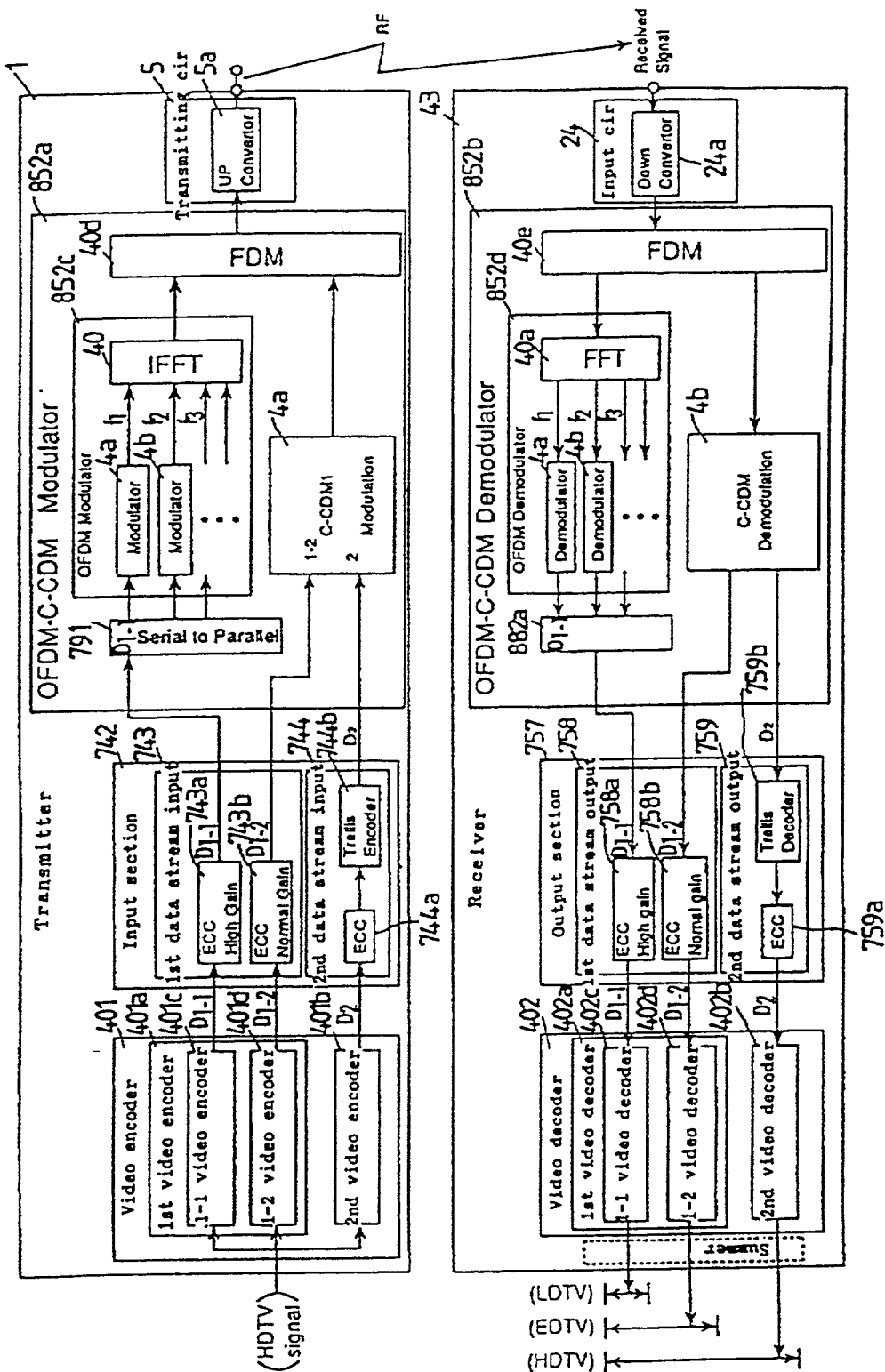


FIG. 139

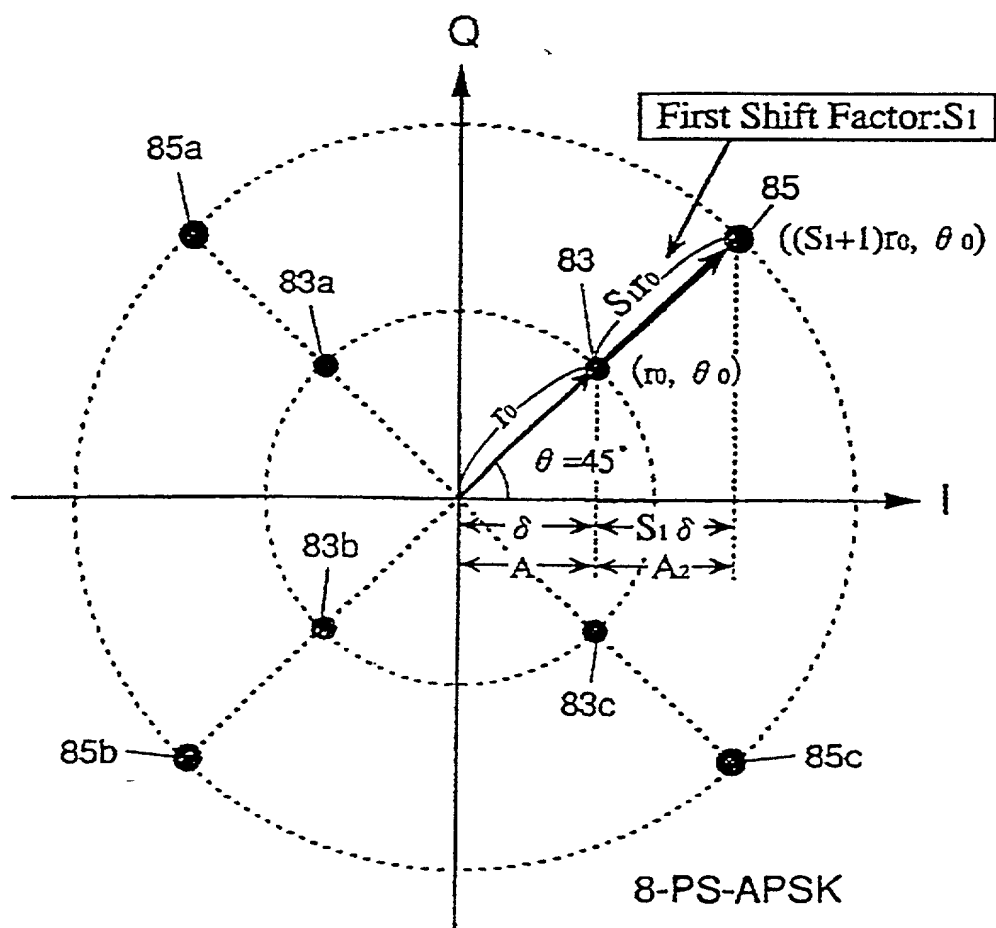


FIG. 140

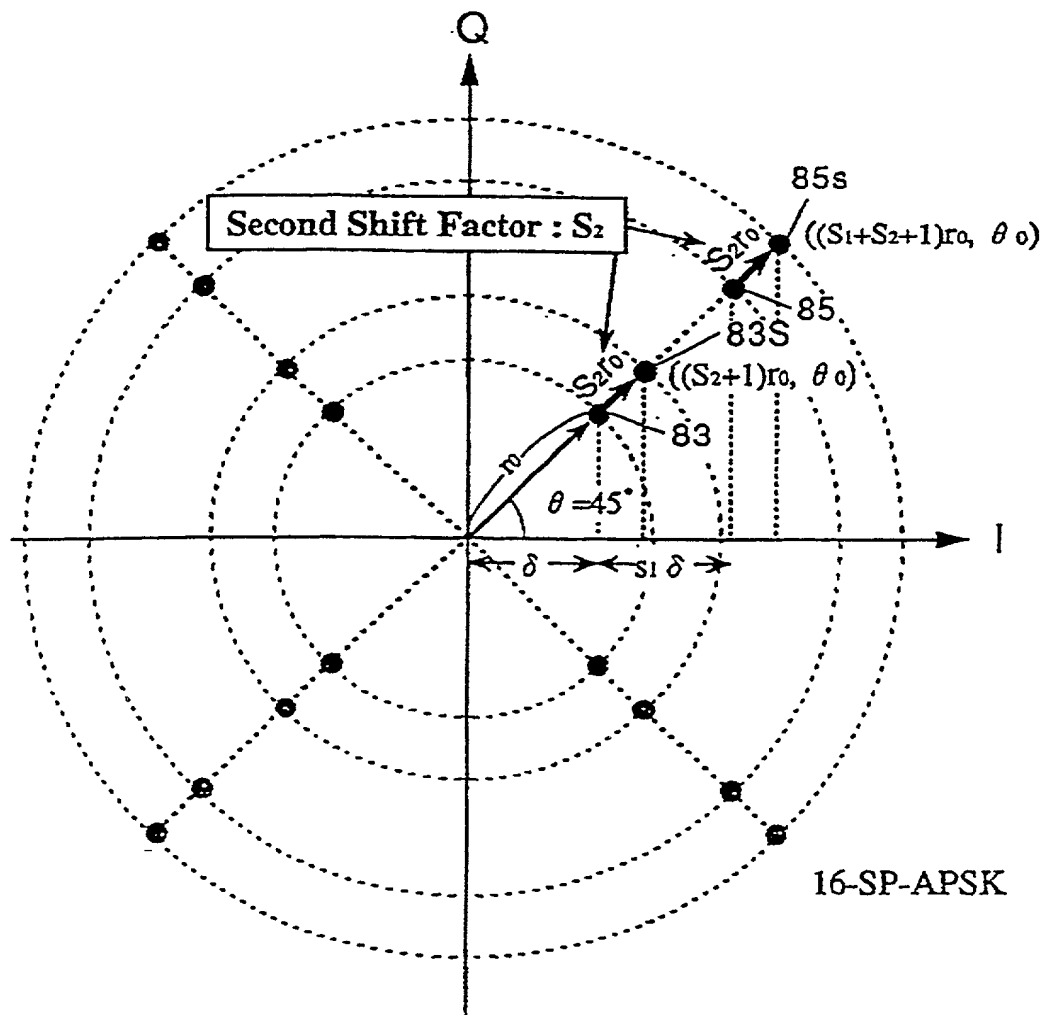


FIG. 141

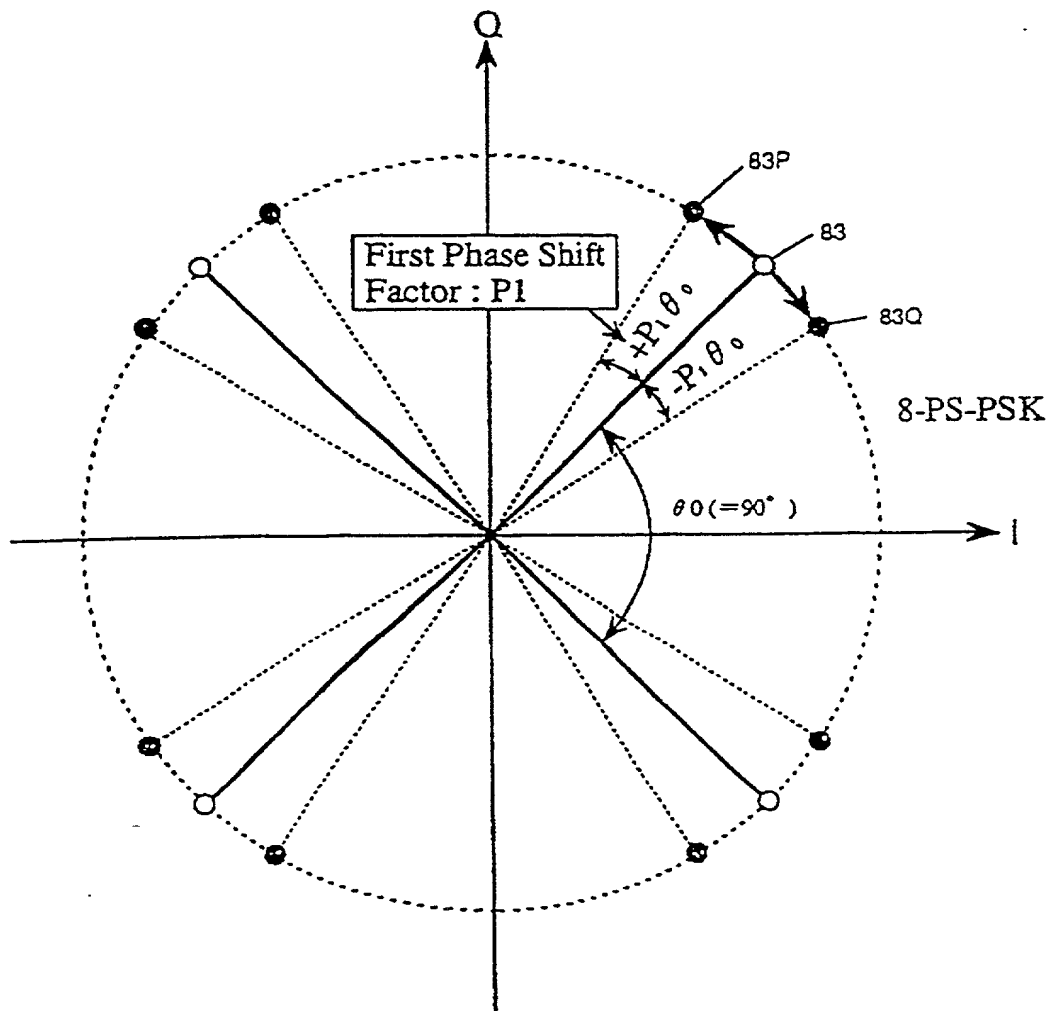


FIG. 142

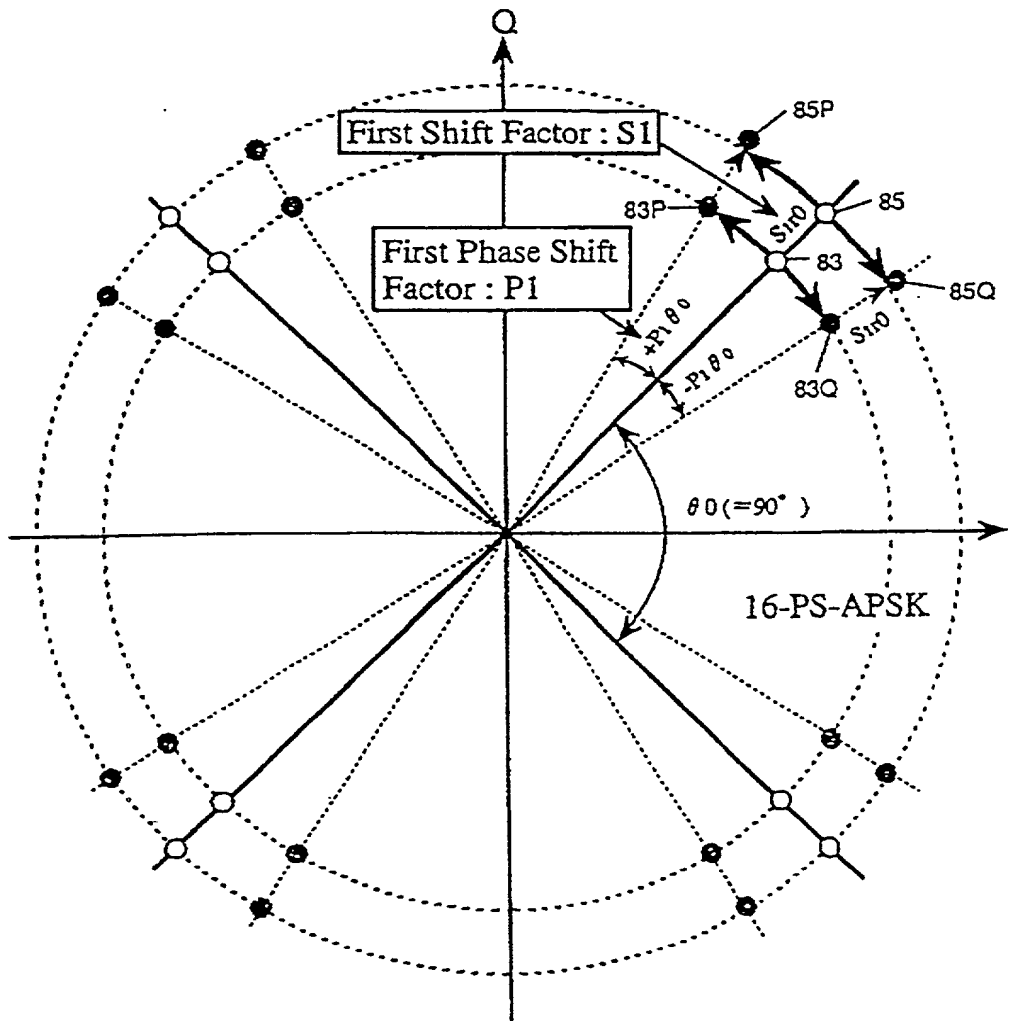


FIG. 143

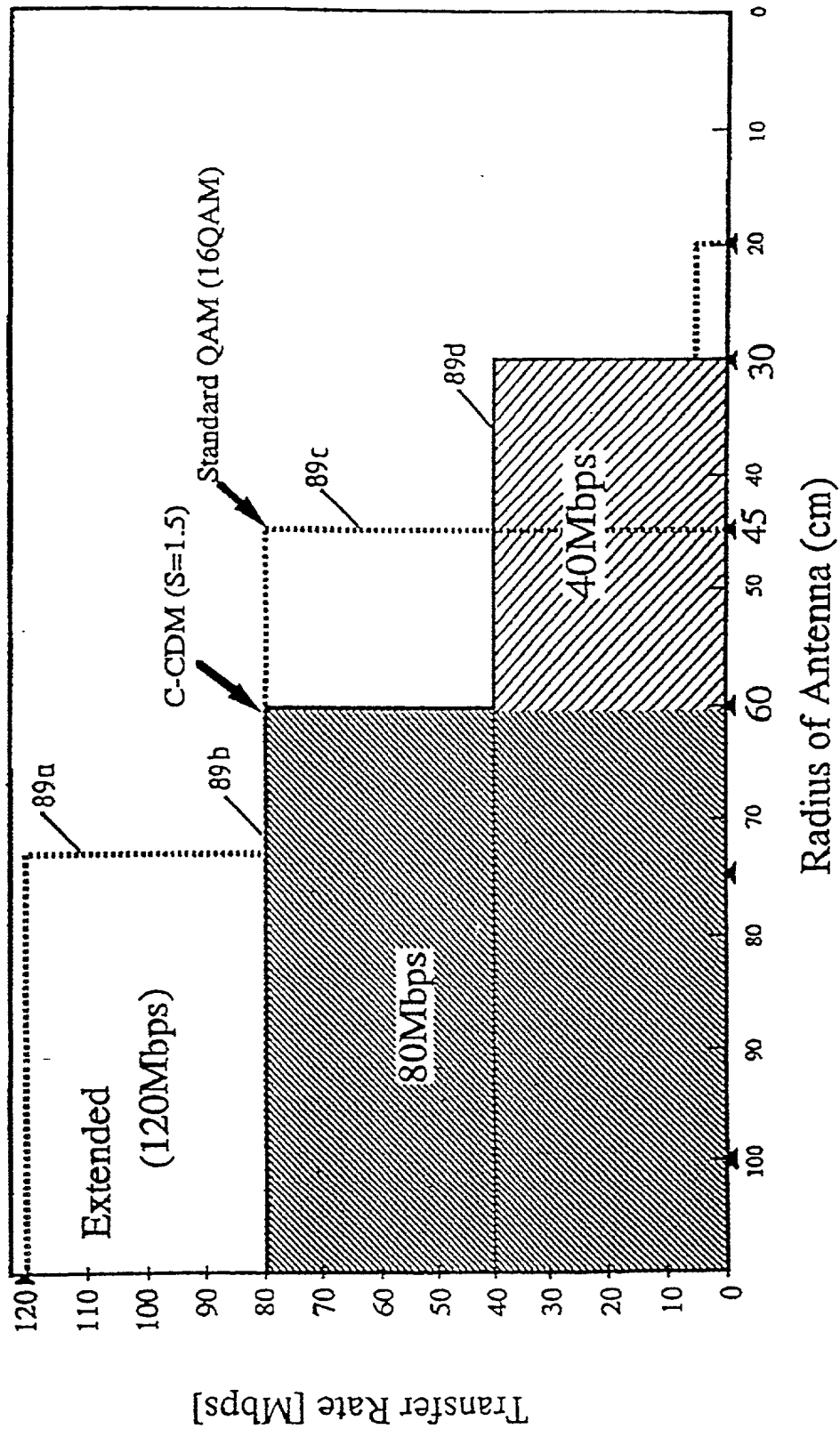




FIG. 144

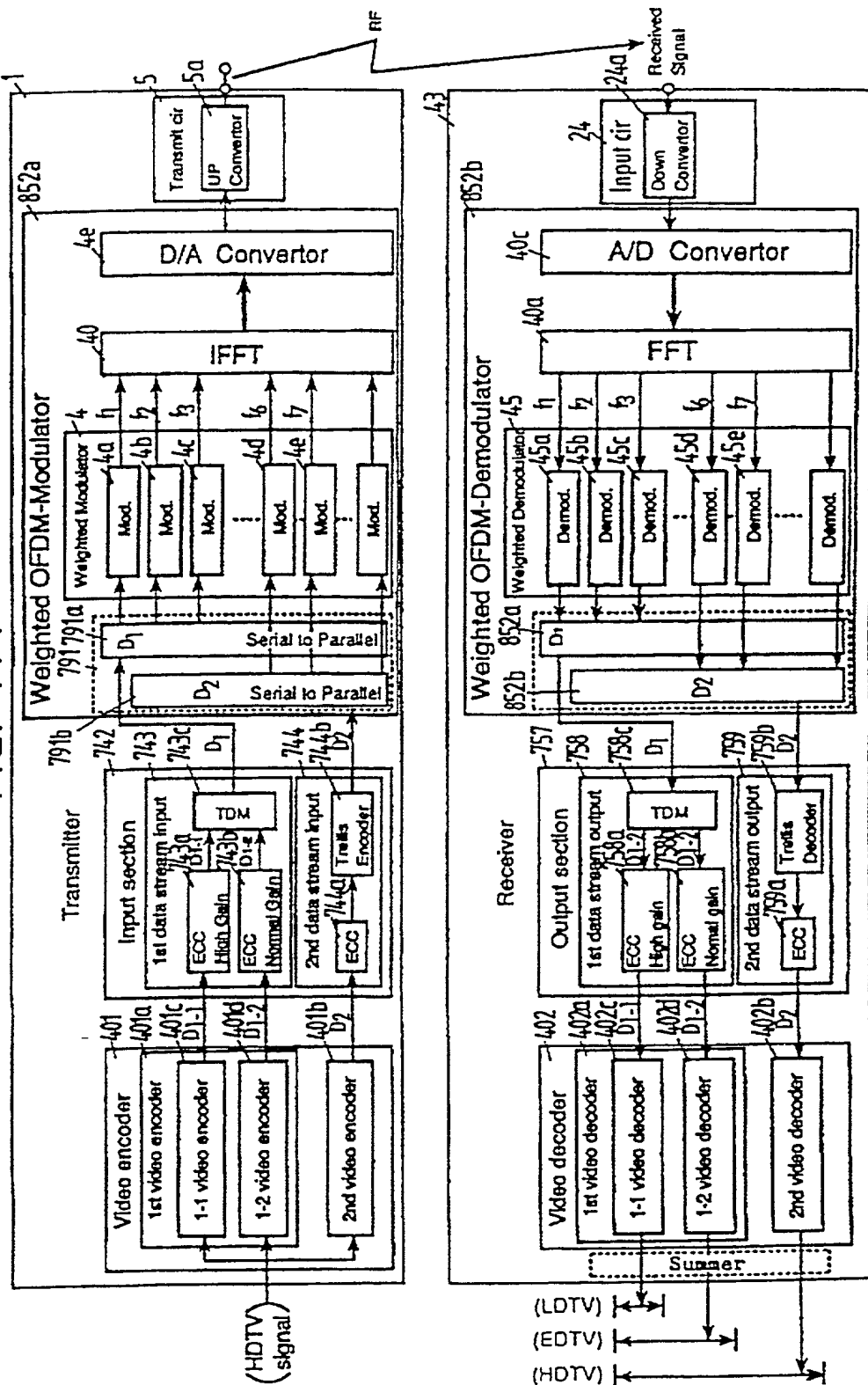


FIG. 145(a)

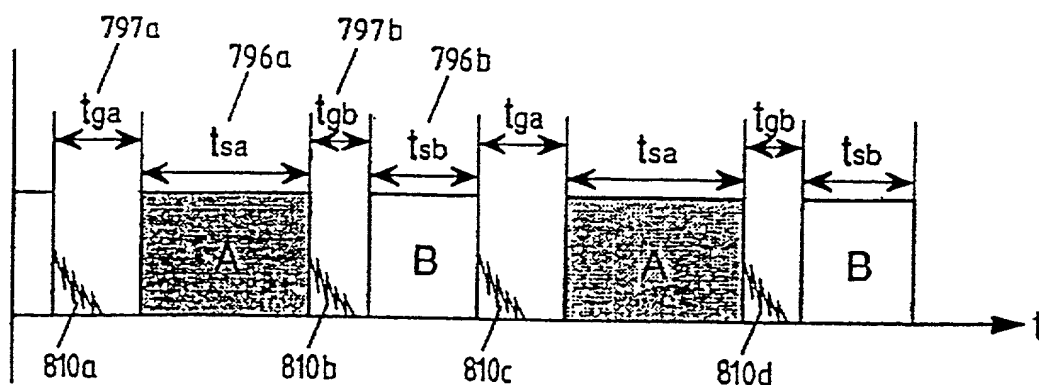
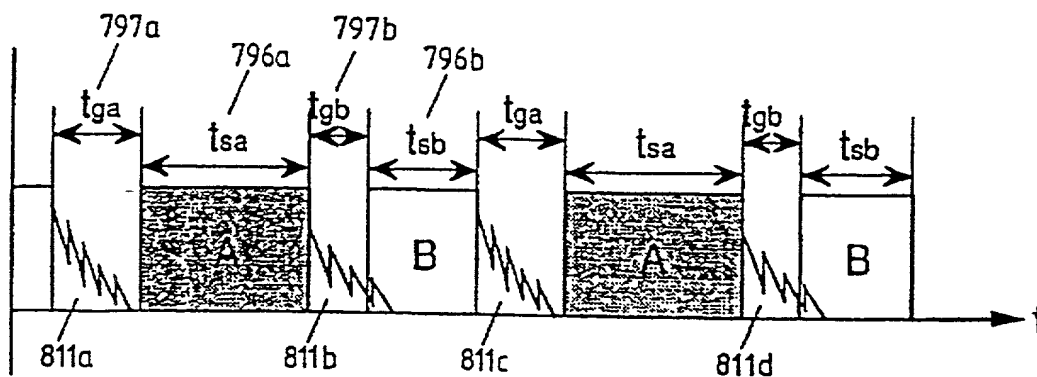


FIG. 145(b)



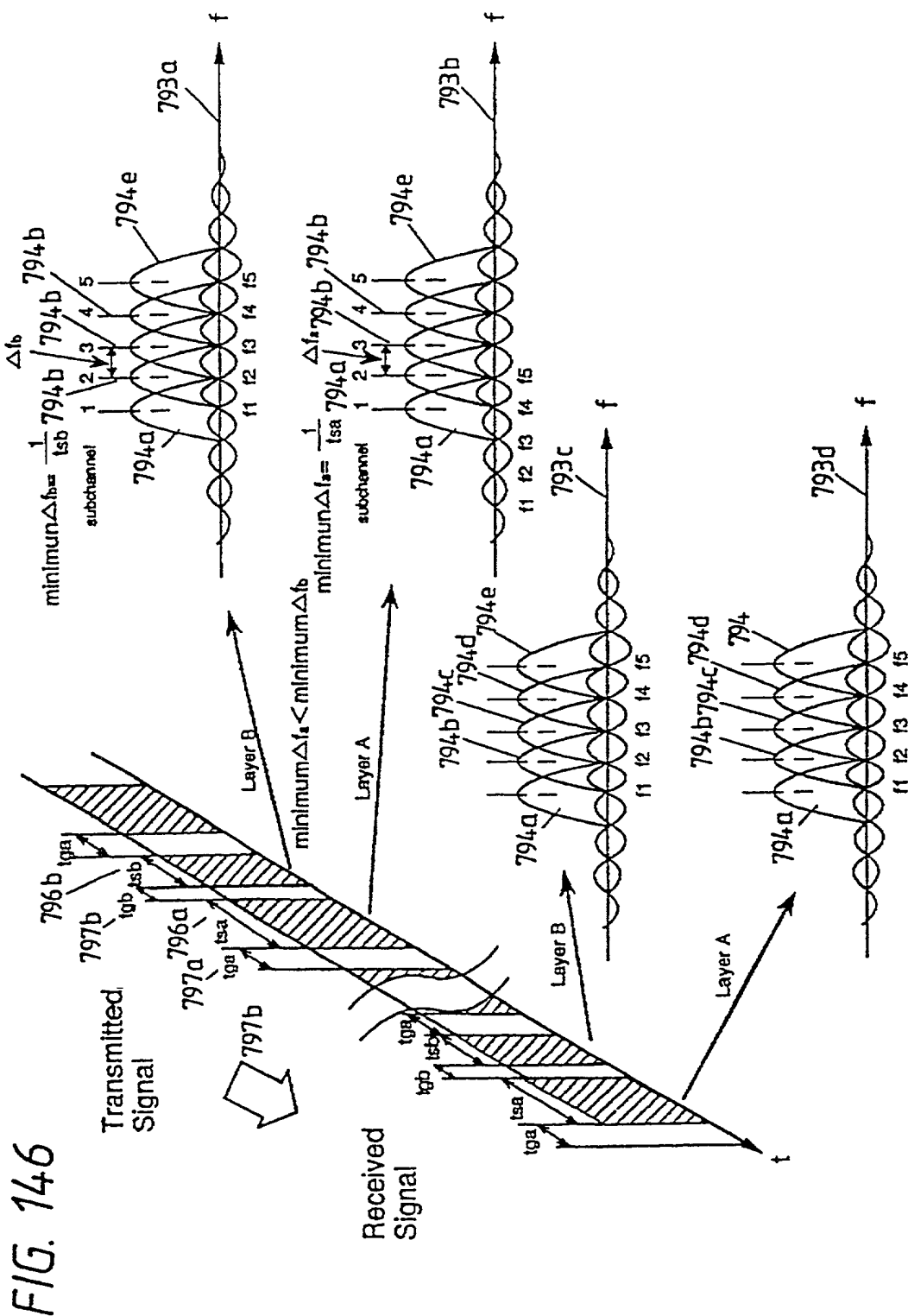


FIG. 147

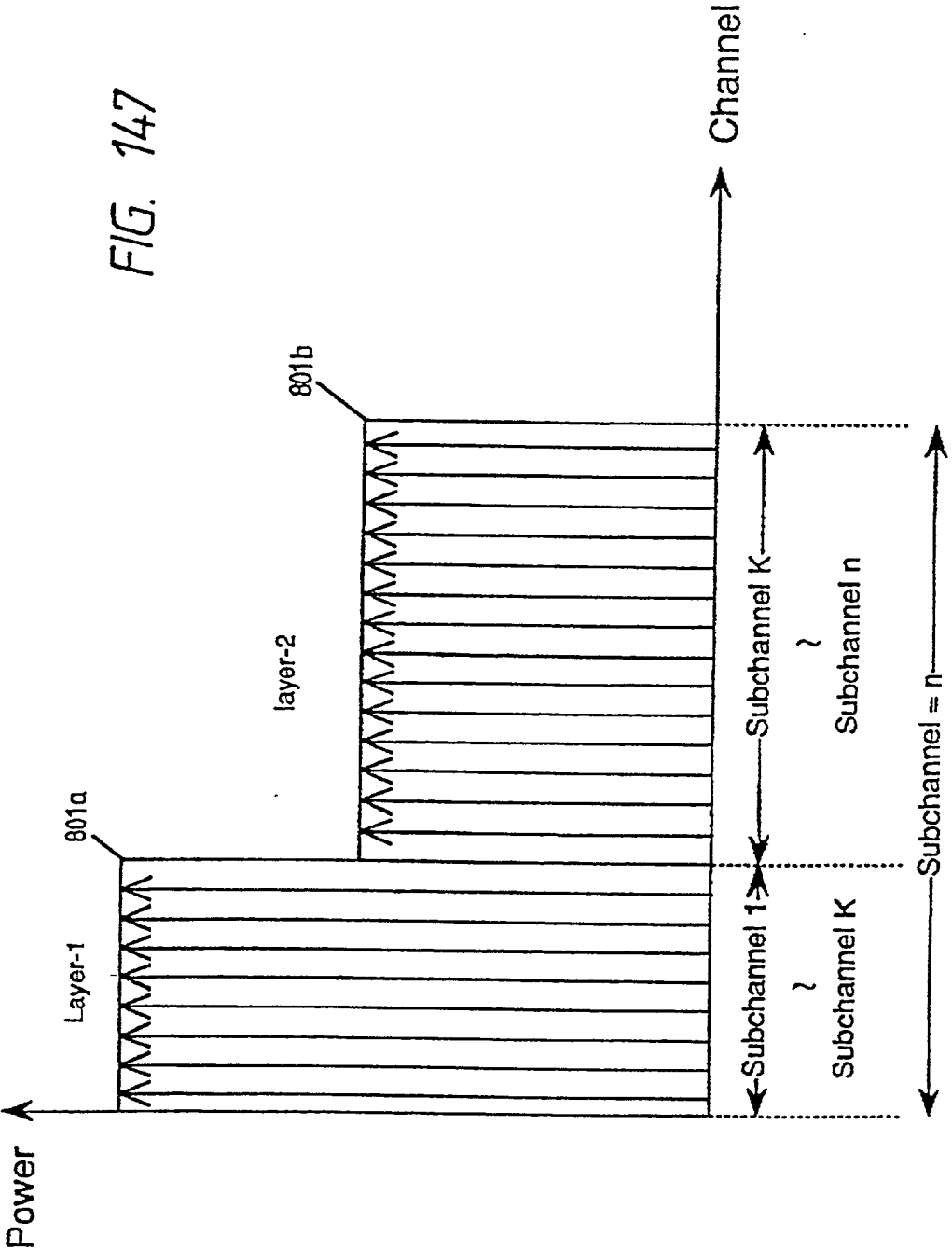


FIG. 148

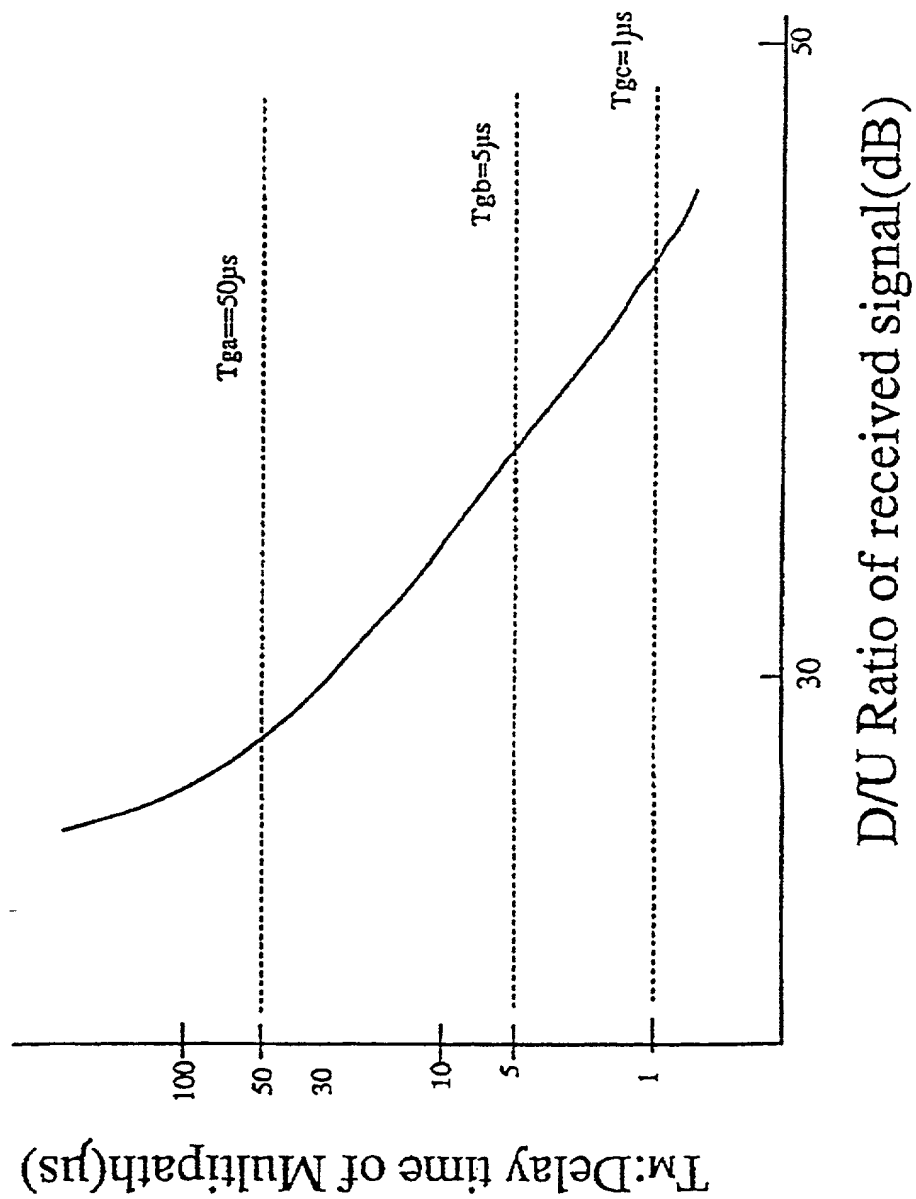




FIG. 150

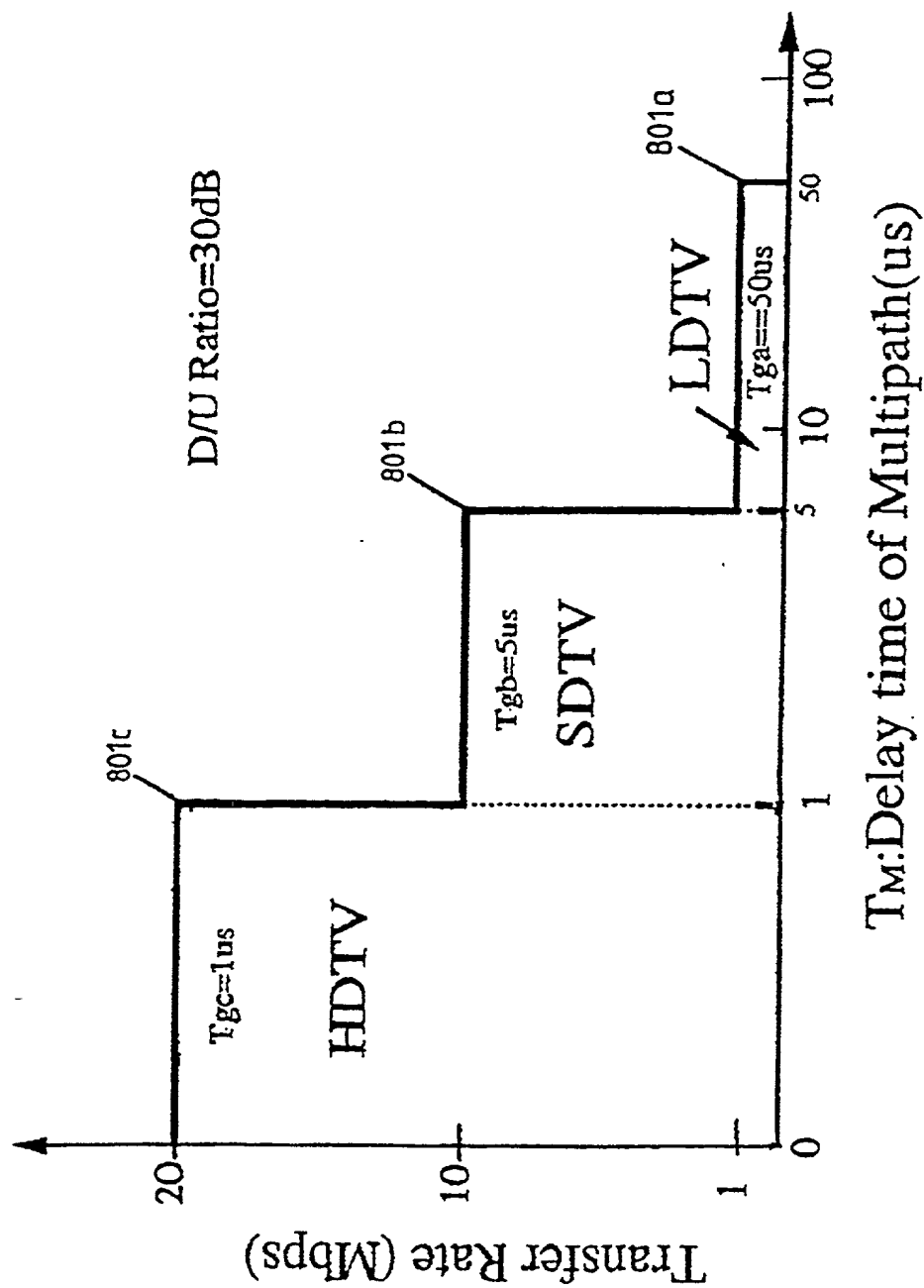


FIG. 151

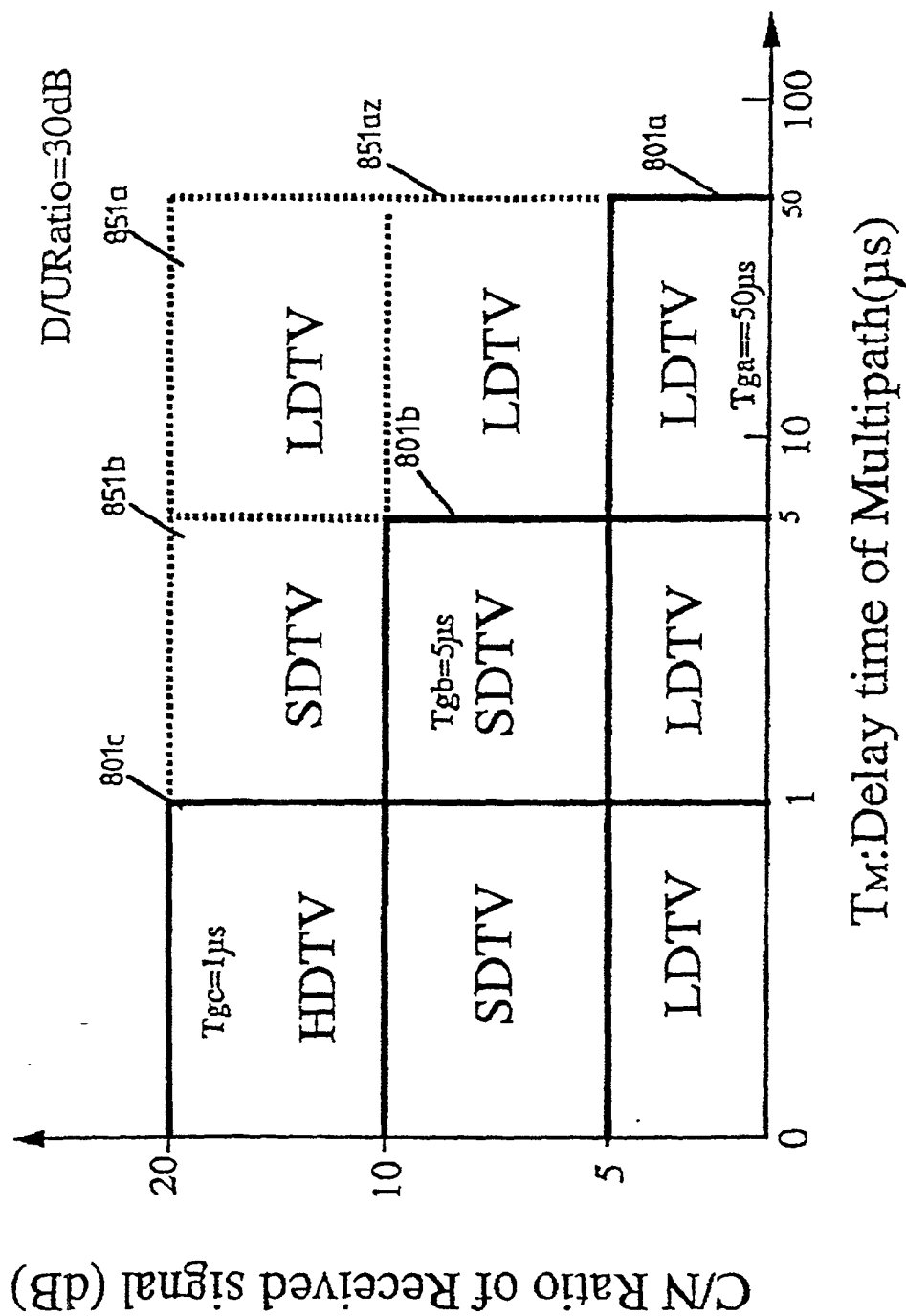
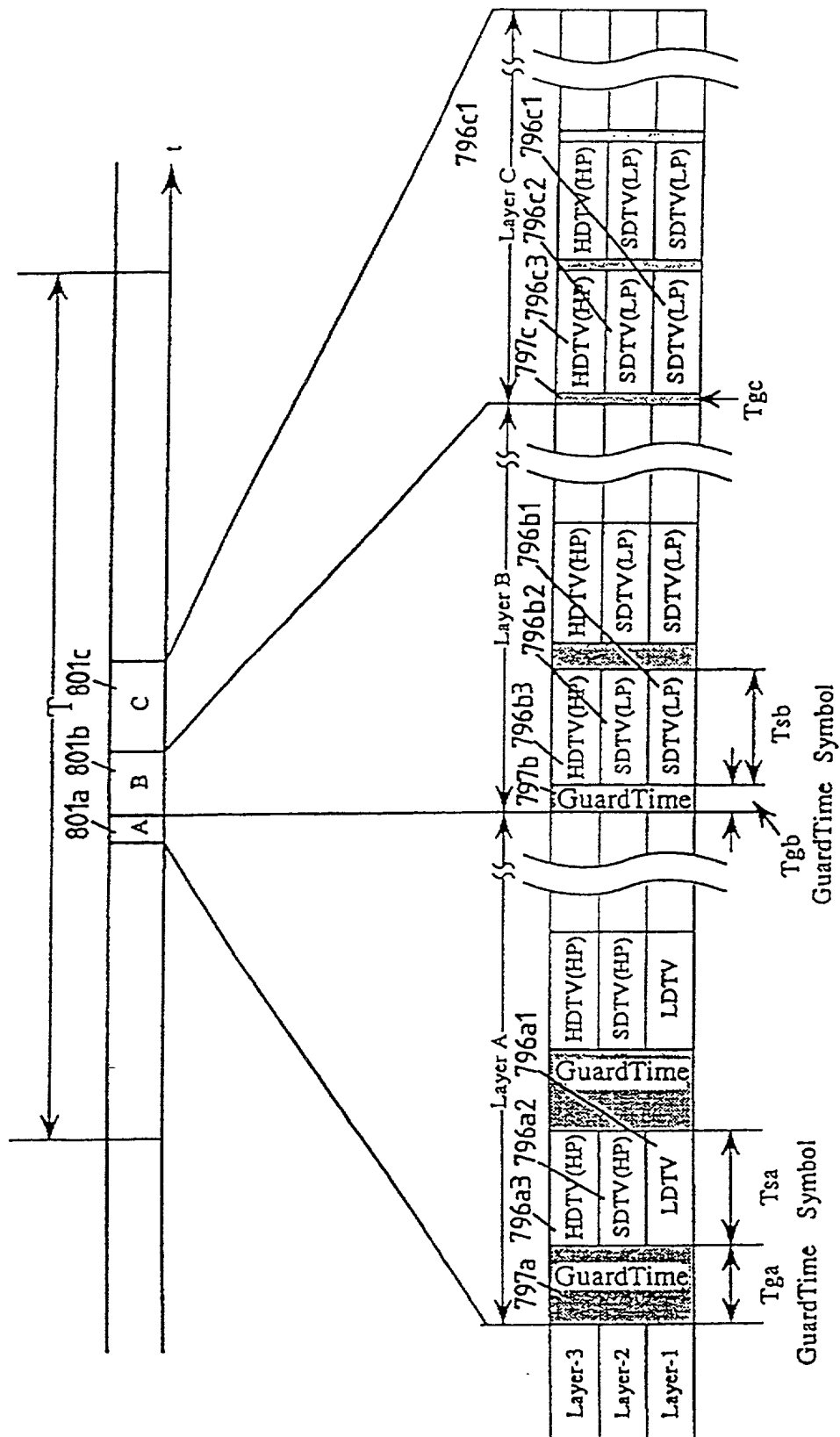
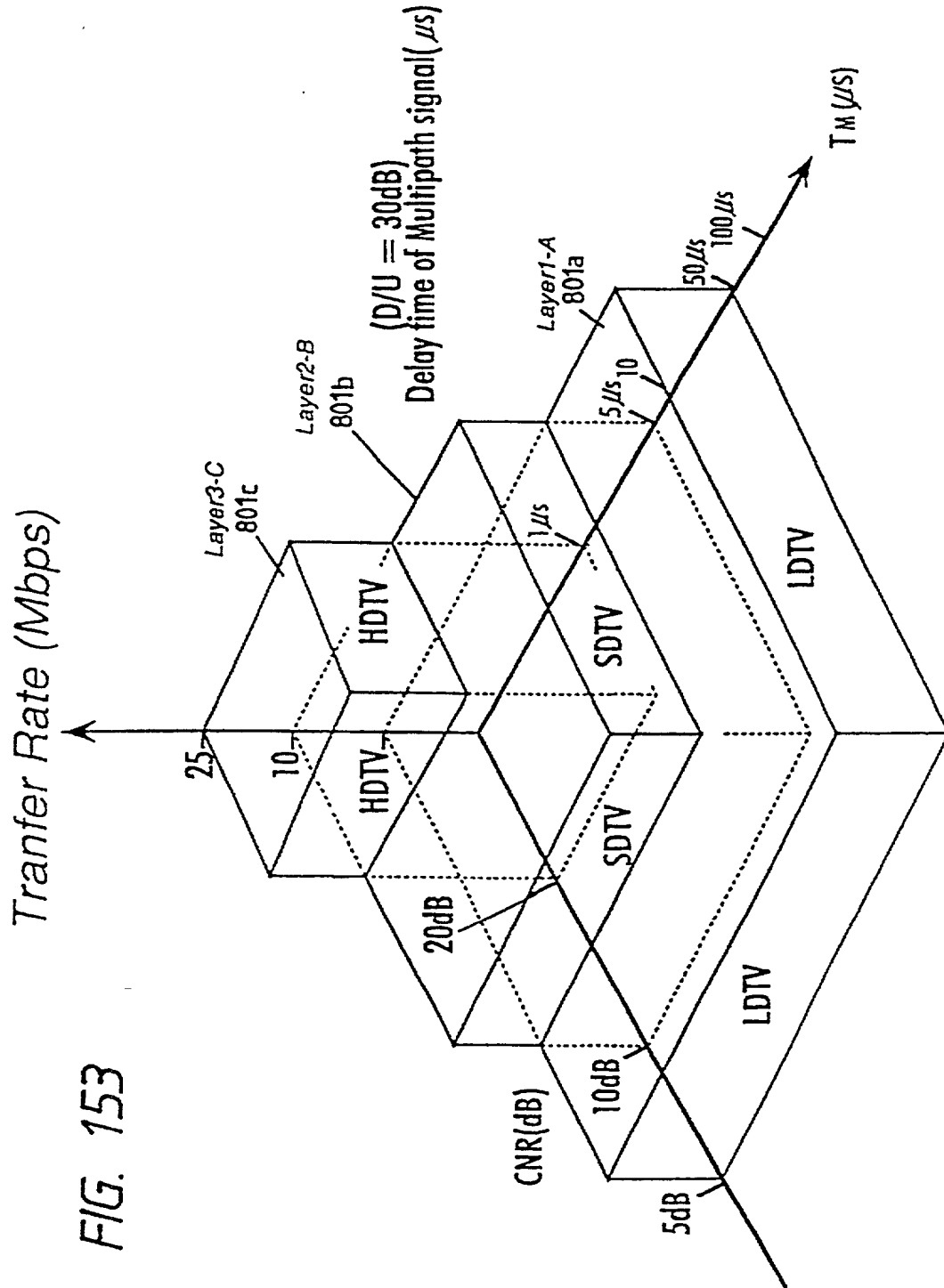
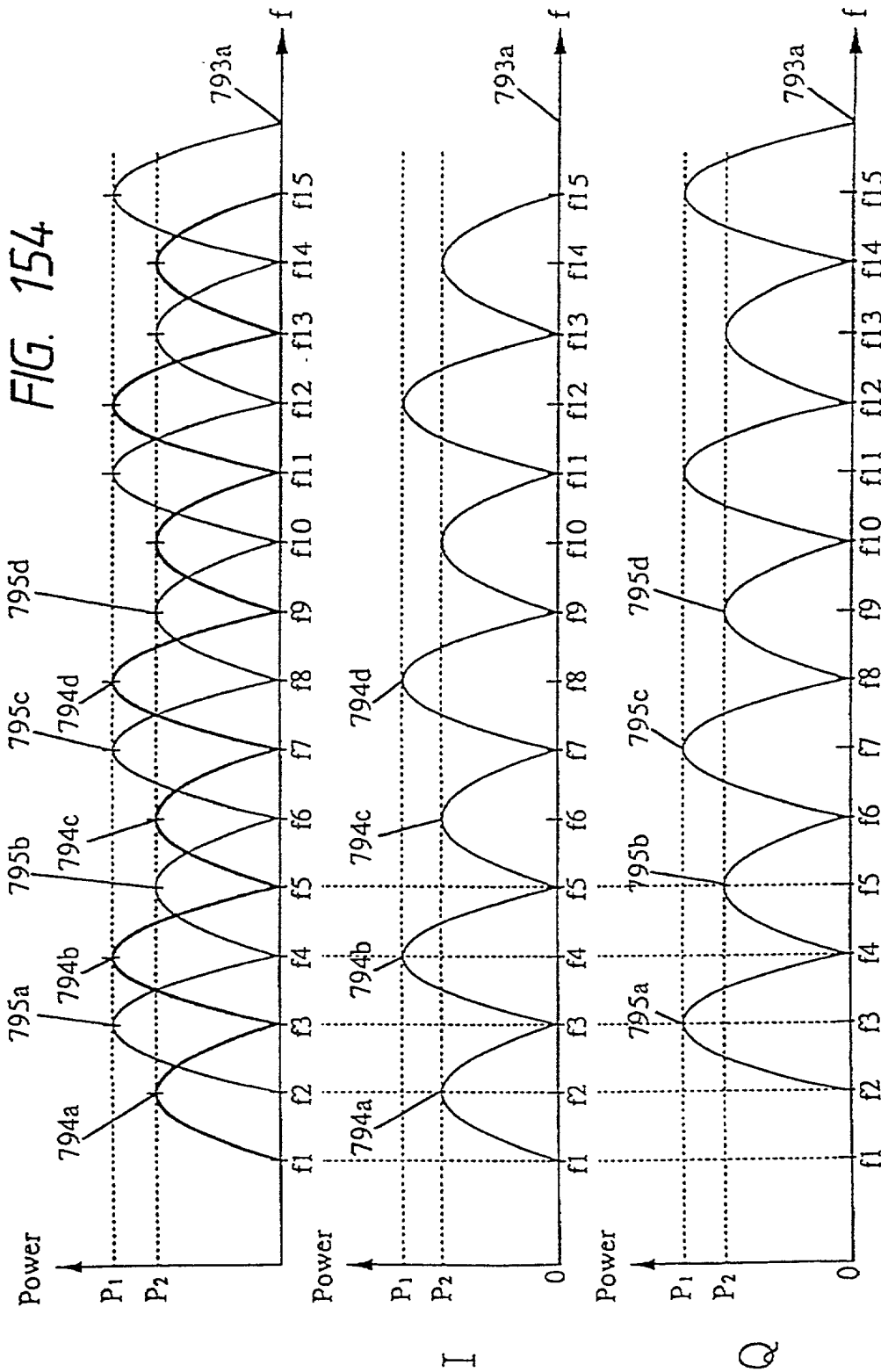




FIG. 152







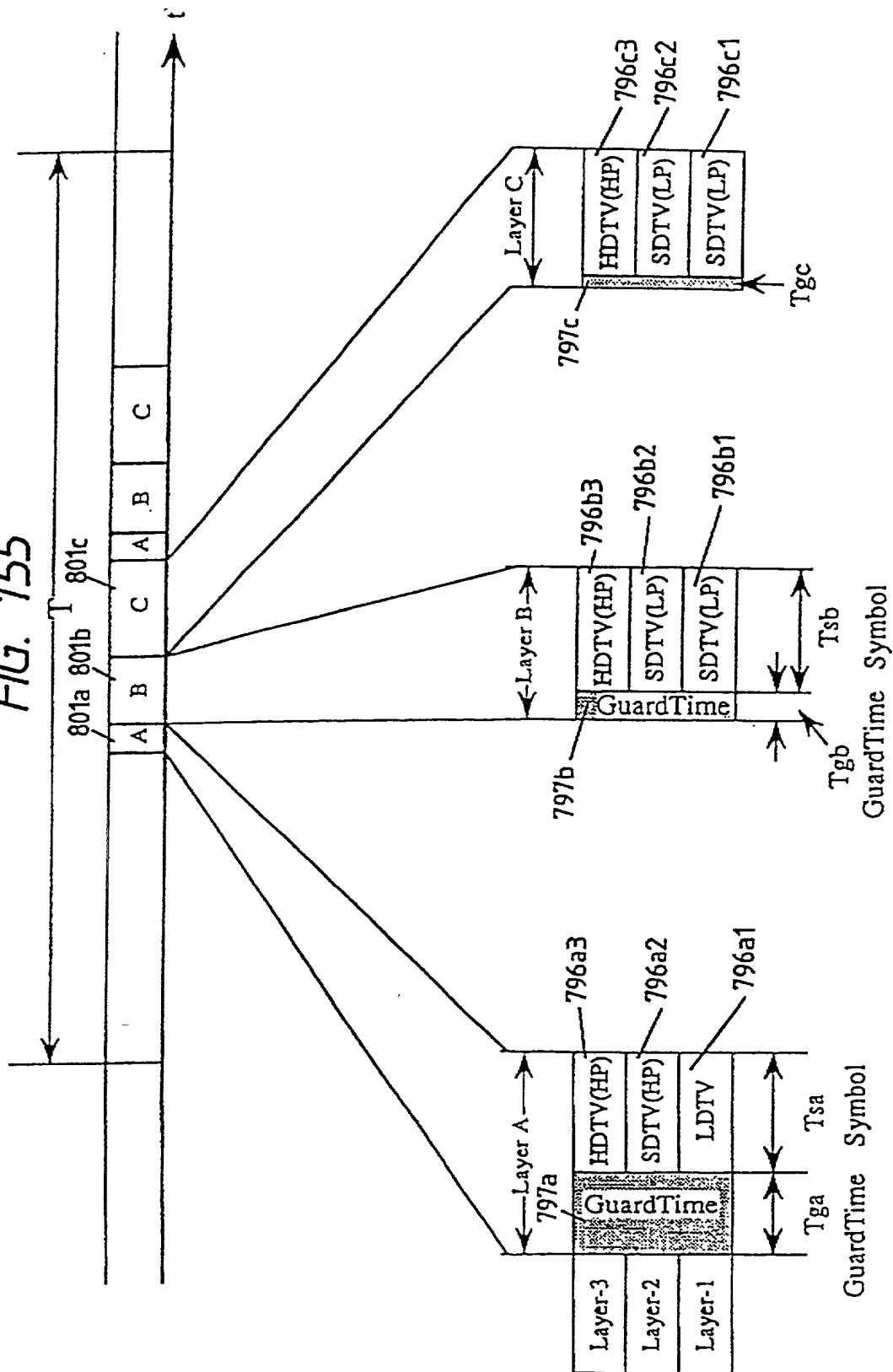


FIG. 156

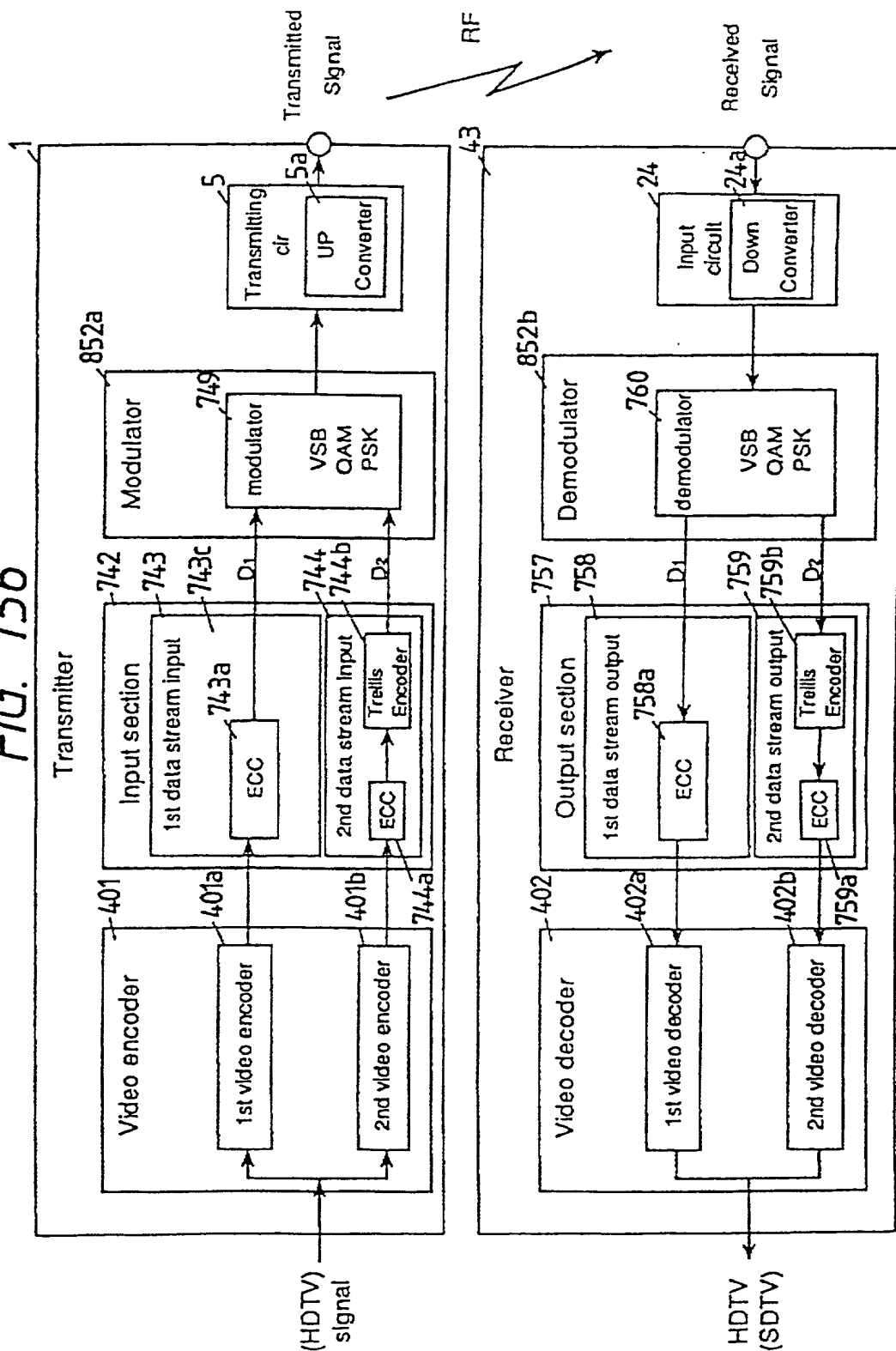


FIG. 157

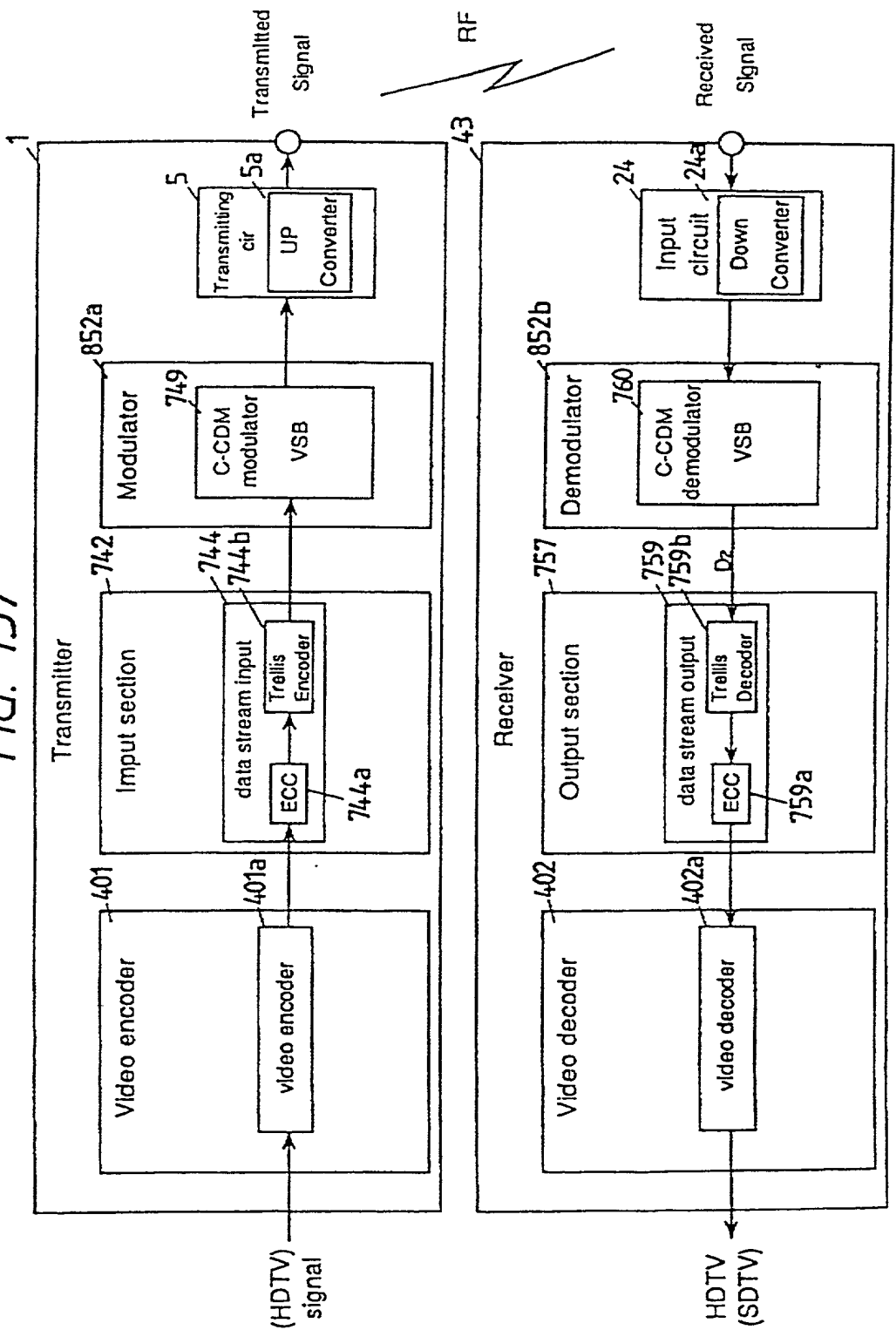
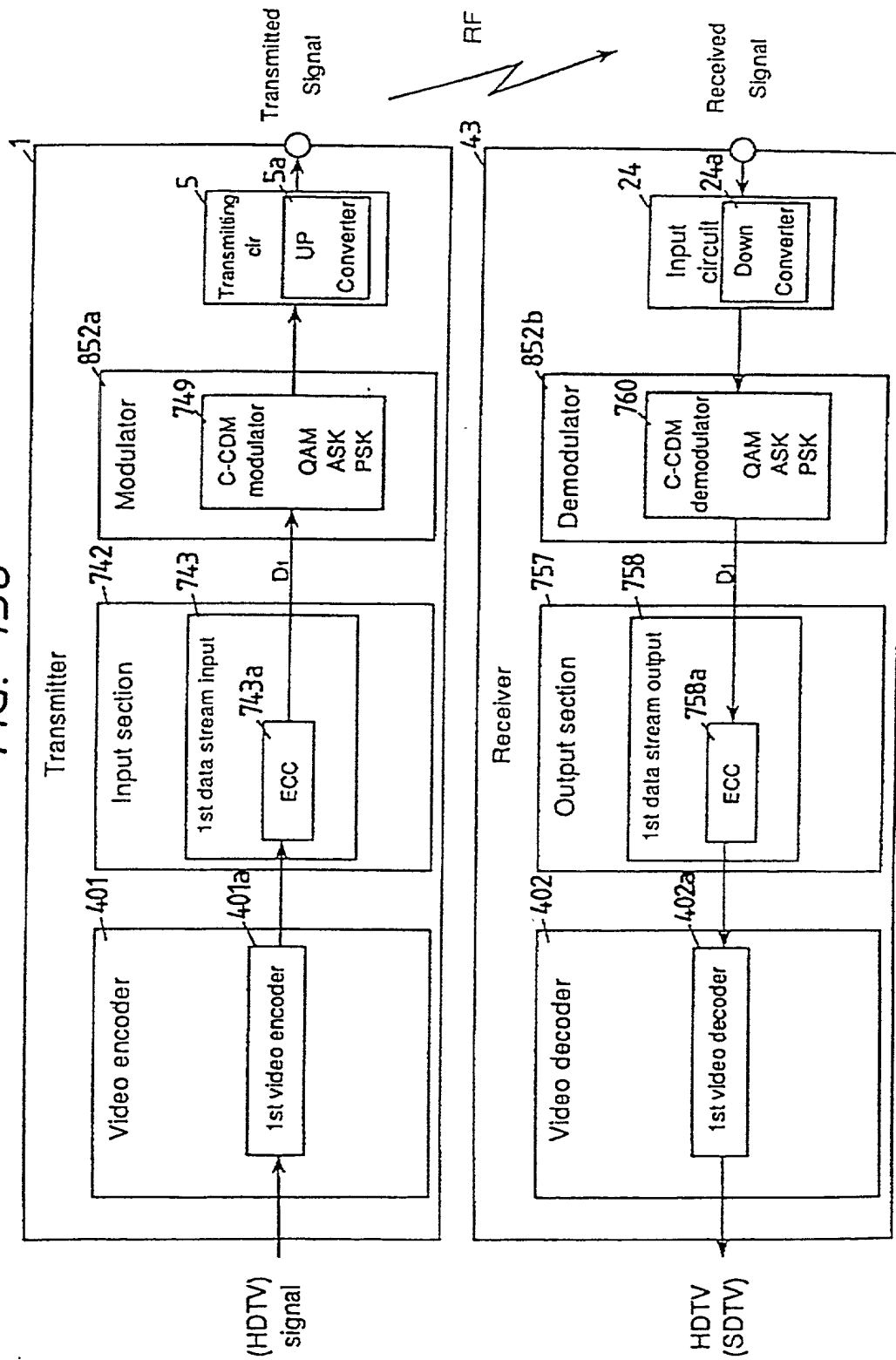


FIG. 158



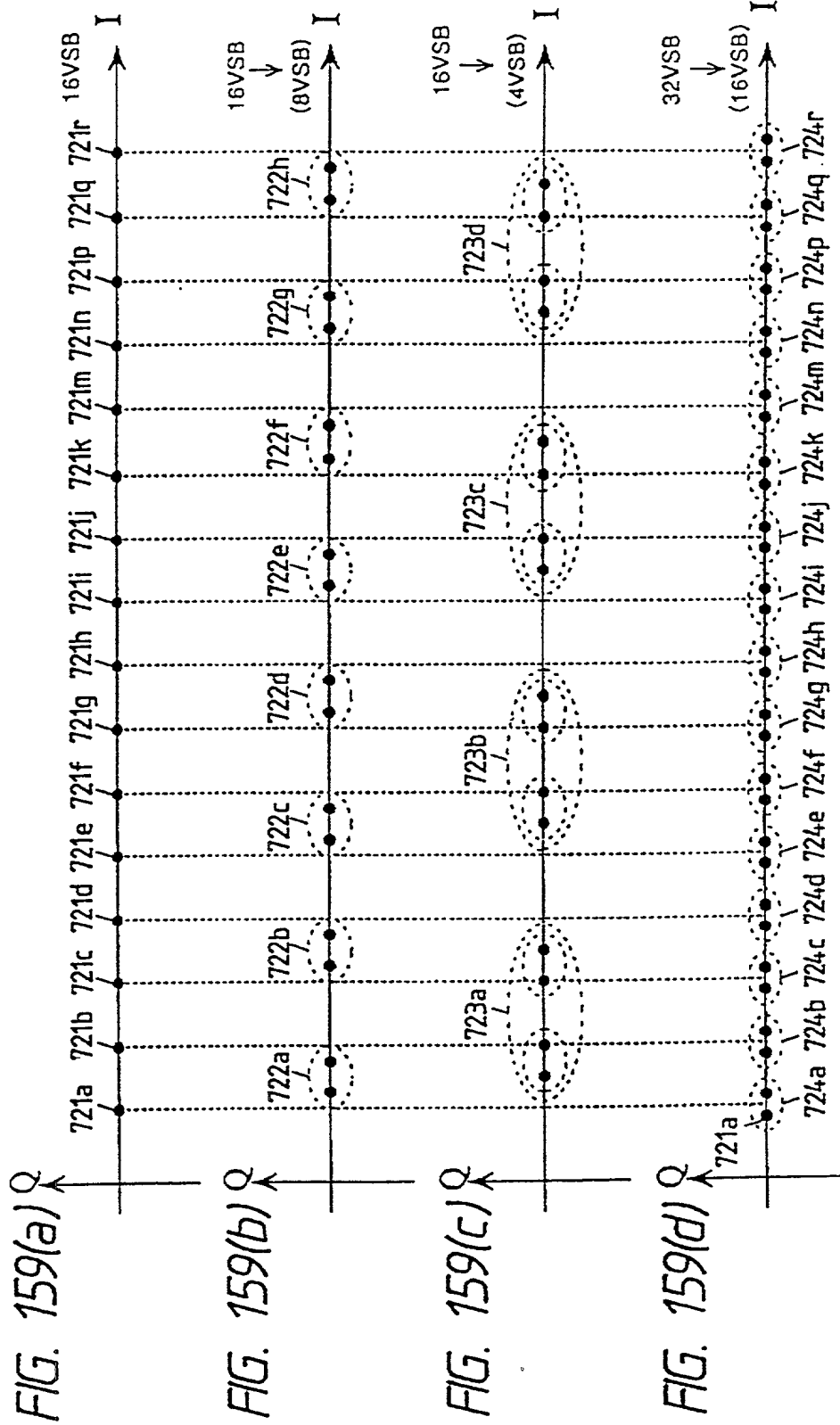




FIG. 160(a)

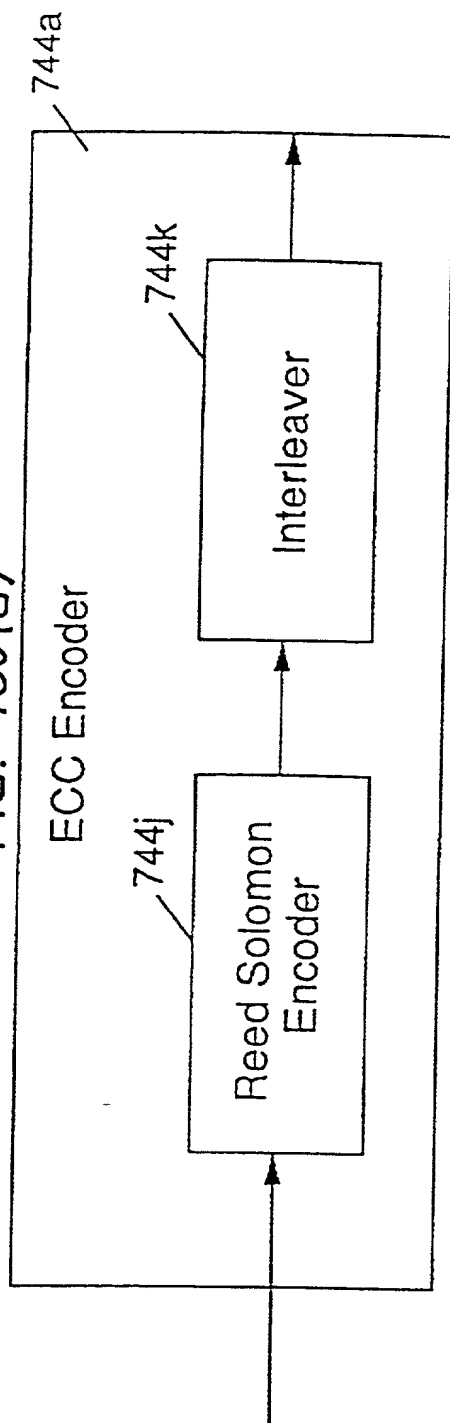


FIG. 160(b)

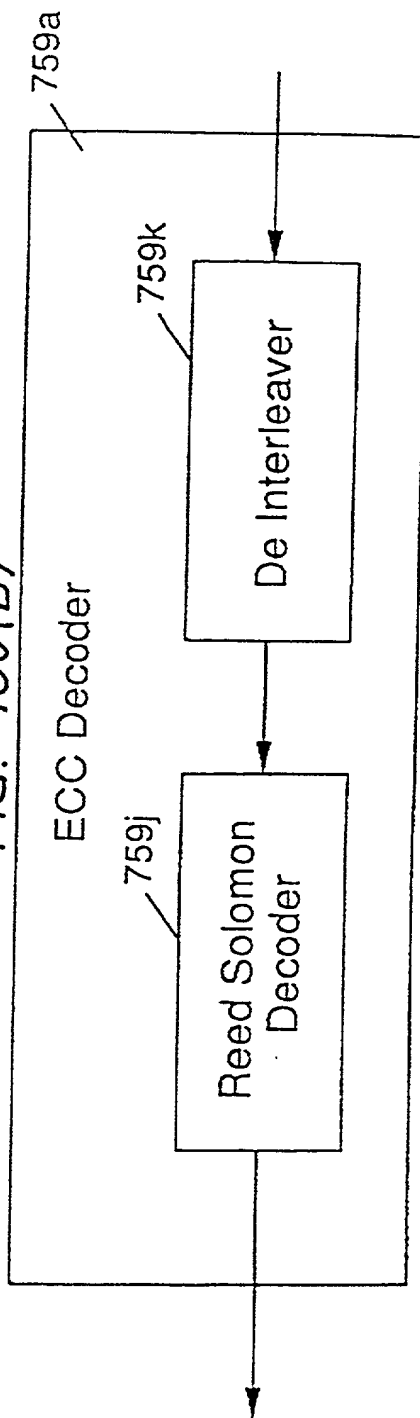


FIG. 161

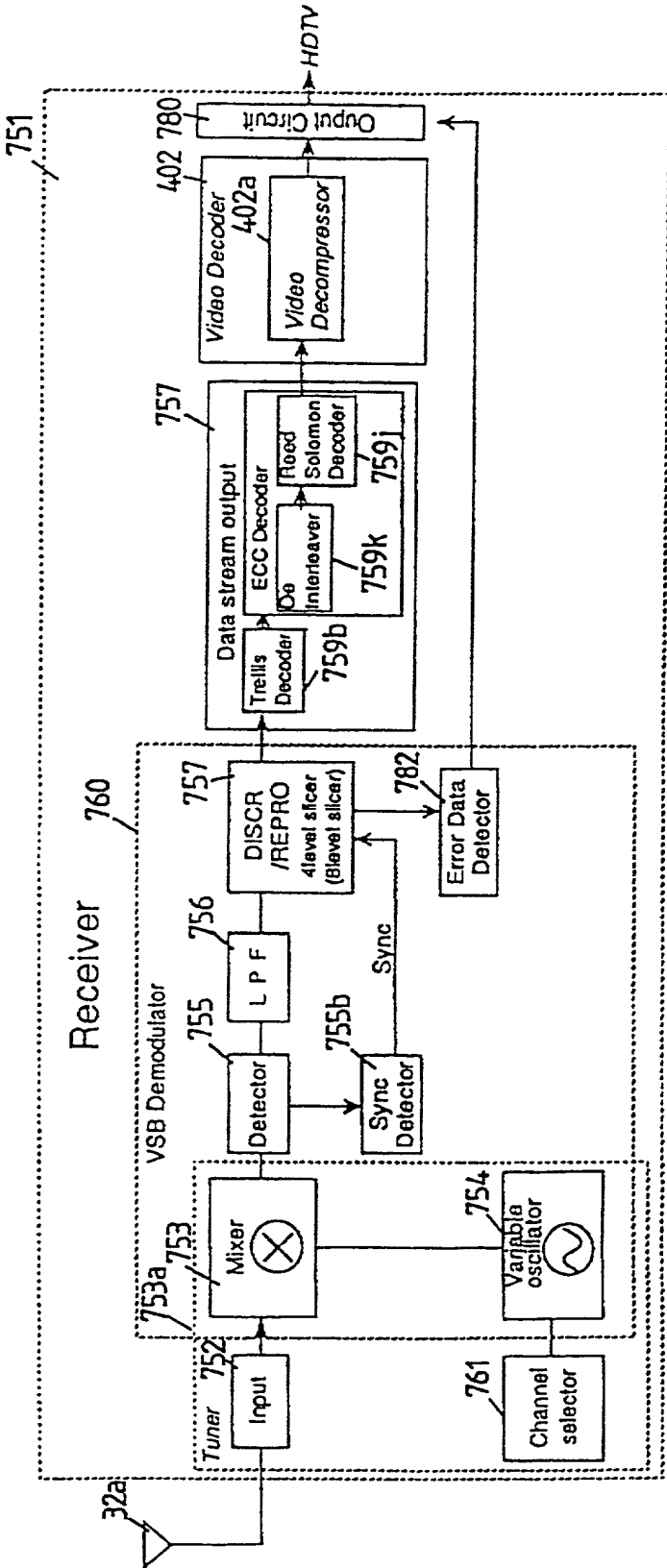


FIG. 162

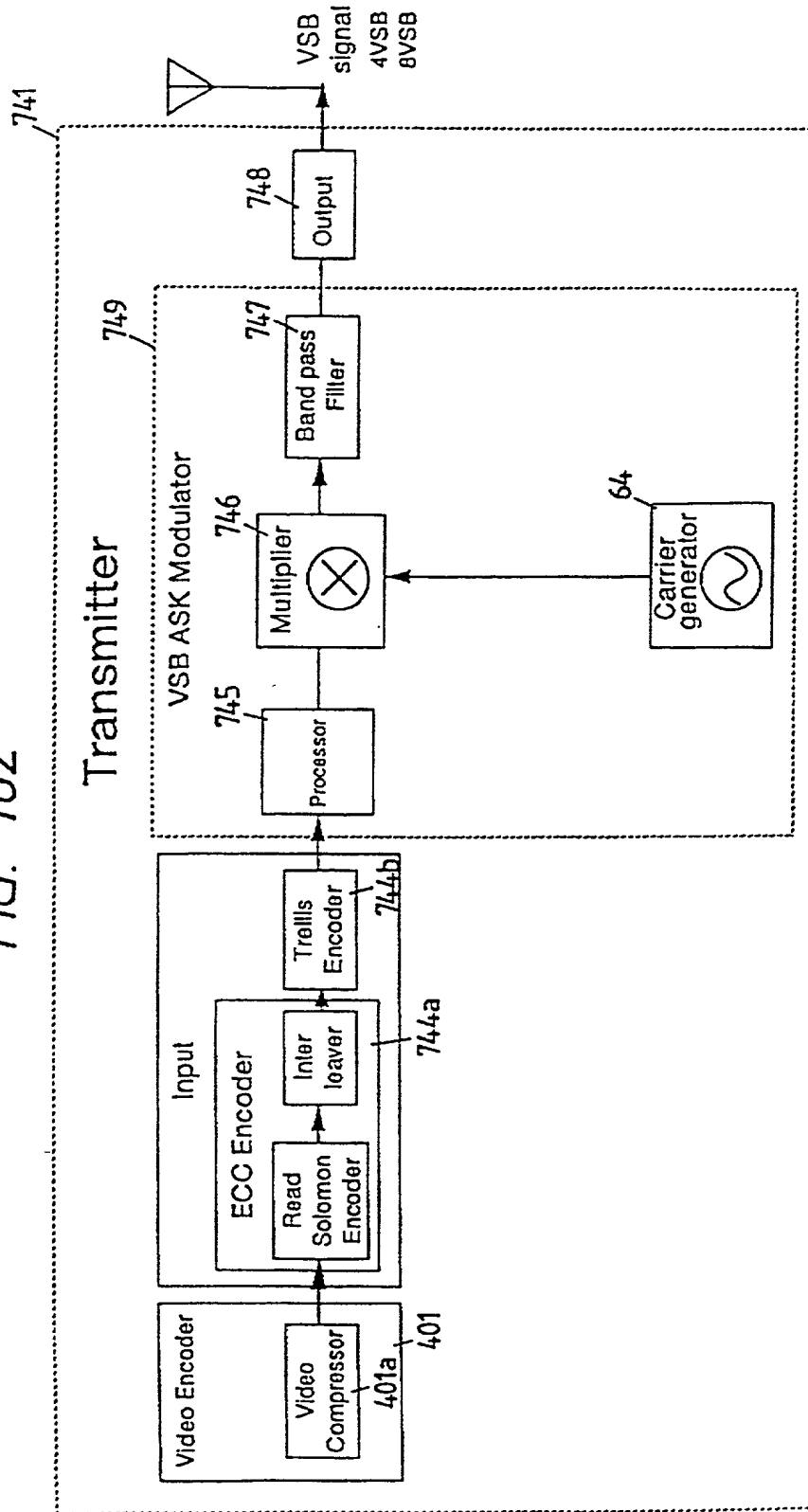


FIG. 163

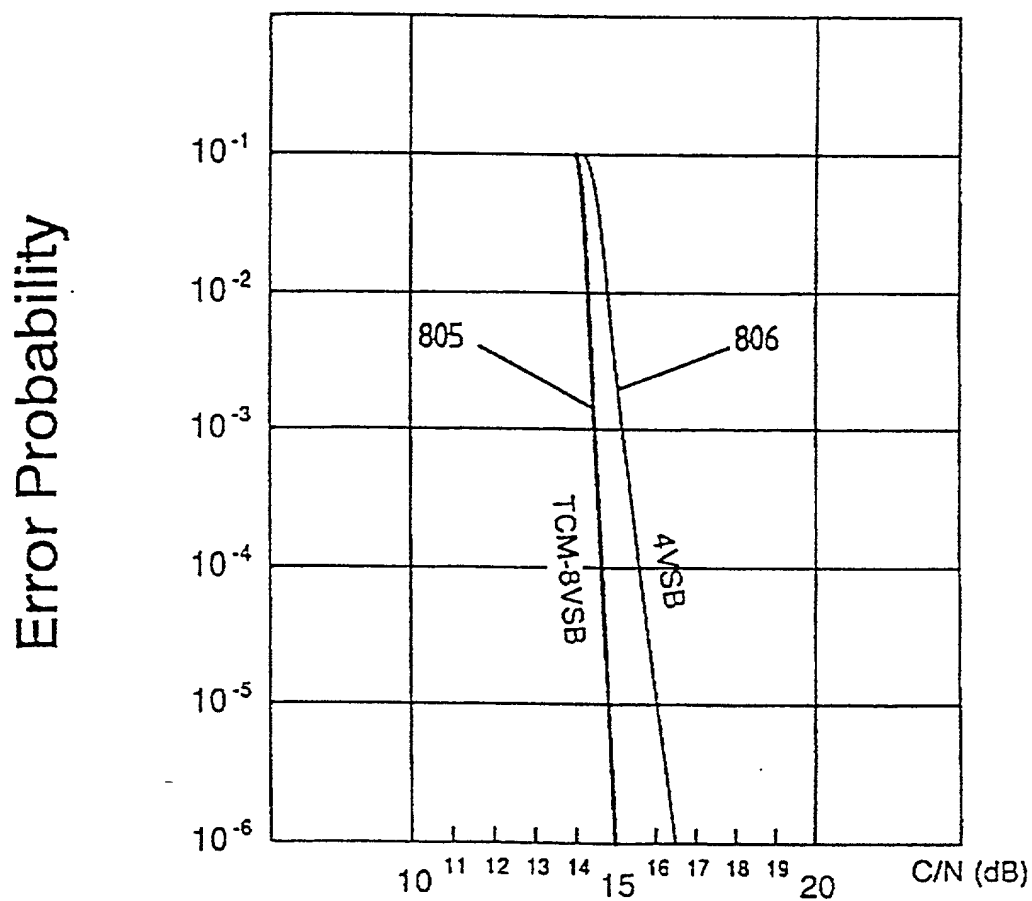


FIG. 164

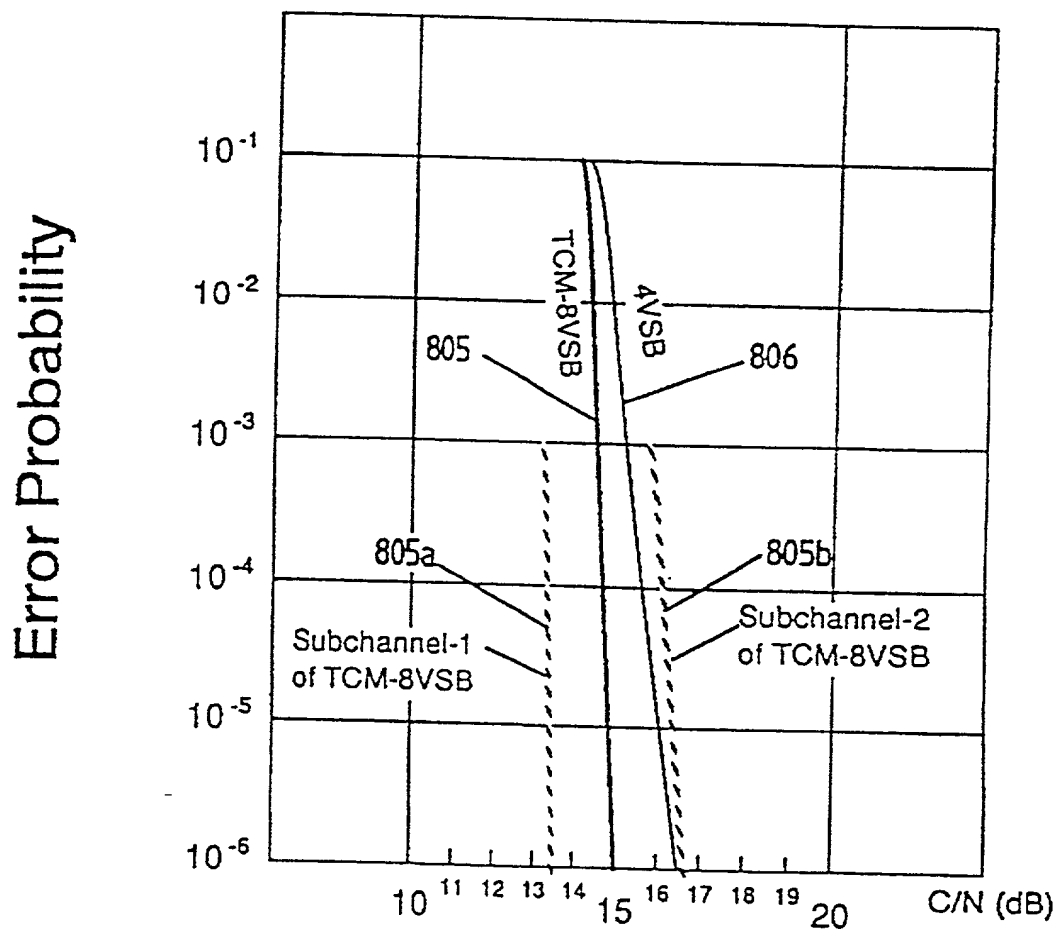


FIG. 165(a)

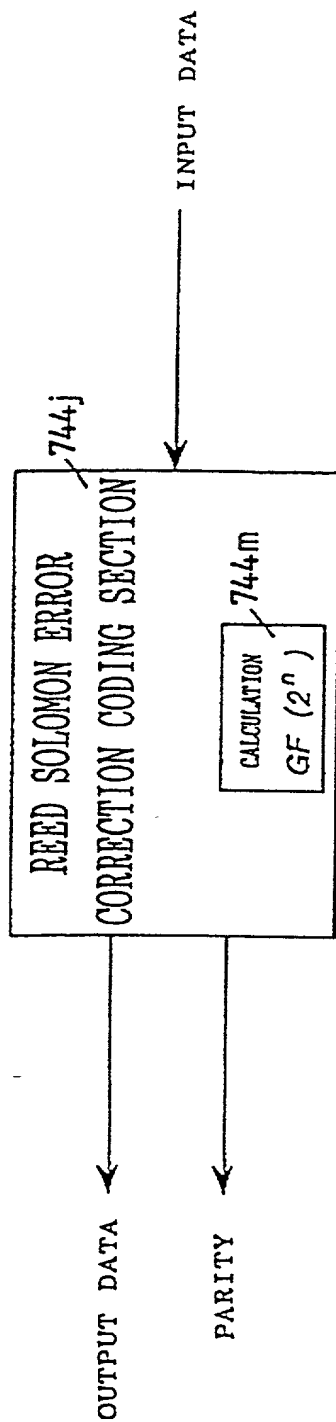


FIG. 165(b)

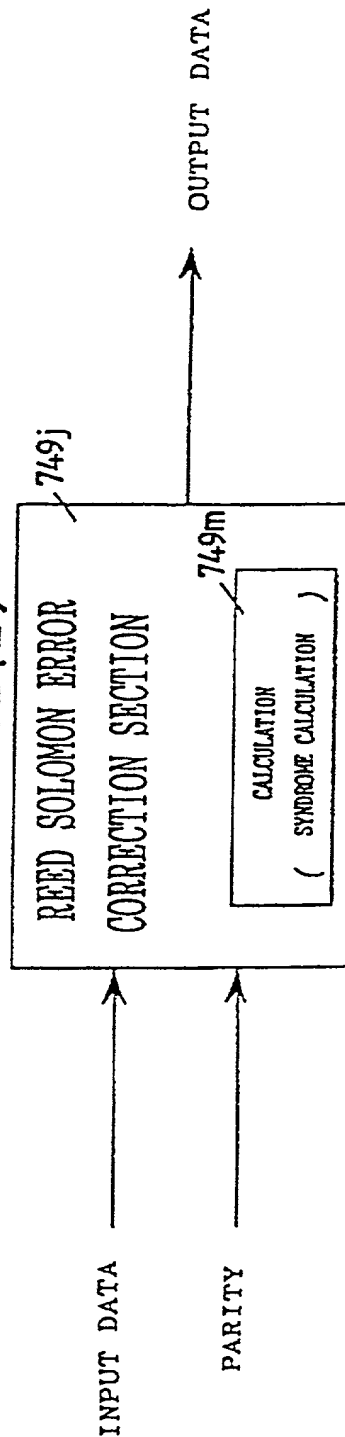


FIG. 166

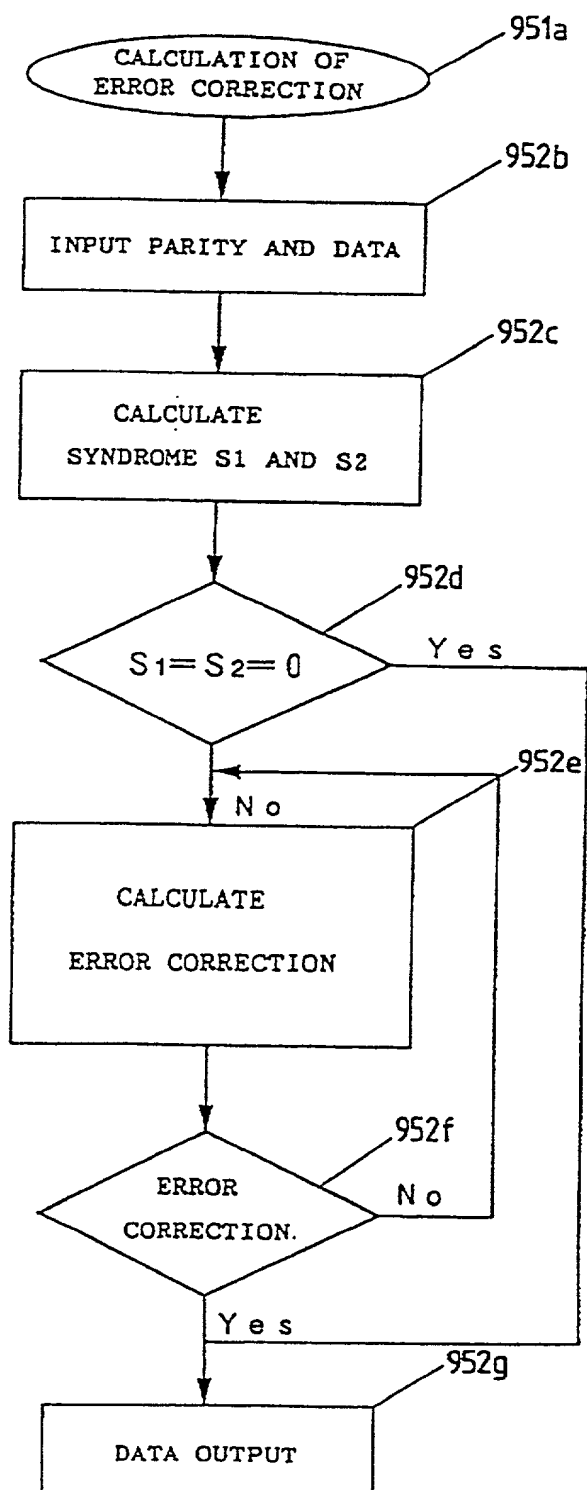


FIG. 167

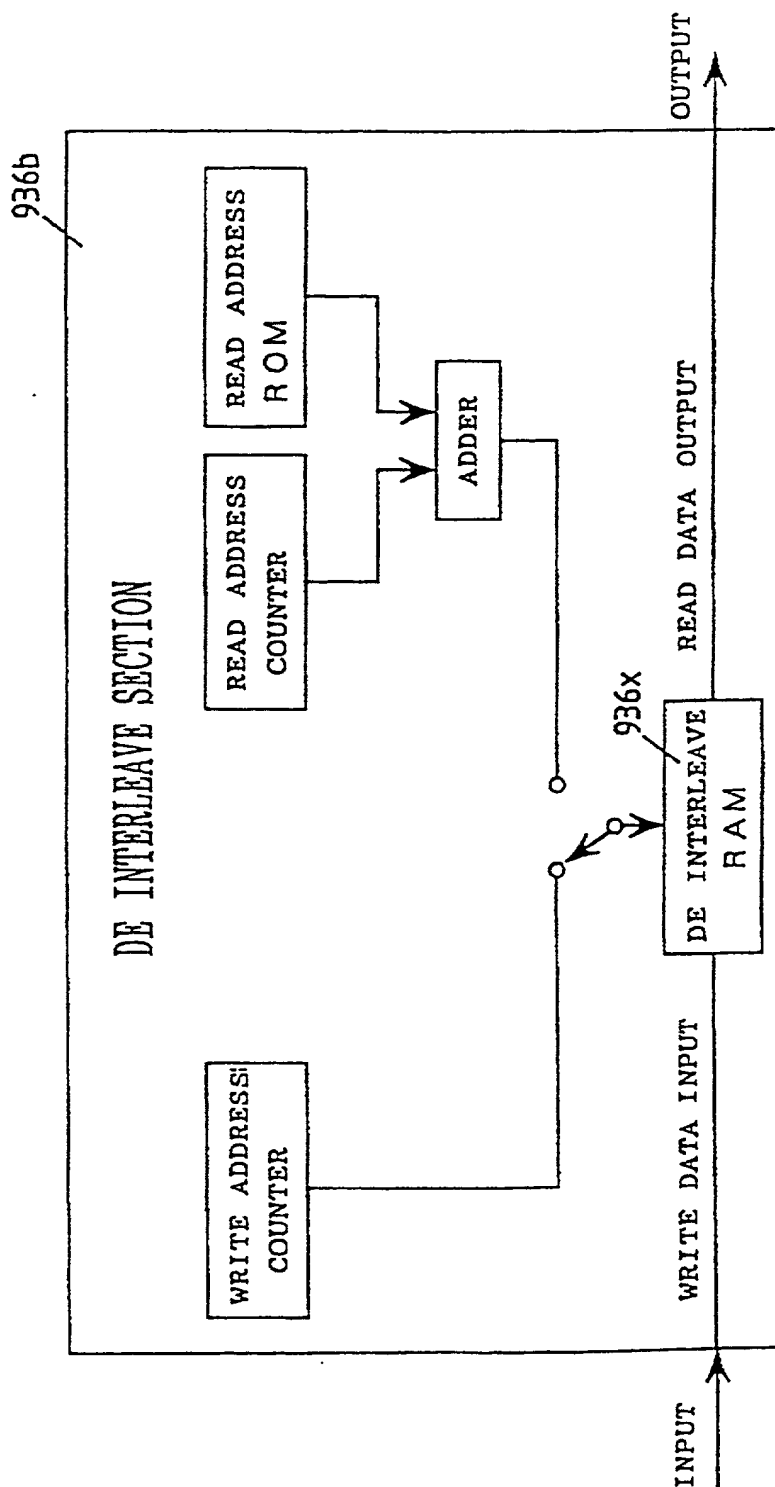




FIG. 168(a) Inter leave Table

1	2	3	4	5	6	7
Data						
1	A 1	A 2	A 3	A 4	A 5	A 6
2	B 1	B 2	B 3	B 4		
3	C 1					
4	D 1					
5	E 1					
6						
C 1 Parity	Parity	Parity	Parity	Parity	Parity	Parity

951b points to the first row of data (A 1 to A 6).  
951a points to the last row of data (Parity to Parity).  
954 points to the last column header (7).  
953 points to the last row header (C 1 Parity).

FIG. 168(b)

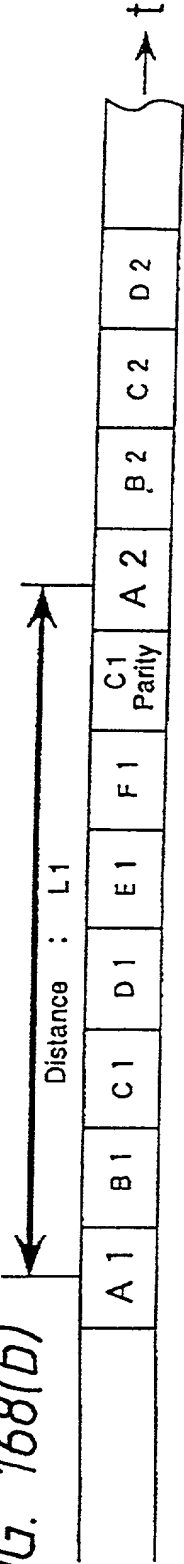


FIG. 169  
Comparison of Redundancy

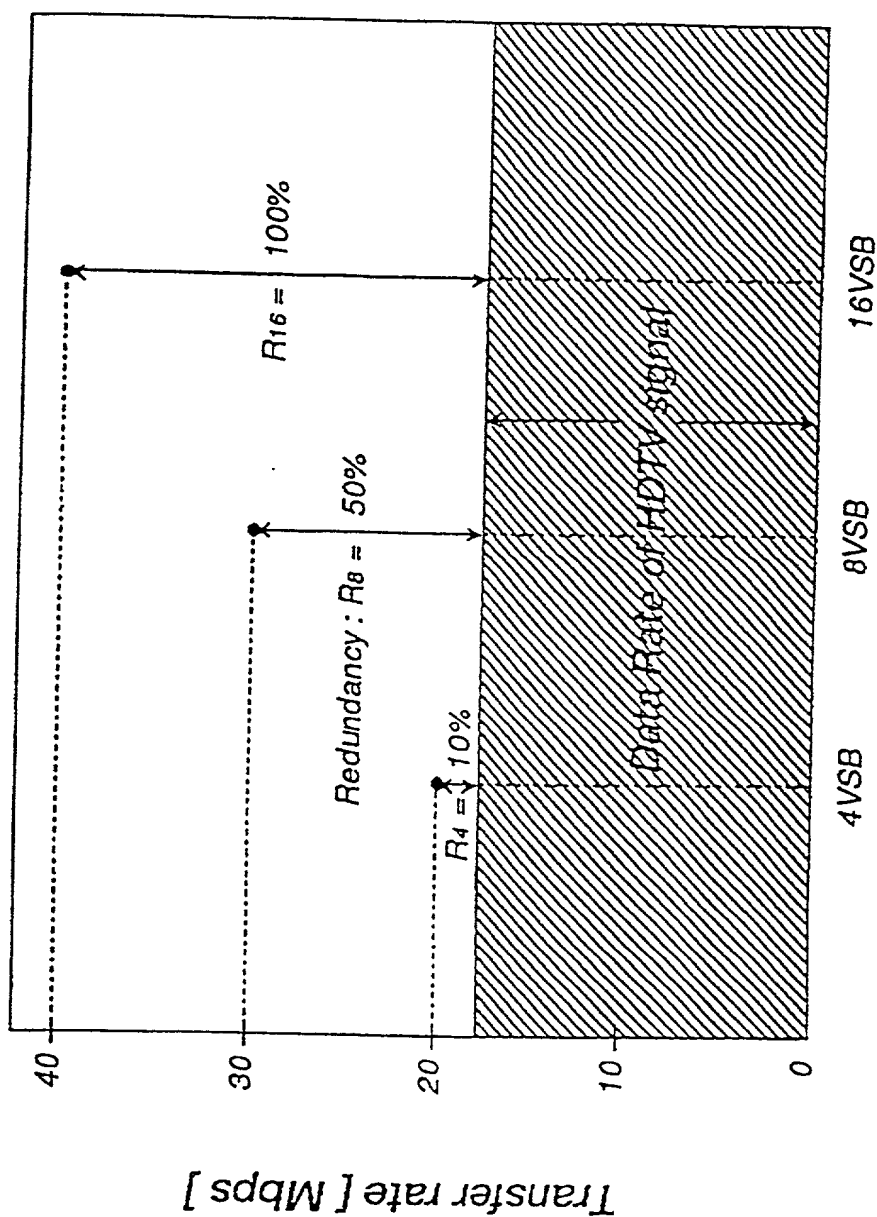


FIG. 170

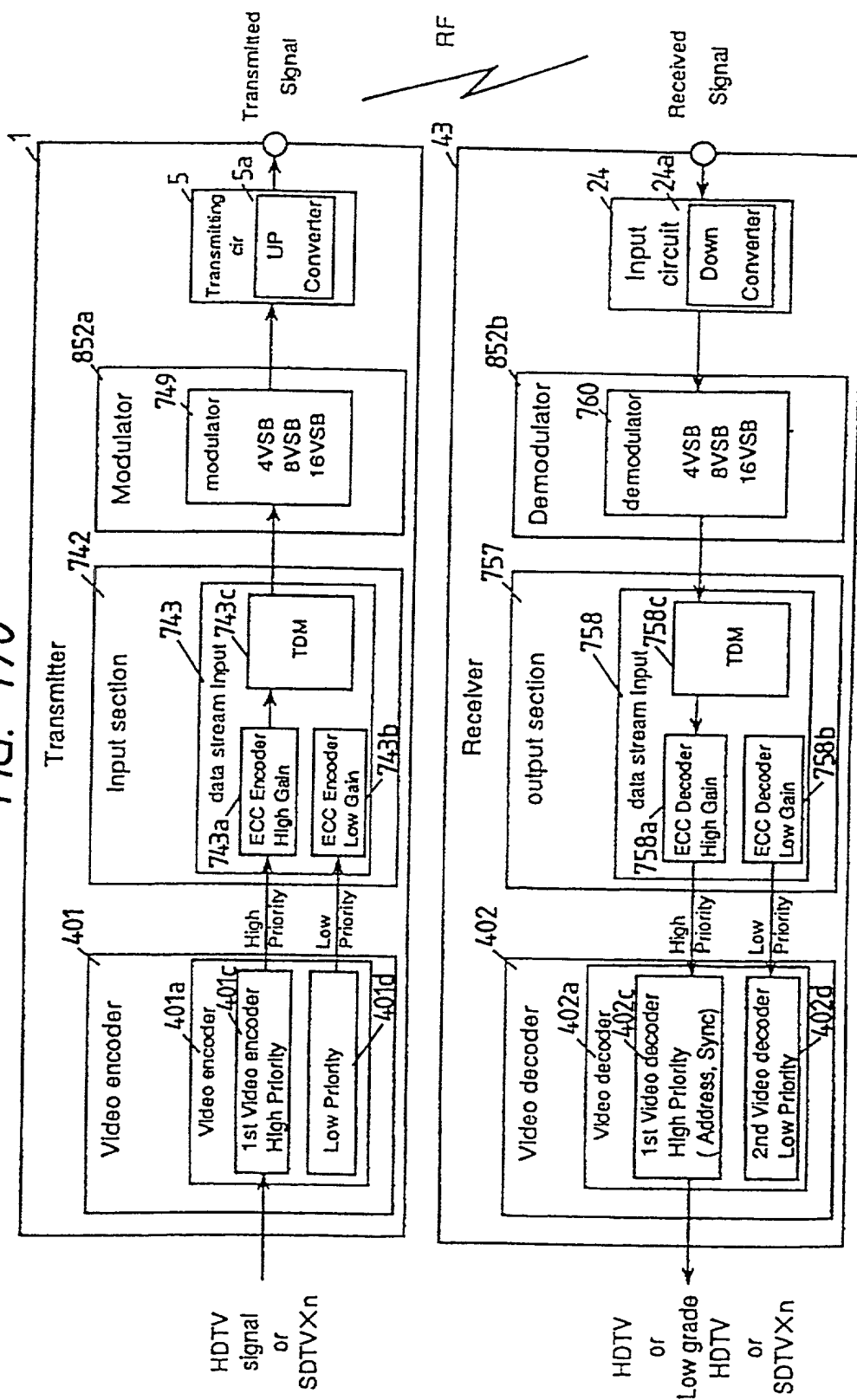


FIG. 171

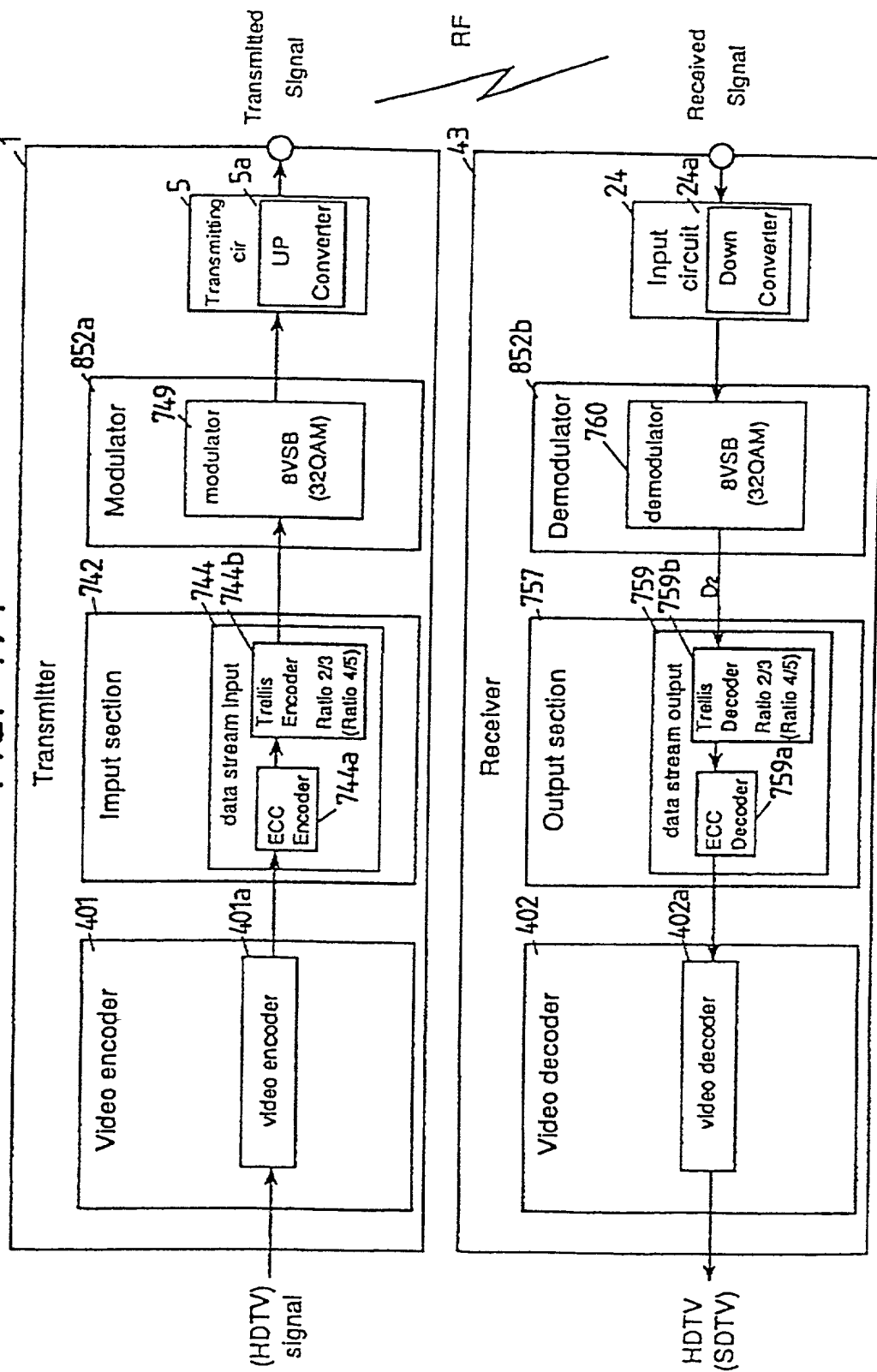


FIG. 172

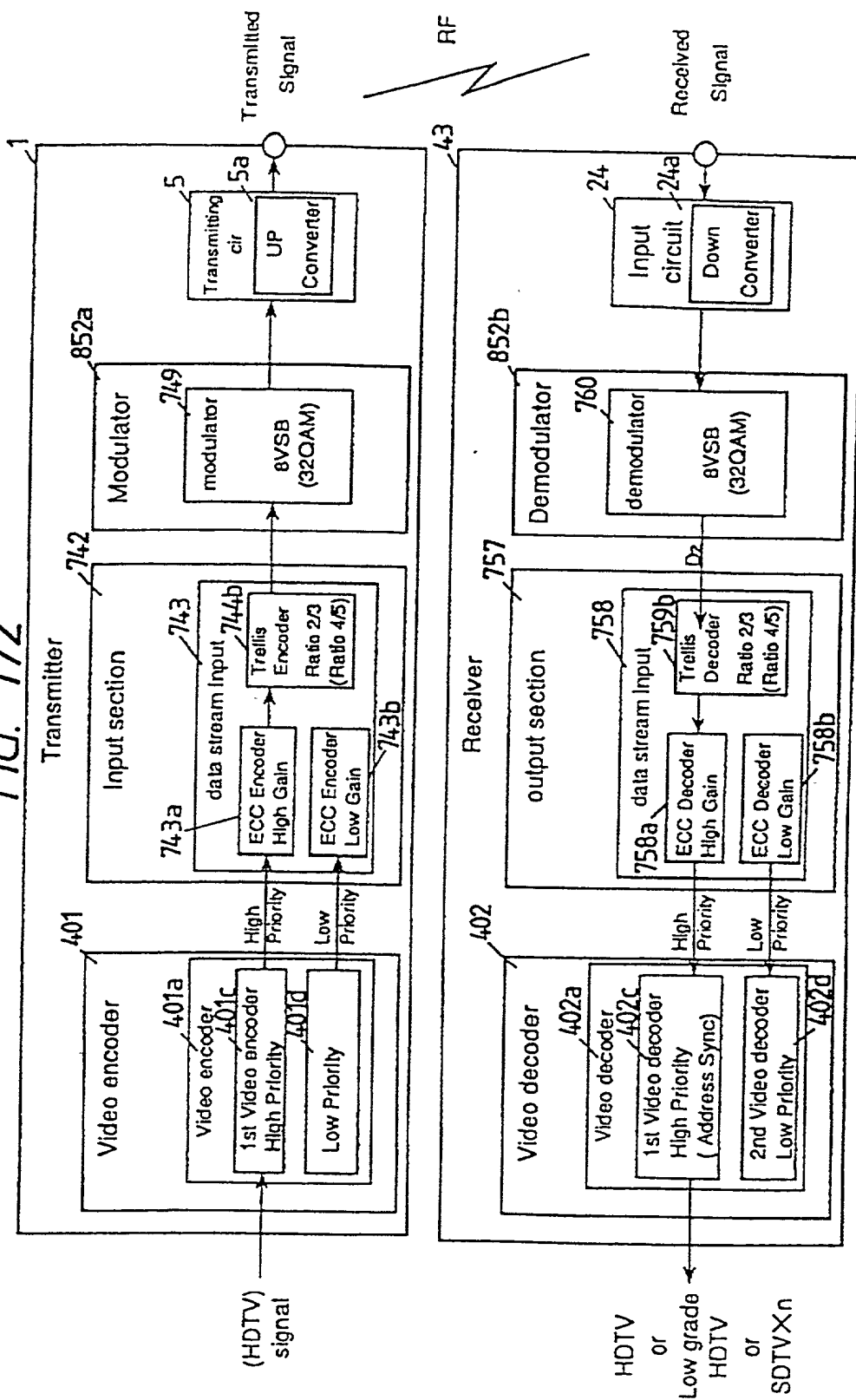


FIG. 173

